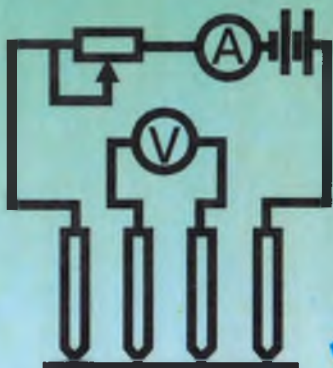


С. ЗАЙНОБИДИНОВ, Х. АКРОМОВ

# ЯРИМЎТКАЗГИЧЛАР ПАРАМЕТРЛАРИНИ АНИҚЛАШ УСУЛЛАРИ



С. ЗАЙНОБИДДИНОВ, Х. АКРАМОВ

# ЯРИМЎТКАЗГИЧЛАР ПАРАМЕТРЛАРИНИ АНИҚЛАШ УСУЛЛАРИ

*Ўзбекистон Республикаси Олий ва ўрта маҳсус таълим вазирлиги олий ўқув юртларининг яrimўтказгичлар физикаси ва техникаси мутахассислиги бўйича таълим оловчи талабалар учун ўқув қўлланма сифатида тавсия этган.*

ТОШКЕНТ “ЎЗБЕКИСТОН” 2001

Тақризчилар — проф. Р. А. Мұмінов, ф.-м. ф.н. доцент  
О. С. Сайдхонов

Мұхаррир — Р. С. Тоирова



1679

Зайнобиддинов С., Акрамов Х.

Яримұтказгичлар параметрлерини анықлаш үсуллари:  
Олий үқув юртларининг талабалари учун үқув құлланма.— Т.: “Ўзбекистон”, 2001. — 320 б.

1. Муаллифдош.

Ўқув құлланма яримұтказгичли моддаларниң асосий параметрлері — электр, гальваномагнит, ұар хил структурали намуналарниң ҳусусияттарини анықлашып замонавий үсулларини үрганишига бағищланған бўлиб, унда 36 хил үсулиниң таърифи ва моҳияти көлтирилган.

Мазкур китоб Давлат таълим стандартининг бакалавр мутахассислиги Б—010404 “Физика” йўналишига мос келади. У магистратура мутахассислиги М-010404 “Яримутказгичлар ва дигитроникалар физикаси” йўналишида таълим олувчи талабаларга, шунингдек университетлар, педагогика ва техника олий үқув юртларининг яримутказгичлар, микроэлектроника, электрон асбоблар ва бошқа соҳалар бўйича ихтинослашашётган талабалар, аспирантлар, шунингдек, шу соҳа ўқитувчилари ва илмий ходимларга мўлжалланган.

ББК 22.379я73

ISBN 5-640-02839-5

A 1604010000-67 2001  
351(04) 2000

© “ЎЗБЕКИСТОН” издаштирилиши, 2001 й.

## КИРИШ

Илмий-техникавий ривожланишни яримўтказгичли электроникасиз, хусусан микроэлектроникасиз тасаввур қилиш қийиндир. Замонавий микроэлектроникада яримўтказгичли материаллар ва кўп қатламли структуралардан кенг кўламда фойдаланилади ва улар асосида турли хил яримўтказгичли асбоблар ва микросхемалар тайёрланади. Яримўтказгичли материалларни ишлаб чиқаришнинг ривожланиши уларнинг сифатини лаборатория ва саноат шароитида текширишнинг юқори даражага кутарилиши билан боғлиқ. Бунда ишлаб чиқариш соҳалари технологик йўқотишлари ва уларнинг ишлаб чиқаришдағи сифатини назорат қилишга кетган моддий харажатларнинг ўлчамлари аниқланади. Шунинг учун саноат корхоналарини юқори аниқликдаги ва юқори ишлаб чиқариш унумига эга воситалар билан жиҳозланган, яримўтказгич материалларнинг сифатини текширувчи янги, илфор усулларни ишлаб чиқиши ва ўзлаштириш яримўтказгич материаллар ва структураларни ишлаб чиқариш иқтисодий самарадорлигининг ўсиши билан бевосита боғлиқдир.

Афсуски яримўтказгичларнинг ҳамма параметрларини ҳам оддий ва қулай бўлган усуллар билан ўлчаш мумкин эмас. Уларнинг кўпчилигини ўлчаш маҳсус физик услубиятни ва мураккаб аппаратураларнинг ишлатилишини талаб қиласи. Шунинг учун яримўтказгичларнинг параметрларини ўлчаш усуллари сўнгги йилларда яримўтказгичлар физикаси ва техникаси бўлимлари билан бир қаторда ривожланиб мустақил йўналиш бўлиб қолмоқда. Яримўтказгичлар физикаси ва яримўтказгичли электроника масалалари ёритилган китобларнинг сони кам эмас,

лекин уларда яримўтказгичларнинг параметрларини ўлчаш ва яримўтказгичли материалларни текшириш усулларига кам эътибор берилган. Умид қиласизки, мазкур қўлланма маълум даражада ўқувчиларнинг яримўтказгичлар физикасининг бўлимига бўлган эҳтиёжини қондиради. Қўлланмада яримўтказгич материаллар параметрларини ўлчаш усулининг физик асослари кенг ёритилган. Яримўтказгич параметрларини ўлчашнинг айрим муаммолари яримўтказгич материалларнинг хоссаларини ўрганувчи китобларда кенг ва тўла ёритилганларини ҳисобга олган ҳолда ўлчаш усувларини ёритишнинг ҳожати бўлмади. Бу китоб ўзбек тилидаги дастлабки китоб бўлиб, у яримўтказгичлар физикаси ва техникаси масалалари билан бевосита шуғулланувчи талабаларга мўлжалланган.

Қўлланмада ҳар хил катта ҳажмдаги намуналар, пластинкалар, юпқа қатламлар, ҳар хил турдаги яримўтказгичли структуралар параметрларини ҳамда номувозанат ҳолатидаги заряд ташувчилар параметрларини, яъни заряд ташувчилар яшаш вақтини, диффузион узунликни диффузия коэффициентини, сирт рекомбинация тезлигини ва ниҳоят чуқур сатҳли марказлар параметрларини ўлчаш усувлари ёритилган.

## ЯРИМҮТКАЗГИЧЛАРДА СОЛИШТИРМА ҚАРШИЛИКНИ ЎЛЧАШ УСУЛЛАРИ

### 1.1-§. Яримүтказгичли намунанинг солиширма қаршилигини унинг тўла қаршилиги бўйича аниқлаш

Солиширма қаршилик  $\rho$  ни намунанинг тўла қаршилиги бўйича топишда таёқча (стержен) кўринишидаги намуна кўндаланг кесимларига металл контакт олинади. Металл яримүтказгич чегарасида заряд ташувчилар концентрацияси яримүтказгич ҳажмидагидан кичик бўлганда потенциал тўсиқ қатлами ҳосил бўлиши мумкин, шунинг учун бу қатлам намуна қаршилигини оширади. Намунада Ом контакти олингандан қаршилиги катта бўлган қатлам ҳосил бўлмайди. Ҳажм бўйича намунада металл чегарасигача заряд ташувчилар концентрацияси бир хил бўлади ёки заряд ташувчилар билан бойиган (антизапор) қатлам ҳосил бўлади.

Заряд ташувчилар билан бойиган қатламнинг қалинлиги намуна узунлигидан жуда кичик бўлгани учун унинг умумий қаршиликка қўшган ҳиссасини ҳисобга олмаслик мумкин. Токнинг Ом контакти орқали оқиши намунада концентрациянинг ўзгаришига олиб келмайди, яъни инжекция, экстракция, эксклюзия ва аккумуляция каби ҳодисалар бўлмайди. Кўрилаётган ҳолатда контактлардан оқаётган ток ва намунага тушаётган кучланиш орқали тўла қаршилик топилади:

$$R = \frac{U}{I} = \rho \frac{l}{S} \quad (1.1)$$

Бундан

$$\rho = R \frac{S}{l} = \frac{U}{I} \frac{S}{l} \quad (1.2)$$

Бу ерда  $R$  — тұла қаршилик,  $I$  — намуна-  
ның үткелігі,  $A$  — күйділін кесімінің өзасы,  $U$  — икки  
контакт орналасып күчләнниң,  $I$  — намунадан үтәётган  
ток. Соғыншырма қаршиликкни намунанинг тұла қарши-  
лигі болан аниқланып кичик солишири маңыздылықта  
 $(\rho < 0.01 \text{ Ом} \cdot \text{см})$  да үткелікке оған  
болжағанда 0.01% ( $1000000 \text{ Ом} \cdot \text{см}$ ) өткөнде 0.01%.

**Юқори Ом ли намуналарда** ( $\rho > 1000000 \text{ Ом} \cdot \text{см}$ ) бу усул  
болжағанда солишири маңыздылықта қаршиликкни аниқлашда бир қанча  
жыдисаларни, яғни сифим токини, намуна күтбланиши-  
ни, токининг сирт үтказувчанлығы бүйіча сирқіб оқиши-  
ни ҳисобға олиш керак. Булар үлчовни бир мунча қийин-  
лаштирачи. Шунинг учун аввал уларнинг тажрибага күрса-  
таёттан таъсири камайтирилиб, сүнгра үлчанади (1.1-расм).

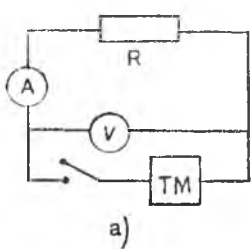
**a. Сифим токи.** Намуна ички қаршилиги  $r$ , бўлган ток  
манбай ва қаршилиги  $R_A$ , бўлган ток үлчайдиган асбоб —  
амперметр ( $A$ ) кетма-кет уланган, намунадан оқиши-  
ни тушувини үлчаш учун эса вольтметр ( $V$ ) уланган.  
 $R_V \gg R_A + R$  да  $V$  дан оқаётган токни ҳисобға олмаймиз.  
Ток манбанин улаш пайтида намунадан оқаётган ток үтка-  
зувчанлик ва силжиш токларининг йиғиндирилган иборат  
бўлади. Шунинг учун мос равишда ток зичлиги:

$$j = \frac{E}{\rho} + \epsilon \epsilon_0 \frac{\partial E}{\partial t}, \quad (1.3)$$

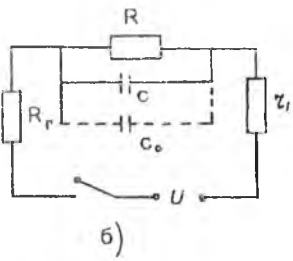
Бу ерда:  $E$  — намунадан оқиши өндірілген токтың майдон күчләнгандылығы,  
 $\epsilon$  — намунаның диэлектрик сингдирувчанлығы,  $t$  — вақт.  
 $E = \frac{U}{l}$  бўлишини ҳисобға олиб, (1.3) дан тұла ток ифода-  
сини топамиз:

$$I = \frac{U}{R} + C \frac{dU}{dt} \quad (1.4)$$

Бу ерда,  $C = \frac{\epsilon \epsilon_0 S}{l}$  — намуна сифими (1.1-расм). Силжиш  
токи намунани эквивалент схемада сифим пайдо бўли-  
шини олиб келади. Бунга параллел уланган монтажлар



a)



б)

1. 1-расм. Намуна тұла қаршилигини үлчаш схемаси (а) ва унинг эквивалент схемаси (б): А — амперметр, В — вольтметр, К — калит,  $R$  — намуна қаршилиги, ТМ — ток манбаи,  $R_i$  — амперметр қаршилиги,  $r_i$  — ток манбайыннинг ички қаршилиги.

сигими (паразит)  $C_0$  намуна сигимидан анча күп бўлиши мумкин.  $C_0$  ва  $C$  зарядлангунча амперметрдан ўтказувчаник токи билан бирга сигимни зарядлаш токи оқади. Амперметрдан оқаётган токни вақтга боғлиқлиги қуйидаги формула билан аниқланади:

$$I(t) = \frac{U_0}{R_A + R + r_i} \left( 1 + \frac{R}{R_A + r_i} e^{-\frac{t}{R(C+C_0)}} \right) \quad (1.5)$$

$$R' = \left( \frac{1}{R} + \frac{1}{R_A + r_i} \right)^{-1}. \quad (1.6)$$

$t \gg R'(C + C_0)$  да (1.5) формула қуйидаги кўринишга келади

$$I = \frac{U_0}{R_A + R + r_i} = \frac{U}{R}. \quad (1.7)$$

Сигим токи солиштирма қаршиликни аниқлашда хатоликка олиб келиши мумкин. (1.5) ва (1.7) формуладан кўринадики, бу билан боғлиқ бўлган хатоликни йўқотиши учун токни  $t \gg R'(C_0 + C)$  тенгсизликни қаноатлантирувчи вақтда үлчаш керак. Агар намунада кутбланиш ҳодисаси кузатилмаса, бу усул билан  $\rho$  ни үлчаш ҳеч қандай қийинчилик туғдирмайди.

**6. Кутбланиш ҳодисалари.** Кутбланиш ҳодисалари контактлар орасидаги кучланишнинг тушуви ўзгармас бўлганда ўтказувчанлик токининг ўзгаришига олиб келади. Бу намунада ион дрейфи ҳажмий заряд соҳасида электрон ёки кавак инжекциясининг пайдо бўлиши билан боғлиқлир. Намуналарнинг турига қараб токнинг характерли релаксация вақти  $\tau_p$  секунднинг улушларидан тортиб, то соатлар, баъзан суткаларгача етиши мумкин. Кутбланишнинг аниқланаётган солиштирма қаршиликка таъсирини камайтириш учун ўлчовни (1.7) ва  $t \gg \tau_p$  (1.9) тенгсизликларни қаноатлантирадиган вақтда ўтказиш керак. Бу тенгсизликлар бажарилиши учун

$$R'(C + C_0) \ll \tau_p \quad (1.8)$$

бўлиши керак.

Кутбланиш ҳодисаси мавжуд бўлганда, солиштирма қаршиликни аниқлаш  $\nu \ll \frac{1}{\tau_p}$  частотада намунанинг аддитансини ( $z^{-1}$ ) ўлчаш масаласига келади:  $z^{-1}$  актив ва реактив қаршиликларнинг тескари қиймати йифиндиси. Бу ҳолда кутбланиш ҳодисаларининг инерционлиги туфайли, намунадан ток оқишига таъсир кўрсатмайди ва аддитанс қуйидаги кўринишни олади:

$$z^{-1} = \frac{1}{R} + i\omega(C + C_0). \quad (1.9)$$

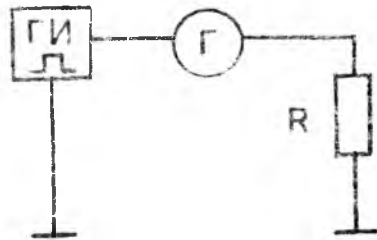
Бу формула  $R$  ва  $C + C_0$  ни алоҳида топишга имкон беради. Бу ерда:  $i = \sqrt{-1}$ .  $z^{-1}$  ни ўлчашда ўзгарувчан ток кўприклари ишлатилади.

Кутбланиш ҳодисалари мавжуд бўлганда солиштирма қаршиликни ўлчашда импульс ток манбаларидан фойдаланиш ҳам мумкин (1.2-расм). Кутбланиш эффектининг таъсирини йўқотиш учун тўғри бурчакли импульснинг давомийлиги, импульс такрорлангунча бўлган вақт ( $T$ )

$$\tau_u \ll \tau_p \ll T$$

тенгсизликни қаноатлантириши керак. 1.2-расмда кўрсатилган схемада гальванометр билан занжирдан оқаётган

1.2-расм. Намуна қаршилигии түгри бурчакли импульс кучланиши усули билан үлчаш скемаси. ГИ — импульслик кучланиш генератори, Г — гальванометр R — намуна қаршилиги.



үртача ток үлчанади. Импульс таъсир қилаётган вақтда намуна сифими ва унга параллел уланган ўтказгичлар монтажи сифими гальванометр орқали зарядланади, импульс тугаши билан улар үлчанаётган үртача токка ҳеч қандай ҳисса қўшмайди. Намунадан импульс кучланиши ўтаётганда токнинг үртача қиймати

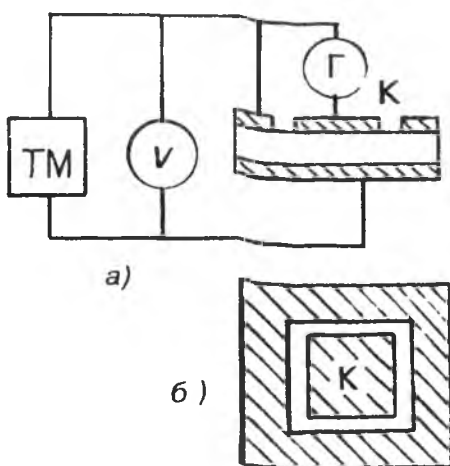
$$\bar{I} = I_u \frac{\tau_p}{T} \quad (1.10)$$

ифода билан топилади. Бу ерда:  $I_u$  — импульс кучланиши таъсир этаётган вақтдаги ўтказувчаник токи. (1.10) формула орқали  $I_u$  ни топиб, импульс кучланиши  $U_u$  ни билган ҳолда тўла қаршилик  $R = U_u / I_u$  ҳисобланади ва (1.2) формула бўйича солиштирма қаршилик аниқланади.

Бу усул билан импульс кучланишининг амплитудаси  $U_u = (1 \div 2)$  кВ, импульснинг давомийлиги  $\tau_u \approx 10^{-6}$  с  $T/\tau_p = 10$  нисбатда бўлган импульс ток манбаидан фойдаланиб, солиштирма қаршиликни  $10^{+10}$  Ом · см гача үлчаш мумкин. Саноатда ишлаб чиқарилган ўзгарувчан ток кўприклари билан солиштирма қаршиликни  $10^6 \div 10^7$  Ом · см гача үлчаш мумкин.

**в. Сиртнинг сирқиши токи.** Одатда яримутказгичли намуналарнинг сиртига яқин соҳасидаги солиштирма қаршилиги ҳажмидагидан фарқ қиласи. Бу сирт соҳасида заряд ташувчиларнинг концентрацияси ҳажмидагидан катта ёки кичик бўлган ҳажмий заряд соҳасининг мавжудлиги билан боғлиқдир. Ҳажмий заряд соҳасида заряд ташувчиларнинг ҳаракатчанлиги кичик. Ҳажмий заряд соҳасининг қалинлиги намуна кўндаланг кесимининг чизиқли ўлчовларининг улушларини ташкил этиб, экранлаш узунлиги тартибида бўлади. Агар бу соҳада концент-

рация ҳажмдагидан катта фарқ қилмаса, сирт соҳасидаги қаршиликнинг ўзгаришини ҳисобга олмаслик мумкин. Агар заряд ташувчилар концентрацияси сирт соҳасида ҳажмдагидан кўп марта ортиқ (юқори Ом ли намуналарда пайдо бўлиш эҳтимоли катта) бўлса, яхши ўтказувчаникка эга бўлган сирт соҳасидан токнинг кўп оқишига, яъни токнинг сирт бўйлаб оқишига олиб келади. Сиртдан оқаётган ток намуна қаршилигини камайтиради ва солиштирма қаршиликнинг кичиклашишига олиб келади, шунинг учун ўлчов пайтида сирт бўйлаб оқаётган ток таъсирини йўқотиш керак. Модомики сиртдан ва ҳажмдан оқаётган токлар нисбати намунанинг шаклига, ўлчовига боғлиқ экан, унинг узуғлигини камайтириб, кўндаланг кесимини ортириб, сирқиш токининг кичик бўлишига эришиш мумкин. Бундай йўл билан фақат катта намуналарда эришиш мумкин. Сирт сирқиш токининг солиштирма қаршиликка таъсирини камайтирувчи бошқа усули ҳам бор бўлиб, бунда намунада бир-биридан (изоляцияланган) ажralган иккى контакт олинади, яъни кўндаланг кесимининг четиға яқин ҳимоя ҳалқасидан иборат 0-контакт ва марказига туташ К контакт олинади (1.3-расм). Бу контактлар орасидаги масофа намуна



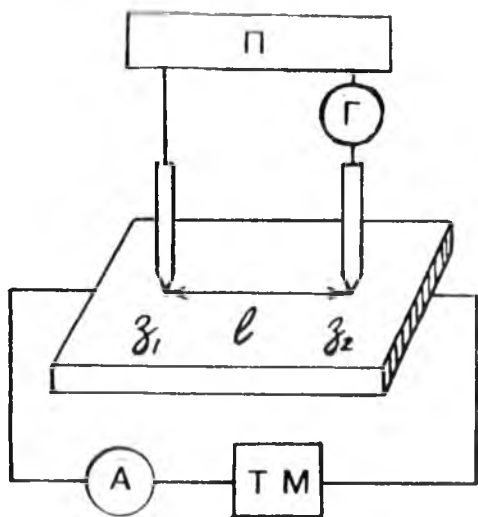
1.3-расм. Солиштирма қаршиликни ҳимоя ҳалқаси билан ўлчаш схемаси (а), намуна устки кўндаланг кесимининг кўриниши (б).

узунлигидан жуда кичик. Иккинчи күндаланг кесим юзидан яхлит контакт олинади. Гок үлчайдиган асбобнинг қаршилиги кичик бўлганда, унга тушаётган кучланиш на- мунага қўйилган кучланишдан жуда кичик бўлади. Шунинг учун К контактнинг ҳимоя ҳалқасини эквивалент- циал контактлар деб ҳисоблаш мумкин. Кўрилаётган ҳолда сирт тики ғақат ҳимоя ҳалқаси орқали оқади. Марказий контактгдан ўтаётган ток у намуна ҳажмидан ўтади ва у Г асбоб билан үлчанади. Демак, солиштирма қаршиликни ҳимоя ҳалқаси ёрдамида аниқлаш марказий туташ контакт юзаси  $S_k$  ни ва намуна узунлиги  $J$  ни билган ҳолда ток ва кучланишни үлчаб, (1.2) формула орқали ҳисобла- нади.

## **1.2-§. Солиштирма қаршиликни үлчашнинг бир ва икки зондли усуллари**

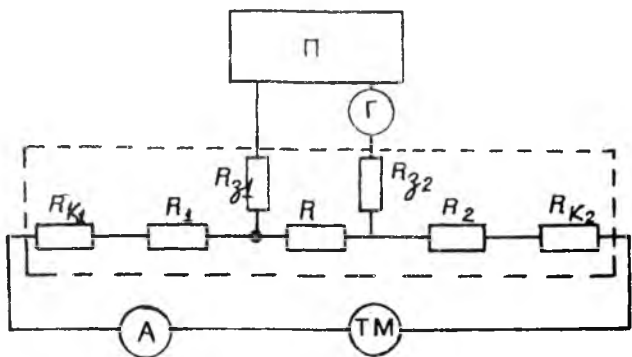
### **a. Икки зондли усул билан $\rho$ ни аниқлаш.**

Солиштирма қаршиликни юқорида кўрилган тўла қаршилик бўйича аниқлаш усулида Ом контактнинг олиниши кераклигини кўрган эдик. Контакт қаршиликлари катта бўлганда бу усул солиштирма қаршиликни ҳақиқий қийматига нисбатан ортириб беради. Бу камчиликни зонд усуллари билан үлчашда йўқотиш мумкин. Солиштирма қаршиликни үлчашнинг икки зондли усулининг чизмаси 1.4-расмда келтирилган. Унда намунанинг кўндаланг кесими юзасига  $K_1$  ва  $K_2$  Ом контактлари ўтказилган ва унинг сиртига бир-биридан  $I$  масофада бўлган иккита  $Z_1$  ва  $Z_2$  нуқтавий зондлар ўрнатилган. Зондлар сифатида ўткир учли қаттиқ металл (вольфрам, осмий, молибден) симлар ёки қотишмалардан ясалган симлар, карбид, вольфрам ва ВК ишлатилади. Солиштирма қаршиликнинг қиймати қўйидагича аниқланади. Намунадан ток манбаи (ТМ) орқали  $I$  ток ўтказилади ва у А — амперметр билан үлчанади, зондлар орасидаги кучланиш потенциометрда компенсация усулида үлчанади ва унда гальванометрдан оқаётган токнинг таъсирини йўқотишга эришилади. Бу ҳолатда потенциометрдаги кучланиш  $U_n$  икки зонд орасидаги намуна бўлагига тушган кучланиш  $U$  га тенг бўла-



1.4-расм. Солиширма қаршиликтин икки зондли усул билан ўлчаш схемаси.  $\Pi$  — потенциометр,  $\Gamma$  — гальванометр.

ди. Икки зондли усулда ҳам  $\rho$  (1.2) формуладан фойдаланиб аниқланади. Бу ифодага киргап катталиклар  $R$  — намунанинг икки зонд орасидаги қисмининг қаршилиги,  $S$  — намуна кўндаланг кесимининг юзаси,  $l$  — зондлар орасидаги масофа. Икки зондли усул билан  $U$  компенсация усулида ўлчангандা, контакт қаршилигининг ўлчови натижаларига таъсири тўла йўқотилади дейилган фикрни қандай ҳолатда ўринли бўлишини аниқлайлик. Икки зондли усул билан ўлчашда намунанинг эквивалент чизмасини кўрайлик (1.5-расм). Чизмада  $R_{k1}$ ,  $R_{k2}$ ,  $K_1$  ва  $K_2$  контактлар қаршилиги,  $R_{z1}$  ва  $R_{z2}$  — зондлар қаршилиги,  $R_1$  — зонд  $Z_1$  ва  $K_1$  контакт орасидаги намуна қисмининг қаршилиги,  $R_2$  зонд  $Z_2$  билан  $K_2$  контакт орасидаги намуна қисмининг қаршилиги.  $R_{k1}$ ,  $R_{k2}$ ,  $R_{z1}$  ва  $R_{z2}$  — қаршиликлар металл-яrimутказгич чегарасида оксид қатламини ва потенциал тўсиқ қатламини ҳосил бўлиши билан пайдо бўлиши мумкин. Кичик юзали металл зонд билан яrimутказгич контактлашганда, қаршилиги катта бўлмаган қатлам ҳосил бўлмаса ҳам контакт қаршилиги катта бўлади. Зонд-



1.5-расм. Икки зондли усул билан солиширима қаршиликни ўлчашда намунанинг эквивалент схемаси.

лар занжирида Кирхгоф қоидасига кўра қўйидаги ифодани ёзамиш:

$$IR = i_r(R_{31} + R_{32} + R + R_r) + U_\pi \quad (1.11)$$

Бу ерда:  $R_r$  — гальванометрнинг ички қаршилиги,  $i_r$  — ундан оқаётган ток. (1.11) формуладан кўринадики, потенциометрдаги кучланиш ва намунанинг зондлар қисмига тушаётган кучланиш ( $IR$ ) дан  $R_{31}$ ,  $R_{32}$ ,  $R$ ,  $R_r$  — қаршиликларда  $i_r$  — ток ҳосил қилган кучланиш йифиндиси билан фарқланади.  $i_r=0$  бўлганда улардаги кучланиш нолга teng бўлиб, (1.10) формулада инобатга олинмайди. Шундай қилиб, зондлар қаршилигининг солиширима қаршиликка таъсири кучланишни компенсация усули билан ўлчаганда йўқотилади, чунки ўлчов пайтида зондлардан оқаётган ток нолга келтирилади: бу идеал ҳолатга тўғри келади. Ҳар қандай асбоб занжирда токнинг йўқлигини қандайдир хатолик билан кўрсатади. Қайд қилиниши мумкин бўлган кичик ток  $i_{r,\min}$  га teng. Зондлар занжирдан оқаётган ток  $i_r < i_{r,\min}$  бўлади, тасодифан  $i_r=0$  бўлиши ҳам мумкин. (1.15) формула билан аниқланаётган солиширима қаршиликтининг хатолиги:

$$\frac{\Delta\rho}{\rho} = \frac{i_{r,\min}(R_{31} + R_{32} + R + R_r)}{IR} \quad (1.12)$$

Зондлар қаршилиги солишири маңыздағы қаршилик натижаларыга таъсир күрсатмаслиги учун уларнинг қаршилиги йиғиндиси  $R_{31} + R_{32} \ll R + R_t$  бўлиши керак.  $R_{31} + R_{32} \ll R$  бўлганда нисбий хатолик минимум бўлади ва:

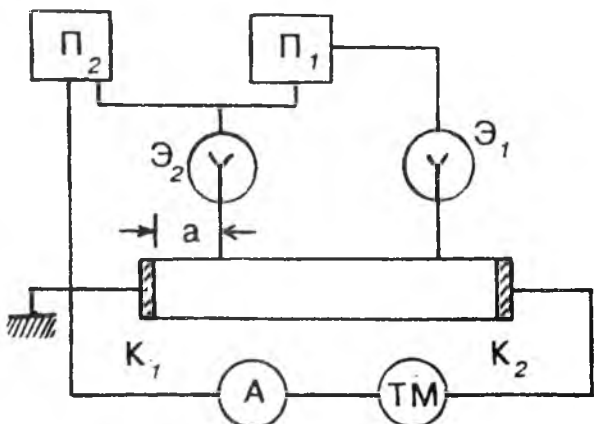
$$\frac{\Delta\rho}{\rho} = \frac{i_{r,\min}}{I}$$

Агар зондлар орасидаги кучланиш ички қаршилиги юқори Ом ли бўлган ( $R_v > 10^{10} \Omega$ ) вольтметр-электрометрлар билан ўлчангандан зондлардан оқаётган токларнинг кичик бўлиш шартини, яъни зондлар қаршилигига тушаётган кучланишни эътиборга олмаса бўладиган шароитни таъминлаш мумкин. Бу ҳолда вольтметр билан

$$U_V = \frac{IR}{1 + \frac{(R_{31} + R_{32} + R)}{R_v}} \quad (1.13)$$

кучланиш ўлчанади. Бу ерда:  $R_v$  — вольтметрнинг ички қаршилиги.  $R_{31} + R_{32} + R \ll R_v$  бўлганда  $U_V = IR$  бўлади. Бундан (1.2) формула орқали солишири маңыздағы қаршилик ҳисобланади. Агар кучланишни ўлчашда уни автоматик компенсацияланмаса, вольтметр билан кучланишни ўлчаш тез бўлади. Одатда юқори Ом ли намуналарда солишири маңыздағы қаршиликни ўлчашда электрометрлар ишлатилади. Потенциометр ишлатилганда у ноль асбоби сифатида қўлланилади.  $K_1$  ва  $K_2$  контактларнинг  $\rho$  ни аниқлашга таъсири тўғрисида шуни айтиш мумкинки, агар бу контактлар қаршилиги нольга teng бўлмаса, намунанинг умумий қаршилиги ошади ва натижада ток камаяди. Лекин ток амперметр билан ўлчангани учун у ҳеч қандай таъсир кўрсатмайди. Юқорида кўрсатилганидек, агар бу контактлардан ток ўтганда контакт соҳасида заряд ташувчилар концентрациясини инжекция, эксклюзия, экстракция, аккумуляция туфайли ўзгаришга олиб келса, солишири маңыздағы қаршилик ўзгариши мумкин. Концентрация ўзгарадиган соҳа кенглиги заряд ташувчиларнинг икки, уч диффузион узунлигига teng бўлади, одатда  $\rho$  кичик электр майдон кучланганлигига ўлчанади.

Зондларни  $K_1$  ва  $K_2$  контактлардан ( $a \geq 3L$ ) шу масофадан каттароқ бұлған масофада жойлаштириб, хатолик пайдо бўлишидан кутулиш мумкин. Бу ҳолда диффузион узунликни камайтириш мумкин. Концентрациянинг ўзгариш таъсирини сусайтириш учун намунада контакт соҳасининг сиртига йирик кукунсимон моддалар билан ишлов берилади, бу билан сирт рекомбинация тезлиги оширилади. Ўлчов асбоблари ва қурилмаларни электр билан таъминлаш тармоғидаги ва уни ўраб олган атроф фазодаги электромагнит майдонлар қурилмада ўзгарувчан кўшимча (кераксиз) — (паразит) сигналлар пайдо қилиши мумкин. Ўзгарувчан электромагнит майдонлар ўзгарувчан сигнал ҳосил қиласи. Бундан ўзгарувчан сигналнинг ўзгариш даври ўлчов асбобларини қайд қилиш вақтидан жуда кичик бўлганда, катта частотали сигнални қайд қилмаслиги, ўлчов асбобларининг инерционлиги туфайли эса юқори частотали сигналларни қайд қилмаслиги келиб чиқади. Лекин бу ундей эмас. Агар металл-ярим-үтказгич контакти чизиқли бўлмаган вольт ампер характеристикасига эга бўлса, ундан оқаётган ўзгарувчан токнинг доимий ташкил этувчиси вужудга келади. Уни ўлчов асбоблари қайд қиласи ва ўлчашни қийинлаштиради. Ўлчанаётган фойдали сигнал кичик бўлгани сари, фойдасиз

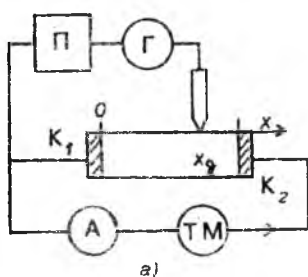


1.6-расм. Икки электрометр (потенциометр) билан солиштирма қаршиликни ўлчаш схемаси.

сигнални йүқотишиң қийинлашади. Симларни экранлаштириши ва тажриба курилмасини ерга улаш билан фойдасиз сигналларни камайтириш мумкин. Иккى зондли усул билан  $\rho$  ни үлчашда фойдасиз сигналларни камайтиришининг самарали усулидан бири 1.6-расмда келтирилган. Бу схемани 1.4-расмда келтирилган схемадан фарқи шундаки, бунда иккита потенциометр ва иккита нуль индикатор бор. Нуль индикатор сифатида электрометр ишлатилади.  $P_1$  ва  $P_2$  потенциометрларда кучланишни ўзгартириб, иккি электрометр  $\Theta_1$  ва  $\Theta_2$  да нульга эришиллади. Бундай ҳолатда  $P_1$  кучланиш зондлар орасидаги кучланишга тенг бўлади. Мана шуларни билган ҳолдагина  $\rho$  аниқланади. Потенциометр  $P_2$  нинг вазифаси шундаки, жуда катта бўлмаган ички қаршилиги орқали зондлар орасидаги кучланишни ўлчайдиган занжирни ерга улайди. Унинг ёрдамида намуна ва монтаж симларини экрансиз ҳолатда солиштирма қаршиликни  $10^{12}$  Ом. см гача үлчаш мумкин. У яримутказгичли намуналарнинг хоссаларини текширишда кенг қўлланилади.

### б. Бир зондли усул.

Бир зондли усул билан солиштирма қаршиликни ўлчаш усули иккি зондли усулнинг бир кўринишишидир (1.7а-расм). Бунда потенциометрнинг бир учи ток ўтказувчи контактлардан бири, масалан,  $K_1$ , билан уланади, сиртдаги зонд кўзғалувчан бўлади. Бу билан зонддан  $K_1$  — контактгача



1.7-расм. Бир зондли усул билан солиштирма қаршиликни ўлчашнинг схемаси (а), намуна бўйлаб потенциалнинг тақсимланиш турлари (б).



бўлган масофани ўзгартириш мумкин бўлади. Масофа-нинг икки қийматида зонд билан  $K_1$  — контакт орасида-ги кучланиш ўлчаниб, солиштирма қаршилик (1.2) га кўра қўйидаги формула билан аниқланади:

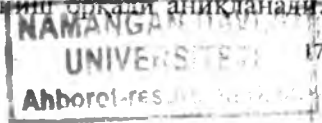
$$\rho = \frac{S}{I} \cdot \frac{U(X_{31}) - U(X_{32})}{X_{31} - X_{32}} \quad (1.14)$$

$U(x)$  — намунадан ўтаётган ток  $I$  нинг  $K_1$  контактдан зондгача бўлган қисмида ҳосил қилган кучланиши. Бун-да контактнинг солиштирма қаршилик натижасига таъсири икки зондли усул каби бўлади. Бу усул намуналарни бир жинсликка текширишда, бир жинсли бўлмаган намуналарда солиштирма қаршиликни намуна узунлиги  $x$  бўйича тақсимотини аниқлашда, контактларни Ом кон-тактига текширишда, ток ўтувчи контактларнинг қарши-лигини топишда қўлланиши мумкин.

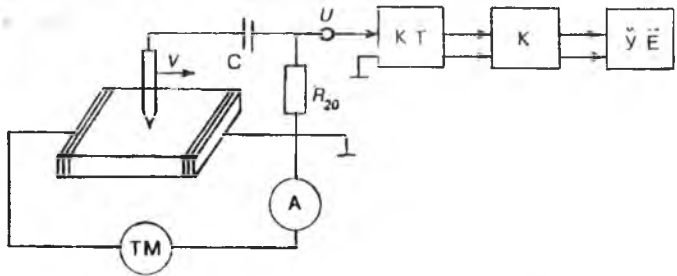
$U(x)$  ни дифференциаллаб қўйидагини топамиз:

$$\rho(x) = \frac{S}{I} \frac{dU(x)}{dx} \quad (1.15)$$

Намунанинг берилган нуқтасидаги солиштирма қар-шилик  $U(x)$  графикнинг  $x$  нуқтасига ўтказилган уринма-нинг тангенсига пропорционал.  $U(x)$  ни масофага боғ-лиқлиги 1.7б-расмда келтирилган. Чизмадаги 1-боғланиш  $K_1$  контакт қаршилиги  $R_{K_1} = 0$  бўлган бир жинсли намуна-га; 2— $K_1$  контакт қаршилиги  $R_{K_1} = 0$  бир жинсли бўлмаган намунага; 3—4— $K_1$  контакт қаршилиги  $R_{K_1} \neq 0$  бўлган мос равищда бир жинсли ва бир жинсли бўлмаган намуна-ларга тегишилдири. 3 ва 4 графикларда  $x=0$  да кучланиш-нинг сакраши  $U_{K_1}$  — кучланишни контакт қаршилигига тушиши билан боғланган. Унинг катталиги  $R_{K_1} = U_{K_1}/I$  билан топилади. Контакт қаршилигини вужудга келтирувчи қат-ламнинг қалинлиги кичик ва зонд билан қаршиликни бу соҳадаги тақсимотини текшириб куриш мумкин бўлмай-ди. Бу боғланишлар  $K_2$  контакт Ом контакти бўлганда ўринли бўлади. Агар бу контакт омик бўлмаса,  $x=a$  да кучланишнинг сакраши кузатилиши керак. Одатда кон-тактларнинг хусусияти вольт-ампер характеристикасини ўрганиш сакари аниқланади.



Namangan  
Davlat  
Universiteti  
1679  
Oʻsma qutubxonasi



1.8-расм. Бир зондли усул билан  $\rho(x)$  ни автоматик үлчаш схемаси:  
 $V$  — зонд тезлиги, КТ — катод такрорлагич, К — кучайтиргич,  
 $\ddot{Y} \ddot{E}$  — ўзи ёзгич.

Бир зондли усулни яримүтказгич монокристалларининг кичик соҳаларидағи нуқсонларини ўрганишга қўллашда зонд  $V$  — тезлик билан сирт бўйлаб ҳаракатланади. Зонд билан контактлардан бири орасида пайдо бўлган кучланишни дифференциалловчи  $RC$  занжирга берилади. Шу сабабли конденсатордан ўтаётган ток унга тушаётган кучланишнинг ҳосиласига пропорционал:

$$i_c = C \frac{dU_c}{dt} \quad (1.16)$$

Дифференциалловчи занжирнинг доимий вақти,  $\tau = RC$  етарли кичик бўлганда  $R$  — қаршиликка тушган кучланиш

$$U_R = i_c R = RC \frac{dU_c}{dt} = CR \frac{dU_c}{dx} = R \cdot c \cdot V \frac{dU_c}{dx} = R \cdot C \cdot V \frac{I}{S} \rho(x) \quad (1.17)$$

ифода билан аниқланади. Ўзиёзар асбоб билан қайд қилинган  $R$  қаршиликдаги кучланиш солиштирма қаршиликка пропорционал бўлиб, г нинг намуна бўйича тақсимотини кўрсатади. Усулнинг нобиржинсликни қайд қилиш қобилияти қўзғалувчи зонд диаметрига, уни қўзғалиш тезлигига,  $V$  га, асбобларнинг сезирлигига ҳамда  $RC$  — занжир параметрига боғлиқ. Бир зондли усулда ўртача солиштирма қаршилик зонд билан намуна кон-

тактлашиш юзасига мос келади, бундан қуринаники, бир жинсли бўлмаганликнинг энг кичик кўлами зонднинг контактлашиш диаметри  $d$  дан ошмайди. Ўлчаш чизмасининг инерционлиги икки доимий вақтнинг энг каттаси билан аниқланади: занжирнинг доимий вақти  $RC=\tau$  ёки қайд қилувчи асбобларнинг доимий вақти  $\tau_a$  дир. Бу катталиклар зонднинг сўрилиш тезлигини чегаралайди. Ҳар бир доимий вақт  $RC=\tau$  ёки  $\tau_a$   $d$  — масофанинг зонд ўтиш вақтидан кичик бўлиши керак:

$$\frac{d}{V} > RC \quad \text{ва} \quad \frac{d}{V} > \tau_a \quad (1.18)$$

Бундай ҳолда, яримўтказгичнинг контакт қаршилиги кичик ва зонд ҳаракатланганда ўзгармайди деб фараз қилинган. Ҳақиқатда, агар контакт қаршилиги фақат контактнинг тарқалган қаршилиги билан аниқланса (1.8-§ га қаранг), у ҳолда радиуси  $\sim 10$  мкм бўлган контакт учун солиштирма қаршилиги 100 Ом. см бўлган намунада контакт қаршилиги 20 кОм га етади. Зонд намуна бўйлаб ҳаракатланганда кўчиш қаршилиги, зонд билан яримўтказгичнинг ҳар бир нуқтада контактлашиш юзасининг ўзгариши туфайли кучли ўзгариши мумкин. Бунда чизма бир вақтда солиштирма қаршиликнинг намуна бўйича тақсимланишини ва контакт қаршилигининг тебранишини қайд қиласи, натижалар эса қайтарилмайди. Контакт қаршилигини тўғри ўлчашнинг зарурый шарти

$$R_{\text{кир}} \gg R_k + \Delta R$$

бўлади.  $R_{\text{кир}}$  — қайд қилувчи қурилманинг тўла кириш қаршилиги,  $\Delta R$  — контакт қаршилигининг ўзгариши. Шуни таъкидлаш керакки, бир зондли усул билан ўзгармас ва ўзгарувчан токларда солиштирма қаршиликни ўлчаш мумкин. Ўзгарувчан ток билан ўлчашда зонддан кучланишини олдин ажратувчи конденсатор орқали катодли такрорлаш қурилмасига берилади (бунда катта қаршиликли кириш сигналини кичик қаршиликли чиқиш сигналига амплитудасини ўзгартирмай айлантириб беради), сўнг сигнал тўғриланади ва дифференциалловчи занжирга берилади. Бу усул билан намуналарда солиштирма

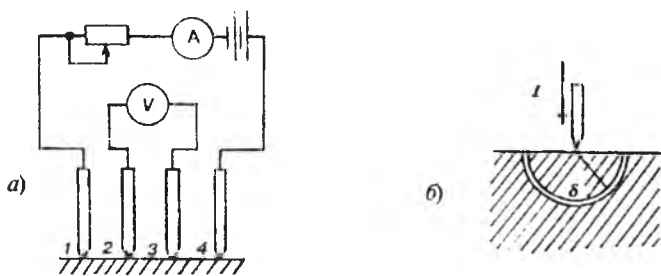
каршилик  $250 \text{ Ом} \cdot \text{см}$  тacha бўлган оралиқда ўлчангандা, хатолик  $5\%$ дан ошмайди. Солиштирма қаршилиги катта бўлган намуналарни ўлчашиб контакт қаршилиги ошиши билан боғлиқ хатолик пайдо бўлади.

Бу усул билан солиштирма қаршиликни ўлчашнинг қўйи чегараси унинг қизиши билан чекланган ва  $0,005 \text{ Ом} \cdot \text{см}$  тартибидадир. Қўзғалувчан зонд сифатида қаттиқ материаллар (масалан, карбид-кремний) симлари ҳамда диаметри  $2 \text{ мм}$  ли думалайдиган пўлат шардан ясалган зонд манипулятори ишлатилади.

### 1.3-§ Тўрт зондли усул

Яrimётказгичли намуналарнинг солиштирма қаршиликларини ўлчашиб усулларидан бир қанча афзалликларга эга бўлган 4-зондли усул кенг қўлланилади. Бунга ўлчашиб (метерологик) кўрсаткичининг юқорилигини, ўлчашиб учун намуналарга  $\text{Ом}$  контактларини олиш талаб этилмаслигини, бир томони ясси текисликдан иборат шакли ва ўлчамлари ҳар хил бўлган ҳажмий яrimётказгич намуналарини ҳамда кўп қаватли структураларда эпитаксиал, диффузион қатлам солиштирма қаршиликларини ўлчашиб мумкинлигини кўрсатиш мумкин. Бу усул билан ҳажмий монокристалларда, пластинка (тахтасимон) намуналарида солиштирма қаршиликни  $10^{-4} \div 10^3 \text{ Ом} \cdot \text{см}$  оралиқда, эпитаксиал, диффузион сирт қаршилигини  $1 \div 5 \cdot 10^5 \text{ Ом} \cdot \text{см}$  оралиқда ўлчашиб мумкин.

Тўрт зондли усулнинг бир кўриниши 1.9-расмда кўрсатилган. Бир томони ясси текис сирт билан чегараланган яrim чексиз намунанинг сиртига бир чизиқда жойлашган тўртта учи ингичкалаштирилган металл электродлар (зондлар) жойлаштирилган. Икки четки зонддан ток ўтказилади ва икки ўрта зондлардан кучланиш (зондлар орасидаги потенциаллар айирмаси) ўлчанади. Бу икки катталиқ — ток ва кучланиш орқали солиштирма қаршилик аниқланади. Усул назарияси Вальдес томонидан 1954 йилда яратилган бўлиб, яrimётказгич ва зондни кичик юзаси билан kontaktлашган нуқтасидан токнинг яrimётказгичда тарқалишига асосланган.



1.9-расм. Яримчексиз намуналарда солишириң маңыздылыктың түрт зондли усул билан үлчаш схемаси (а), нүктавий зонд модели (б).

Солишириң маңыздылык  $\rho$  ни ток (I) ва күчланиш ( $U$ ) билан боғланган ифодасини топиш учун ярим чексиз (үлчамлари зондлар орасидаги масофа  $S$  дан жуда катта, ( $a, b, d \gg S$ ) намунанинг ясси сирти билан контактлашган алоҳида олинган нүктавий зонд чегарасидан ярим-үтказгичга ток тарқалиш масаласини ечиш керак (1.96-расм). Ярим чексиз намуналарда нүктавий контактлашган зонд билан яримүтказгич чегарасидан тарқалаётган ток, потенциал тақсимоти сферик симметрияга эга бўлади. Бу ҳол учун Ом қонуни

$$j = \sigma E = -\frac{1}{\rho} \cdot \frac{d\varphi}{dr} \quad (1.19)$$

ва ток зичлигининг

$$j(r) = \frac{I}{2\pi r^2} \quad (1.20)$$

ифодаларидан фойдаланиб, намунада потенциал тақсимланишини топамиз:

$$\varphi(r) = \frac{I\rho}{2\pi r} + A \quad (1.21)$$

бу ерда,  $A$ -ўзгармас катталик.

Потенциал ишораси ток йұналиши билан аниқланады, исталған нүқтадаги потенциал ұар бир ток зондларининг ҳосил қылган потенциалларининг йиғиндисидан иборат. Намунаға кираётган токнинг ҳосил қылган потенциали мусбат, чиқаётган токнинг ҳосил қылған потенциали эса манфий бўлади. Демак, ўлчов зондларининг контактларидағи 2 ва 3 потенциаллари 1 ва 4 зондлар ҳосил қылған потенциаллар йиғиндисига тенг. Ток йұналишини, яъни 1 ва 4 ток манбалари ҳосил қылған потенциаллар ишораларини назарда тутганда 2 ва 3 нүқталардаги потенциаллар ифодаси (1.21) га кўра қўйидаги кўришишни олади:

$$\varphi_2 = \frac{I\rho}{2\pi} \left[ \frac{1}{S_1} - \frac{1}{S_2 + S_3} \right] + A \quad (1.22)$$

$$\varphi_3 = \frac{I\rho}{2\pi} \left[ \frac{1}{S_1 + S_2} - \frac{1}{S_3} \right] + A$$

Икки ички (2 ва 3) зондлардаги потенциаллар айрмаси-нинг кучланиш тушуви  $U_{23}$  қўйидагича бўлади:

$$U_{23} = \varphi_2 - \varphi_3 = \frac{I\rho}{2\pi} \left[ \frac{1}{S_1} - \frac{1}{S_2 + S_3} + \frac{1}{S_3} - \frac{1}{S_1 + S_2} \right] \quad (1.23)$$

Зондлар орасидаги масофалар бир-бирига тенг ( $S_1=S_2=S_3=S$ ) бўлганда (1.23) дан солиштирма қаршилик ифодаси қўйидаги кўринишни олади:

$$\rho = \frac{U_{23}}{I_{14}} \cdot 2\pi S \quad (1.24)$$

Тўрт зондли усул билан солиштирма қаршиликни аниқлашда зондларнинг исталған иккитасидан ток ўтказиб, қолган иккитасидан кучланишни ўлчаш мумкин. Бу ҳолда (1.24) ни

$$\rho = \frac{U_{23}}{I_{14}} \cdot SF_1^* \quad (1.25)$$

күринишида ифодалаймиз. Бунда  $F^*$  зондларнинг чизмага уланишига қараб, ҳар хил қийматларни қабул қиласди (1.1- жадвалга қаранг)

### 1.1. жадвал

Зондларнинг чизмага уланиши	Ток ўтадиган зондлар	Кучланиш ўлчанадиган зондлар	$F_1^*$ $a, b, d \gg S$	$F_2^*$ $a, b \gg S,$ $d \ll S$
1	1—4	2—3	$2\pi$	4,532
2	2—3	1—4	$2\pi$	4,532
3	1—3	2—4	$3\pi$	15,5
4	2—4	1—3	$3\pi$	15,5
5	1—2	3—4	$6\pi$	21,84
6	3—4	1—2	$6\pi$	21,84

$F_1^*$  — ярим чексиз қалин намуналар учун,

$F_2^*$  — ярим чексиз юпқа намуналар учун тузатиш коэффициентлари. Жадвал таҳлилидан зондларни чизмага уланишида 1- ва 2-усулларнинг афзаллигини кўрамиз, чунки бундай ҳолларда ўлчанаётган кучланиш энг катта қийматга эришади. Умумий тарзда ярим чексиз намуналарда потенциалнинг тақсимоти, яъни потенциалнинг ( $r$ ) ма-софага боғлиқлиги сферик координата системасида ифодаланган Лаплас тенгламаси ечимидан топилади. Биз кўраётган масалада потенциал сферик симметрия бўйича тарқалганилигини ҳисобга олиб, Лаплас тенгламасининг фақат ( $r$ ) га боғлик ҳади кўрилади:

$$\Delta\varphi = \frac{1}{r^2} \frac{d}{dr} \left( r^2 \frac{d\varphi}{dr} \right) = 0 \quad (1.26)$$

Лаплас тенгламаси (1.26) ни  $r = 0$  нуқтада мусбат, масофанинг жуда катта қийматида нольга интилувчи, яъни  $r = 0$  да  $\varphi(r) > 0$  ва  $r \rightarrow \infty$  да  $\varphi(r) \rightarrow 0$  чегаравий шартни қаноатлантирувчи ечими

$$\varphi(r) = -\frac{C_1}{r} + A \quad (1.27)$$

бұлади. Интеграллаш доимийсі ( $C_1$ )  $r=r_0$  да майдон күчланғанлыгыни  $E(r_0)$  га тенглік шартидан топилади:

$$E(r_0) = j\rho = \frac{I\rho}{2\pi r_0^2} \quad (1.28)$$

Юқорида айтилғанидек,  $j = \frac{I}{2\pi r_0^2}$ , радиуси  $r_0$  га тенг бұлған яримшар сиртидан оқаёттан ток зичлигидир. Иккінчи томондан,  $\bar{E}(r_0)$  ни (1.27) дан фойдаланған ҳолда қуидагыча ёзиш мүмкін:

$$E(r_0) = -\left. \frac{d\varphi}{dr} \right|_{r=r_0} = \frac{C_1}{r_0^2} \quad (1.29)$$

Бу икки (1.28) ва (1.29) ифодалардан интеграллаш доимийсі ( $C_1$ )

$$C_1 = \frac{I\rho}{2\pi} \quad (1.30)$$

бұлади. Интеграллаш доимийсі ( $C_1$ ) ни (1.27) га құйсак, худли (1.28) га үхшаш ифоданы ғламағыз.

Солишинда қарциликни түрт зондли усул билан үлчаш шартларини таъкидлаб үтиш зарурдир.

1. Ўлчов бир жинсли намунаңынг ясси текис сиртида бажарылиши керак.

2. Контакт орқали асосий бұлмаган заряд ташувчилар-нинг инжекцияси бұлмаслиги керак. Бу сирт рекомбинация тезлигі катта бұлған намуналарда кузатылади, бу сиртта маълум ишлов бериш билан Эришиләди.

3. Токнинг сирт бүйіча сирқиши (оқиши) бұлмаслиги керак.

4. Зондлар намуна сирти билан нұқтада контактлаш-ған бўлиши ва бир чизикда ётиши керак.

5. Ток ўтказувчи зондлар билан яримүтказгич намуна сирти чегарасида зондлар кичик радиусли яримшар қўри-нишида бўлиши керак.

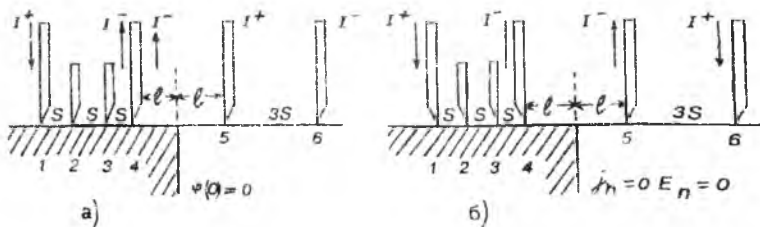
6. Зондларни намуна сирти билан контактлашган юза-сининг диаметри зондлар орасидаги масофадан жуда ки-чик бўлиши керак ( $D \ll S$ ).

Шуни эслатиб ўтиш керакки, кўп ҳолларда яримүтказгич намуналари аниқ геометрик ўлчамларга эга бўла-ди ва зондлар билан намуна қирраси орасидаги масофа  $I$  зондлар орасидаги масофа тартиби билан бир қаторда бўлади, бу ток зичлигининг потенциал тақсимотида сфе-рик симметрия қонунининг бузилишига олиб келади. Натижада (1.24) формула билан аниқланган солиштирма қаршиликнинг қиймати ҳақиқий қийматдан фарқли бўла-ди, яъни хатоликка олиб келади. Шунинг учун умумий ҳолда  $\rho$  нинг ҳақиқий қийматини топиш учун яримчек-сиз намуналар учун ўринли бўлган (1.28) формулага на-муна ўлчовларига ва зондларнинг намуна сиртида жой-лашишига боғлиқ бўлган тузатиш функцияси ( $F$ ) кирити-лади ва (1.24) куйидагича ифодаланади.

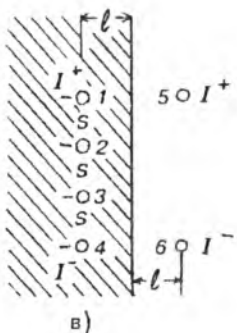
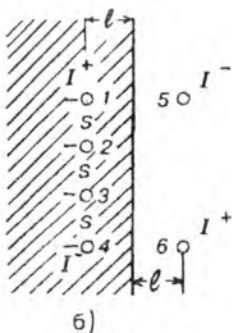
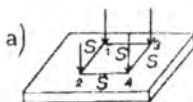
$$\rho = \frac{U}{I} 2\pi SF(I/S) \quad (1.31)$$

Баъзи бир ҳоллар учун тузатиш функциясини кўриб чиқайлик.

1. Яримчексиз, яъни геометрик ўлчамлари бир чизиқ да жойлашган зондлар орасидаги масофадан жуда катта



1.10-расм. Яримчексиз намунанинг электр ўтказувчан (а), изолятор (б) мұхит билан чегараланган томонига зондлар чизиги тик бўлганда тузатиш функциясини ҳисоблаш модели чизмаси.



1.11-расм. Зондлар чизиги яримчексиз намунанинг ўтказувчан (б) изолятор (в) мұхит билан чегараланған томонига параллель бўлганда тузатиш функциясини ҳисоблаш модели чизмаси. Солишишима қаршиликни тўрт зондли (квадрат) усул билан ҳисоблаш (а).

бўлган намунада (*a, b, d*  $\gg S$ ) зондлар ётган текислик намунанинг ўтказувчан (металл қатлам — Ом контакти) ёки ток ўтказмайдиган мұхит (масалан, ҳаво) изолятор билан контактлашган чегарасига тик ва параллел бўлсин. Биринчи ҳолда зондларнинг четки зонди, иккинчи ҳолда зондлар текислиги намуна чегарасидан *l* масофада жойлашган (1.10 ва 1.11-расм).

Тузатиш функцияларини электростатикада кенг қўлланиладиган кўзгуда тасвир усули (метод зеркального изображения) орқали ҳисобланади.

Маълумки, намунанинг бирон сирти ток ўтказмайдиган мұхит (ҳаво, изолятор) билан чегараланған (контактлашган) бўлса (1.10б-расм), шу сиртда ток зичлигининг, электр майдон кучланғанлигининг тик (нормал) ташкил этувчиси нолга teng бўлади.

$$\varphi_n = 0; E_n = 0 \quad (1.31a)$$

Агар намуна сирти ўтказувчан мұхит (Ом контакти) билан чегараланған бўлса, шу сиртда унинг потенциали нолга teng бўлади (1.11а-расм):

$$\varphi(0)=0 \quad (1.316)$$

Кўзгуда тасвир усули билан тузатиш функцияларининг аналитик ифодасини аниқлаш учун намуна сирти қандай муҳит билан контактлашганлигига қараб (1.31a) ёки (1.31b) шартларни бажарилишини таъминловчи симметрик жойлаштирилган мавхум нуқтавий ток манбалари жойлаштирилади ва потенциал зондлар контактлашган нуқталаridаги натижавий потенциалларини ҳамда икки зонд орасидаги потенциаллар айирмаси (потенциал тушувини топиш керак бўлади. Мисол учун энг содда ҳолни кўрайлик. Зондлар бир чизиқда жойлашган бўлиб, улар орасидаги масофалар teng бўлсин ( $S_1=S_2=S_3=S$ ). Зондлар (ётган текислик) чизиги ток ўтказмайдиган муҳит билан чегараланган қиррасига тик бўлиб, четки зонди чегарадан  $l$  масофада жойлашсин. Намунанинг қолган томонлари  $S$  дан жуда катта масофада бўлиб, потенциал тақсимотига таъсир кўрсатмайди (1.10-расм). Бу ҳолда қаралаётган ён сиртидан  $l$  — масофага симметрик жойлаштирилган бир хил ишорали мавхум нуқтавий (5 ва 6) ток манбалари (1.31a) шартни бажарилишини таъминлайди. Потенциал 2 ва 3 зондларда тўртта (1, 4, 5, 6) нуқтавий ток манбалари ҳосил қилган натижавий потенциаллари

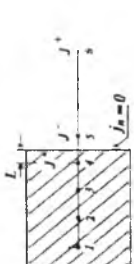
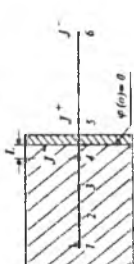
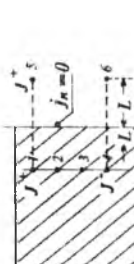
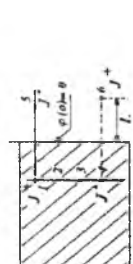
$$\varphi_2 = \frac{I\rho}{2\pi} \left( \frac{1}{S} - \frac{1}{2S} - \frac{1}{2S+2l} + \frac{1}{5S+2l} \right) + A \quad (1.32)$$

$$\varphi_3 = \frac{I\rho}{2\pi} \left( \frac{1}{2S} - \frac{1}{S} - \frac{1}{S+2l} + \frac{1}{4S+2l} \right) + A \quad (1.33)$$

бўлади. Икки ички (2 ва 3) зондлардаги потенциаллар айирмаси — кучланиш тушуви

$$U_{23} = U_2 - U_3 = \frac{I\rho}{2\pi S} \left( 1 + \frac{1}{1+2l/S} - \frac{1}{2+2l/S} + \frac{1}{5+2l/S} \right) \quad (1.34)$$

кўринишни олади. (1.34) дан солишишима қаршиликни (1.30) кўринишда ифодаласак, тузатиш функцияси

Бир чизикда жойлаштирилган 4 зондли усулнинг тузатиш функциялари	
№	Зондларнинг жойланиши
1	 $F_1 = \left( 1 + \frac{1}{1+2I/S} - \frac{1}{2+2I/S} - \frac{1}{4+2I/S} + \frac{1}{5+2I/S} \right)^{-1} \quad (1.35)$
2	 $F_2(I/S) = \left( 1 + \frac{1}{2+2I/S} - \frac{1}{4+2I/S} - \frac{1}{1+2I/S} - \frac{1}{5+2I/S} \right)^{-1} \quad (1.36)$
3	 $F_3(I/S) = \left[ 1 + \frac{2}{\sqrt{1+(2I/S)^2}} + (1+(I/S)^2)^{-\frac{1}{2}} \right]^{-1} \quad (1.37)$
4	 $F_4(I/S) = \left[ 1 - 2 \cdot (1 + (2I/S)^2)^{-\frac{1}{2}} + (1 + (I/S)^2)^{-\frac{1}{2}} \right]^{-1} \quad (1.38)$

$$F_1(l/S) = \left( 1 + \frac{1}{1+2l/S} - \frac{1}{2+2l/S} + \frac{1}{4+2l/S} - \frac{1}{5+2l/S} \right)^{-1} \quad (1.35)$$

бўлишлигини кўрамиз. Юқорида қайд этилган бошқа ҳолатлар учун тузатиш функциялари, мавҳум нуқтавий ток манбаларининг жойланиши 1.2а-жадвалда, уларнинг ҳар хил  $l/S$  учун қийматлари 1.2-жадвалда келтирилган.

### 1.2б-жадвал

$l/S$	$F_1(l/S)$	$F_2(l/S)$	$F_3(l/S)$	$F_4(l/S)$
0	1,82	0,62	0,5	$\infty$
0,2	1,365	0,79	0,533	8,07
0,5	1,182	0,882	0,658	2,08
1	1,06	0,947	0,842	1,232
2,0	1,01	0,992	0,965	1,038
5,0	1,004	0,996	0,997	1,003
10,0	1,005	0,9995	0,9996	1,004

Жадвал таҳлилидан кўринадики,  $l \geq 3S$  бўлганда ҳамма кўрилган ҳолатлар учун тузатиш функциялари бирга яқин. Шунинг учун уни инобатга олиш шарт бўлмайди. Намуналарда солиширмаларни аниқлашда зондларнинг томони  $S$  бўлган квадрат учига жойлаштирилган усул билан ҳам аниқлаш мумкин (1.11а-расм). Бу усул билан солиширмаларни аниқлашда 1 ва 2 зондлардан I ток ўтказилиб, 3 ва 4 зондлар орқали потенциаллар айирмаси аниқланади. Яримчексиз намуналар учун ( $a, b, d \gg S$ ), яъни, намуна ўлчамлари зондлар орасидаги масофадан жуда катта бўлганда солиширмаларни аниқлаш

$$\rho = \frac{U_{34}}{I_{12}} \cdot \frac{2\pi S}{2 - \sqrt{2}} \quad (1.39)$$

формула билан ҳисобланади.

Зондлар яримчексиз намунанинг бирор томонига зондлар орасидаги масофа тартибида жойлашган бўлса,  $\rho$  нинг тузатиш функцияси ҳисобга олинадиган

$$\rho = \frac{U_{23}}{I_{14}} \cdot \frac{2\pi S}{2 - \sqrt{2}} F_s(l/S) \quad (1.40)$$

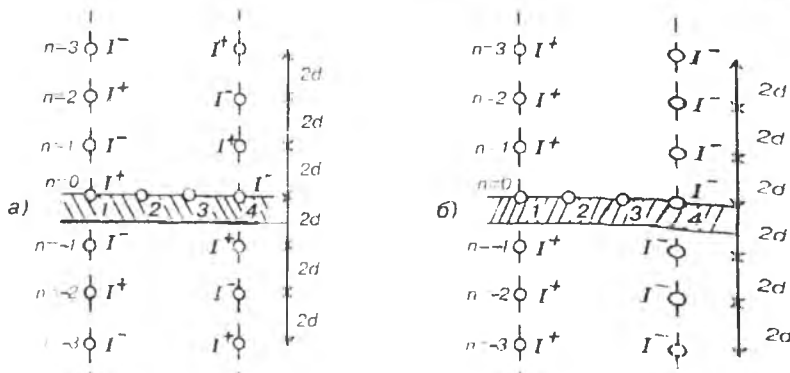
ифода билан аниқланади.

Тузатиш функцияси  $F_s(l/S)$  нинг ҳар хил ҳолатлар учун аналитик ифодаси 1.3-жадвалда келтирилган. Бу функцияларни ҳисоблашлардан кўринадики, бирорта изоляцияланган ёки ўтказувчан қиррадан  $l$  — масофада ток зондлари перпендикуляр ёки параллел жойлашганда қирранинг таъсирини ҳисобга оладиган тузатиш функциялари  $l/S \geq 3$  да бирга яқин.

Намуна ўлчамлари (эни, бўйи, диаметри) чексиз катта ( $a, b \gg S$ ), лекин қалинлиги зондлар орасидаги масофа тартибидаги пластина кўринишида бўлсин.

Бу намуналарда солиширма қаршиликни аниқлаш яримчексиз намуналар каби тузатиш функциясини топишга келтирилади. Аммо бу ҳолда ҳам остки, ҳам устки сиртларидаги шартлар бир вақтда бажарилиши керак.

Агар намуна остки сатҳи ток ўтказувчан муҳит (Ом контакти) билан чегараланган бўлса, (1.12а-расм) юқори

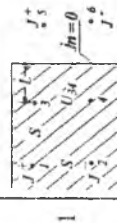


1.12-расм. Остки сирти ўтказувчан (a), диэлектрик (б) муҳит билан чегараланган пластиналарда мавҳум ток манбаларининг жойланиш тартиби.

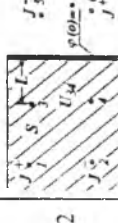
Зондларнинг  
жойланниши

Квадрат учларига жойлаштирилган 4-зондли усулнинг

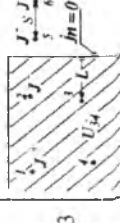
Гузатиш функциялари



$$F_{S1}(l/S) = (2 - \sqrt{2}) \left( 2 - \sqrt{2} + \frac{2}{(1+2l/S)} - \frac{2}{\sqrt{1+(1+2l/S)^2}} \right)^{-1} \quad (1.41)$$



$$F_{S2}(l/S) = (2 - \sqrt{2}) \left( 2 - \sqrt{2} - \frac{2}{(1+2l/S)} + \frac{2}{\sqrt{1+(1+2l/S)^2}} \right)^{-1} \quad (1.42)$$



$$F_{S3}(l/S) = (2 - \sqrt{2}) \left( 2 - \sqrt{2} + \frac{1}{(1+2l/S)^2} - \frac{2}{\sqrt{1+(1+2l/S)^2}} + \frac{1}{\sqrt{1+(2+2l/S)^2}} \right)^{-1} \quad (1.43)$$



$$F_{S4}(l/S) = (2 - \sqrt{2}) \left( 2 - \sqrt{2} - \frac{1}{(1+2l/S)^2} + \frac{2}{\sqrt{1+(2+2l/S)^2}} - \frac{1}{\sqrt{1+(2+2l/S)^2}} \right)^{-1} \quad (1.44)$$

сиртида  $j_n=0$ ,  $E_n=0$ , остки сиртида  $\phi=0$  шартлари, агар остки сатқи ток үтказмайдыган изолятор мұхит (масалан, ҳаво) билан чегараланған бўлса. 1.126-расм икки сиртида  $j_n=0$ ,  $E_n=0$  шартлари бажарилиши керак.

Намунанинг остки сирти үтказувчан мұхит билан чегараланған ҳолни қўрайлик (1.12а-расм). Бу ҳолда остки сиртида  $\phi=0$  шарт бажарилиши учун ( $n=-1$ ) да намунадан пастда  $d$  масофада ( $I^-$ ) ва ( $I^+$ ) мавхум ток манбаларини жойлаштирамиз, лекин устки сиртида  $j_n=0$ ,  $E_n=0$  ток зичлигининг нормал ташкил этувчисининг нолга тенглик шарти бузилади, унинг бажарилиши учун (пластина) намуна устки сиртидан ( $n=+1$ ) да  $2d$  масофага ( $+I$ ) ва ( $-I$ ) ток манбалари жойлаштирилади, бу билан остки сиртида  $\phi=0$  шарти бузилади, буни қаноатлантириши учун яна  $n=2$  да  $2d$  масофада ток манбалари киритамиз, бу ток манбаларини жойлаштириш чексиз кўп марта такрорланганда (1.12-расм) намунанинг остки ва устки сиртларида (1.31а, б) шартлар бажарилади. Агар намуна остки сирти изоляцияланған мұхит билан чегараланған бўлса, икки сиртида (1.31а) шарт бажарилиши худди юқоридагига ўхшаш кетма-кетликда мусбат ( $+I$ ) ток манбай томонида мусбат мавхум ток манбаларини, манфий ( $-I$ ) ток манбай томонида манфий мавхум ток манбаларини чексиз кўп марта такрорлаб жойлаштириш керак (1.126-расм). Аввалдан айтилганидек, 2 ва 3 нуқталардаги потенциаллар чексиз кўп ток манбалари ҳосил қилган потенциаллар йифиндисига тенг. Ток манбаларининг ишорасини ҳисобга олған ҳолда  $U_2$  ва  $U_3$  лар остки сирти үтказувчан мұхит билан чегараланған намуна учун (1.2) га кўра

$$U_2 = \frac{I\rho}{2\pi} \sum_{n=-\infty}^{n=\infty} (-1)^n \left\{ [S^2 + (2dn)^2]^{-\frac{1}{2}} - [(2S)^2 + (2dn)^2]^{-\frac{1}{2}} \right\} + A \quad (1.45)$$

$$U_3 = \frac{I\rho}{2\pi} \sum_{n=-\infty}^{n=\infty} (-1)^n \left\{ [(2S)^2 + (2dn)^2]^{-\frac{1}{2}} - [(S^2 + (2dn)^2]^{-\frac{1}{2}} \right\} + A \quad (1.46)$$

ифодалар билан аниқланади.

Бу икки тенгламадан  $U_{23} = U_2 - U_3$  ни топиб солиштирма қаршиликни

$$\rho = \frac{U_{23}}{I} 2\pi S g_1 \left( \frac{d}{S} \right) \quad (1.47)$$

күринишида ифодалаймиз. Тузатиш функцияси қўйидаги кўринишига эга бўлади:

$$g_1 \left( \frac{d}{S} \right) = \left[ 1 + 4 \sum_{n=1}^{\infty} (-1)^n \left[ \left( 1 + 4n^2 \frac{d^2}{S^2} \right)^{-\frac{1}{2}} - \left( 4 + 4n^2 \frac{d^2}{S^2} \right)^{-\frac{1}{2}} \right] \right]^{-1} \quad (1.48)$$

Юқоридаги усул билан ҳисоблаш икки томонидан ток ўтказмайдиган муҳит (изолятор) билан чегараланганд қалинлиги  $d$  — бўлган намуна учун тузатиш функцияси

$$g_2 \left( \frac{d}{S} \right) = \left[ 1 + 4 \sum_{n=1}^{\infty} \left[ \left( 1 + 4n^2 \frac{d^2}{S^2} \right)^{-\frac{1}{2}} - \left( 4 + 4n^2 \frac{d^2}{S^2} \right)^{-\frac{1}{2}} \right] \right]^{-1} \quad (1.49)$$

бўлишини кўрсатади.  $g_1(d/S)$  ва  $g_2(d/S)$  функцияларни  $(d/S)$  нинг ҳар хил қийматларидағи натижалари 1.3б-жадвалда келтирилган.

### 1.3б-жадвал

$d/S$	0,1	0,2	0,5	1	2	3,333	5	10
$g_1(d/S)$	$1,9 \cdot 10^{-6}$	$3,42 \cdot 10^{-3}$	0,228	0,683	0,983	0,988	0,9948	0,9993
$g_2(d/S)$	13,86	6,139	2,78	1,504	1,094	1,0228	1,007	1,00045

Жадвал натижалари таҳлилидан кўринадики,  $g_1(d/S)$  ва  $g_2(d/S)$  ларнинг қийматлари  $d/S \geq 4$  бўлганда бирга инти-

ди. Некин  $g_2(d/S)$  функция ( $d/S$ )нинг 0 дан 0,4 гача бўлган оралиғида ( $d/S$ ) билан тўғри чизиқли боғланган бўлиб,  $(2\ln 2)^{-1} d/S$  га пропорционал бўлади:

$$g_2(d/S) = (2\ln 2)^{-1} d/S \quad (1.50)$$

Шунинг учун  $0 \leq d/S \leq 0,4$  оралиғида икки томони ток ўтказмайдиган муҳит билан чегараланганда намунанинг солиштирма қаршилиги зондлар орасидаги масофага боғлиқ бўлмайди ва (1.47) га кўра

$$\rho = \frac{\pi d}{\ln 2} \cdot \frac{U}{I} = 4,53d \frac{U}{I} \quad (1.51)$$

Формула билан аниқланади.

#### **1.4-§. Юпқа қатламларда солиштирма қаршиликни тўрт зондли усул билан аниқлаш**

Агар намунанинг қалинлиги  $d$  зондлар орасидаги ма-софадан жуда кичик ( $d \ll S$ ) ва унинг чегаралари чексизликка узоқлаштирилган ( $a, b \gg S$ ) бўлса, 1 ва 4 зондлар соҳасида қалинлик бўйича кучланиш тушувини ҳисобга олмаслик мумкин. Бундай ҳолда токнинг ва потенциалнинг тақсимотини икки ўлчамли деб қараш мумкин. Потенциалнинг цилиндрик симметрия бўйича тақсимланишини ҳисобга олсак, икки ўлчамли Лаплас тенгламасининг (азимут бурчаги  $\theta$  ни ҳисобга олмаймиз).

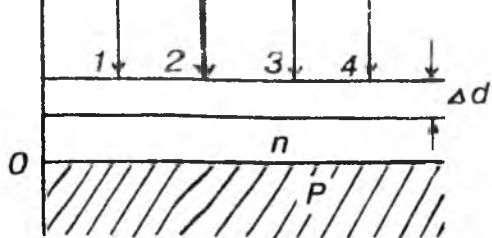
$$\Delta\varphi = \frac{1}{r} \frac{d}{dr} \left( r \frac{d\varphi}{dr} \right) = 0 \quad (1.52)$$

ечимидан потенциал ифодаси

$$\varphi(r) = C_1 \ln r + A \quad (1.53)$$

қўринишни олади  $C_1$  — интеграллаш доимийси, у электр майдон кучланганлигининг  $r=r_0$  да  $E(r_0)$  га teng бўлишидан аниқланади. Агар заряд ташувчиларнинг концентра-

1.13-расм. Бир жинсли бүлмаган юпка намуналарда солиширма қаршиликин қалинлик бүйича тақсимотини ўлчаш.



цияси ва ҳаракатчанлиги қатlam қалинлиги бүйича у координатасига боғлиқ бўлса (1.13-расм) радиуси  $r$ , баландлиги  $d$  бўлган цилиндр сиртидан оқаётган тўла ток ифодаси

$$I = \int_0^d 2\pi r \cdot \bar{E} en(y) \mu(y) dy = 2\pi r \bar{E} \sigma_n = 2\pi r \frac{\bar{E}}{\rho_n} \quad (1.54)$$

бўлади. Бу ерда:

$$\sigma_n = \frac{1}{\rho_n} = \int_0^d en(y) \cdot \mu(y) dy \quad (1.55)$$

сирт солиширма ўтказувчанлиги,  $\rho_n = \sigma_n^{-1}$  эса сирт солиширма қаршилиги деб юритилади.

Бир жинсли намуналарнинг ҳажмий солиширма қаршилиги, солиширма ўтказувчанлиги

$$\rho = \rho_n d; \quad \sigma = \sigma_n / d \quad (1.56)$$

билин аниқланади. Бу формула билан аниқланган катталик солиширма ўтказувчанликнинг қалинлик бүйича ўрталашган қийматини беради. (1.53) ифодадаги  $C_1$  интеграллаш доимийси (1.54) дан  $r = r_0$  да аниқланган

$$E(r_0) = \frac{I\rho_n}{2\pi r_0} \quad (1.58)$$

$$E(r_0) = -\frac{d\varphi}{dr} \Big|_{r=r_0} = -\frac{C_1}{r_0} \quad (1.5)$$

иғодаларнинг тенглигидан

$$C_1 = -\frac{I\rho_n}{2\pi} \quad (1.6)$$

Билан аниқланишини кўрамиз

Шундай қилиб, (1.60) ни (1.53) га қўйсак, потенциал ифодаси

$$\varphi(r) = -\frac{I\rho_n}{2\pi} \ln r + A \quad (1.61)$$

Бўлади. Бу ерда  $r$  ток зондлари, 1 ва 4 дан  $r_1$  ва  $r_4$  масофа да жойлашган нуқта координаталари 1 ва 4 зондлардан ўтаётган мусбат ва манфий токлар ҳосил қилган 2 ва 3 зондлардаги потенциалларни (1.61) билан ҳисоблаб,  $U_{23} = U_2 - U_3$  дан сирт солиштирма қаршилиги ифодаси

$$\rho_n = \frac{\pi}{\ln 2} \cdot \frac{U_{23}}{I_{14}} \approx 4,532 \frac{U_{23}}{I_{14}} \quad (1.62)$$

Қўринишда бўлишилигини топамиз. Бир жинсли юпқа қатламларнинг солиштирма қаршилигини умумий ҳолда

$$\rho = \rho_n d = \frac{\pi d}{\ln 2} \cdot \frac{U_{23}}{I_{14}} = \frac{U}{I} \cdot d \cdot F_2^* \quad (1.63)$$

Қўринишда ифодалаш мумкин. Агар намунадан ҳар хил комбинацияда уланган зондлар орқали ток ўтказилса, (1.63) формуладаги  $F_2^*$  коэффициент ҳар хил қийматлар қабул қилиши мумкин (1.1-жадвал). Масалан, 1 ва 2 ёки 3 ва 4 зондлардан ток ўтказиб, 3 ва 4 ёки 1 ва 2 зондлардан потенциаллар айримаси ўлчанса,  $F_2^* = 21,84$  бўлиши аниқланган.

Бир жинсли бўлмаган намуналарда сирт  $\rho_n(Y)$  ва х  
бўйича солиширига қаршиликлар  $\rho$  ( $y$ ) ни юпқа қатламларда қалинлик бўйича тақсимотини топиш учун қалинлиги ҳар бир ўлчовдан сўнг  $\Delta d$  га камайтириб бўлади. Бир-биридан  $\Delta d$  га камайтириб ўлчанган сиртлиширига қаршиликлари  $\rho_{n1}$ ,  $\rho_{n2}$  орқали  $\Delta d$  га камайтирилган қатламнинг сирт солиширига қаршилигини орқали  $\rho$

$$\rho_n = \rho_{n1} \rho_{n2} / (\rho_{n2} - \rho_{n1}); \quad \rho = \rho_n \Delta d \quad (1)$$

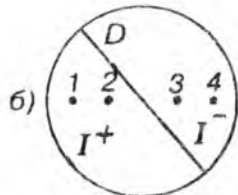
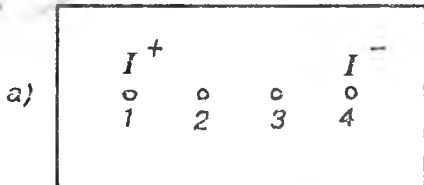
ифодалар билан ҳисобланади.

Юқорида қўрилган ҳолатда юпқа қатламнинг ишларни сирти изоляцияланган, яъни ток ўтказмайдиган таглардаги юпқа қатлам деб фараз қилинган. Қалинлиги зондлар орасидаги масофалар тартибида, лекин зондлар жана лашган сирт ўлчамлар чексиз катта ( $a, b \gg S$  ёки  $D \gg S$ ). Қатламларнинг, яъни пластинка (диск) шаклидаги наималарнинг солиширига қаршилигини аниқлашда (1) формуласи қалинликнинг таъсирини ҳисобга олади тузатиш функцияси киритилади ва у

$$\rho = \frac{\pi d}{\ln 2} \cdot \frac{U_{23}}{I_{14}} f(d/S) \quad (1)$$

Формула орқали ҳисобланади.

Тузатиш функцияси  $f(d/S)$  нинг қиймати жуда юпқа қатламларда, яъни  $d/S \leq 0,4$  да бирга яқин (унинг  $d/S \geq 0,4$  даги қийматлари 1.4-жадвалда келтирилган). Амалийдаги кўп ҳолларда геометрик ўлчамлари чекланган юпқа қатламларда (доира ва пластина кўринишидаги намуналарни солиширига қаршиликни аниқлашга тўғри келади). Ҳолда кўзгуда тасвир усулини қўллаб, тузатиш функцияларининг ифодаси топилади. Тузатиш функцияси содда ҳоллар — тўғри тўртбурчак шаклидаги пластинка (диск) кўринишидаги шакллар учун ҳисобланган (1) расм). Томонлари  $a$  ва  $b$  бўлган тўғри тўртбурчакли юпқа ( $d \ll S$ ) намунада зондлар катта томони ( $a$ )га паралель чизикда жойлашган бўлса, солиширига сирт қаршилигини орқали



1.14-расм. Геометрик үлчамлари чекланган юпқа ( $d \ll S$ ) тұғри түртбұрчак (a), доира — диск (b) шаклидаги намуналарда зондларнинг жойланиши.

$$\rho_n = \frac{U_{23}}{I} \cdot f\left(\frac{a}{b} \cdot \frac{b}{S}\right) \quad (1.66)$$

диаметри  $D$  бұлған диск шаклидаги юпқа намунада эса (1.14б-расм)

$$\rho_n = \frac{U_{23}}{I} \cdot f\left(\frac{D}{S}\right) \quad (1.67)$$

формулалар билан ҳисобланади.

Тузатиш функцияси  $f(D/S)$  зондлар диск марказидан үтган чизикда ётса, қуйидаги күринишга эга бўлади

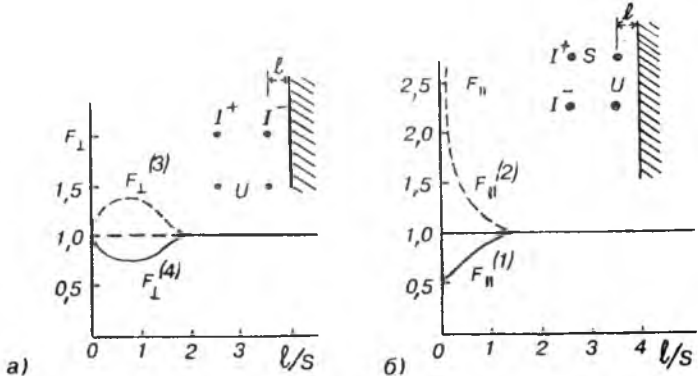
$$f(D/S) = \frac{\pi}{\ln 2 + \ln[(1 + 3(S/D)^2)/(1 - 3S^2/D^2)]} \quad (1.68)$$

Тузатиш функцияси  $f(a/b, b/S)$  ( $b/S$ ) нинг кичик қийматларида

$$f(a/b; b/S) \cdot \frac{S}{b} \approx f(a/b) \approx 1 \quad (1.69)$$

Шунинг учун (1.66) ни қуйидагича ифодалаймиз:

$$\rho_n = \frac{U_{23}}{I_{14}} \cdot \frac{b}{S} \cdot f(a/b) \approx \frac{U_{23}}{I_{14}} \cdot \frac{b}{S} \quad (1.70)$$



1.15-расм. Квадрат учларига жойлаштирилган түрт зондли усули билан  $\rho$ -ни аниқлашни ток үтказмайдыган мұхит билан чегараланған намуналарда ток зондларини туташтирувчи қисық параллель (б) ва перпендикуляр (а) бұлған ҳол учун тузатиш функциялари чизмаси.

Бундан солишикта сирт қаршилигининг тақрибий қийматини аниқлаш мүмкін. Тузатиш функцияларининг  $f(a/b, b/S)$ ,  $f(D/S)$ ,  $f(a/b)$  сон қийматлари 1.5-жадвалда көлтирилген. Агар намуна ның үлчамлары (эни, бүйі, қалинлиги түғри түртбұрчак шаклидаги ва қалинлиги  $d$ , диаметри  $D$  диск шаклидаги намуналарда) зондлар орасидаги масофа тартибида бұлса, унда икки тузатиш функцияларини  $f(d/S)$  ва  $f(a/b, b/S)$  ёки  $f(D/S)$  ҳисобға олган ҳолда  $\rho$  аниқланади. Намуна түртбұрчак шаклида бўлганда эса

$$\rho = \frac{U_{23}}{I_{14}} \cdot \frac{\pi d}{\ln 2} \cdot f\left(\frac{d}{S}\right) \cdot f\left(\frac{a}{b}, b/S\right) \quad (1.71)$$

күринишины олади.

#### 1.4-жадвал

$d/S$	0,4	0,5	0,714	1	1,25	1,4286	1,666	2
$f(d/S)$	0,9995	0,9974	0,9798	0,9214	0,849	0,7538	0,7225	0,6636

$b/S$ $D/S$	$f(D/S)$	$f(a/b, b/S)$			
		$a/b=1$	$a/b=2$	$a/b=3$	$a/b \geq 4$
1,00				0,9988	0,9994
1,25				1,2467	1,2248
1,50			1,4788	1,4893	1,4893
1,75			1,7196	1,7238	1,7238
2,00			1,9454	1,9475	1,9475
2,50			2,3532	2,3541	2,3541
3,00	2,265	2,457	2,7000	2,7005	2,7005
4,00	2,929	3,114	3,2246	3,2248	3,2248
5,00	3,362	3,510	3,5750	3,5750	3,5750
2,50	3,927	4,0095	4,0361	4,0362	4,0362
10,00	4,172	4,2209	4,2357	4,2357	4,2357
15,00	4,365	4,3882	4,2947	4,3947	4,3947
20,00	4,436	4,516	4,4553	4,4553	4,4553
40,00	4,508	4,5120	4,5129	4,5129	4,5129
	4,532	4,5324	4,5324	4,5325	4,5325

Намуна диск күринишида бўлганда

$$\rho = \frac{U_{23}}{I_{14}} \cdot \frac{\pi d}{\ln 2} f\left(\frac{d}{S}\right) \cdot f\left(\frac{D}{S}\right) \quad (1.72)$$

бўлади. Квадрат учларига жойлаштирилган турт зондли усул билан ўлчангандек юпқа қатламларнинг солиштирма қаршилиги

$$\rho = \frac{U}{I} \cdot \frac{2\pi}{\ln 2} d = R_s d = G_s^* \frac{U}{I} d \quad (1.73)$$

формула билан аниқланади. Бұу ердагы  $R_s = \rho/d$  қатламнинг сирт қарши тиги деб исемланади. Диаметри  $D$  булган деңгравий намунада  $\rho$  ни улчашла зондлар доира марказында жойлашған бўлса, тузатиш функцияси:

$$G_S^* = 2\pi \left[ \ln 2 + \ln \left( \frac{1 + 2S^2/D^2}{1 + 4S^2/D^2} \right) \right] \quad (1.74)$$

### 1.5-§. Эпитаксиал, диффузион қатламларнинг солишири мағарияттарын түрт зондли усул билан аниқлаш

Икки қатламли структураларда, масалан, таглик сиртида диффузия йўли билан олинган қатламни ёки тагликдан ўтказувчанинг катталиги ва тури билан фарқланган эпитаксиал қатламларнинг солишири мағарияттарини, уларнинг қалинлик бўйича тақсимотини аниқлашда түрт зондли усул кулланилиши мумкин (1.16-расм).

Чегаралари чексизликка силжиган юпқа икки қатламли структура ( $S > d_1, d_2$ ) ток зондларига нисбатан паралел уланган занжир ҳосил қиласи. Демак, 1 ва 4 зондлардан ўтаётган токнинг бир қисми  $I_1$  биринчи қатламдан,  $I_2$  қисми иккинчи қатламдан ўтади, яъни

$$I = I_1 + I_2 \quad (1.75)$$

$$U = I_1 \rho n_1 \frac{\ln 2}{\pi} = I_2 \rho n_2 \frac{\ln 2}{\pi} \quad (1.76)$$



1.16-расм. Солишири мағарияттарни түрт зондли усул билан ўлчаш мумкин бўлган эпитаксиал структура турлари.

Бу ~~символ~~:  $\rho_{n1}, \rho_{n2}$  — солишири ма сирт қаршилиги. Иккинчи ифода парапеллел уланган занжирдаги күчланишни, 2 ва 3 зондлардаги потенциаллар айирмасини беради. Бу икки формуладан  $\rho_1 = \rho_{n2}d_1$ ,  $\rho_2 = \rho_{n2}d_2$  эканлиги ҳисобга олинганда

$$(\sigma_1 d_1 + \sigma_2 d_2)^{-1} = (d_1/\rho_1 + d_2/\rho_2)^{-1} = \frac{\pi}{\ln 2} \cdot \frac{U}{I} \quad (1.77)$$

тенгликни топамиз. Агар қатламлардан бирини ўтказувчанлиги жуда катта, масалан, биринчи юпқа қатламники  $d_1\sigma_1 \gg d_2\sigma_2$  бўлса, иккинчи қатлам структурада токнинг ўтишига таъсир этмайди. Бундай ҳолда ўлчанганд солишири ма қаршилик биринчи қатламга тегишли бўлиб, (1.51) орқали аниқланади:

$$\rho_1 = \frac{U}{I} \cdot \frac{\pi d_1}{\ln 2} \quad (1.78)$$

Юпқа эпитаксиал қатлам ва таглик икки хил тур ўтказувчанликка эга бўлса, чегарада ҳосил бўлган  $p-n$  ўтиш токнинг остки қатлам орқали ўтишига тўсқинлик қиласди. Демак, тўрт зондли усул  $p+p$ ,  $n+n$  структураларда, яъни тагликнинг солишири ма қаршилиги эпитаксиал қатламнидан камида юз марта катта бўлган ҳолларда  $p-n$ ,  $n-p$  туридаги структураларда солишири ма қаршилики аниқлашда қўлланилиши мумкин ва юқорида кўрилган икки қатламли структураларда диффузион, эпитаксиал қатламнинг солишири ма қаршиликлари юпқа намуналар учун ўринли бўлган формула билан ҳисобланади.

## 1.6-§. Солишири ма қаршилики тўрт зондли усул билан ўлчашдаги хатоликлар

Тўрт зондли усул билан ўлчашдаги хатоликлар солишири ма қаршилики ўлчашнинг физик моделининг назарияда қабул қилинган моделидан фарқли бўлиши формулага кирган катталикларни ўлчаш, ўлчаш шарти ва тартибиға боғлиқ бўлган тасодифий, муутазам хатоликлар орқали аниқланади. Бу хатоликлар манбанин гўриб чиқайлик.

## 1. Зонд контакти юзасининг киритган хатолиги

Маълумки, солиштирма қаршиликни тўрт зондли усул билан ўлчашнинг физик асоси-назарияси кўрилган вақтда яrimутказгич билан зонд нуқтавий контакт ҳосил қилади, деб қабул қилинган эди. Амалиётда бу шарт ҳеч вақт бажарилмайди, чунки контактнинг маълум юзачага эга бўлиши ўлчов натижасига мунтазам хатолик киритади. Ток ёки потенциал зондлари яrimутказгич билан контактлашганда радиуси  $r$  бўлган доирача ҳосил қилса, унинг киритган хатолиги  $(r/S)^2$  билан аниқланади. Хатоликнинг ишораси ва катталиги зондлардан қайси бирида контактнинг нуқтавий бўлиш шарти бажарилмаслиги билан аниқланади. Зондлар бир чизиқда ётган ҳолда зонд контакт юзачаси потенциал зондлардан бирида пайдо бўлса, нисбий хатолик

$$\delta = \frac{\Delta\rho}{\rho} = \left( -\frac{1}{2} \ln 2 \right) \ln \left[ \left( 2 + \frac{r^2}{S^2} \right) / \left( 2 - \frac{r^2}{S^2} \right) \right] \quad (1.79)$$

формула билан аниқланади. Агар ток зондларидан бирида контактни нуқтавий бўлиш шарти бажарилмаса, нисбий хатолик

$$\delta = \left( \frac{1}{2} \ln 2 \right) \cdot \ln \left[ \left( 6 - \frac{r^2}{S^2} \right) / \left( 6 - \frac{2r^2}{S^2} \right) \right] \quad (1.80)$$

ифода билан аниқланади. Зондлар томони  $S$  бўлган квадрат учларига жойлашган ҳолда потенциал ёки ток зондларидан бирида контакт юзачага эга бўлса, мунтазам хатолик қўйидагича аниқланади:

$$\delta = \left( -\frac{1}{2} \ln 2 \right) \cdot \ln \left[ 2 \left( 1 + \frac{r^4}{S^4} \right) / \left( 1 + \left( 1 - \frac{r^2}{S^2} \right)^2 \right) \right] \quad (1.81)$$

Тўртта зонднинг ҳаммасида контакт нуқтавий бўлмаса, умумий хатолик юқоридаги формулалар орқали аниқланган хатоликлар йиғиндиси билан ифодаланади.

## 2. Зондлар орасидаги масофанинг тақрорланмаслиги билан боғлиқ хатолик

Зондлар орасидаги масофанинг тақрорланмаслиги со- лиштирма қаршиликни аниқлашда мунтазам хатоликлар киритади. Ҳар бир зондлар ҳолати яримўтказгичда бир- бирига боғланмаган ҳолда ўртача квадратик хатолик билан  $\Delta S$  га силжиса, қаршиликни ўлчашдаги тасодифий хатолик зондлар орасидаги масофалар teng ва ишончилик эҳтимоли 0,95 бўлган ҳолда ҳажмий намуналар учун

$$\delta \approx \frac{\Delta p}{p} = 2,06 \left( 2 \frac{\Delta S}{S} \right) \quad (1.82)$$

бўлади. Солиштирма қаршилик юпқа қатламларда ўлчангандан зондлар орасидаги масофанинг ўзгариши билан боғлиқ тасодифий хатолик

$$\delta \approx \frac{\Delta p}{p} = \frac{\sqrt{5}}{2 \ln 2} \left( 2 \frac{\Delta S}{S} \right) \quad (1.83)$$

формула орқали аниқланади.

## 3. Кучланишни ўлчашдаги хатолик

Тўрт зондли усул билан солиштирма қаршиликни аниқлашда кучланишни ўлчашдаги асосий хатолик потенциал зондларининг контакт қаршилиги билан боғлиқdir. Кон- такт қаршилиги германий ва кремнийларда потенциал зондлар орасидаги намуна қаршилигидан  $10^3 \div 10^4$  марта катта бўлиши мумкин. Потенциал зондларининг контакт қаршилигига тушадиган кучланишни йўқотиш учун 2 ва 3 потенциал зондлар орқали ўтадиган токни йўқотиш керак. Бунинг учун кириш (ички) қаршилиги катта бўлган вольтметрлар (электрометрлар) қўлланилади ёки компенсация усули билан кучланиш ўлчанади.

## 4. Токнинг киритган хатолиги

Намунадан ток ўтганда у қизийди. Бу эса солиштирма қаршиликнинг ўзгаришига олиб келади. Қаршиликнинг температура коэффициенти кремнийда 0,009 К гача ети-

ши мумкин. Ток зондларининг контакт қаршиликлари натижасида намунада зондлар чизиги бўйича температура градиенти ва потенциал зондларда қўшимча потенциаллар айрмаси (термик электр юритувчи куч) пайдо бўлиши мумкин. Бу хатолик манбани йўқотиш учун солиширма қаршиликни аниқлашда токнинг кичик қийматларида ва токнинг икки йўналишида ўлчаш ўтказилади. Бу икки ўлчов натижаларининг ўртачаси олинади. Яримўтказгич намуналарида солиширма қаршилик аниқланадиганда, унинг қизимаслиги учун солиширма қаршиликнинг катталигига қараб токнинг маълум бир қийматида (оптималь ток қийматларида) ўлчаш тавсия қилинади. 1.6-жадвалда кремний намуналарининг солиширма қаршиликларини ўлчашда қўлланилаётган ток қийматлари келтирилган. Шуни айтиб ўтиш керакки, баъзан юқори Ом ли кремний намуналарида ( $1000 \div 10000$  Ом. см) токнинг кичик соҳасида ( $I > 0,3$  mA) солиширма қаршиликнинг токка боғлиқлиги кузатилган. Буни кичик ток соҳасида намунада киришмалар текис тарқалмаганлиги — флюктуацияси натижасида пайдо бўлган ички майдоннинг ташки майдондан катталиги билан тушунтирилади. Шунинг учун юқори Ом ли намуналарда ток  $1\text{mA} > I > 0,3\text{mA}$  оралигига ўлчанади, бу билан намунанинг қизиши камайтирилади.

### 1.6-жадвал

$\rho$ , Ом·см	0,012	$0,008 \div 0,6$	$0,4 \div 60$	$40 \div 1260$	800
$I$ , mA	100	10	1	0,1	0,01

### 5. Kontakt қаршилиги билан боғлиқ хатолик

Зонд билан яримўтказгич орасидаги контакт қаршилиги тўрт зондли усулнинг қўлланилишини чегараловчи энг асосий омиллардан биридир. Тақиқланган зона кенглиги катта бўлган  $A_2B_6$  ва  $A_3B_5$  турдаги яримўтказгичларда сиқиб қўйиладиган зондлар ҳосил қилган контакт қаршилиги шундай катта бўлиши мумкинки, бунда тўрт зондли усул ишламайди.

Баъзи бир ҳолларда бу қийинчиликни енгишда зарядланган сифимни зонд-яrimұтказгич орқали зарядсизлаш құлланилади, бу билан контактта ишлов берилади. Натижада контакт қаршилиги камайтирилади, металл- яrimұтказгич орасидаги потенциал түсиқ йүқотилади. Контакт қаршилиги билан металл-яrimұтказгич орасидаги потенциал түсиқ билан боғлиқ бұлған хатоликни камайтириш учун металл зондга ишлатиладиган материалнинг қаттықлиги яrimұтказгичнидан катта бўлиши керак.

Зонд материаллари сифатида диаметри  $D=0,05\pm0,5$  мм бўлған вольфрам, карбид вольфрам симлари ишлатилади. Зондларнинг учлари одатда  $45^\circ$  дан  $150^\circ$  гача бурчак билан чархланади. С2080 маркали зондлар қурилмасида ҳар бир зондга қўйилган куч  $1,75\pm0,25$  Н га тўғри келади, зондлар орасидаги масофа  $1,3\pm0,01$  мм. С2171, зондлар қурилмасида зондлар орасидаги масофа  $0,75\pm0,008$  мм, ҳар бир зондга қўйилган ўртача сиқиши кучи  $0,7\pm0,07$  Н. Бу қурилмалар билан сирт қаршилигини  $0,1$  дан  $10^5$  Ом оралиқда  $\pm4,5\%$  хатолик билан ўлчаш мумкин.

## *6. Солиширма қаршиликнинг температурага боғлиқлиги*

Солиширма қаршиликнинг температурага боғлиқлиги билан боғланган мунтазам хатоликларни йўқотиш учун ўлчов вақтида температура назорат қилиб борилади.  $T$  — температурада солиширма қаршилик  $\rho(T)$  ни билган ҳолда шартли белгиланган  $T_0$  — температурага мос келадиган қийматга

$$\rho(T_0)=\rho(T)[1-C_T(T-T_0)] \quad (1.84)$$

формула орқали келтирилади. Бу ерда:  $C_T$  — солиширма қаршиликнинг температура (термик) коэффициенти бўлиб, у яrimұтказгичларнинг турига, киришмаларнинг табиатига ва концентрацияларига боғлиқ.  $n-p$  — тур кремнийнинг термик коэффициентининг солиширма қаршиликка боғлиқлиги ( $291 - 288$  К температура оралиғида) 1-жадвалда келтирилган.

$\rho$ , Ом · см	0,006	0,01	0,1	1	10	100	1000
$C_t(n\text{-тип})$	0,002	-0,00022	0,0486	0,00736	0,00813	0,0083	0,0083
$C_t(p\text{-тип})$	0,0016	0,0031	0,0372	0,00707	0,00825	0,00862	0,009

## 7. Икки қатламли структураларда $\rho$ ни ўлчашда учрайдиган хатоликлар

Эпитаксиал қатламларнинг солиширига қаршилиги-ни аниқлашда уларнинг хусусияти билан боғлиқ бир қанча хатоликлар пайдо бўлиши мумкин. Эпитаксиал қатламда солиширига қаршилик ўлчанаётганда  $p-n$  ва  $n-p$  структураларда  $p-n$  ўтишнинг ҳажмий заряд соҳаси кенгаяди. Эпитаксиал қатламнинг солиширига қаршилиги таглиқникидан катта бўлганда ҳажмий заряд соҳасининг кенгайиши эпитаксиал қатлам томонга бўлади. Бу ҳодисани ҳисобга олмай (1.62) ва (1.63) формулалар билан солиширига қаршилик ҳисобланганда, унинг қиймати орттириб ўлчанганд бўлади. Юқори Ом ли, юпқа эпитаксиал қатламларни ўлчашда бу хатолик  $10 \div 20\%$  га етиши мумкин.

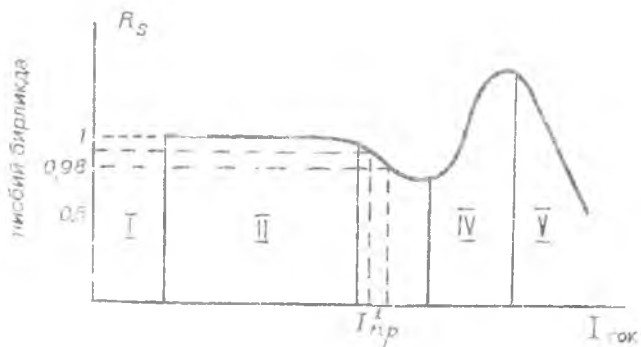
## 8. Изоляцияловчи $p-n$ ўтиш орқали ток ўтишдаги хатолик

Зондлардан ўтаётган токнинг кўпайиши  $p-n$  ўтишга қўйилган тескари кучланишни орттиради, натижада ҳажмий заряд соҳасидаги электр майдон кучланганлиги ўсади. Бу шароитда  $p-n$  ўтишини изоляция қилиш хоссаси токнинг маълум қийматигача сақланади. Токнинг катта қийматларида ҳажмий заряд соҳаси орқали таглиқдан ток ўта бошлайди. Аниқланишича, солиширига қаршилиги  $0,1 \div 2$  Ом · см, қалинлиги  $0,9 \div 4$  мкм  $n$ -тип эпитаксиал

катлам, солиширма қаршилиги  $\rho = 10 \text{ Ом} \cdot \text{см}$   $r$  — түпли тағликтан үтказылған бұлса, унда эпитетаксиал қатламнинг қаршилиги үлчанаётганды  $r$ -н үтиш орқали шунтланмаслиги учун сирт қаршилигининг 5% үзгариш соҳасида потенциал зондлардаги күчланиши 100 мВ, сирт қаршилигининг 2% үзгариш соҳасида 50 мВ булиши керак.

## 9. Зондларга қўйилган босим кучининг киритган хатолиги

Юпқа эпитетаксиал қагламларнинг солиширма қаршилигини үлчашда металл зонд билан эпитетаксиал қатламнинг тешилиши ва тағлиқда шунтланиши кучайиши мумкин. Бу ҳодиса содир бүлмаслиги учун зондга қўйилган кучни кичик қилиб танлаш керак. Зондга қўйилган ўртача күчланиши  $0,3 \div 0,03 \text{ Н}$  булиши тавсия этилади. Зондга қўйилган кучни бундан кам булиши зонд контакт қаршилигини оширади, бу эса ўлчов асбобларининг кириш қаршилигини оширишни талаб қилади. Эпитетаксиал қатламларда юқорида кўрилган омиллар унинг сирт қаршилигини токка боғлиқ бўлишига олиб келади (1.17-расм). Бу боғланиши графигини бешта соҳага ажратиш мумкин. I-соҳада ток ортиши билан сирт қаршилигининг камайиши, зонд яримутказгич орасидаги потенциал түсиқнинг камайиши ва потенциал контактлари қаршилигининг

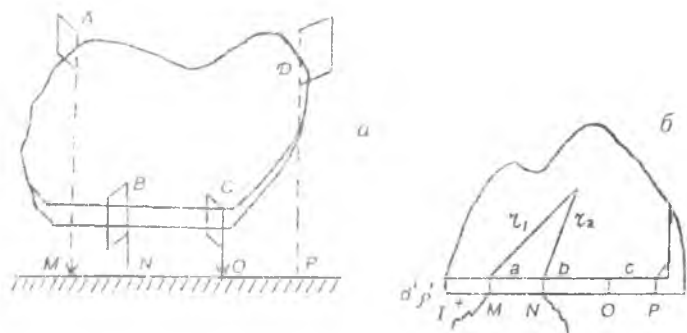


1.17-расм. Эпитетаксиал қатламларда сирт қаршилигини зондлардан оқаётгандан токка боғликлиги.

ошиши билан тушунтирилади. Агар  $R_{\text{кир}} \gg R_{\text{k1}} + R_{\text{k2}}$  тенгсизлик бажарилмаса  $R_{\text{k1}}$  ва  $R_{\text{k2}}$  ларнинг токка боғлиқлиги 1-соҳани пайдо қиласди. Агар зондлардаги босим орттирилса ва вольтметрнинг кириш қаршилигининг каттаси олинса, 1-соҳа йўқолиши мумкин. 2-соҳада  $R_s$  – сирт қаршилиги токка боғлиқ эмас. Бу соҳада  $R_{\text{кир}} \gg R_{\text{k1}} + R_{\text{k2}}$  бўлганда энг катта аниқлик билан солиштирма қаршилик улчанади. Бу тенгсизлик бажарилмаса, 2-соҳада мунгазам равишда хатолик пайдо бўлиб, у  $R_{\text{k1}} + R_{\text{k2}}/R_{\text{кир}}$  каттаглик билан аниқланади. 3-соҳанинг пайдо булиши изоляцияловчи  $p-n$  утиши орқали ток сирқиши билан боғлиқ. Сирт қаршилигининг ошиши 4-соҳада  $p-n$  ўтишининг ҳажмий заряд соҳаси кенгайиши билан боғлиқ. 5-соҳада  $R_s$ -нинг тез камайиши ток (бир қисми)нинг таглик орқали ўтиши шунтланиши билан боғлиқдир.

### 1.7-§. Ван-дер-Пау усули билан солиштирма қаршилихни ўлчаш

Исталган геометрик шаклга эга бўлган пластина куринишидаги яримутказгичли намуналарнинг солиштирма қаршилигини турт зондли усулнинг бир кўриниши бўлган Ван-дер-Пау усули билан ўлчаш мумкин (1.18-расм). Бу усулнинг қулайлиги шундан иборатки, ясси намуна ён



1.18-расм. Ван-дер-Пау усули билан солиштирма қаршилихни ўлчашда чизиқли А, В, С, Д контактларни (оригиналда) асл нусхада (а), ясси яримчексиз пластинада (аксида) М, Н, О, Р контактларнинг жойланиши (б).

сиртига түртта  $A$ ,  $B$ ,  $C$ ,  $D$  нүктавий (ёки чизиқли) контакт олиниб,  $A$  ва  $B$  контактлардан ток үтказилади,  $C$  ва  $D$  контактлар орасидаги потенциаллар айирмаси ўлчанади. Сүнг эса  $A$  ва  $D$  контактлардан ток үтказилади.  $B$  ва  $C$  контактлар орасидаги кучланиш ўлчаниб

$$R_1 = \frac{U_{CD}}{I_{AB}} = R_{ABCD} \text{ ва } R_2 = \frac{U_{BC}}{I_{AD}} = R_{ADBC}$$

қаршиликлар ҳисобланади.  $R_1$  ва  $R_2$  қаршиликларни билган ҳолда солиштирма қаршилик

$$\rho = \frac{\pi d}{\ln 2} \frac{R_1 + R_2}{2} \cdot f(R_1/R_2) \quad (1.85)$$

формула билан аниқланади. Бу ерда:  $f(R_1/R_2)$  — қаршиликлар нисбатига боғлиқ бўлган тузатиш функцияси,  $d$  — намунанинг қалинлиги. Тузатиш функцияси

$$ch\left[ \frac{R_1/R_2}{R/R_2+1} \cdot \frac{\ln 2}{f(R_1/R_2)} \right] = \frac{1}{2} \exp\left( \frac{\ln 2}{f(R_1/R_2)} \right) \quad (1.86)$$

тенгламани қаноатлантиради,  $(R_1/R_2)$  — нинг ҳар хил қийматларидағи  $f(R_1/R_2)$  — нинг натижалари 1.9-жадвалда келтирилган. Жадвал таҳлилидан кўринадики,  $R_1/R_2$  нисбатнинг  $0,7 \leq R_1/R_2 \leq 1,5$  оралиғида  $f(R_1/R_2) \approx 1$ . Тўғри геометрик шаклдаги, масалан, квадрат, доира кўринишидағи намуналарда контактлар симметрик жойлаштирилган ҳолда  $R_1=R_2$  ва  $f(R_1/R_2)=1$  бўлиб, солиштирма қаршиликни 2% дан кам хатолик билан ўлчаш мумкин. Қаршиликлар нисбати  $R_1/R_2 \approx 1$  бўлганда тузатиш функциясини

$$f(R_1/R_2) = 1 + \left( \frac{R_1 - R_2}{R_1 + R_2} \right)^2 \frac{\ln 2}{2} - \left( \frac{R_1 - R_2}{R_1 + R_2} \right)^4 \left[ \left( \frac{\ln 2}{2} - \frac{\ln 2}{12} \right)^3 \right] \quad (1.87)$$

билин ҳисоблаш мумкин. Ван-дер-Пау усулининг назарияси конформ акслантириш назариясига асосланган.

онформ акслантириш назариясига күра, исталган шакл-  
аги бир аргумент билан боғланган (односвязанную) ёпиқ  
— соҳани яримчексиз ясси текислик  $D'$  — соҳага алмаш-  
тириш мумкин. Бунда асл намунанинг (оригиналнинг)  
 $B, C, D$  контактларига уларнинг акси бўлган  $M, N, O,$   
контактлар мос келади (1.18-расм). Бундай алмашти-  
ришда асл нусхадаги ва намуна акси бўлган яримчексиз  
пластина контактлари орасидаги кучланиш бир хил  
келади, яъни

$$U = (E \cdot r) = \frac{\rho Ir}{\pi r} = \frac{\rho' I'}{\pi d'} \frac{r}{r} \quad (1.88)$$

Бу ерда:  $E$  электр майдон кучланганлиги

$$E = j\rho = \frac{I}{\pi r d} = \frac{I'}{\pi r d'} = -\frac{d\varphi}{dr} \quad (1.88a)$$

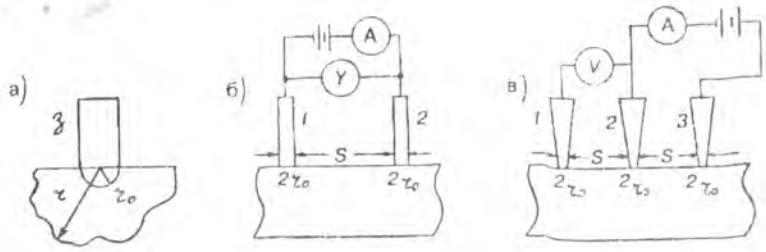
Бу ифода (1.88) дан

$$R_{ABCD} \cdot \frac{d}{\rho} = R_{MNOP} \frac{d'}{\rho'}; \quad R_{ADBC} \cdot \frac{d}{\rho} = R_{NOMP} \frac{d'}{\rho'} \quad (1.89)$$

енгликларни олиш мумкин.  $\rho, d$  — ўлчанаётган намуна-  
нинг солиштирма қаршилиги ва қалинлиги.  $\rho', d'$  — тас-  
ирнинг солиштирма қаршилиги ва қалинлиги. (1.89) даги  
енгликлар конформ алмаштиришга нисбатан инвариант-  
лик хоссасини ифодалайди.

Тасвирни яримчексиз ясси текислик (пластина) кўри-  
шида бўлиши, чизиқли ток манбаларининг ҳосил қил-  
лан потенциаллари ва токи цилиндрик симметрия қону-  
ни билан тақсимланишига олиб келади. Шунинг учун чи-  
зиқли ток манбаларининг г масофадаги потенциали  
майдон кучланганлигининг (1.88a) ифодасини интеграл-  
лашдан тасвирда жойлашган г масофадаги нуқтанинг по-  
тенциали топилади

$$\varphi'(r) = -\frac{I\rho'}{\pi d'} \ln r + A \quad (1.90)$$



1.19-расм. Радиуси  $r_0$  бўлган яримсферик зонд орқали намунадан ток ўтганда потенциал тақсимотни ҳисоблашга чизма (а), намунада тарқалган қаршиликни ўлчашнинг икки (а) ва уч (б) зондли сурʼулари схемалари.

Биринчи  $I^+$  ток манбаидан  $r_1$ , иккинчи  $I^-$  ток манбаидан  $r_2$  масофада бўлган нуқтанинг потенциали (1.18-расм) ток манбаларининг ишораларини ҳисобга олганда (1.90)

$$\begin{aligned}\varphi'(r) = \varphi(r_1) + \varphi(r_2) &= -\frac{I\rho'}{\pi d'} \ln r_1 + \frac{I\rho'}{\pi d'} \ln r_2 + A = \\ &= \frac{I\rho'}{\pi d'} \ln \left( \frac{r_2}{r_1} \right) + A\end{aligned}\quad (1.91)$$

булишилигини кўрамиз. Демак, яримчексиз текисликда исталган нуқтадаги потенциални топиш икки ток манбаидан иборат бўлган тизимда потенциални аниқлаш масаласига боғлиқ экан. (1.91) формуладан фойдаланиб,  $M$  ва  $N$  контактларидан ток ўтганда  $O$  ва  $P$  контактларда ҳосил қилинган  $\varphi_p$ ,  $\varphi_o$  потенциалларни ва улар асосида  $O$  ва  $P$  контактлар орасидаги потенциаллар айрирмасининг

$$U_{op} = \varphi_p - \varphi_o = -\frac{I'_{MN} \rho' n}{\pi d'} \ln \left( \frac{(b+c+a)d}{(a+b)(b+c)} \right) \quad (1.92)$$

ва ундан  $R_{MNOP}$  қаршиликнинг

$$R_{MNOP} = \frac{U_{op}}{I'_{MN}} = -\frac{\rho'}{\pi d'} \ln \left( \frac{b(a+b+c)}{(a+b)(b+c)} \right) \quad (1.93)$$

ифодасини топамиз.  $A$  ва  $D$  контактлар акси (тасвири) бўлган  $M$  ва  $P$  контактлардан ток ўтказиб,  $N$  ва  $O$  контактлардаги потенциаллар ( $\varphi_N$ ,  $\varphi_O$ ) ни, улар орқали эса  $O$  ва  $N$  контактлар орасидаги потенциаллар айирмасини

$$U_{ON} = \varphi_O - \varphi_N = -\frac{I'_{MP}\rho'}{\pi d'} \ln\left(\frac{ac}{(a+b)(b+c)}\right) \quad (1.94)$$

ва ундан  $R_{MPN}$  қаршиликни аниқлаймиз

$$R_{MPNO} = \frac{U_{ON}}{I'_{MP}} = -\frac{\rho'}{\pi d'} \ln\left(\frac{ac}{(a+b)(b+c)}\right) \quad (1.95)$$

(1.93) ва (1.95) формулалардаги логарифм остидаги ҳадлар йиғиндиси бирга тенг бўлишилигини, яъни

$$l^{-\frac{\pi d'}{\rho'} R_{MNOP}} + l^{-\frac{\pi d'}{\rho'} R_{MPNO}} = 1 \quad (1.96)$$

ифода билан аниқланишини кўрамиз. Инвариантлик хоссаси (1.89) га кўра тасвиридан оригиналга ўтсак, (1.96) қўйидагича бўлади:

$$l^{-\frac{\pi d'}{\rho'} R_1} + l^{-\frac{\pi d'}{\rho'} R_2} = 1 \quad (1.97)$$

(1.97) да  $R_1$  ва  $R_2$  ларнинг ўрнига

$$R_1 = \frac{1}{2} [(R_1 + R_2) + (R_1 - R_2)] \quad (1.98)$$

$$R_2 = \frac{1}{2} [(R_1 + R_2) - (R_1 - R_2)]$$

кўйилса,

$$ch\left[\frac{\pi d}{\rho} \cdot \frac{R_1 - R_2}{2}\right] = \frac{1}{2} \exp\left(\frac{\pi d}{\rho} \cdot \frac{R_1 + R_2}{2}\right) \quad (1.99)$$

куринишга келади. Бунда

$$\frac{\pi d}{\rho} \cdot \frac{R_1 + R_2}{2} = \frac{\ln 2}{f(R_1/R_2)} \quad (1.100)$$

белгилә ш билан (1.99) формулани (1.86) күринищда бўлган тузатиш функцияси  $f$  нинг tenglamасини оламиз. Бу ерда,  $f(R_1/R_2)$  қаршиликлар нисбати  $R_1/R_2$  га боғлиқ бўлган (юкорида келтирилган) тузатиш функцияси. (1.100) ифодадан юкорида келтирилган солиштирма қаршиликни Ван-дер-Пау усули билан ҳисоблаш формуласи келиб чиқади. Бу усул билан солиштирма қаршиликни ўлчашда одатда намунанинг ён сиртида Ом контактлари манипуляторга ўрнатилган тўртта йўналтирувчи учларига ўрнатилган қирраси чархланган тантал, карбид вольфрамнинг пластиинкалари контактлаштириб олинади. Ҳар бир зонд намуна нинг ён қиррасига пружина билан сиқилади, шу билан бирга, сиқиш кучини бошқариш мумкин. Солиштирма қаршиликни Ван-дер-Пау усули билан ўлчашдаги хатолик kontakt юзасини катталлашиши билан ортиб боради. Диск шаклидаги пластиинкаларда контактнинг жойланишига ва ўлчовига боғлиқ хатолик назарий ҳисобланган. Баъзи бир ҳоллар учун хатолик 1.8-жадвалда келтирилган.

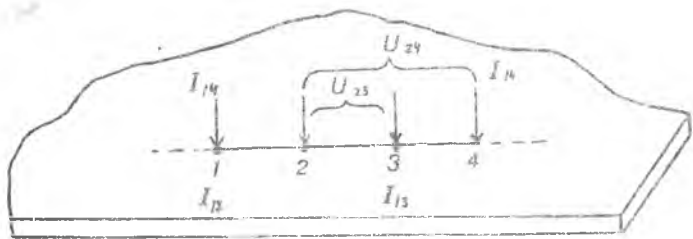
Шуни таъкидлаш керакки, бу усулни автоматлаштириш қулайдир. Бу усулга асосланган доира, квадрат, тўғри тўртбурчак шаклидаги қалинлиги  $d=80 \div 1000$  мкм, солиштирма қаршилиги  $\rho=10^{-2} \div 100$  Ом · см оралиқда бўлган пластиинкаларнинг солиштирма қаршилигини ўлчайдиган автоматик қурилма ясалган, намуналарни  $\rho$  бўйича 4% хатолик билан 10 та гурухга ажратади, солиштирма қаршилиги эталондан  $\pm 20\%$  га фарқ қилганларини яроқсиз намуна га чиқаради.

Энди  $\rho$ -ни ўлчашнинг икки комбинацияли тўрт зондли усулини кўрайлик. Кўп ҳолларда яrimутказгич намуналарнинг физик хоссаларини аниқ ўлчаш зарурияти туғилади. Бунга бир жинсли яrimутказгич қатламларда сирт қаршилигини юза бўйича тақсимотини тадқиқот қилиши кўрсатиш мумкин. Баъзан ўлчашнинг тасодифий хатолиги сирт қаршилигининг ўзгаришига тенг бўлиб қолиши мумкин ва текширилаётган намуна нинг бир жинслилиги тўғрисида мавжуд бўлган маълумотларни олиш мумкин бўлмай қолади.

Контакт шакли			
Нисбий хатолик	$0,77(l/D)^2$	$3,09(l/D)^2$	$8,14(l/D)^2$

$R_1/R_2$	$f(R_1/R_2)$	$R_1/R_2$	$f(R_1/R_2)$	$R_1/R_2$	$f(R_1/R_2)$
1	1	4	0,882	12	0,7
1,2	0,995	4,5	0,865	14	0,675
1,4	0,990	5,0	0,847	16	0,650
1,6	0,985	5,5	0,830	18	0,625
1,8	0,975	6,0	0,815	20	0,610
2,0	0,970	7,0	0,800	25	0,57
2,2	0,963	8,0	0,790	30	
2,4	0,955	8,5	0,765	35	
2,6	0,945	9,0	0,757		
2,8	0,935	9,5	0,747		
3,0	0,925	10	0,730		

Түрт зондли усулларда зондлар орасидаги масофанинг тақрорланмаслигини йўқотиш қийин бўлган тасодифий хатолик манбаларидан бири бу намуна ўлчовларини зондлар жойланишининг таъсирини ҳисобга олган тузатиш функциясининг сон қийматларини аниқлаш билан боғлиқ бўлган хатоликдир.  $\rho$ -ни ўлчашда икки комбинацияли түрт зондли усул кўрсатилган хатоликларни чеклайди.



1.20-расм. Бир чизиқда жойлашган ўзаро масофалари тенг бўлган тўрттада зонд билан  $\rho$  ни ўлчаш.

Бу усулнинг моҳияти шундан иборатки, бир чизиқда жойлашган, зондлар орасидаги масофалари тенг бўлган тўртта зонд билан икки марта ўлчазилади.

1 ва 4 зондлардан ток ўтказиб, 2 ва 3 зондларда кучланиш ўлчанади. Йиккинчи галда 1 ва 3 зондлардан ток ўтказиб, 2 ва 4 зондларда кучланиш ўлчанади (1.20-расм) ва уларга мос келган қаршилилк ҳисобланади:

$$R_1 = \frac{U_{23}}{I_{14}}; \quad R_2 = \frac{U_{24}}{I_{13}}$$

Юқорида аниқланганидек, пластина кўринишидаги юпқа намуналарнинг сирт солишиштирма қаршилиги (1.62) формула каби

$$\rho_n = \frac{\pi}{\ln 2} \cdot \frac{U_{23}}{I_{13}} = \frac{\pi}{\ln 2} \cdot R_1 \quad (1.101)$$

орқали аниқланади. Агар намуна ўлчамлари чекли ва намуна тўғри геометрик шаклда бўлса, (1.101) га тузатиш функцияси киритилиши лозим бўлади, яъни

$$\rho_n = \frac{\pi}{\ln 2} R_1 G^* \quad (1.102)$$

**$G^*$  — тузатиш функцияси.**  $G^*$  — намуна нинг геометрик ўлчамларига, зондлар чизигининг намуна симметрия

ўқларига нисбатан қандай жойланишига, ток ва потенциал зондларининг қандай уланишига боғлиқ бўлган тузатиш функцияси. Пластина шаклидаги намуналарни бир чизикда жойлашган тўртта зонд икки қисмга бўлади. Бу намуналарнинг ҳар бирини Ван-дер-Пау усули билан  $\rho$  ни ўлчашда намунани (оригинални) конформ акслантирилгани деб қараш мумкин (1.18-расм). Шунинг учун бу ерда ҳам (1.100) ифода ўринли бўлади. Тўртта зонд бир чизикда жойлашган доира кўринишидаги пластинкаларда (1.97) га ўхшаш

$$\exp\left(-\frac{2\pi d}{\rho} R_1\right) + \exp\left(-\frac{2\pi d}{\rho} R_2\right) = 1 \quad (1.103)$$

ифодани оламиз.  $R_1$  ва  $R_2$  ларни

$$R_1 = \frac{R_1}{2} \left[ \frac{R_1/R_2 + 1}{R_1/R_2} + \frac{R_1/R_2 - 1}{R_1/R_2} \right] \quad (1.104)$$

$$R_2 = \frac{R_2}{2} \left[ \frac{R_1/R_2 + 1}{R_1/R_2} - \frac{R_1/R_2 - 1}{R_1/R_2} \right]$$

кўринишида ифодалаб (1.103) га қўйсак,

$$\exp\left[-\frac{\pi d}{\rho} R_1 \left(\frac{R_1/R_2 + 1}{R_1/R_2}\right)\right] ch\left[\frac{\pi d}{\rho} R_1 \left(\frac{R_1/R_2 - 1}{R_1/R_2}\right)\right] = \frac{1}{2} \quad (1.105)$$

формулани оламиз. Агар (1.105) формулагага қўйидаги белгилашни киритсан,

$$\frac{\pi d}{\rho} \cdot \frac{R_1/R_2 + 1}{R_1/R_2} \cdot R_1 = \frac{1}{2} \cdot \frac{\ln 2}{f(R_1/R_2)} \quad (1.106)$$

(1.105) ифода қўйидаги кўринишига келади:

$$\frac{1}{2} \exp\left[\frac{\ln 2}{f(R_1/R_2)}\right] = ch\left[\frac{\ln 2}{f(R_1/R_2)} \cdot \frac{R_1/R_2 - 1}{R_1/R_2}\right] \quad (1.107)$$

(1.106) ифодадан солишири маңызынан сирт қаршилигини топамиз,

$$\rho_s = R_1 \cdot \frac{\pi}{\ln 2} \left( 1 + \frac{1}{R_1/R_2} \right) \cdot f\left(\frac{R_1}{R_2}\right) \quad (1.108)$$

Шундай қилиб, (1.102) даги

$$G^* = f(R_1/R_2) \left( 1 + \frac{1}{R_1/R_2} \right) \quad (1.109)$$

күринищдаги күпайтма намунанинг геометрик шаклига боғлиқ бўлган тузатиш функциясидир. Тузатиш функциясини шундай күринищда олишнинг ютуги шундаки, тузатиш функцияси зондлар орасидаги масофага боғлиқ бўлмайди, бу билан зондлар орасидаги масофанинг тақрорланмаслиги билан боғлиқ бўлган тузатиш функциясини ҳисоблашдаги хатоликлар йўқотилади. Тузатиш функцияси  $f(R_1/R_2)$  ни 0,05% дан катта бўлмаган хатолик билан  $1,2 < R_1/R_2 > 1,32$  оралиқда иккинчи даражали полином күринишида ифодалаш мумкин:

$$f\left(\frac{R_1}{R_2}\right) \left[ 1 + \left( \frac{R_1}{R_2} \right)^{-1} \right] = 14,696 + 25,173 \left( \frac{R_1}{R_2} \right) - 7,872 \left( \frac{R_1}{R_2} \right)^2 \quad (1.110)$$

$R_1/R_2$  ни ўзгариш соҳаси тўрт зондли усул билан аниқладиган

$$R_1/R_2 = \ln 4 / \ln 3 = 1,262$$

Қийматга яқин соҳада олинган. Шуни таъкидлаш керакки, агар зондлар чизифи ёки четки зонд пластина четидан қандайдир масофада жойлашган бўлса, (1.110) ифода зонд чизикларининг исталган йўналишида қўлланилиши мумкин. Пластина четидан (5S) масофада зондлар жойлашган бўлса, сирт қаршилигини ҳисоблаганда хатолик 0,1% дан ошмайди. Шу усул асосида автоматлашган, сирт бўйича қадамлаб силжийдиган зондлар курилмаси ясалган.

## 1.8-§. Солиширима қаршиликни нуқтавий контактнинг тарқалган (ёйилган) қаршилик усули билан аниқлаш

### 1. Усул назарияси.

Бу усул яримүтказгич ва унинг (яssi) текис сиртига тик жойлашган зондан иборат бўлган структура қаршилигини ўлчашга асосланган. Агар металл зонд яримүтказгичнинг яssi сирти билан кичик юзачали Ом контактни ҳосил қилса, шу контактдан ток ўтказиб ўлчанганд қаршилик тарқалган (ёйилган) қаршилик деб аталади. Яримүтказгичда контакт қаршилиги кичик бўлган катта юзали  $S_0 \gg \pi r_0^2$  иккинчи контакт ҳам бор ва у металл зондан узоқда  $l > r_0$  катта масофада жойлашган деб фараз қилинади. Бу усул кенг тарқалган бўлиб, бир жинсли яримүтказгичларда, эпитаксиал структураларнинг ҳамма турида, диффузион қатламларда солиширима қаршиликни  $10^{-3} \div 10^2$  Ом · см оралиқда ва қаршиликни қалинлик бўйича тақсимотини аниқлашда қўлланилади, унинг афзаликлари га яна намунанинг муайян нуқтасидаги кичик ҳажмда қаршиликни ўлчашни кўрсатиш мумкин. Тарқалган қаршилик усулининг назарияси яримчексиз яримүтказгич намуналаридан нуқтавий зонд контакти орқали ток ўтганда ҳосил қилган потенциалнинг тақсимланишига асосланган (1.13а-расм). Маълумки, бундай ҳол учун потенциал тақсимоти (1.21) формула билан аниқланади. Равшанки, зонднинг яримүтказгич билан ҳосил қилган контактининг диаметри  $2r_0$  яримшар кўринишида бўлган ҳолида ҳам потенциал тақсимоти (1.21) га ўхшаш бўлади. Контакт радиуси  $r_0$  бўлганда намунадаги икки зонд орасидаги кучланиш тушуви зонднинг электр потенциалига тенг бўлади.

$$U = \varphi(r_0) - \varphi(l) = \left( \frac{I\rho}{2\pi r} \right)_{r=r_0} - \left( \frac{I\rho}{2\pi r} \right)_{r \gg r_0} \approx \frac{I\rho}{2\pi r_0} \approx \varphi(r_0) \quad (1.111)$$

Агар  $r = 10r_0$  бўлса, контакт соҳасида қалинлиги  $r - r_0$  бўлган қатламнинг кучланиши

$$U = \varphi(r_0) - \varphi(10r_0) = \frac{I\rho}{2\pi} \left( \frac{1}{r_0} - \frac{1}{10r_0} \right) = 0,9 \frac{I\rho}{2\pi r_0} \quad (1.112)$$

бўлади. У намунага тушган тўла кучланишдан 10% кам. Бундан қуринадики, зонддан оқаётган токнинг қийматини асосан контакт соҳасининг қаршилиги аниқлар экан, унинг кўлами контакт радиуси қанча кичик бўлса, у ҳам шунча кичик бўлади. Яримчексиз намуналарда электр потенциалининг тарқалиши қонунидан, тарқалган қаршиликни (1.111) га кўра

$$R_p = \frac{U}{I} = \frac{\rho}{2\pi r_0} \quad (1.113)$$

билин аниқлаш келиб чиқади. Яримўтказгич сиртидаги оксид қатлами ва сирт ўтказувчанлигининг структура қаршилигига таъсири кичик бўлса, уни тарқалган қаршилик қиймати сифатида олиш мумкин. Маълумки, зонд ва яримўтказгичларнинг деформацияланишлари туфайли, зонд билан яримўтказгич орасидаги контактнинг ҳақиқий шакли ва ўлчамини аниқлаш жуда қийин. Шу билан бирга, у зонд контакти радиусига материалларнинг механик хоссаларига, зондга қўйилган кучга боғлиқ.

Кўрилаётган усулнинг тўрт зондли усулдан фарқи шундаки, бунда контакт шакли қандайдир  $r_0$  — радиусга эга бўлган ясси айланадан иборат. Икки материалнинг Юнг модулларини ва зондга қўйилган кучни билган ҳолда контактнинг радиусини ҳисоблаш мумкин. Радиуси  $r_0$  бўлган ясси kontaktнинг яримчексиз намуналарда электр потенциалининг тақсимланиши Лаплас тенгламаси орқали аниқланади. Бундай структура (тузилма)нинг тарқалган қаршилиги

$$R_p = \frac{\rho}{4r_0} \quad (1.114)$$

формула билан топилади.

Тажрибада тарқалган қаршилик одатда икки, уч зондли чизмалар билан ўлчанади (1.206,в-расм). Агар намунада потенциалнинг тарқсимланиши маълум бўлса, у ҳолда

$$R_p = \frac{U(r_0)}{I_{12}} = \frac{U_{12}}{2I_{12}} - \frac{U(S)}{I_{12}}$$

бұлади. Бу ерда:  $S$  — зондлар орасидаги масофа,  $U(r_0)$  — зонддаги потенциаллар.  $S > r_0$  бүлгандыңде  $U(S) \rightarrow 0$ ,  $R_p = U_{12}/2I_{12}$  үлчанған структура қаршилиги

$$R_{y_{plc}} = \frac{U_{12}}{I_{12}} = 2R_p = \frac{\rho}{2r_0} \quad (1.115)$$

бұлади. Бу ерда,  $U(S)/I_{12}$  — барьер қаршилиги.

Үч зондли усул билан үлчанғанда 2 ва 3 зондлардан ток үтказиб, 1 ва 2 зондлардан кириш қаршилиги катта бүлган вольтметрда кучланиш үлчанади. Бу билан 3 зонд контакттың түшганның кучланиш үйінде 2 контакттың тарқалған қаршилиги үлчанади:

$$R_p = \frac{U_{21}}{I_{23}} + \frac{U(S)}{I_{23}} + \frac{U(2S)}{I_{23}} \quad (1.116)$$

Үч зондли чизма билан үлчанғанда зондларнинг бир хил бўлиши талаб этилмайди, лекин бир қанча сабаблар борки, металл-яримтүтказгич структураларидаги қаршиликни идеал структуралардаги тарқалған қаршилиқдан фарқли бўлишига олиб келади.

Металл-яримтүтказгич орасида потенциал тўсиқ пайдо бўлса, яъни уларнинг чиқиши ишлари ҳар хил бүлган  $A_x/A_y$  ҳолда заряд ташувчилар билан бойиган ёки камбағаллашган қатлам ҳосил қиласи. Омик бўлмаган контактдан ток үтганда, кучланишнинг тескари йўналишида потенциал тўсиқ соҳаси қатламишнинг қаршилиги ортади, кучланишнинг тўғри йўналишида инжекция туфайли контакт қаршилиги камаяди. Булар билан бир қаторда контактдан ток үтганда контакт соҳасининг қизиши, термо Э Ю К ҳосил бўлиши қаршиликнинг ўзгаришига олиб келади. Қаршиликнинг ўзгаришига олиб келадиган сабаблардан яна бирини кўрсатиш мумкин. Контактнинг кичик юзачага эга бўлиши ва контакт соҳасида электр майдони кучланғанлигини катта бўлишлiği ҳаракатчанликнинг камайишига, яъни қаршиликнинг ўзгаришига олиб келиши мумкин. Бу кўрилган ҳодисалар тарқалған қаршиликни ҳисоблашда қабул қилинган яримтүтказгичнинг бир жинсли ва Ом kontaktli бўлсин деб қабул қилинган фаразлар-

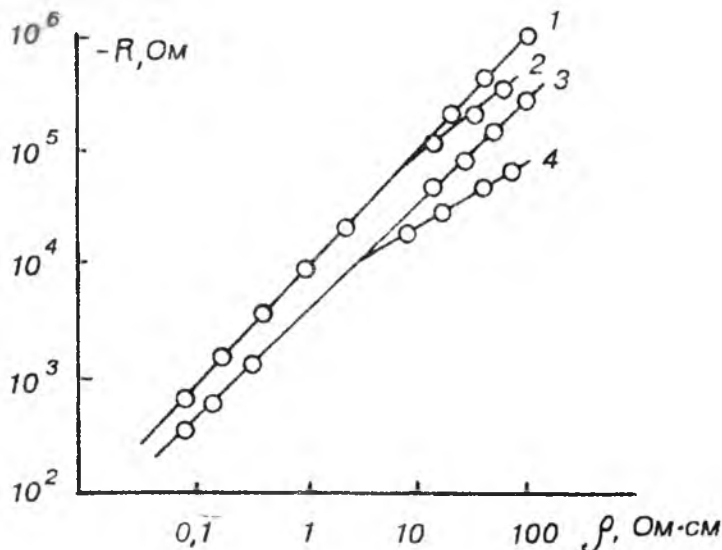
нинг бузилишига олиб келади. Шунинг учун структура-нинг тарқалган қаршилиги ҳақиқий қиймати (1.115) га мос тушади деб кутиш қийин.

Тарқалган қаршиликни кичик токларда ( $10^{-7} \div 10^{-2} A$ ), кичик кучланишларда ( $U=kT/e$ ) ўлчаш билан юқорида қайд этилган баъзи бир ҳодисаларнинг таъсирини камайтириш-минимумга келтириш мумкин. Ҳисоблашларнинг кўрсатишича, кремний намуналарида зонд контакт радиуси 4 мкм, кучланиш  $U \leq 15$  мВ бўлганда контакт соҳаси температурасининг ўзгариши  $0,1^{\circ}\text{C}$  дан ортмайди, электр майдон кучланганлиги заряд ташувчилар ҳаракатчанлигининг майдонга боғлиқлик соҳасидан кичик ( $E < 10^3 \div 10^4$  В/см) бўлади. Юпқа, қаршилиги катта намуналарда сирт ҳолатлари ҳосил қилган сирт ўтказувчанинг тарқалган қаршиликка таъсири қўйилган кучланишини камайтиргани билан йўқолмайди, шунинг учун ўлчанган структура қаршилиги (1.115) дан фарқ қиласди. У ҳолда эмперик коэффициент  $K(\rho)$  орқали ўлчанган структура қаршилиги қуидагича ифодаланади:

$$R_{\text{ула}} = \kappa(\rho) \frac{\rho}{4r_0} \quad (1.116,6)$$

Бу ҳодисалар контакт радиусининг ҳақиқий қийматини тўғридан тўғри аниқлаш мумкин эмаслиги, тарқалган қаршиликни солиштирма қаршилиги аниқ бўлган (эталон) намуналардан фойдаланиб даражалаш заруриятини туғдиради, яъни,  $R_{\text{ула}} = f(\rho)$  боғланишни топиш керак бўлади. Ўлчов натижалари аниқ ва такрорланувчан бўлиши учун солиштирма қаршилиги ўлчанаётган ва этalon намуналарнинг сирти бир хил ишловдан ўтиши ва унинг сифати сирт ишловининг маълум стандарт талабига жавоб бериши керак. Зонд манипулятори тузилиши ва зонд ўлчами kontakt юзасининг хар доим бирдай бўлишини таъминлаши керак. Кўп ҳолларда зондлар сифатида учига осмийдан яримшар кўринишида қопланган қаттиқ материаллар, рутений қотишмаларининг симлари ишлатилади. Зондлар учидаги яримшар кўринишидаги осмийдан иборат пойнак (учлик)нинг радиуси 25 мкм чамасида бўлганда, kontakt радиуси тахминан 4 мкм ни ташкил этади. Пойнакка юқори аниқликда ишлов берилади. Кон-

такт хоссаларининг такрорланиши учун зондларга қўйилган кучланиш, яъни юза бирлигига қўйилган куч  $10^2 \div 10^4$  Н/см<sup>2</sup> оралиқда ўзгаради. Бунда зондга қўйилган юк бир хил сақланиши ва зондларни оҳиста тик кўтарилишига эришиш керак. Юқорида келтирилган босим зондлар намуна сиртидаги оксид қатламни тешишга етарли бўлган қониқарли Ом контактни ҳосил қиласди. Бу усул билан ажратилган муайян жойдаги, асосан қалинлиги бир неча контакт радиуси ( $r_0$ ) га тенг бўлган қатламнинг тарқалган қаршилигини, яъни солиширма қаршиликни ўлчаш мумкин. Фазовий ажратиш қобилияти тахминан контакт диаметри (10 мкм)га teng. Солиширма қаршилик ўлчанаётган соҳанинг ҳажми  $10^{-10} \div 10^{-11}$  см<sup>-3</sup> тартибида бўлсин. Бу ҳолат кремнийда ва бошқа яримўтказгич намуналарида солиширма қаршиликнинг сирт ва қалинлик бўйича флюктуациясини ўрганишга имкон беради. Солиширма қаршиликни ўлчашдаги хатоликлар яримўтказгич билан зонд орасидаги масофани контакт ўлчамини ҳар хил бўлишидан, оксидланган қатламнинг (парданинг) қатнашишидан, контакт соҳасининг қизишидан, ҳаракатчанликнинг кучли электр майдонида камайиши билан содир бўлиши мумкин. Солиширма қаршилиги катта намуналарда сирт соҳасида бўладиган ҳажмий заряд соҳасининг ва вақт бўйича сирт потенциалининг ўзгариши кучли таъсир кўрсатиши мумкин. Ҳар хил яримўтказгичлар учун уларнинг сиртига ишлов бериш, намунани даражалашга тайёрлаш ва ўлчашдаги шарт-шароитларнинг таклифлари ишлаб чиқилган. Кремний намуналарини ўлчашга ва (колибровка) даражалашга тайёрлаш учун қўйидаги ишлов ўтказилиши тавсия этилади. Кремний намуналарини кесгандан сўнг калий ишқорида (КОН) 100°C да 10 минут қайнатиб, икки томонидан тахминан 15 мкм қатlam едириб юборилади, сўнг унга механик кимёвий сайқал бериб 25—35 мкм чамасида қатлам олиб ташланади, сўнг пероксид-аммиак эритмасида ювилиб, ҳавода 150°C да 15 минут ушланади. Шу усул билан ишловдан ўтган намуналарда ишонч эҳтимоллиги 0,95 бўлгани ҳолда қаршиликни ўлчашдаги хатолик 3,5% дан ошмайди. Бундан ташқари, кремний намуналарида яхши натижаларга эришиш учун кетма-кет икки технологик босқични ўз ичига олган ишлов қўлланилади: олмос пастаси АП—2 билан силлиқ-

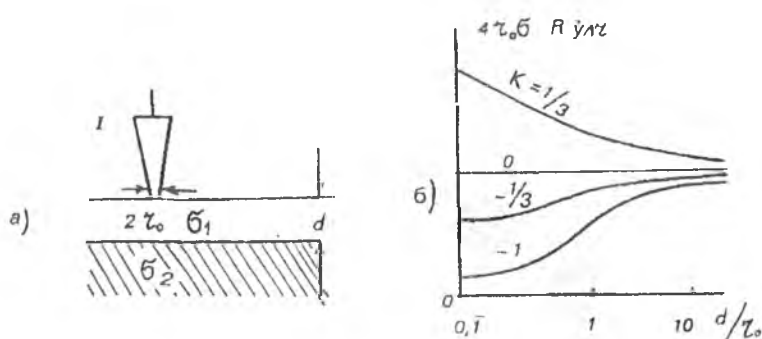


1.21-расм. Сирти ҳар хил ишланган намуналарда тарқалған қаршиликті солишиштірма қаршиликтікка бөлганиши: 1,2 — механик сайқалланган; 3,4 — HCl бүгінде едириш; 2,4 — HF кислотада ишловдан кейинги намуналар учун.

лаш, сұнг ишқорлы эритмага  $SiO_2$  кукуни солинган суспензияда ялтиратылади, яғни сайқал берилади ёки водород хлорид ( $HCl$ ) кислотаси буғидан сиртни едириш учун фойдаланылади. Бу усул билан ишланган намуналарда (1.21-расм) солишиштірма қаршиликтік  $0,001 \div 10$  Ом · см оралиқда үлчанғанда ва ишонч әхтимоли 0,95 бүлганды хатолик 5% дан ошмайды. Арсенид галлий ( $GaAs$ ) намуналарда сирт ишловига қўйилған талаб оксид қатламини олиб ташлаш ва үлчаш вақтида унинг йўқлигини текшириш ҳисобланади, чунки оксидланған парда бүлганды контакт қаршилиги жуда ортиб кетади. Охирги ишлов босқичида заррачасининг катталиғи 0,3 мкм бүлганды кукусимон  $Al_2O_3$  билан сайқал бериш ва  $HCl : H_2O = 1 : 1$  нисбатда бүлганды эритмада ёки 40%  $HF$  да кимёвий ишлов бериш ва тоза дистилланған сувда ювшы, ишловдан сұнг тез үлчов ўтказыш тавсия этилади.

## 2. Солиширма қаршиликнинг қалинлик бўйича тақсимотини ўлчаш.

Нуқтавий контактнинг тарқалган қаршилик усули бир жинсли бўлмаган намуналарда, диффузион, эпитаксиал қатламларда солиширма қаршиликни қалинлик бўйича аниқлашда ҳам қўлланилиши мумкин. Бунинг учун ўлчов намуна сиртини кимёвий ёки қуқунсимон моддалар пастасида кетма-кет едириш, яъни, қалинликни камайтириш усули билан ёки бир томонга нишаб ясси сирт ҳосил қилиш усули орқали ўтказилади. Иккинчи усул билан ўлчашда горизонтал  $x$  — ўқи бўйича силжитиб ўлчанганд қаршиликни ( $R(x)$ ) чуқурлик бўйича бўлган қаршилик  $R(y)$  га келтирилади. Қатлам қалинлиги у горизонтал  $x$  кордината орқали  $y = x t g \alpha$  ифода билан топилади. Бу ерда,  $\alpha$  — намунанинг горизонтал сирти билан бир томонга нишаб сирти орасидаги бурчак. Чуқур диффузион қатламларнинг солиширма қаршилигини ўлчашда томонларининг нисбати  $1 : 100$ , саёз диффузион қатламларнинг солиширма қаршилигини ўлчашда томонларининг нисбати  $1 : 1000$  бўлган қия сирт тайёрланади ( $d = y : x = 1 : 1000$ ). Эпитаксиал структураларда нуқтавий контактнинг тарқалган қаршилигига тагликнинг таъсири тузатиш функцияси



1.22-расм. Бир жинсли бўлмаган намунанинг бир қатлами модели

(a), параметр  $K = \frac{\sigma_1 - \sigma_2}{\sigma_1 + \sigma_2}$  нинг ҳар хил қийматидаги тузатиш функцияси  $f\left(K, \frac{d}{r_0}\right) = 4r_0 s_1 R_{y_{\text{пн}}}$  нинг  $\left(\frac{d}{r_0}\right)$  га боғлиқлик графиги.

хисобла олинади. Бир жинсли булмаган намуна-  
ниң бир қатламли моделини күрамиз. Энг содда күри-  
шишдаги қатламда қалинлик буйича солиширма қарши-  
лик ҳар хил бұлса, берилған қалинликта у бир жинсли  
қатлам, структура эса иккі қатламли структура деб қара-  
лади. Қалинлиги  $d$ , солиширма үтказувчанлиги  $\sigma_1$  қат-  
ламда радиуси  $r_0$  бұлған Ом контакти жойлашган (1.22-  
расм). Иккінчи қатлам тагликнинг юқори қатлами би-  
лан бир хил типдаги үтказувчанликка эга бўлсин. Унинг  
үтказувчанлиги  $\sigma_2$  қалинлиги етарлича катта бўлсин, у  
ҳолда тагликни ярим чексиз намуна деб ҳисоблаш мум-  
кин бўлади. Юқори қатламдаги электр потенциали  $\varphi_1$  таг-  
ликдаги  $\varphi_2$  Лаплас тенгламасини қаноатлантиради. Бунда  
чегаравий шартни қўйидагича таърифлаш мумкин.

Металл-ярим-үтказгич контактида потенциал ўзгармас,  
қатламнинг юқори сиртида токнинг нормал ташкил этув-  
чиси нолга teng, қатлам билан таглик чегарасида ток ва  
потенциал узлуксиз бўлади. Бу шартлар қатлам ва таглик  
бир жинсли ва чегарада ҳажмий заряд йўқ деган фаразга  
тўғри келади. Бир жинсли булмаган намунанинг бир қат-  
ламли модели буйича Лаплас тенгламасини ечиш билан  
қатламдаги ҳамда тагликдаги электр потенциаллар ( $\varphi_1$ ,  $\varphi_2$ )  
тақсимотини топиш ва улар асосида контактнинг тар-  
қалган қаршилигини тузатиш функцияси орқали ҳисоб-  
лаш мумкин. 1.22б-расмда тузатиш функциясининг

$$f(K_1 d/r_0 = U r_0 \sigma_1 R_{\text{ұч}})$$

$K=\sigma_1 - \sigma_2 / \sigma_1 + \sigma_2$  параметрнинг ҳар хил қийматларида  $d/r_0$   
нисбатга боғланиши келтирилган. Бу ерда:  $\sigma_1$  — ўлчани-  
ши керак бўлған қатламнинг солиширма үтказувчанли-  
ги,  $\sigma_2$  — қиймати аниқ бўлған тагликнинг солиширма  
үтказувчанлиги.  $\sigma_1 = \sigma_2$  бўлганда  $K=0$ , намуна эса бир жинс-  
ли ярим чексиз ҳажмга эга бўлади. Шунинг учун

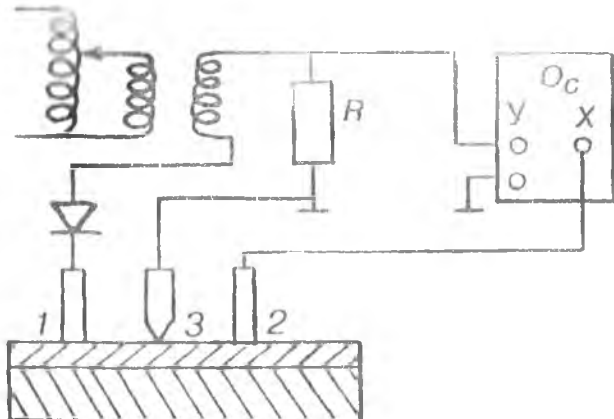
$$f(0, d/r_0) = 1$$

бўлади. Агар  $r_0 > d$  бўлса, қатламнинг ва тагликнинг со-  
лиширма үтказувчанликлари бир-биридан катта фарқ-  
ланса, тузатиш функциялари бирдан жуда кўп фарқ қила-  
ди. Агар контакт радиуси қалинликдан кичик бўлса ( $r_0 < d$ ),

тузатиши функцияси үтказувчанликларнинг исталган қийматларида бирга яқин бўлади. Солиширма қаршиликини тарқалган қаршилик усули билан ўлчашда бир жинсли бўлмаган намуналар учун тузатиши функциясини киритиш ва электрон ҳисоблаш машиналарида ҳисоблаш билан боғлиқ бўлган қийинчиликларга қарамасдан, бу усул қалинлик бўйича солиширма қаршиликини аниқлашда қулайдир. Шунингдек, бу усулда қатлам қалинлиги ва унинг солиширма қаршилигига оид муҳим чеклашлар мавжуд эмас. Юқорида келтирилган солиширма қаршиликини ўлчашдаги мулоҳазалардан кўринадики, уларни ўлчашдаги хатоликларнинг энг катта ташкил этувчилари контакт юзасини ҳар бир ўлчашда такрорланмаслиги, контактларни Ом контакти бўлмаслиги, сирт ишловига боғлиқлиги, ҳажмий заряднинг таъсири билан боғлангандир.

### **1.9-§. Солиширма қаршиликини металл-яrimutkazgich нуқтавий kontaktinинг teшилиш kuchlaniishi bўйича ўлчаш усули**

Солиширма қаршилиги  $\rho$  тагликникидан катта бўлган эпитаксиал қатламларда ( $nn^+$ ,  $pp^+$  — структураларда) солиширма қаршилик металл-яrimutkazgich нуқтавий kontaktinинг (диоднинг) teшилиш kuchlaniishi орқали аниқланиши мумкин. Усулни бир жинсли намуналарга,  $p\bar{p}^+$ ,  $p^+p$ ,  $p-n$  эпитаксиал структураларга ҳам қўллаш мумкин. Лекин уни метрологик кўрсаткичлари бошқа усулларга нисбатан пастроқ бўлгани учун сўнгти туркум намуналарда  $\rho$  — ни ўлчашга кенг қўлланилмади. Кўрилаётган усул билан  $\rho$  — ни аниқлашда намуна сиртига учта зонд жойлаштирилади (1.23-расм). Зонд материалининг шакли шундай танланиши керакки, бунда 1 ва 2-зондлар kontaktлари Ом kontaktiga яқин бўлиб, kontakt қаршилиги кичик бўлсин, 3-зонд эса kontakti яrimutkazgich билан нуқтавий диод ҳосил қўлсин. 1 ва 3-зондларга қутбланиши diodnинг teskari йўналишига mos келадиган пульсацияла нувчан kuchlaniish берилади, 2 ва 3-зондлардан kuchlaniish,  $R$  — қаршилик ёрдамида dioddan ўtaётган tok ўлчанади. Диоднинг вольт-ампер характеристика (тавсифи)си кириш қаршилиги катта бўлган осциллографда кўрилади ва те-



1.23-расм. Металл-яримұтказгичли структураларда нүктавий контактнинг тешилиш күчланиши бүйича солиширма қаршиликни ўлчаш схемаси (а), ВАХни тескари күчланиш соңасы (б).

шилиш күчланиши соңасидаги бурилиш нүктаси қайд қилинади ( $U_{\text{теш}}$ ). З-зондни құллаш билан 1 зонд контакт қаршилигининг таъсири йүқотилади.

Амалий тадқиқтлар нүктавий диоднинг тешилиш күчланиши күп омилларға, масалан, тешилиш күчланишининг ўтказувчанлик типига, зондга құйилған күчланишга (босим кучига), контакт юзасига, сирт ишловига боғлиқлигиниң күрсатади. Бу боғланишларни мұкаммал ёритган нүктавий диод назарияси ва тешилиш күчланишини солиширма қаршилик билан боғлаган аналитик ифодаси йүқ. Демак, күрилаёттан усул билан  $\rho$  ни түрідан-түғри ўлчов ўтказиш орқали аниклаб бўлмайди. Шу сабабли  $\rho$  ни аниклашда солиширма қаршиликлари маълум бўлган (этalon) намуналар ёрдамида  $U_{\text{теш}} = f(r)$  боғланишни даражалаш графиги олиниб, ундан фойдаланиш тақозо этилади. Яримұтказгичлар солиширма қаршилиги 0,1 дан 10 Ом. см гача бўлган оралиқда нүктавий диодларда тешилиш күчланишининг  $\rho$  га боғлиқлик (даражалаш) графиги

$$U_{\text{теш}} = A \rho^b \quad (1.117)$$

күринишида ифодаланади. Бу ерда:  $A$ ,  $b$  — яримұтказгич, зонд материалларига ва бир қанча юқорида көлтирилған омилларга бағылғы коэффициентлар. Солиширма қаршилиги  $0,08 \leq \rho \leq 4$  Ом. см бүлган  $n$ -тип кремний намуналар билан вольфрам зонди ҳосил қылған нұқтавий диодда тешилиш кучланиши қуйидаги күринишида ҳисобланади:

$$U_{\text{теш}} = 92\rho^{0,57} \quad (1.118)$$

Бу бағланиш 1 ва 2 зондларга диаметри 250 мкм, 3 зондга әса диаметри 60 мкм бүлған вольфрам құллаш билан олинған. Усулни кремний эпитаксиал структураларига құллаш бүйіча үтказилған текширишларга күра эпитаксиал қатламларда ишончли натижалар олиш учун қатламнинг солиширма қаршилиги  $0,1 \leq \rho \leq 1$  Ом. см оралиқда бүлишлиги, қалинлиғи 5 мкм дан кам бүлмаслиги маңсадға мувоғидир.  $\rho$  нинг қуи чегараси ВАХни тешилиш соқасидаги күринишининг ёмонлашиши, яғни тешилиш соқасида бурилишнинг аниқ намоён бүлмаслиги билан, юқори чегараси катта тескари кучланишда тәглилкә томон силжиб, қатлам орқали тешилиши билан тушунтирилади.  $n-n^+$  эпитаксиал структураларда  $n$ -қатламнинг солиширма қаршилигини аниқлашда даражалаш графиги

$$U_{\text{теш}} = 68,39 + \rho^{0,536} + 21,23\rho^{0,877} \quad (1.119)$$

күринишида ифодаланған муносабатдан фойдаланиш тавсия этилади. Зонд материалларининг  $U_{\text{теш}} = f(\rho)$  га таъсирини ўрганишда пұлат, вольфрам, осмий құлланилған.  $n$ -тип кремнийда зонд материалларининг таъсири катта әмаслиги аниқланған. Зонддаги босим кучининг тешилиш кучланишининг қыйматига таъсири кучлироқдир. Босим кучини 10 г дан 100 г гача ұзғариш эталон монокристалл намуналарда 10%, эпитаксиал қатламларда 20% камайишга олиб келған. Кремний намуналаридаги қониқарлы натижалар зондга 50 г күч күйилғанда учининг диаметри 250 мкм бүлған осмий зонд құллаш билан олинған. Эпитаксиал қатламларда оғиш бурчаги  $1^\circ$  бүлған қияғекислик ҳосил қилиб, солиширма қаршиликтин қалинлик бүйіча тақсимотини ўрганиш мүмкін. Икки ҳафта-

гача сақланган намуналарда ўзгармас ток билан ВАХ ни ўлчаш құлланилғанда натижаларнинг такрорланиши 5%, қисқа муддатда сақланган намуналарда 1% га етади.  $nn^+$ ,  $pp^+$  — эпитаксиал қатлам солишири маңыздылығын анықлашда нүктавий диод ҳосил қилувчи зондга вольфрам, Ом контактлари ҳосил қилувчи зондларга пұлат лезвия құлланилған. Зондга босим кучи 1 г дан 10 г гача ўзгарғанда даражалаш графиги

$$U_{\text{теш}} = rE_{\max} + \frac{r}{2\varepsilon\varepsilon_0\mu\rho_0} \left[ 2 - \sqrt[3]{r(3\varepsilon\varepsilon_0\mu\rho E_{\max} + r)^2} \right] \quad (1.120)$$

назарий муносабат билан аниқланиши күзатылған. Бу ерда:  $E_{\max} = 210$  кВ/см;  $\varepsilon = 16$ ;  $r = 13$  мкм;  $\mu$  — ҳаракатчанлик. Сирти охирги босқичда 5 г  $HF + 8$  г  $HNO_3 + 15$  г  $CH_3COOH$  — кислоталар аралашмасыда кимёвий сайқалланған, солишири маңыздылығы түрт зондли усул билан ўлчанған германий намуналари ёрдамида даражалаш графиги олинған.  $\rho$  15% гача хатолик билан ўлчанған бу усулнинг хатолиги, даражалаш графигини олишдеги хатоликлардан иборатдир. Арсенид галийли  $nn^+$ ,  $pp^+$  эпитаксиал структураларда қатламнинг солишири маңыздылығын, монокристалл намуналар солишири маңыздылығын ўлчаш учун диаметри 3 мм бұлған карбид вольфрам таёқчадан учи  $30^\circ$  бурчак остида, диаметри 225 мкм гача чархланған зонд ишлатылып, унга құйилған босим кучи 200 дина бұлған ҳолда олинған даражалаш графиги намунада заряд ташувчиларнинг концентрацияси  $10^{15} \leq n \leq 10^{19}$  см<sup>-3</sup> гача бұлған оралықда ўзгарғанда

$n$  — тип  $GaAs$  учун  $U_{\text{теш}} = 100(n/10^{15})^{-0.372}$

$p$  — тип  $GaAs$  учун  $U_{\text{теш}} = 75(p/10^{15})^{-0.338}$

билан аниқланиши күрсатылған. Даражалаш графиги 6 тадан Холл контакти олинған ва улар орқали  $n$ ,  $p$  — аниқланған намуналар ёрдамида аниқланған.

Усулнинг хатоликлари түғрисида қисқа тұхтәламиз. Усулнинг асосий хатоликлари иккى омил билан тешилиш күчланишини ўлчашдаги ва эталон ҳамда текширилдиган намуналар сиртининг ишлови бир хил бұлмаслигидан ҳосил бұлған хатоликлар билан аниқланади.  $U_{\text{теш}}$  ни аниқ ўлчаш учун ВАХ нинг тешилиш соҳасидаги бу-

рилиши кескин бўлиши керак. Бунга зонд, яримутказгич материалларини, зондлар шаклини, унга қўйилган босим кучини танлаш билан эришилади. Потенциал тўсиқ ҳосил қилган контактнинг қаршилиги катта бўлиши керак. Зондлар учи диаметри  $25 \div 100$  мкм оралиқда булади. Зондга қўйилган босим ошиши билан  $\rho$  камаяди. Босим кучи ортганда, зонд учларининг эластик ва пластик деформацияланиши туфайли, уларнинг контакт юзаси катталашади ва натижада тешишиш кучланишининг камайишига олиб келади. Зонд контакт юзаларининг такрорланмаслиги билан боғлиқ тасодифий хатоликларни камайтириш учун потенциал тўсиқ ҳосил қиладиган зонд-қаттиқ металл ёки қаттиқ қотишмалар, масалан, вольфрам, карбид-вольфрам, пўлат, осмий, родийлар ишлатилади.

Ўлчаш ва даражалаш пайтида зондларга қўйилган босим кучлари бир хил қилиб олинади: оқибатда, ўлчов натижаларининг бир-бирига яхши яқинлашиши таъминланади. Ўлчов зондига (нуқтавий диодга) қўйилган оптималь кучланиш  $0,2 \div 0,4$  Н оралиғида ётади, ёрдамчи контакт қаршилигининг  $U_{\text{рез}}$  га таъсирини камайтириш учун уларга қўйилган босим кучи  $0,5$  дан  $1$  Н гача орттирилади, ўлчаш пайтида потенциал тўсиқ соҳасида  $1$  Вт гача қувват ажралиши мумкин ва у контакт соҳасининг кучли қизишига олиб келиши мумкин. Шунинг учун тешишиш кучланишининг қиймати ўлчаш усулига боғлиқ. Контактда ажralадиган қувватни камайтириш учун ўлчовни импульс режимда ўтказиш тавсия этилади. Импульс давомийлигининг камайиши билан  $U_T$  ортади. Тасодифий ва мунтазам хатоликлар этalon намуналар билан текшириладиган намуналар сиртининг ишловига боғлиқ. Одатда даражалаш графиги пластина шаклидаги монокристалл намуналарда ўтказилади, шунинг учун уларнинг сирти механик ёки кимёвий усул билан сайқалланади, эпитаксиал қатламда эса сирт ҳеч қандай ишловдан ўтмайди. Этalon намуна сиртини эпитаксиал қатлам сиртига яқинлаштириш учун  $HCl$  буғида едириш тавсия этилади, бу билан эталондаги сирт ишлов технология жараёни эпитаксиал қатлам ўстириш жараёнига яқинлаштирилади.

Тажрибада кузатилган даражалаш графигини ифодаловчи (1.117) формулада коэффициент ( $b$ ) нинг  $0,51$  дан  $0,66$

гача ўзгариши ўлчаш натижаларига таъсир қилувчи кўп омиллар билан тушунтирилади, шунинг учун усульнинг хатолиги тўғридан-тўғри  $\rho$  ни ўлчаш усулларига нисбатан катта. Кўпгина муаллифларнинг кўрсатишларича, у 10% дан 70% гача етади. Статистик текширишлардан маълум бўлишича, усульнинг тасодифий хатолиги ишонч эҳтимоллиги 0,95% бўлганда солиштирма қаршилиги  $\rho=0,1 \text{ Ом} \cdot \text{см}$  намуналарда 54%,  $\rho=1,0 \text{ Ом} \cdot \text{см}$  учун 40%,  $\rho=5 \text{ Ом} \cdot \text{см}$  учун эса 70% га teng.

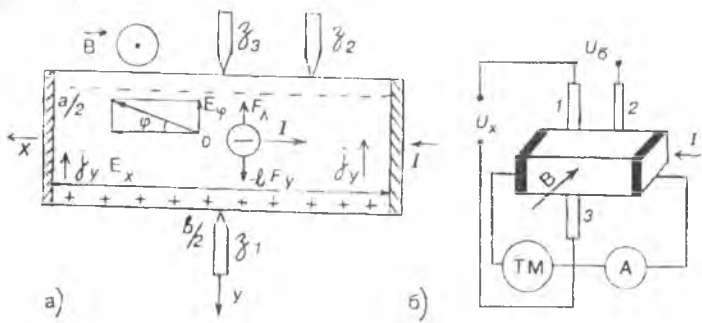
## ЗАРЯД ТАШУВЧИЛАР КОНЦЕНТРАЦИЯСИ ВА ҲАРАКАТЧАНЛИГИНИ ЎЛЧАШ УСУЛЛАРИ

Эркин заряд ташувчилар (электронлар, каваклар) концентрацияси ( $n$ ,  $p$ )ни ва ҳаракатчанлик ( $\mu_p$ ,  $\mu_n$ )ни ўлчашнинг бир қанча усуллари мавжуд. У ёки бу усулнинг қўлланниши уларнинг метрологик характеристикасига, ўлчанаётган параметрларни тушунтириш маълумотларга бойлуги, ўлчаш усулларининг физик асослари, намунанинг электрофизик хоссалари, геометрик шакли ва ўлчамларига боғлиқ. Ўлчаш усулини танлашда булардан ташқари ускуналарнинг техник мураккаблиги, физик катталикларни ўлчашдаги хатоликларни назарда гутиш керак. Заряд ташувчилар концентрацияси ва ҳаракатчанлигини ўлчаш усуллари ичida кенг тарқалгани Холл эффиқтига асосланган усуллар. Бу усул билан яримўтказгич намунада  $\mu_p$  ни ўлчашдан ташқари, электр ўтказувчанлик типини ҳам аниқлаш мумкин. Заряд ташувчилар концентрацияси ва ҳаракатчанлигини температурага боғлиқларни ўлчаб, тақиқланган зона кенглигини, киришмаларнинг маҳаллий энергетик сатҳлари, ионизация энергияси, киришма атомларнинг концентрацияси ва заряд ташувчиларнинг сочилиш механизмларини аниқлаш мумкин.

### 2.1-§. Холл эффиқти ёрдамида заряд ташувчиларнинг концентрацияси ва ҳаракатчанлигини ўлчаш усуллари

*a) Холл электр юритувчи кучи*

Холл эффиқти яримўтказгич намуналарда уларга электр ва магнит майдонларини бир вақтдаги таъсиридан вужудга келади. х ўки йўналишида (намуна бўйи бўйлаб)



2.1-расм. Холл электр юригувчи кучининг пайдо бўлишини тушинтиришга чизма (а) ва Холл эффектини ўлчаш схемаси (б)

оқаётган параллелепипед шаклидаги намунани унга тик  $z$  ўқи бўйича йўналган магнит майдонига киритганда, намунада магнит ҳамда ток  $I$  йўналишига тик бўлган у ўқи йўналишида кўндаланг электр юритувчи куч (ЭЮ К) ҳосил бўлишига Холл эффицити деб аталади (2.1-расм). Бу эффицитнинг моҳиятини қисқача кўриб чиқайлик. Узунлиги  $a$ , эни  $b$ , қалинлиги  $d$  бўлган намуна берилган бўлсин.  $x$  ўқи бўйича  $I$  ток ўтаётган намунани  $z$  ўқи бўйича йўналган магнит майдонга тик қилиб ўрнатганда  $x$  — ўқи бўйича  $V_x = -\mu_n E$  ўртacha дрейф тезлик билан ҳаракатланаётган электрон Лоренц кучи

$$F = -e[V_x \vec{B}] \quad (2.1)$$

таъсирида  $x$  ва  $z$  ўқларига тик бўлган  $y$  — ўқи йўналишига бурилади (оғади). Электрон ва кавакларнинг дрейф тезликларининг йўналиши ва заряд ишоралари ҳар хил бўлгани учун улар намунанинг фақат бир томонига оғади. Шундай қилиб, намунада  $y$  — ўқи йўналишида кўндаланг

$$I_y = I_{ny} + I_{py} \quad (2.2)$$

ток пайдо бўлади. Намунанинг  $y$  — ўқи йўналишидаги ўлчами чекланган ҳолда  $I_y$  — ток намуна устки сиртида (расмда келтирилган ҳол учун) заряд ташувчиларнинг тўпланишига, остки қисмида эса уларнинг ишораларига

тескари ишорали етишмаган зарядлар түпланишига олиб келади. Натижада намунанинг ости ва устки томонлари қарама-қарши зарядланади ва күндаланг Холл электр майдонининг ошиб бориши унинг заряд ташувчиларга (электрон ёки кавакка) таъсир кучи ( $F = eE$ ) Лоренц кучига ва күндаланг  $I_y$  — ток нолга тенг бўлгунча давом этади. Натижавий электр майдон кучланганлиги ( $\vec{E}_H$ ) $x$  — ўқига нисбатан магнит майдон индукцияси  $B_z$  га пропорционал бўлган Холл бурчакка огади

$$\operatorname{tg} \psi_H = \frac{E_y}{E_x} = \mu_H \cdot B_z \quad (2.3)$$

бу ерда:  $\mu_H$  — ҳаракатчанлик бирлиги билан ўлчанадиган пропорционаллик коэффициенти. У Холл ҳаракатчанлиги деб юритилади. Заряд ташувчиларнинг Холл ҳаракатчанлиги электр ўтказувчанликни ( $\sigma = e\mu_H$ ) аниқловчи микроскопик ҳаракатчанликдан фарқ қиласди. Қаттиқ жисмларда кинетик ҳодисаларнинг назариясига кўра бу ҳаракатчанликлар

$$\mu_{nH} = e\langle\tau^2\rangle/\mu_e\langle\tau\rangle; \quad \mu_n = \frac{e\langle\tau\rangle}{m_e} \quad (2.4)$$

ифодалар билан аниқланади. Бу ерда:  $\tau$  — заряд ташувчиларнинг релаксация вақти,  $\mu^*$  — заряд ташувчиларнинг **эффектив массаси**,  $\langle\tau\rangle$ ,  $\langle\tau^2\rangle$  — релаксация вақти ва унинг квадратини заряд ташувчилар энергияси бўйича ўрталаштирилган қиймати. Бу ифодалардан кўринадики,  $\mu_{nH}$  ва  $\mu_n$  ҳаракатчанликларни фарқли бўлиши релаксация вақтининг энергия бўйича ҳар хил усул билан ўрталаштирилиши экан. Холл тажрибадан кучсиз магнит майдонда Холл электр майдон кучланганлиги ( $E_H = E_y$ ) ни қуйидаги эмперик формула билан аниқланишини кўрсатди:

$$\vec{E}_y = \vec{E}_H = R_H [j_x \vec{B}] \quad (2.5)$$

Бу ерда:  $j_x$  — ток зичлиги,  $R_H$  — намуна хоссасига боғлиқ Холл доимийси,  $\vec{B}$  — магнит майдон индукцияси вектори. (2.3) ва (2.5) формулалардан

$$j_x R_H = \mu_H E_x \quad (2.6)$$

төңгликтен оламиз. Намуна  $n$  — типли яримүтказгич бўлганда, ток зичлиги ифодаси  $j_x = \sigma E = e\mu_n n E_x$  ни (2.6) га қўйиб, Холл доимийсининг

$$R_{nH} = \frac{\mu_{nH}}{en \mu_n} = \frac{r_n}{en} \quad (2.7)$$

кўринишдаги ифодасини оламиз. Худди шунга ўхшаш  $p$  — тип ўтказувчанликка эга бўлган яримүтказгичларда Холл доимийси қўйидагича бўлади:

$$R_{pH} = \frac{\mu_{pH}}{ep \mu_p} = \frac{r_p}{ep} \quad (2.8)$$

Бу ерда:  $n, p$  — мос равишда электрон ва кавак концентрацияси,  $r_n, r_p$  мос равишда электрон ва кавакнинг Холл омиллари бўлиб, Холл ҳаракатчанликларининг дрейф ҳаракатчанликларига нисбати  $r_n = \frac{\mu_{MH}}{\mu_n}, r_p = \frac{\mu_{PH}}{\mu_p}$  билан ифодаланадилар ва улар  $\langle t^2 \rangle / \langle t \rangle^2$  га тенг бўлган катталик билан аниқланади.  $r$  нинг қиймати заряд ташувчиларнинг сочилиш механизмига боғлиқ бўлиб, заряд ташувчиларнинг релаксация вақтини, уларнинг энергияга боғланиш функциясини кўрсатади. Содда зонали айнимаган яримүтказгичларда заряд ташувчилар кристалл панжаранинг иссиқлик тебранишида сочилса, Холл фактори  $r = r_n = r_p = 3\pi/8 \approx 1,17$  га, ионлашган киришма атомларида сочилса,  $r = 1,93$  га, нейтрал атомларда сочилса,  $r = 1$  га тенг бўлади.

Ўтказувчанликка икки хил заряд ташувчилар: электрон ҳамда кавак қатнашса, Холл доимийси қўйидаги ифода билан аниқланади:

$$R_H = \frac{r_n \mu_n^2 n - r_p \cdot p \cdot \mu_p^2}{(en\mu_n + ep\mu_p)^2} \quad (2.9)$$

Шундай қилиб, заряд ташувчилар концентрацияси ва ҳаракатчанлигини аниқлаш учун солишири маңыздылыктын (ёки үтказувчанликни) ва Холл доимийсінін үлчаш керак. Бу үлчовни үтказиш (216-расмда көлтирилған ҳол) учун юқори сиртиға иккита зонд (1 ва 2), пастки қисмінде зондлардан бириншінг қаршиисига 3-зонд жойлаштирилалади. 1 ва 3 зондлар орасында потенциалдар айрмасы орқали Холл электр юритувчи кучини, 1 ва 2 зондлар орқали  $U_H$  — намунанинг бир қисмінде кучланғанлығы  $E_H = U_H/b$  ва ток зичлиги  $j_x = I_x/bd$  га тәнг бўлганлығини ҳисобга олган ҳолда (2.5) формуладан Холл зондлари орасында потенциалдар айрмаси, яъни Холл кучланishi тушуви

$$U_H = R_H I_x B_z / d \quad (2.10)$$

ифода билан аниқланади:

$$R_H = \frac{U_H d}{I_x B_z}; \quad \left[ \frac{м}{Кл} \right] \quad (2.11a)$$

Агар (2.10) га кирган катталиклар кучланыш, ток кучи, узунлик, магнит майдони индукцияси СИ системасида (Вольт, Ампер, Теслада) үлчанса, Холл доимийси  $R_H$  бирлиги  $м^3/Кл$  бўлади ва (2.11a) формула билан ҳисобланади. Агар магнит индукцияси Гауссда ( $IT=10^4 Гс$ ), узунлик сантиметрда үлчанса, Холл доимийсінинг бирлиги  $см^3/Кл$  бўлади ва у

$$R_H = 10^8 \frac{dU_H}{I_x B}; \quad [см^3/Кл] \quad (2.11b)$$

билин ҳисобланади. Юқорида кўрилған Холл эфекти узун  $a > b$ ,  $d$  намуналарда ўринли. Чунки бунда, физик мулоҳазаларга кўра, намунанинг марказий қисмінде ток зичлиги  $j_y$  ва майдон кучланғанлығи  $x$  га боғлиқ бўлмайди.  $j_y$  ва  $E_y$  лар у координатага боғлиқ эмас. Намунанинг узунлик бўйича ўрта қисми бир жинсли бўлади.  $y = \pm b/2$  сиртлар-

да түпланган зарядлар намуна күндаланг кесимиға үтказылған Ом контактлари орқали оқа бошлайди. Ток үтадиган Ом контактлари соҳасига яқин жойда  $x$  бүйича бир жиссли бўлмаган электр майдон кучланганлигининг пайдо бўлишига олиб келади. Бу соҳада Лоренц кучи Холл майдони билан тенглаша (мувозанатлаша) олмайди, у ўқи бўйича ташкил этувчиси  $j \neq 0$  бўлади. Бу соҳанинг кенглиги эса  $(1 \div 1,5)b$  га тенг. Ўлчов зондлари шу соҳадан ташқарида бўлганда (2.10) ва (2.11) формулалар ўринли бўлади. Бу уни  $a \geq 3b$  бўлган намуналарга қўллаш мумкин деган сўздир. Акс ҳолда  $E$  ва  $U_H$  ларнинг заряд оқиши билан боғлиқ бўлган камайишини ҳисобга олишга тўғри келади. Кичик магнит майдонда  $\mu_B \ll 1$  Холл зондлари 1 ва 3-намунанинг ўртасида ( $x=0$  да) жойлашган бўлса, Холл Э Ю К

$$U_H = \frac{a}{b} \Phi\left(\frac{a}{b}\right) R_H \cdot \frac{IB}{d} \quad (2.12)$$

формула билан топилади. Ҳисоблашларнинг кўрсатишича, 0,7% дан кичик хатолик билан ўлчангандага  $\Phi(a/b)$  ни қуидаги формула билан аниқлаш мумкин:

$$\Phi(\alpha) = \Phi\left(\frac{a}{b}\right) = 0,742 \ln \left[ \frac{\alpha(1 + \alpha/2\pi)}{0,742} \right] \quad (2.13)$$

б) *Холл эффиқти билан бир вақтда содир бўладиган – ҳамроҳ эффиқтлар*

Холл эффиқтини ўлчашда назорат қилиб бўлмайдиган мунтазам (систематик) ва тасодифий хатоликлар манбаи бўлган, ўлчов натижаларини хатоликка олиб келувчи бир қанча эффиқтлар (ҳодисалар) пайдо бўлади. Буларга қуидагиларни кўрсатиш мумкин:

**Эттенгаузен эффиқти.** Намунадан магнит майдон йўналишига тик бўлган йўналишда ток ўтганда уларга тик бўлган йўналишда температура градиентининг пайдо бўлишига **Эттенгаузен эффиқти** деб юритилади. Агар ток  $x$  ўқи, магнит майдони  $z$  ўқи бўйича йўналган бўлса, у ўқи бўйича пайдо бўлган температура градиенти магнит

майдон индукцияси  $B$  га, ток зичлиги  $j_z$  га пропорционал:

$$\nabla T_3 = \frac{\partial T}{\partial y} = -K_3 j_z B_z \quad (2.14)$$

Бу ерда:  $K_3$  — Эттенгаузен коэффициенти.

Магнит майдони тезлиги ўртача тезликдан катта “иссиқ” заряд ташувчиларга (электрон ёки кавак) каттароқ куч билан таъсир этади, тезлиги ўртача тезликдан кичик бўлган “совуқ” заряд ташувчиларга эса таъсир кучи кичикроқ бўлади. Маълумки, Холл электр майдонининг электронга (кавакка) таъсир кучи ўртача тезликка эга бўлган электронга (кавакка) магнит майдонининг таъсир кучини, яъни Лоренц кучини компенсациялай олади ва натижада улар оғмасдан  $x$  ўқи бўйича ҳаракатланади. Шунинг учун магнит майдон таъсирида заряд ташувчиларнинг тезлик бўйича ажралиши юзага келади. “Иссиқ” заряд ташувчилар (2.1-расм) юқори томонга, “совуқ” заряд ташувчилар пастки томонга оғади. Заряд ташувчилар билан кристалл панжара орасида энергия алмашинуви туфайли, “иссиқ” заряд ташувчилар тўпланган томон кристалл панжаранинг мувозанатдаги ҳолатига нисбатан исийди, “совуқ” заряд ташувчилар тўпланган томони совийди ва намунада қўндаланг температура градиентининг пайдо бўлишига олиб келади. Эттенгаузен эфектининг ишораси ҳам Холл эфекти каби майдон ва ток йўналишига боғлиқ. Қўндаланг температура градиенти ҳосил қилиган Зеебек эфекти туфайли вужудга келган Эттенгаузен термоэлектр юритувчи кучи, яъни Эттенгаузен кучланиши ҳар доим Холл кучланишига қўшилади. Уни ток ёки магнит майдон йўналишини ўзgartириш билан ажратиб бўлмайди;

Нерист-Эттенгаузен эфекти  $x$  ўқи бўйича температура градиенти бўлган намунани  $x$  ўқига тик  $z$  ўқи бўйича йўналган магнит майдонига жойлаштирилганда буларга тик бўлган  $z$  ўқи бўйича намунада қўндаланг потенциаллар айирмасининг пайдо бўлишига Нерист-Эттенгаузен эфекти дейилади. Температура градиенти натижасида намунада иссиқ томондан совуқ томонга диф-

фузияланувчи заряд ташувчиларга магнит майдонида Лоренц кучи таъсир этиб, уларни бир томонга оғдиради. Бунинг оқибатида магнит майдон индукцияси  $\vec{B}$  га ва температура градиенти  $\nabla_x T$  га пропорционал бўлган кўндаланг потенциаллар айрмаси — кучланиш пайдо бўлади.

$$U_{N\Theta} = A_{N\Theta} \cdot \nabla_x T \cdot B_z \cdot b \quad (2.15)$$

Бу ерда:  $A_{N\Theta}$  — Нернст-Эттенгаузен коэффициенти,  $b$ -у ўқи йўналишидаги намуна ўлчами. Нернст-Эттенгаузен эфектининг ишораси магнит майдон йўналиши ўзгариши билан ўзгаради, у ток йўналишига боғлиқ эмас;

Риги-Ледюк эфекти  $x$  ўқи бўйича температура градиенти бўлган намунани унга тик магнит майдони  $\vec{B}$  га жойлаштирилганда Лоренц кучи таъсирида диффузияланувчи заряд ташувчилардан “иссиқ” заряд ташувчилар бир томонга, “совуқ” заряд ташувчилар иккинчи томонга оғади (бурилади) ва натижада уларнинг кристалл панжара билан энергия алмашинуви туфайли, Эттенгаузен эфектига ўхшаш кўндаланг у — ўқи бўйича температура градиенти пайдо бўлади:

$$\nabla_y T = A_{RZ} \nabla_x T B_z \quad (2.16)$$

Бу намунадаги кўндаланг температура градиенти Холл зондлари орасида қўшимча потенциаллар айрмасини  $U_{RZ}$  вужудга келтиради. Бу ҳодиса Риги-Ледюк эфекти деб юритилади.  $U_{RZ}$  нинг ишораси магнит майдон йўналишига боғлиқ бўлиб, ундан оқаётган ток йўналишига боғлиқ бўлмайди;

**Кўндаланг магнит қаршилик эфекти** (магнитосопротивление).

Юқорида кўрдикки, ўртacha тезлик билан ҳаракатланашётган заряд ташувчиларга Лоренц кучи таъсир этмайди, чунки Холл электр майдони уни компенсациялади. Шунинг учун уларнинг магнит майдонида траекторияси ўзгармайди. Лекин заряд ташувчилардан тезликлари ўртacha тезликдан катталари ҳамда кичиклари  $E$  майдон йўналишига нисбатан икки томонга оғади. Уларнинг ҳаракат

тезлиги электр майдони  $E$ , бўйича камаяди деб қараш намуна қаршилигининг ошиши деб қараш билан бир хил. Бу кўндаланг магнитоқаршилик эффицити деб аталади. Магнит майдонида солиштирма қаршиликтин нисбий ўзгариши кичик иккинчи тартибли функция билан боғланган бўлиб,

$$\frac{\Delta\rho}{\rho} = (\mu_H B)^2 \quad (2.17)$$

билан аниқланади. Шунинг учун кичик магнит майдонида ( $\mu_H B \ll 1$ ) ўлчанаётган солиштирма қаршиликтин кўндаланг магнитоқаршилик эффицитининг таъсирини зътиборга олмаса ҳам бўлади;

Холл зондларининг ноэквипотенциал сиртларда жойланishi. Холл Э Ю Кига таъсир этадиган яна бир омил сифатида Холл электродларини ноэквипотенциал сиртга жойлашганда ҳосил бўладиган кучланиш  $U_0$  ни кўрсатиш мумкин. Бу кучланиш 1 ва 3-зондлар силжиган қисмининг қаршилигига, намунадан ток ўтгандаги кучланишининг тушувига teng бўлади.  $U_0$  Холл кучланишига қўшилиши ҳам, айрилиши ҳам мумкин. Унинг ишораси фақат ток йўналишига боғлиқ. Юқорида ёритилганлардан кўринадики, Холл кучланишини аниқ ўлчашиб учун кўрилган эффицитларни инобатга олиш зарур экан.

## 2.2-§. Холл Э Ю Кини ўлчаш усуслари

*a) Ўзгармас ток ва ўзгармас магнит майдони ёрдамида Холл кучланишини ўлчаш*

Бу Холл электр юритувчи кучини ўлчашнинг энг содда ва кенг тарқалган усулидир. Параллелепипед шаклидаги намунани ўзгармас ток манбаига улаб, ундан ток ўтказилади. Намуна ўзгармас магнит ёки электромагнит қутблари орасига киритилади. Холл эффицитини кичик магнит майдонда ўлчаш учун магнит майдон индукцияси 1 Теслагача олинади. Магнит қутблари орасидаги масофа-ни ёки электромагнитда ундан оқаётган токни ўзгарти-

риб, магнит майдон индукциясининг исталган қиймати-ни олиш мумкин. Магнит майдон уланганда, унинг таъсирида қаршиликнинг ўзгариши намунадан ўтаётган токни ўзгартирмаслиги учун, ток манбаининг чиқиши қаршилиги катта бўлиши керак. Намунадан оқаётган токни амперметр билан ёки кетма-кет уланган қаршиликдаги кучланишни ўлчаш орқали аниқлаш мумкин. Холл электр юритувчи кучи намунанинг тегишли томонига жойлаштирилган (қисиб қуювчи) контактлар ёки нуқтавий зондлар билан ўлчанади. Ўлчов натижалари катта ишончга эга бўлиши учун, кўп ҳолларда, кавшарланган (қалайланган) ёки пайвандланган контактлар ишлатилади. Холл контактларининг юзаси катта бўлиб қолиши намунада ток тақсимотининг бузилишига ва намунанинг шунтланишига олиб келиши мумкин. Бу юқори Ом ли намуналарда айниқса муҳимдир. Контактлар қаршилигининг ўлчов натижаларига таъсирини йўқотиш учун зондлар орасидаги кучланиш одатда ички қаршилиги катта бўлган вольтметр-электрометрларда компенсация усули билан ўлчанади. Холл эфекти билан бирга содир бўладиган, юқорида кўрилган ҳодисаларни ҳисобга олганда, Холл электродлари (1 ва 3) да ўлчанган кучланиш Эттенгаузен, Нернст-Эттенгаузен, Риги-Ледюк эфектлари ҳосил қилган кучланишлар ҳамда Холл зондларининг бир-бирига нисбатан силжишидан ҳосил бўлган ноэквипотенциал кучланишлар йифиндисидан иборат бўлади. Бу натижавий (йифинди) кучланишдан Холл кучланишини ажратиш учун магнит майдон йўналишини икки марта ўзгартириб, тўрт бора ўлчов ўтказилади. Бунда ўлчанган кучланиш қуйидагича бўлади:

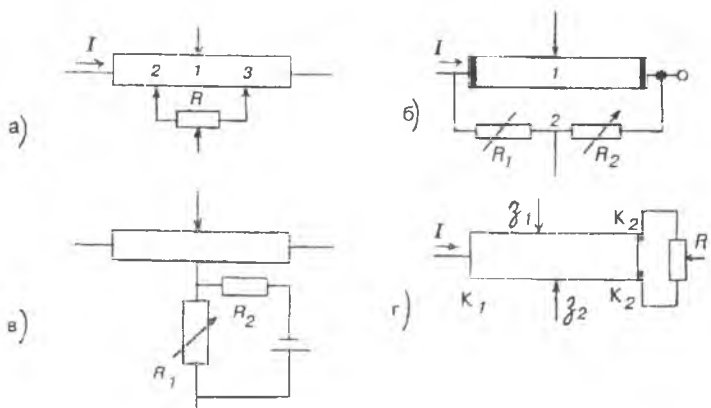
$$\begin{aligned}
 I+; B+ & U_1 = U_H + U_{\Theta} + U_{N\Theta} + U_{RZ} + U_0 \\
 I-; B+ & U^2 = -U_H - U_{\Theta} + U_{N\Theta} + U_{RZ} - U_0 \\
 I-; B- & U_3 = U_H + U_{\Theta} - U_{N\Theta} - U_{RZ} - U_0 \\
 I+; B- & U_4 = -U_H - U_{\Theta} - U_{N\Theta} - U_{RZ} + U_0
 \end{aligned} \tag{2.18}$$

Бў тўрт ўлчов асосида қуйидаги

$$U_H + U_3 = \frac{(U_1 - U_2) + (U_3 - U_4)}{4} \quad (2.19)$$

ифодани оламиз. Бундан кўринадики, Холл ва Эттенгаузен кучланишларининг ишоралари бир хил бўлгани учун Холл кучланишида қўшимча Эттенгаузен кучланиши сақланади. Қолган эфектларнинг Холл кучланишига таъсирини йўқотиш мумкин экан.

Шуни эслатиб ўтиш керакки, намунадаги бўйлама температура градиенти ишораси ток йўналишига боғлиқ бўлса (масалан, Пельте эфекти ёки барьер туфайли), унда тўртта ўлчов билан фақат Холл электродлари нинг ноэквипотенциал кучланишини йўқотиш мумкин. Қолган эфектларни таъсирини йўқотиш учун ўзгарувчан ток, ўзгарувчан магнит майдон усулларидан фойдаланилади. Юқори Ом ли яримўтказгич намуналарда ноэквипотенциал кучланишни назарий йўқотиш усули тўрт марта Холл электродларидаги кучланишни ўлчаш каби) ҳамма вақт ҳам натижা беравермайди. Бу туркум намуналарда токнинг ортиши Холл зондлари орасидаги кучланишнинг ўсишига олиб келади, баъзан Холл кучланишидан ҳам катта бўлиб қолиши мумкин. Бундай ҳолларда  $U_H$  ни ўлчаш аниқлиги пасайиб, уни ўлчаш мумкин бўлмай



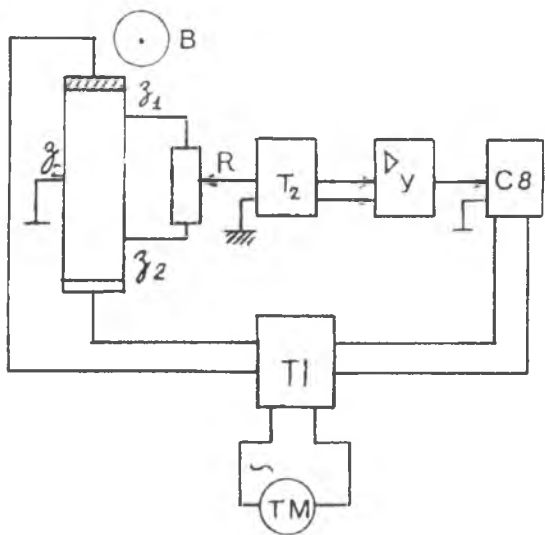
2.2-расм. Холл электродлари (контактлари) потенциалларининг бир хил бўлмаслиги билан боғлиқ кучланишни йўқотиш схемалари.

қолади. Шунинг учун Холл электродларининг аниқ ўрнатилмаганлиги билан боғлиқ бўлган  $U_R$  нинг ўлчов натижаларига таъсирини йўқотишда бошқа бир неча усуллар кўлланилади, яъни ноэквипотенциал кучланиш компенсацияланади. 2.2-расмда амалиётда кўллаб келинаётган кучланишни компенсациялаш усули билан ўлчашнинг чизмаси келтирилган. Уч зондли чизма билан  $U_R$  ни йўқотишда  $R$  потенциометрда (қаршиликда) 1-зонднинг потенциалига тенг нуқта топилади. Бу қаршилик намунани шунтламаслиги учун, яъни ундан ўтадиган токнинг намунадан оқаётган токка нисбатини ҳисобга олмайдиган бўлиши керак. Шунинг учун унинг қаршилигидан катта  $R_1 \gg R_{23}$  бўлиши керак. Ўлчаш чизмасига катта қаршиликнинг уланиши ўлчашнинг сезгирилигини камайтиради. Уч зондли чизма кўпроқ қаршилиги кичикроқ намуналарда кўлланилади. Кўприк чизмасини (2.26-расм) кўллаш билан  $U_H$  ни ўлчашда 1-зонднинг чап ва ўнг томонидаги намуна қаршиликлари ҳамда ўзгарувчан  $R_1$  ва  $R_2$  қаршиликлар кўприкнинг тўртта елкасини ҳосил қиласди. Магнит майдон уланмаган ( $B=0$ ) да  $R_1$  ва  $R_2$  қаршиликларни ўзгартириб, 1 ва 2-нуқталарда ҳар хил потенциалга эришилади. Бу усул билан Холл электродларида Холл электр кучининг ярми ўлчанади, чунки намунадан оқаётган ток икки қисмга бўлинади. Шунинг учун унинг сезгирилигини камчилик деб кўрсатиш мумкин. 2.2в-расмда келтирилган чизма ёрдмида  $U_0$  — кучланишни йўқотиш учун  $K_2$  ва  $K_3$  контактлар орасига уланган қаршилик орқали уларда бир-бирига тенг бўлмаган шундай потенциаллар топиладики, бунда  $B=0$  да 1 ва 2 зондлар орасидаги кучланиш нолга тенг бўлади ва эквипотенциал сиртлар силжиди. Уларнинг бундай силжиши натижасида 1 ва 2 зондлар битта сиртда ётади. Бу усул билан  $U_0$  ни компенсация қилиш намунанинг узунлиги унинг кенглиги тартибида бўлганда гина амалга оширилади. Акс ҳолда  $K_2$  ва  $K_3$  контактлар орасидаги потенциаллар айрмаси намунанинг ўрта қисмida эквипотенциал сиртларга таъсири кам бўлади. 2.2в-расмда келтирилган чизмада алоҳида олинган ташқи ток манбай билан  $U_0$  компенсацияланади. Бунда  $R$ , қаршиликдан ташқи ток манбай орқали ток ўтказилганда унга тушган кучланиш билан компенсацияланади. Ўлчов сезгирилигини камайтирмаслик учун чиз-

мада  $R$ , қаршилик етарлича кичик қилиб олиниши керак. Заряд ташувчилар концентрацияси кичик, ёмон үтказувчанликка эга бўлган (юқори Ом ли) намуналарда Холл электр юритувчи кучи бир неча милливольт бўлади. Намуна қаршилиги ортиши билан  $U_x$  ни үлчашдаги хатоликлар ортиб боради. Агар намуна қаршилиги  $10^6$  Ом тартибида, гальванометр сезгирилиги  $10^{29}$  А/шк бўлса, электр юритувчи кучни үлчашдаги хатолик  $\approx 1$  мВ бўлади. Ўлчов чизмаларининг сезгирилигини ошириш учун гальванометрни электрометрлар билан алмаштириш мумкин. Лекин ўзгармас ток билан Холл кучланишини үлчашда электрометр ёки ўзгармас ток кучайтиргичлари билан ишлаш қийинчилиги пайдо бўлади. Юқори Ом ли намуналарда бу қийинчиликларни Холл токини үлчаш билан йўқотиш мумкин (2.3 ва 2.4 ларни қаранг).

*б) Ўзгарувчан ток ва ўзгармас магнит майдони ёрдамида. Холл электр юритувчи кучини үлчаш*

Холл кучланишини үлчаётгандা, намунада ток йўналишида пайдо бўлган температура градиенти ишораси ток йўналишига боғлиқ бўлса, ўзгармас магнит ва ўзгармас ток ёрдамида уларнинг йўналишини ўзгартириш усули билан Нернст, Риги-Ледюк кучланишларини йўқотиш мумкин эмаслигини юқорида эслатиб ўтган эдик. Иссиклик жараёнларининг инерционлиги сабабли, намунадан юқори частотали ток үтказиш билан намунадаги температура градиенти ва у билан боғлиқ бўлган Нернст, Риги-Ледюк эфектларининг Холл эфектига таъсирини йўқотиш мумкин. Қизиш ва у билан пайдо бўлган кучланишлар вақт бўйича ўзгармайди, Холл ўлчов асбоблари фақат ўзгарувчан электр сигнални үлчайди. Намунадан ўзгарувчан ток ўтганда магнит майдонида ўзгарувчан ток частотасига тенг бўлган Холл кучланиши ҳосил бўлади. Одатда ўзгарувчан электр сигнални ўзгармас сигналга нисбатан кучайтириш осон. Ўзгарувчан токни маълум яримўтказгичларга қўллаш билан Холл кучланишини ўлчовчи сезгирилмани яратиш мумкин. Бу усул Холл электр юритувчи кучини катта олиш қийин бўлган, ҳаракатчанлиги, солишиштирма қаршилиги кичик бўлган намуналарда концентрация ва ҳаракатчанликни үлчашда катта аҳамиятга эга. Ўлчов пайтида намунадан ўтаётган ўзгарувчан ток-



2.3-расм. Холл электр юритувчи кучини ўзгарувчан ток ва ўзгармас магнит ёрдамида ўлчаш схемаси.

НИНГ Холл электр юритувчи кучи электр занжирда ҳосил қиласидиган кераксиз сигналларни (наводокни), шовқинни йўқотиш керак. 2.3-расмда Холл электр юритувчи кучнинг ўзгарувчан ток ва ўзгармас магнит ёрдамида ўлчаш чизмаларидан бири келтирилган. Ўзгарувчан ток манбайдан (ТМ) ажратувчи трансформатор Тр1 орқали намунага кучланиш берилади. Шу трансформатордан яна таянч сигнал синхрон детекторга берилади. Ноэквипотенциал кучланиш  $B=0$  да  $R$  — қаршилик орқали компенсацияланади. Холл контактларидан олинадиган кучланиш Тр2 — трансформатор орқали кучайтиргичга, сўнг синхрон детекторга берилади ва Холл кучланиши ўлчанади. Синхрон детектор ҳар хил шовқинларни камайтиради ёки тўлиқ йўқотади. Тр2 трансформаторнинг кириш қаршилиги  $R$  — қаршиликка ва зондлар орасидаги қаршилика нисбатан етарлича катта бўлиши керак.

Бу чизмада частотаси  $\nu=570$  Гц бўлган ўзгарувчан токни қўллаш билан кичик қаршиликли намуналарда Холл электр юритувчи кучини ўлчашда сезгирилиги  $10^{-9}$  В га ет-

ган. Бу чизма билан магнит майдон индукцияси  $B=4600$  Гс да заряд ташувчилар концентрацияси  $\rho=6 \cdot 10^{21} \text{ см}^{-3}$ , ҳаралатчанлиги  $\mu_n=2 \text{ см/В.с}$  бүлган намунада Холл эффекти үлчанган. Шуни таъкидлаш керакки, бу усул билан үтказувчанликнинг типини ҳам аниқлаш мумкин. Агар Холл кучланиши билан намунадан үтаётган ток бир фазада бўлса,  $p$ -тип намунада  $R_H > 0$  бўлади, агар қарама-қарши фазада бўлса,  $n$ -тип намунада  $R_H < 0$  бўлади.

*в) Холл электр юритувчи кучини ўзгарувчан ток ва ўзгарувчан магнит майдони усули билан аниқлаш*

Намунадан үтаётган ток ва унга қўйилган магнит майдони ўзгарувчан бўлиб, уларнинг ўзгариши қўйидаги қонуниятлар бўйича бўлсин:

$$\begin{aligned} B &= B_0 \cos(\omega_1 t + \delta_1) \\ I &= I_0 \cos(\omega_2 t + \delta_2) \end{aligned} \quad (2.20)$$

Бу ерда:  $B_0$ ,  $I_0$  — мос равишда магнит майдон индукцияси ва ток амплитудалари,  $\omega_1$  ва  $\omega_2$  — уларнинг частоталари.  $\delta_1$  ва  $\delta_2$  — фазалар силжиши,  $\omega_2 > \omega_1$  деб ҳисобланса, (2.24) ни (2.15) га қўйсак, Холл электр юритувчи кучи ифодаси қўйидаги қўринишни олади:

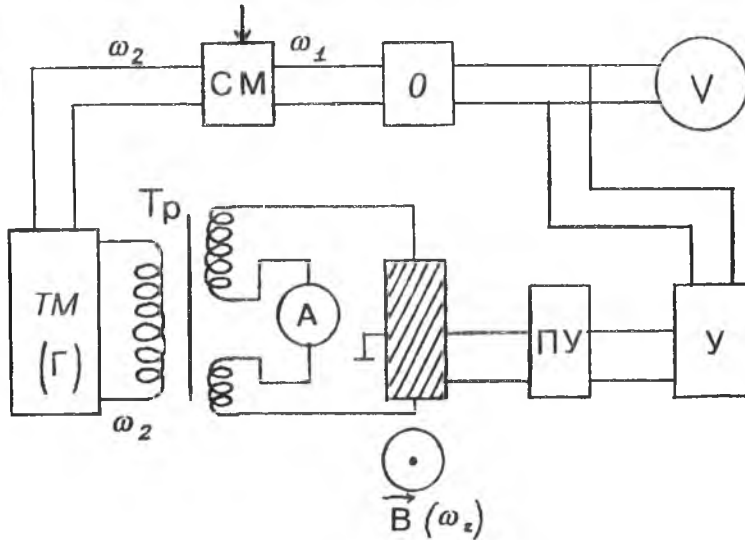
$$\begin{aligned} U_H &= \frac{I_0 B_0}{d} R_H \cdot \cos(\omega_1 t + \delta_1) \cdot \cos(\omega_2 t + \delta_2) = \\ &= \frac{I_0 B_0}{d} R_H \left\{ \cos[(\omega_2 - \omega_1)t + (\delta_2 - \delta_1)] + \right. \\ &\quad \left. + \cos[(\omega_2 + \omega_1)t + (\delta_1 + \delta_2)] \right\} \end{aligned} \quad (2.21)$$

Бундан қўринадики, ўзгарувчан Холл ЭЮК ифодаси частотаси  $(\omega_2 - \omega_1)$  ва  $(\omega_2 + \omega_1)$  бўлган иккита гармоникани ўз ичига олади. Холл зондлари орасидаги ўзгарувчан кучланишни гармоника частоталаридан бирига  $\omega_2 - \omega_1$  ва  $\omega_2 + \omega_1$ , созланган танловччи кучайтиргичга бериб, Холл ЭЮК ининг амплитудаси үлчанади ва Холл доимийси

$$R_H = \frac{2U_H}{I_0 B_0} \cdot d \quad (2.22)$$

формула билан анықланади. Бу билан ҳамма құшимча, иккінчи даражалы әффектлар таъсири йүқотилади. Масалан, зондларни носимметрик жойланиши билан боғланган  $\omega_1$  частотали кучланишни, магнит майдонининг ҳосил қылған  $\omega_2$  частотали ва иссиқлик әффектлари билан боғлиқ кучланишларни күрсатиш мумкин. Шундай қилиб, құшимча әффектларнинг катта электр сигнал шовқинида қиймати кичик бұлған Холл электр юритувчи күчини үлчаш мумкин. Кучли үзгарувчан магнит майдони олишдаги қийинчиликларга қарамасдан, тор соҳали (узкополосный) кучайтиргичларнинг құлланиши қурилманинг сезгирилгіни анча оширади. Холл ЭЮК иининг температурага боғлиқларнини үлчаш ва Холл кучланишнинг үзгаришини узлуксиз ёзіб олишни бу усулнинг ағзаликларидан бири сифатида күрсатиш мумкин. Үзгарувчан магнит майдони электромагнит чулғамларида  $\omega_2$  частотали ток үтказиш билан ёки механик усул билан ҳосил қилинади.

Частоталар бир-биридан кескин фарқ қылған ҳолда ЭЮК ни үлчашда шовқин сигнал (наводка) бұлмайди.  $\Delta\nu=0,5 \div 1$  Гц бұлған тор соҳали кучайтиргичларнинг құлланиши ток ва магнит майдон частоталарининг жуда турғун бұлишларнини талаб қиласы, акс ҳолда сигналнинг  $\omega_2 - \omega_1$  ёки  $\omega_2 + \omega_1$  частоталари кучли үзгаришга учрайди ва  $\omega_2 - \omega_1$  ёки  $\omega_2 + \omega_1$  частотага созланған кучайтиргичда Холл ЭЮК и кучланишни кескин камайтиради. Одатда магнит чулғами частотаси  $\nu = 50$  Гц бұлған үзгарувчан ток тармоғига уланади. Одатда саноатда ток частотасини турғун ушлаб туришга эришиб бұлмайди. Шу сабабли,  $\omega_1$  частотанинг үзгариши билан мөсравищда  $\omega_2$  частотаны үзгартырадиган шундай қурилма яратылғанки, у частоталар фарқини  $\omega_2 - \omega_1$  күчсиз үзгартыради (сақтайты). Үзгарувчан ток ва үзгарувчан магнит майдон усули орқали Холл ЭЮК ини үлчашга халақит берадиган сабаблардан бирига  $\omega_1$  ва  $\omega_2$  частотали кучланишларнинг аралашышига олиб келувчи ток контактларыда үзгарувчан токнинг түғриланишини күрсатиш мумкин, чунки бунда Холл Э Ю К частотасига тенг частотали тебранишни ҳосил қелувчи шовқин сигнал ҳосил бўлиши мумкин. Шунинг учун Ом контактларини эритиб олиш технологиясини яхшилаш (масалан,  $n+n$ ,  $p+p$  контактлар олиш) ҳамда гантель күринишидаги намуналар



2.4-расм. Холл эффектини үзгарувчан ток ва үзгарувчан магнит майдонда үлчаш схемаси.

қўллаш билан бунинг таъсирини камайтириш мумкин. Шунга мувофиқ контактлар сифатига кўйилган талаб үзгарамас ток усулига нисбатан қаттикроқ. Бу усул билан Холл ЭЮК ини үлчашнинг блок чизмаларидан бири 2.4-расмда келтирилган. Чизмада үзгарувчан ток манбаи сифатида чиқиши қаршилиги кичик бўлган иккита симметрик каналли паст частотали генератор ишлатилади. Кучланиш намунага генератордан ажратувчи трансформатор орқали берилади. Намунадан ўтаётган ток трансформатор  $T_p$  нинг иккиламчи чулғами ўртасига уланган амперметр билан, үзгарувчан Холл ЭЮК  $\omega_1 + \omega_2$  ёки  $\omega_2 = \omega_1$  частотага созланган танловчи резонанс кучайтиргич билан үлчанади. Бу усул билан Холл ЭЮК ишорасини аниқлашнинг бир қанча радиотехник чизмалари мавжуд: масалан, намунадаги Холл ЭЮК ни этalon намунадаги Холл ЭЮК га солишириб аниқлаш мумкин. Бунинг учун ўтказувчанлик типи аниқ бўлган этalon намуна олиб, уни Холл ЭЮК үлчанаётган намуна Холл ЭЮК ига кетма-кет улаб, улар солишириллади. Бу ҳолда Холл ЭЮК

$$U_H = 2 \left( \frac{R_{H\Theta}}{d_{\Theta}} \cdot BI_{\Theta} \pm \frac{R_H}{d} \cdot BI \right) \cos(\omega_2 - \omega_1)t \quad (2.23)$$

ифода билан аниқланади. Бу ерда:  $R_{H\Theta}$ ,  $d_{\Theta}$  — эталон намунанинг Холл коэффициенти ва магнит йўналиши бўйича қалинлиги,  $I_{\Theta}$ ,  $I$  — эталон ва текширилаётган намунадан ўтаётган ток.

Бир хил фазадаги токлари  $I_{\Theta}$ ,  $I$  нинг катталигини ўзгартириб, қарама-қарши тип ўтказувчанликка эга бўлган намуналарда Холл Э Ю К нолга teng бўлган вазиятга эришилади. Агар намуна билан эталон электр ўтказувчанликлари типи ҳар хил бўлса, токлардан бирининг фазасини ҳамда  $I_{\Theta}$  ва  $I$  ларни ўзгартириб, компенсацияга эришилади. Шундай қилиб, бу усул билан нафақат Холл Э Ю К и ишорасини, балки текширилаётган намунанинг Холл коэффициенти (доимийси) нинг абсолют қийматини топиш мумкин

$$R_H = R_{H\Theta} \frac{d}{d_0} \frac{I_{\Theta}}{I} \quad (2.24)$$

Бу компенсация усулида магнит майдонининг катталигини билиш шарт эмас. Одатда эталон намуна электромагнит қутблардан бирига ёпишириб қўйилади. Холл ЭЮК ини ўлчайдиган саноат қурилмаларида ток генератори частотаси 70—75 Гц, магнит қутбларининг пойнаги (учлиги) 40 мм, улар орасидаги масофа 40 мм тартибида бўлса, 3000 эрстедгача бўлган магнит майдонини ҳосил қилиш мумкин. Бу усул билан ҳаракатчанликлари  $5 \div 10^{-2}$  см<sup>2</sup>/В · с бўлган намуналарда Холл эфектини ўлчаш мумкин бўлган. Шуни назарда тутиш керакки, ўзгарувчан майдонда яхлит металл қисмлар (криостат), уни ушлаб турадиган тутқичлар индукцион ток билан қизиши мумкин.

2.4-чизмадаги аралаштиргичдан чиқаётган стандарт фазали кучланиш билан намуна даги кучайтирилган Холл кучланиши осциллографда ҳосил қилган лиссажу шакллариiga қараб Холл ЭЮК и ишорасини, яъни намунада электр ўтказувчанлик типини аниқлаш мумкин.

## 2.3-§. Холл токи

Биз юқорида Холл эфектини күрганда бу эфекттинг назарияси стационар ҳолатда қуйидаги ифодаларга олиб келишини күрган эдик:

$$\vec{E} = \vec{E}_n + \vec{E}_H; \quad \vec{E}_n = \frac{\vec{j}_n}{\sigma(B)}; \quad \vec{E}_H = \frac{\mu_{nH}}{\sigma(B)} [\vec{j}_n \vec{B}] \quad (2.25)$$

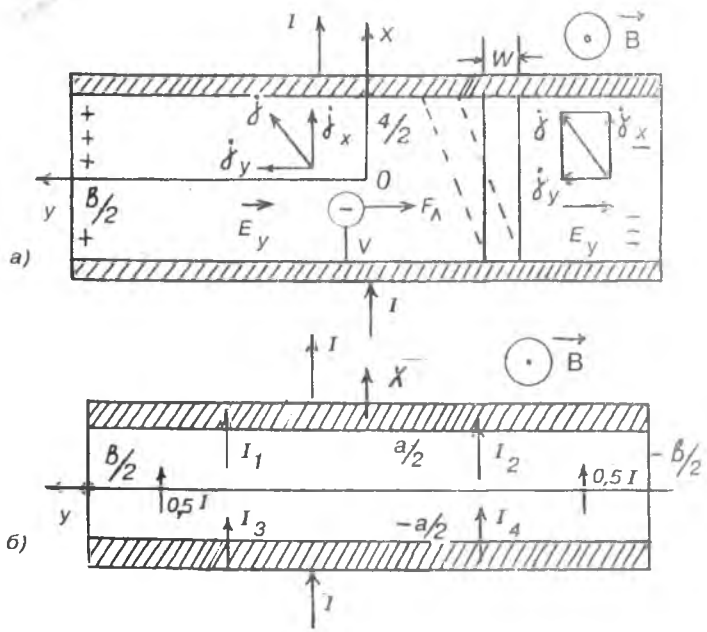
Бу ерда:  $\vec{E}$  — намунанинг натижавий электр майдон кучланганлиги,  $\vec{E}_n$  — намунадан оқаётган токнинг ҳосил қилган майдон кучланганлиги,  $\vec{E}_H$  — Холл электр майдон кучланганлиги,  $j$  — ток зичлиги вектори,  $\sigma(B)$  — магнит майдондаги солиширма электр ўтказувчанлиги.

Бу формулалар ток ўтаётган намунани магнит майдонига киритганда пайдо бўлган Холл эфектининг бир жиҳатини намоён бўлишини кўрсатади,  $\vec{B}=0$  да  $\vec{E}=\vec{E}$  бўлади. Магнит майдони (Лоренц кучи) ток зичлиги векторига тик бўлганда магнит майдонига пропорционал бўлган Холл электр майдон кучланганлигини вужудга келтиради. (2.25) даги ифодаларнинг ток зичлигига нисбатан ечими қуйидаги

$$\begin{aligned} \vec{j} &= \vec{j}_n + \vec{j}_H + \vec{j}_I; & \vec{j}_n &= \sigma' \vec{E}; & \vec{j}_H &= \sigma' \mu_n [\vec{E}_n \vec{B}] \\ \vec{j}_I &= \sigma' \mu_n^2 \vec{B} (\vec{B} \vec{E}); & \sigma' &= \frac{\sigma}{1 + \mu_n^2 B^2} \end{aligned} \quad (2.26)$$

ифодаларга олиб келади. Холл ўлчовлари ўтказилганда одатда  $E \perp B$  қилиб олинади, бунда  $\vec{j}_I=0$  бўлади. (2.30) ифодалар Холл эфектининг иккинчи жиҳатини кўрсатади. Холл эфекти магнит майдон индукцияси ҳамда ўтказувчан ток зичлиги векторига тик ва магнит майдонига пропорционал Холл токини ҳосил қиласди. Намунада Холл эфекти текширилганда Холл электр майдон кучланганлигини характерловчи тенгламалар тизими (2.25) ёки унга эквивалент (2.26) тенгламалар яна қуйидаги ифодаларни ўз ичига олади:

$$div \vec{j} = 0; \quad rot \vec{E} = 0 \quad (2.27)$$



2.5-расм. Холл токининг пайдо бўлишини тушунтиришга чизма (а),  
Холл токининг контактлар орқали уланиши.

Бунга қуйидаги чегаравий шартлар қўйилади:

1. Намуна сиртининг металл қопланмаган қисмида  
электр майдон ва токниң тангенциал (нормал) ташкил  
этувчиси

$$\vec{E}_t = 0; \quad j_t = 0 \quad (2.28)$$

бўлади. Бунда контактларнинг потенциали ёки ундан оқаётган ток берилиши керак. Маълумки, токли намунани ток йўналишига тик бўлган магнит майдонига киритсак, узун, тор намунанинг ўрта қисмида ностационар Холл токидан, зарядларининг тўпланиши сабабли, Холл электр юритувчи кучи (ЭЮК) пайдо бўлади. Калта, юпқа ва кенг ( $a \ll b$ ) намунада Холл эфектини кўрайлик (2.5-расм).

Узун ва тор намунадаги каби Лоренц кучи дрейф ҳарасати қилаётган заряд ташувчиларни оғдиради, аммо на-

мунанинг қалинлиги кичик ва эни катта шаклда бўлиши туфайли, намуна ўрта қисмининг бирор ерида оғган заридалар тўпланиши кузатилмайди ва натижада Холл электр майдони пайдо бўлишига олиб келмайди, яъни Лоренц кучини мувозанатловчи майдон вужудга келмайди, Оу — ўқи бўйича стационар Холл токи оқади.  $y = \pm b/2$  сиртларда тўплангандар зарядлар намуна марказидан узоқлашган ва майдон кучланганлигининг  $E_y$  ташкил этувчиси пайдо бўлмайди. Бу эфектни миқдорий қарашда, намуна марказидаги катталикларни у га боғлиқ бўлмаслигидан фойдаланамиз. Бу ҳолда (2.28) дан кўринадики,  $j$  ва  $E_y$  лар  $x$  га боғлиқ, эмас, (2.28) га кўра

$$E_y \left( x = \pm \frac{a}{2} \right) = 0$$

бўлади. Марказий қисмида  $E_y$   $x$  га боғланмаган бўлгани сабабли,  $E_y = 0$ . Бу мулоҳазаларни ва (2.26) ифодани қўллаб,

$$j_x = j_n + \tau' E_x; \quad j_y = j_H = \mu_n B_j \quad (2.29)$$

формулаларни оламиз. Булардан кўринадики,  $E_x$  ва  $j_y$   $x$  га боғлиқ эмас ва электр майдон бир жинслидир. Магнит майдонида ток зичлиги вектори  $\theta$  бурчакка бурилади.  $y = \text{const}$  текисликдан оқаётган тўла Холл токи

$$I_H = a \cdot d \cdot j_y \quad (2.30)$$

формула билан топилади.

Намуна контактининг бир қисмидан оқаётган ток

$$I_B = dbj \quad (2.31)$$

бўлади. Бу ерда:  $b$  — ток ўтаётган контакт соҳасининг кенглиги. (2.35) формуладан фойдаланиб, токнинг (2.30) ва (2.31) ифодаларини қуйидаги кўринишда олиш мумкин:

$$I_H = \mu_n B \sigma d \cdot U; \quad I_b = \sigma' \frac{bd}{a} U \quad (2.31 \ a)$$

Күчсиз магнит майдонида  $1 \gg B^2 \mu^2$  намунада бир жинсли токтөр майдон ( $\sigma = \sigma'$ ) бўлгани учун Холл токи

$$I_H = \frac{a}{b} \cdot \mu_n B \cdot I \quad (2.32)$$

куринишни олади. Эслатиб ўтамизки,  $y = \pm b/2$  сиртларда тўпланган зарядлар уларнинг атрофида  $E \neq 0$  бўлишига олиб келади, ток зичликларини  $j_x$  ва  $j_y$  марказ яқинидаги қийматлардан фарқли бўлишига олиб келади ва электр майдонининг бир жинслилиги бузилади. Бир жинсли бўлмаган соҳа эса ён сиртлардан ( $1 \div 1,5$ ) а масофагача бўлади. Бунда тоқнинг контактлар орқали уланиши содир бўлади (2.31) формулалар намунанинг ўрта қисмида ( $a \leq 3b$ ) соҳасида ўринли ҳисобланади. Акс ҳолда, Холл токи, Холл ЭЮК и каби тузатиш функциялари орқали ҳисобланади. (2.30) ва (2.31) ларга кўра, бўйи кичик ва эни катта намуналарнинг ( $b \gg a$ ) марказий қисмида магнит майдони солиштирма ўтказувчанлик ( $\sigma = j_x/E_x$ ) ни  $(1 + \mu^2 B^2)$  марта камайтиради, солиштирма қаршиликни шунча марта оширади. Бу ҳодиса геометрик магнит қаршилик эфекти деб аталади ва у қуйидагича тушунтирилади: Холл токи намунада ток найини узайтиради ва унинг кўндаланг кесимини камайтиради (2.5a-расм). Чизмада  $B=0$  да кенглиги  $w \ll a$  бўлган контакт соҳасидан оқаётган ток найининг чизиқлари узлуксиз чизиқ билан белгиланган,  $B \neq 0$  да узлукли чизиқ билан курсатилган. Бунда ток узунлиги катта бўлган най орқали оқади. Найнинг ўтказувчанлиги ток найининг энига тўғри пропорционал, узунлигига тескари пропорционал, яъни ўтказувчанлик ( $w/a$ ) га пропорционалдир.  $B \neq 0$  да кенглиги  $w/(1 + \tan^2 \theta)^{1/2}$  га, узунлиги  $a(1 + g^2 \theta)^{1/2}$  ва ўтказувчанлиги

$$\sigma' = \frac{W}{a} \frac{1}{1 + \tan^2 \theta} \approx \frac{W}{a} \left(1 + \mu_n^2 B^2\right)^{-1} \quad (2.33)$$

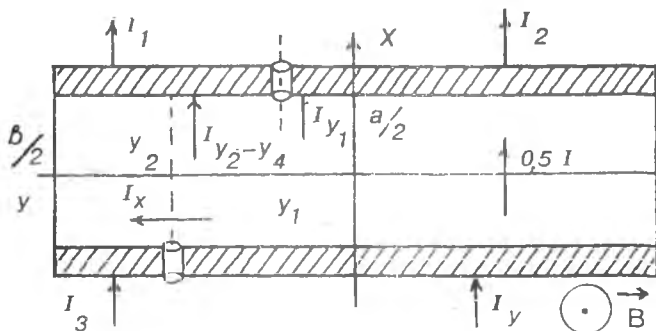
га teng бўлади. Шундай қилиб, магнит майдони найнинг ўтказувчанлигини камайтиради ва шунга мувофиқ найнинг қаршилигини оширади. Геометрик магнит қаршилик эфекти (кўпроқ) юпқа (ток йўналиши бўйича), эни

кенг намуналарда ҳам, узун намуналарнинг контактлар соҳасига яқин бўлган жойларда ҳам кузатилади. Бошқа шаклдаги намуналарда, масалан, “Корбино” доирасида ҳам кузатилиши мумкин (2.7-§ га қаранг). Узун намуналарнинг марказий қисмида, Холл токи йўқ жойларда бу эффект кузатилмайди.

## 2.4-§. Холл токларини ўлчаш ва у орқали яримўтказгич намуналарда заряд ташувчиларнинг концентрацияси ва ҳаракатчанлигини ўлчаш

*Намуна сиртидаги омик контактларни қисмларга ажратиш усули.*

Биз кўрдикки, намунадан оқаётган Холл токи контактлар орқали уланади. Контактларни бўлакларга бўлиш (ажратиш) Холл токини ташки занжирга чиқаришга ва ўлчашга имкон беради. Намуна сиртидаги контактлар бирбиридан бир жинсли майдон соҳасида ажратилган бўлсин (2.6-расм). Ўлчов чизмаларига уланган тўртта контактлар орқали  $I_1 \div I_4$  токлар ўтади. Бу токлар ажратилган қисмларда ажратилган контактларнинг эквипотенциаллигини таъминлайди. Стрелка билан кўрсатилган чизиқчалар ток йўналишлари кесиб ўтаётган соҳада кўрсатилган. Ажратилган контактлар орасидаги масофа намуна узунлигидан жуда кичик ва бу майдоннинг бир жинслигини бузмайди. Контактлар намуна марказида ажратилган ҳол



2.6-расм. Ом контактлари бўлакларга ажратилган намуна.

Энг содда ҳолга мос келади, лекин буни ҳамма вақт амалга ошириб бўлмайди, шунинг учун умумий бўлган ҳолда контактларнинг ажратилиш жойи марказга нисбатан силжийди. Координата ўқлари билан намуна тўртта бўлакка ажратилади. Контактлар намуна ўртасидан ажратилган бўлганда бу тўртга соҳада заряд сақланиш қонуни бажарилишини ҳамда тўла ток

$$I = I_1 + I_2 = I_3 + I_4 \quad (2.34)$$

бўлишлигини назарда тутиб, тўрт соҳа токларининг қуйидаги ифодаларини олиш мумкин.

$$I_1 = 0,5I + 0,5I_H \quad I_2 = 0,5I - 0,5I_H \quad (2.35)$$

$$I_3 = 0,5I - 0,5I_H \quad I_4 = 0,5I + 0,5I_H \quad (2.36)$$

Лекин юқоридаги контактнинг чапга силжиши  $I_1$  токнинг камайишига,  $I_2$  нинг ортишига олиб келади. Бу қиймат  $y \geq 0$  соҳага кирадиган  $I_{y1}$  ва  $I_{y2}$  токларга тенг, шунинг учун (2.35) ва (2.36) қуйидаги кўринишни олади:

$$\begin{aligned} I_1 &= 0,5I + 0,5I_H - I_{y1} & I_2 &= 0,5I - 0,5I_H + I_{y1} \\ I_3 &= 0,5I - 0,5I_H - I_{y2} & I_4 &= 0,5I + 0,5I_H + I_{y2} \end{aligned} \quad (2.37)$$

Бу ифодалардан

$$I_1 - I_2 = I_H - 2I_{y1}; \quad I_1 - I_3 = I_H - I_{y1-y2} \quad (2.38)$$

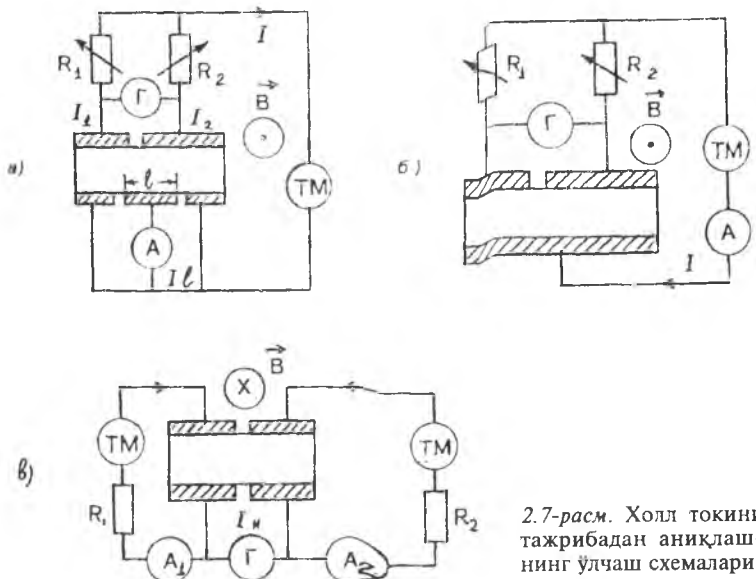
формулаларни топамиз. Холл токлари қаралаётган ҳолда

$$\begin{aligned} I_H(\bar{B}) &= -I_H(-B); & I_{y1}(B) &= I_{y1}(-B) \\ I_{y2-y1}(B) &= I_{y2-y1} = I(-B) \end{aligned} \quad (2.39)$$

бўлишлигини назарда тутиш керак.

### *Холл токини ўлчаш чизмалари*

Холл токини ўлчаш чизмаларидан бири 2.7а-расмда келтирилган. Бу намунанинг юқори сиртида бир-биридан ажратилган контакт олинади, Холл токини ўлчаш учун



2.7-расм. Холл токини тажрибадан аниқлашнинг ўлчаш схемалари.

унга параллель ички қаршилиги ( $R_r$ )  $R_1 + R_2$  қаршиликка ва ажратилған контакт ора сидаги намуна қаршилигига нисбатан жуда кичик бўлға ҳам гальванометр уланади. Ток манбаига, намунага кетма-кет уланган амперметр намунадан ўтаётган токни ўлчайди. Холл токини ўлчаш учун  $B=0$  да  $R_1$  ва  $R_2$  қаршиликлар орқали гальванометрдан ўтаётган ток нольга ( $I_r=0$ ) келтирилади, сўнг магнит майдон уланади. Магнит майдон улангандан намунада Холл токи вужудга келади.  $B \neq 0$  Да гальванометр билан магнит майдонида вужудга келган, юқори сиртида ажратилған контактларни туташтирувчи Холл токининг бир қисми аниқланади. Гальванометрнинг ички қаршилиги кичик бўлганда гальванометрдан ёқаётган ток Холл токининг ярмига teng бўлади. Намунанинг юқори қисмida ажратилған контактларга уланган электр занжири учун қуйидаги Кирхгоф қоидаси ўринлидир:

$$I_1 - I_2 = 2I_r \left( 1 + \frac{R_r}{R_1 + R_2} \right) + I \frac{R_2 - R_1}{R_2 + R_1} \quad (2.40)$$

$B=0$  бўлганда  $I_r=0$  қилиб олинса, (2.38) ва (2.40) лардан

$$-\left.\frac{2I_{y1}}{1}\right|_{B=0} = I_{B=0} \frac{R_2 - R_1}{R_2 + R_1} \quad (2.41)$$

бўлишлигини топамиз.

Кучсиз магнит майдонида Холл токи  $I_{y1}$  га нисбатан умумий ток  $I=I_1+I_2$  ва  $I_{y1}$  нинг ўзгаришини назарга олмаслик мумкин. Модомики шундай экан, улар ( $\Delta I_1$ ,  $\Delta I_{y1}$ ) магнит — қаршилик эффицити билан пайдо бўлган. Бу эффицетда  $\Delta I_1$  ва  $\Delta I_{y1}$  иккинчи тартибли,  $I_H$  эса биринчи тартибли кичик катталиклардир. (2.40) ифодани ҳисобга олиб, (2.38) ва (2.41) лардан

$$I_r = \frac{I_H}{2} \left[ 1 + \frac{R_r}{(R_1 + R_2)} \right]^{-1} \quad (2.42)$$

ни топамиз. Агар  $R_r \ll R_1 + R_2$  шарт бажарилса,  $I_r = I_H/2$  бўлади. Юқорида айтилганларга кўра гальванометр Холл токининг ярмини ўлчайди. Бу гальванометрга  $0,5I_H R_r$  га тенг бўлган кучланиш тушувини ва ажратилган контактларда ноэквипотенциалликни ҳосил қиласди. Холл токини ўлчашдаги нисбий хатолик

$$\frac{\Delta I_H}{I_H} = \frac{R_r}{R'} \quad (2.43)$$

бўлади. Бу ерда,  $R'$  — ажратилган контактлар орасидаги намуна қаршилиги. Маълумки, ток kontaktларининг ажратилиши намунада электр майдонининг маҳаллий бузилишига олиб келади ва kontaktлар потенциаллари бир хил бўлганда хатолик

$$\left| \frac{\Delta I_H}{I_H} \right| \approx \frac{\delta}{a} \quad (2.44)$$

бўлади. Бу ерда,  $\delta$  — ажратилган kontaktлар орасидаги масофа. Холл токини, намунага қўйилган кучланишни

ва намунадан үтәётган токни билган ҳолда, күчсиз магнит майдонида заряд ташувчилар концентрацияси ва ҳаракатчанлиги қуидаги формулалардан аникланади:

$$I = \sigma \frac{b \cdot d}{a} \cdot U; \quad I_H = \frac{a}{b} \mu_{nH} BI \quad (2.45)$$

2.7а-расмда келтирилган чизма билан ихтиёрий магнит майдонида Холл токини үлчаш мумкин. Бунда ток  $I_H$  нинг ўзгаришини ташлаб юбориш мумкин бўлмайди, уни йўқотиш учун магнитнинг икки йўналишида Холл токи үлчанди, яъни

$$I_H = (I_r(B) - I_r(-B)) \left( 1 + \frac{R_1}{R_1 + R_2} \right) \quad (2.46)$$

$$R_r \ll R_1 + R_2 \text{ да } I_H = I_r(B) - I_r(-B) \quad (2.47)$$

Ҳаракатчанлик (2.26) асосида олинган тўла ток

$$I_r = \sigma' \frac{Id}{a} U; \quad I_H = \mu_{nH} Bo'dU \quad (2.48)$$

формулаларидан топилади. Бунинг учун кенглиги  $l$  бўлган соҳадан үтәётган ток ва унга қўйилган кучланишни үлчаш керак (2.7а-расм). Бу усул билан үлчашда намунанинг ости Ом контакти икки қисмга ажратилади, яъни юқори Ом ли намуналарнинг солишишторма қаршилигини үлчаш каби қуриқловчи ҳалқа ишлатилади. Икки контактда эквипотенциаллик шарти

$$I_r R_A \ll U \quad (2.49)$$

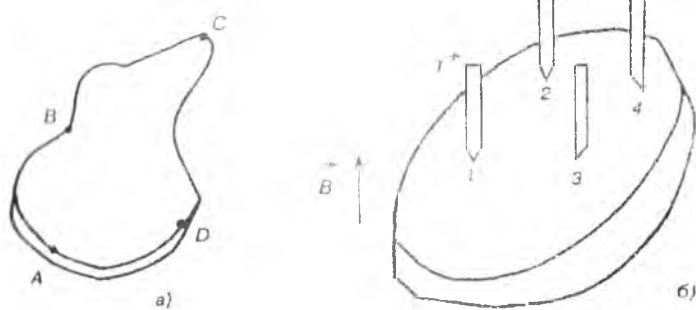
да бажарилади. Бу билан сирт бўйлаб оқаётган сирт ўтказувчанлиги токини ҳамда бир жинсли бўлмаган электр майдон соҳасида оқаётган токларнинг таъсирини йўқотиш мумкин. Холл токини үлчашга доир яна бир чизма 2.7в-расмда келтирилган. Унга асосан ажратилган контактларда  $R_1$  ва  $R_2$  орқали  $B=0$  да эквипотенциалликка

эришилади. Бунда  $R_1$ ,  $R_2 \gg R_r$  булиши керак. Магнит майдон уланганда гальванометрдан үтәётган ток  $I_1$  Холл токи  $I_H$  ини күрсатади. Намунадан оқаётган тұла ток  $A_1$  ва  $A_2$  амперметрлар билан үлчанади. Чизма күчсиз магнит майдонида Холл ҳаракатчанлигини үлчашга яроқлидир.

Холл токини үлчашга асосланған заряд ташувчилар ҳаракатчанлигини ва концентрациясини аниклаш усули кейинги йилларда ишлаб чиқылған. Текширишларнинг күрсатишича, бу усул ҳам, Холл ЭЮК ини үлчашга асосланған усул каби, намуна хоссалари түғрисидаги маълумотларни беради, маълум шароитда Холл токини үлчашни амалга ошириш енгилроқ ва қулайдир. Масалан, бу усул билан юқори Ом ли намуналарнинг ҳамда қалинлиги бўйича бир жинсли бўлмаган диффузион қатламларни, эпитаксиал қатламларнинг параметрларини үлчаш қулайдир. Маълумки, Холл ЭЮК ини юқори Ом ли намуналарда үлчаш учун ички қаршилиги катта бўлган электрометр-вольтметрлар қўлланилади. Намуна қаршилиги катта бўлганда сирқиши токи пайдо булиши мумкин. Бунда вольтметрлар билан ишлаш қийинчилик туғдиради. Холл токини үлчашда эса ички қаршилиги кичик гальванометр қўлланилади, бу билан ток сирқиши йўқогилади. Кўп қатламли структураларда Холл ЭЮК и қимматига ҳар бир қатламнинг қўшган ҳиссаси мураккаб муносабатлар билан боғланган. Холл токини үлчаш усулида натижавий Холл токига ҳар бир қатламнинг қўшган ҳиссаси содда боғланган бўлиб, у қўшилиб боради. Анистропик намуналарда Холл ЭЮК ини үлчаш билан солиштирма қаршилик тензори, Холл токини үлчаш билан солиштирма ўтказувчанлик тензорини аниклаш мумкин.

## 2.5-§. Ван-дер-Пау ва тўрт зондли усул билан яrimўтказгич намуналарда заряд ташувчилар концентрацияси ва ҳаракатчанлигини үлчаш

Ихтиёрий шаклдаги пластинкаларда, юпқа қатламларда, эпитаксиал структураларда концентрация ва ҳаракатчанликни үлчашда энг қулай, хатолиги кичик бўлган Ван-дер-Пау усули қўлланилади. Бунинг учун намуна четидан тўртта контакт олинади. Бу контактларнинг иккита



2.8-расм. Ихтиёрий шаклдаги намуналарда Ван-дер-Пау усули билан Холл доимийсіні аниқлашда контакттарнинг жойланиши (а), Холл доимийсіні аниқлашынг түрт зондли усули (б).

Қарама-қаршиси орқали ток үтказилиб ( $I_{AC}$ ), иккита қарама-қаршисида кучланиш ( $U_{BD}$ ) ўлчанади. Магнит майдони уланган ва уланмаган ҳолдаги кучланиш тушувлари  $U_{BD}(O)$  ва  $U_{BD}(\vec{B})$  ўлчаниб, Холл Э Ю К и аниқланади. Кучланиш ўлчанадиган контактлар умумий ҳолда экви-потенциал сиртларда үтмаслиги мүмкін (2.8-расм). Магнит майдонига киритилған намунанинг  $BD$  контактлари орасидаги кучланишнинг ўзгариши күксиз магнит майдонда  $\mu_B \ll 1$  Холл Э Ю К ига тенг бўлади, чунки бу ҳолда  $B$  ва  $D$  контактлар орасидаги қаршиликнинг магнит майдонда ўзгариши билан боғлиқ кучланиш инобатга олмаслик даражада кичик бўлади

$$U_H = U_{BD}(\vec{B}) - U_{BD}(O) \quad (2.50)$$

Ўлчаш даврида ток қиймати бир хил ушлаб турилса, Холл доимийси  $R_H$  (2.11а) га кўра

$$R_H = \frac{U_{BD}(\vec{B}) - U_{BD}(O)}{IB} d \quad (2.51)$$

формула билан аниқланади. Заряд ташувчилар ҳаракатчанлиги ва концентрацияси

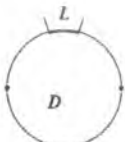
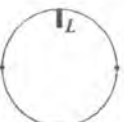
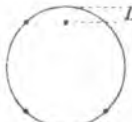
$$\mu_H = \frac{U_{BD}(\bar{B}) - U_{BD}(O)}{I \cdot \bar{B} \cdot \rho}; \quad n = \frac{r}{e \mu_H \rho} \quad (2.52)$$

формулалар орқали ҳисобланади. Солиширма қаршилик  $\rho$  ни Ван-дер-Пау усули билан аниқлаш 1.7-ғ да батафсил ёритилган. Контактларнинг таъсирини йўқотиш учун маҳсус шаклда, яъни беда барги шаклида намуна тайёрланади. Шуни эслатиш керакки, Ван-дер-Пау усули билан ўлчашда пластинка сиртлари ясси, параллел бўлиши ва, лекин унда дарча (тешик) бўлмаслиги керак. Эпитаксиал структураларда  $n$ ,  $\mu$ -ни ўлчашда қатламнинг солиширма қаршилиги кичик  $n-n^+$ , ёки  $p-p^+$ , ёки  $p-n$  типидаги эпитаксиал структуралар бўлиши керак.

Ом контактларини олиш мураккаб ва вақтни кўп оладиган жараёндир, бу эса Холл усулларининг амалиётда қўлланилишига қийинчилик туғдиради. Шунинг учун контакт қаршилигининг таъсири ўлчов билан боғлиқ хатоликларда унчалик муҳим бўлмаган ҳолларда қаршиликлари жуда юқори бўлмаган намуналарни, эпитаксиал структураларни текширишда, Холл доимийсини тез ўлчаш учун квадрат учларига жойлаштирилган тўрт зондли усулни қўллаш мумкин (2.8б-расм).

Ван-дер-Пау усули назариясида тўртта нуқтавий контактни намуна четига жойлашган бўлсин деб фараз қиласлик. Мабодо бу контактлардан бири нуқтавий бўлмай, қандайдир ўлчамга эга бўлса ёки намуна четига жойлашган бўлса, ҳисоблаш формулаларига тузатиш функцияси ни киритиш керак бўлади. Контактларни Ван-дер-Пау усулига киригтан хатоликлари доира ва тўғри тўртбурчакли шаклдаги намуналар учун ҳисобланган. Контактлар бир-бирига нисбатан  $90^\circ$  бурчак остида жойлашган доира шаклидаги намуналарда мутлақ бўлмаган (нуқсонни) битта kontaktning киригтан хатолиги 2.1-жадвалда келтирилган. 2.8б-расмда келтирилган чизма бўйича ўлчанганд, қалинлиги зондлар орасидаги масофадан жуда кичик ( $d \ll S$ ) бўлган намуналарнинг икки зонд орасидаги потенциаллар айирмаси

$$U' = U_\rho + U_m + U_H = \frac{I\rho \ln 2}{\pi d} \cdot C_\rho [1 + \beta^2] + \frac{R_H IB}{d} C_H \quad (2.53)$$

Нисбий хатолик	Намунада контактларнинг кўриниши ва жойланиши		
			
$\Delta\rho/\rho$	$-\frac{1}{16} \frac{1}{\ln 2} \cdot \left(\frac{l}{D}\right)^2$	$-\frac{1}{4} \frac{1}{\ln 2} \cdot \left(\frac{l}{D}\right)^2$	$-\frac{1}{2} \frac{1}{\ln 2} \cdot \left(\frac{l}{D}\right)^2$
$\Delta\mu/\mu$	$\frac{2}{\pi^2} \left(\frac{l}{D}\right)$	$\frac{4}{\pi^2} \left(\frac{l}{D}\right)$	$\frac{2}{\pi} \left(\frac{l}{D}\right)$

билин аниқланади. Бу ерда  $C_\rho$ ,  $C_H$  — намуна ўлчамлари-ни ўлчаш натижаларига таъсирини ҳисобга оладиган ту-затиш коэффициентлари,

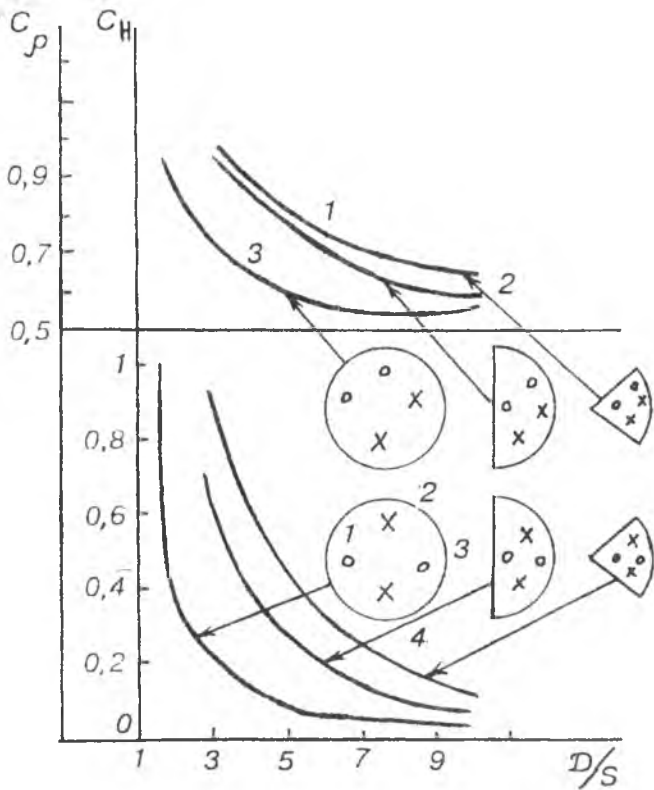
$$\beta = R_H \vec{B} / \rho \quad (2.54)$$

$U_\rho$  — биринчи ҳад, намуна ўлчамлари (четки томон эф-фектлар) таъсирини ҳисобга олган тўрт зондли усул би-лан солиштирма қаршиликни аниқлаш формуласи. Ик-кинчи ҳад  $(1+\beta^2)$  — кўпайтувчи намуна четки қисмлари-ниң Холл электр юритувчи кучини туташтиришидан вужудга келган Холл токига магнит майдонининг таъси-рини ифодалайди. Бу ҳодиса иккиласмачи Холл эффици-деб аталади.

$U_M$  — зондлардан оқаётган токка қаршилик қиласди, шунинг учун  $U_M$  ни геометрик магнит қаршиликнинг на-моён бўлиши деб тушунтирилади.

$U_H$  — учинчи ҳад Холл электр юритувчи кучи.

Кучсиз магнит майдонда ( $\mu_\infty; \vec{B} \ll 1$ )  $U_M$  ҳадни инобатга олмаслик мумкин. Зондларнинг занжирга уланиш чиз-масини танлаб ҳамда намунадаги зондларни симметрик жойлаштириб, шунга эришиш мумкинки, потенциал зонд-



2.9-расм. Түрт зондли усул билан ўлчашдаги доира, ярим доира, сектор кўринишдаги намуналар учун тузатиш функциялари ва зондлар жойланиши. X – ток зондлари, O – потенциал зондлари.

лар орасидаги тўла кучланиш (2.53) даги ташкил этувчи-ларнинг бирига teng бўлишига эришиш мумкин. Доира ва яримдоира шаклидаги намуналарда  $U_p$ ,  $U_h$  ни ўлчаш учун зондлар квадрати диагонали радиал симметрия чизиги бўйича жойлаштирилади.  $U_m$  ни ўлчашда потенциал зондлар сифатида (1,3 ёки 2,4) радиал симметрия чизигига тик диагонали бўйича жойлашган зондлар олинади.  $I_p$  ни ўлчашда ( $\tilde{B}=0$ ) да 3 ва 4 зондлардан ток утказиб,  $I_{34}$  ва 2 зондлар орқали кучланиш ўлчанади ёки аксинча.

$C_p$ ,  $C_H$  – тузатиш коэффициентлари 2.9-расмда келтирилгандар. Бу ўлчовлар орқали солиширилма қаршилик ва Холл доимийси қуйидаги

$$\rho = \frac{\pi d}{C_p I \ln 2}; \quad R_H = \frac{\pi U_H}{C_H BI} \quad (2.55)$$

ифодалардан топилади. 2.10-расмда түғри түртбурчак шакидаги пластинкаларда зондларнинг жойланиши ва тузатиш коэффициентлари  $C_p$ ,  $C_H$  келтирилгандар.

## 2.6 §. Холл эфектини ўлчашдаги мунтазам (систематик) хатоликларга таъсир этувчи омиллар

Холл эфекти билан ҳамроҳ (бирга содир бўладиган) бўлган термогальваномагнит ҳодисалардан ташқари, бир қанча омиллар борки, улар Холл эфектини ўлчашдаги мунтазам хатоликларга таъсир этади. Шу омилларни қисқача кўриб чиқайлик.

1. Намуна кўндаланг кесимига ўтказилган металл электродлар Холл кучланишини шунтлайди, натижада Холл зондлари орасидаги потенциаллар айирмаси унинг ҳақиқий қийматидан ( $U_H$ ) кичик бўлади. Холл кучланиши Холл контакtlари ва ток электродлари орасидаги масофага боғлиқ. Намунанинг ўртасида жойлашган Холл контактларидаги кучланиш намуна узунлигининг энига нисбати  $a/b \geq 5$  бўлганда максимумга эришади ва Холл кучланишидан 1% дан катта бўлмаган қиймат билан фарқланади. Шунинг учун ярим ўтказгич намуналарда Холл эфектини ўлчашга тайёрлашда шунга амал қилиниши керак.

2. Холл доимийси кучсиз магнит майдонида ( $\mu_B B \ll 1$ ) намунадан ўтаётган токка  $I$ , магнит майдон индукциясига  $B_y$  ва Холл кучланишига түғри пропорционал бўлади. Германий ва кремний намуналари учун магнит майдонининг кичиклик шарти магнит майдон индукциясининг  $B < 1$  Тл бўлган соҳаларида бажарилади. Масалан,  $InSb$  да  $\mu_B B \ll 1$  тентсизлик магнит майдон индукциясининг  $B < 0,3$  Тл соҳаларида бажарилади. Шундай қилиб, ҳар бир ярим-

ўтказгич учун магнит майдонининг кичиклик шартини қаноатлантирувчи магнит майдон индукциясининг катталигини билиш керак, шунда бу билан боғлиқ үлчашдаги хатолик йўқотилади.

3. Холл доимийлари (2.7, (2.8)), (2.9) ифодаларининг хоссалари ҳамма йўналишда бир хил бўлсин деб фараз қилинган намуналар, яъни, изотроп намуналар учун ўринлидир. Умумий ҳолда хоссалари анизатроп бўлган яримўтказгичлар учун бу муносабатлар бажарилмайди. Лекин ток ва магнит майдон йўналишлари намунанинг кристаллографик ўқлари йўналишидан катта фарқ қиласа, бу билан боғлиқ хатоликни йўқотиш мумкин. Холл доимийсини аниқлашда  $U_h$  ни магнитнинг икки йўналишида үлчаб, натижалар ўртасини олиш тавсия этилади. Бу тавсия, яъни ўзгармас ток ва ўзгармас магнит майдонида Холл доимийсини үлчашда инобатга олинади.

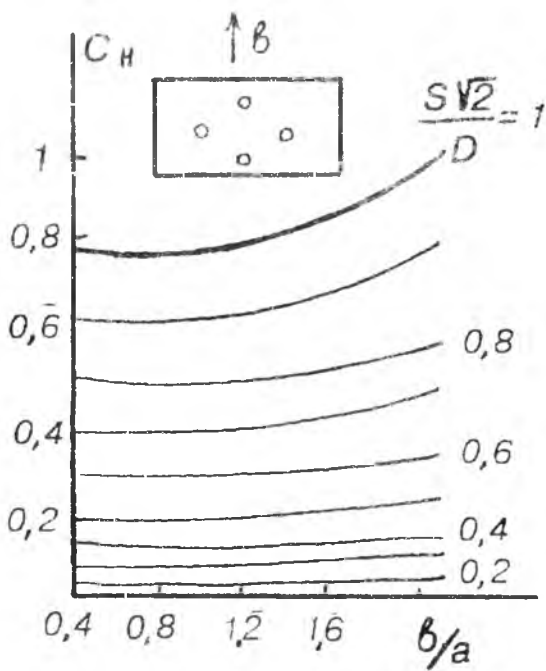
4. Холл эфектининг юқорида келтирилган формуулари фақат энергия зоналари *айнимаган* яримўтказгичлар учун келтирилган, акс ҳолда үлчанаётган Холл доимийсига ҳар бир энергия зоналаридаги заряд ташувчиларнинг қўшган ҳиссасини ҳисобга олиш керак. Масалан, *p*-тип германий валент зонаси *айнигаган* бўлиб, у оғир кавакли ва енгил кавакли тармоқлардан, ҳамда ўзаро спин орбитал таъсирилашви туфайли парчалангандан иборатдир. Маълумки, концентрациялари ва ҳаракатчанликларининг нисбатлари

$$\frac{P_l}{P_h} = 0,04; \quad \frac{\mu_{pl}}{\mu_{ph}} = 8 \quad (2.56)$$

мос равища тенгдир. *p*-тип германий учун Холл доимийси

$$R_{ph} = \frac{r_H e \mu_{pe}^2 P_e - r_{Hh} \mu_{pn}^2 P_h}{e(\mu_{pl} P_l + \mu_{ph} P_h)^2} \quad (2.57)$$

ифода билан аниқланади. Енгил ва оғир кавакларнинг тажрибада аниқланган Холл доимийсига қўшган ҳиссаларини ажратиш мумкин эмас, шунинг учун тажрибада аниқланган Холл доимийси, Холл ҳаракатчанлиги факат

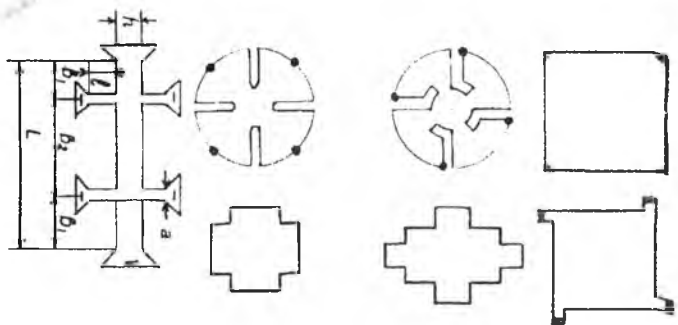


2.10-расм. Түрт зондли Холл усули билан ўлчашда түғри түртбұрчак шаклдаги намуна учун тузатиш функциясы.

яrimүтказгичнинг киришма билан легирланиш даражасини миқдорий, заряд ташувчиларнинг сочилиш механизмларини сифат жиҳатдан баҳолашда хизмат қилиши мумкин.

Зоналар тузилиши мураккаб бўлган яrimүтказгичларда тажрибадан олинган.  $\mu_H$  ва  $R_H$  ларни аниқ изоҳлаш (тавсифлаш) учун текширилаётган муайян материалларда уларнинг зоналар тузилишини ҳисобга олган Холл эффицити устида назарий тадқиқотлар ўтказиш керак.

5. Холл фактори магнит майдонининг индукциясига боғлиқ. Кучли магнит майдонида заряд ташувчилар релаксация вақтининг иссиқлик энергиясига боғлиқ, функцияси кучсиз. Шунинг учун заряд ташувчиларнинг сочилиш механизмларида магнит майдон ошиши билан Холл фактори бирга интилади ( $r_H \rightarrow 1$ ). Холл факторининг



2.11-расм. Холл эффиқтінің үлчашда құлланиладын қар хил күрнишдеги намуналар.

магнит майдонига боғлиқлиги, ҳаракатчанлығы катта бұлған яримүтказгичларда күчлироқ намоён бұлади. Масалан,  $n$ -тип GaAs да  $\tau_n$  нинг магнит майдонга боғлиқлиги нисбатан кичик майдон соҳасида бошланади. Бу билан боғлиқ хатоликларни йүқотиши учун Холл күчләнішини токка ва магнит майдонига чизиқли боғланиш соҳасида, яъни кичик магнит майдонда Холл эффеқти үлчаниши керак.

6. Холл эффеқти үлчанаётган намунаңынг ёритилишидан баъзан пайдо бұлған фотоүтказувчанлик, фото ЭЮК хатоликка олиб келиши мүмкін. Шунинг учун олдин намунани ёруғликка сезгирлиги текширилади, мабодо у ёруғликка сезгир бўлса, үлчовлар қоронғуда олиб борилади. Хатоликни камайтириш учун бундан ташқари куйидагиларга риоя қилиш керак. Электр майдон күчланғанлығы  $1\text{V/cm}$  тартибида бўлиши, контактларнинг инжекциясини йүқотиши, юқори Ом ли намуналарда сирт үтказувчанлиги билан боғлиқ сирт сирқиши токлари йүқотилиши керак. Бу омиллар маълум үлчаш чизмаларини танлаш билан ёки қар хил кимёвий ишловлар бериш билан йүқотилади. Холл зондлари орқали намуна шунтланыслиги учун маълум бир шаклда, масалан, “гантель” күрнишида намуналар тайёрлаш тавсия этилади (2.11-расм).

Тұртта Холл контактлы намуна тайёрлашда уларнинг үлчамлари  $c \geq 0,1 \text{ см}$ ;  $b_1, b_2 \geq 2h$ ;  $d \leq 0,1 \text{ см}$ ;  $1 \text{ см} \leq L \leq 1,5 \text{ см}$  тартибида бўлиши тавсия этилади.

## 2.7 §. Яримүтказгичларда заряд ташувчилар концентрацияси ва ҳаракатчанлигини намунанинг магнит қаршилиги бўйича аниқлаш

*а) Магнито қаршилик (магниторезистив) эфекти.*

Биз юқорида узун, энсиз намуналарда Холл эфектини Холл электр юритувчи кучи пайдо бўлиши билан намоён бўлишини кўрдик. Маълумки,  $n$ -тип ўтказувчанликка Эга бўлса, намунада эркин электронларнинг релаксация вақтини уларнинг энергиясига боғлиқлигини назарда тутсак, электр майдонида электронлар ҳар хил дрейф тезлик

$$V_{\text{урт}} = -\frac{e}{m_*} \tau(\varepsilon) \vec{E}$$

билин ҳаракатланади. Шунинг учун уларга магнит майдонида ҳар хил катталикда бўлган Лоренц кучи

$$F_n = -e \cdot \frac{e}{m_*} \cdot \tau(\varepsilon) E_x \cdot B$$

таъсир этади. Холл электр майдони ( $E_H$ ) мувозанатга (станционар ҳолатга) эришганда тезликлари ўртача энергияга ( $\varepsilon$ ) мос келган электронларда ( $\vec{E}_H$ ) нинг электронга таъсир кучи Лоренц кучига тенглашади. Шунинг учун дрейф ҳаракатига магнит майдон таъсир этмайди. Тезликлари ўртача тезликдан катта ва кичик бўлган электронлар эса ҳаракат йўналишларини электр майдонига нисбатан ўзгариради, уларнинг ҳаракат йўли оғади. Оқибатда магнит майдонида намуна қаршилигининг ортиши кузатилади. Бу ҳодиса физикавий магнит қаршилик эфекти деб аталади. Мазкур эфектнинг батафсил назарияси Больцманнинг кинетик тенгламаси ечими асосида қаралади. Магнит майдонида нисбий солиштирма қаршиликтининг ўзгариши  $j_x = \text{const}$  ва  $j_y = 0$  бўлганда

$$\frac{\Delta\rho}{\rho} = \frac{E_x(B) - E_x(O)}{E_x(O)} = \frac{E(B)}{E(O)} - 1 \quad (2.58)$$

ифода билан аниқланади.

Күчсиз магнит майдонида ( $\mu_n B \ll 1$  ёки  $\mu^2 B^2 \ll 1$ ) кириш мавий ( $n$  ёки  $p$ -тип) ўтказувчанликли яримұтказгичлар учун нисбий солиширма қаршиликнинг магнит майдонида үзгариши

$$\frac{\Delta\rho(B)}{\rho(O)} = \frac{\rho(B) - \rho(O)}{\rho(O)} \quad (2.59)$$

ифода билан, физикавий магнито солиширма ўтказувчанлик

$$\sigma(B) = e\mu_n n(1 - \beta B^2 \mu_n^2) \quad (2.60)$$

ифода билан аниқланади. Бу ерда,  $\beta$  — физикавий

$$\beta = \frac{\langle \tau^3 \rangle \langle \tau \rangle - \langle \tau^2 \rangle^2}{\langle \tau \rangle^4} \quad (2.61)$$

магнито қаршилик коэффициенти. Релаксация вақтининг энергияга боғланишини назарда тутмаслик, яъни электронларнинг тезликлари энергияси қандай бўлишидан қатъи назар, бир хил бўлади деб олиш магнит қаршилик коэффициентини тўла йўқотишга олиб келади ( $\beta=0$ ):  $\beta$  — заряд ташувчиларнинг сочилиш механизмига, ярим-ўтказгичларнинг зоналар тузилишига боғлиқ. Кўп ҳолларда релаксация вақти ( $\tau$ ) нинг энергияга боғликлиги даражали функция  $\tau \sim e^{-s}$  бўлади. Бунда электронларнинг изоэнергетик сатҳлари шар сиртидан иборат бўлса, кучсиз магнит майдонда ва айнимаган яримұтказгичларда заряд ташувчиларда турли сочилиш механизмлари содир бўлгандаги  $S$ -нинг, Холл фактори  $r_H$ , магнит қаршилик коэффициенти  $\beta$ -нинг қийматлари 2.2-жадвалда келтирилган.

Жадвал таҳлилидан кўринадики, магнито қаршилик коэффициенти Холл факторига нисбатан сочилиш механизмига кучлироқ боғлиқ экан. Кристалл панжараси кубик сингоний тузилишли яримұтказгичлар  $Ge$ ,  $Si$ ,  $GaAs$ ,  $InSb$  ва ҳоказоларда Холл эффектининг катталиги кристалл ўқларининг йўналишига боғлиқ бўлмайди. Холл ўлчовларини кристалл ўқларининг исталган йўналишида бажариш мумкин. Магнит қаршиликнинг катталиги эса

ўлчашнинг қайси кристаллографик ўқларига нисбатан бажарилишига боғлиқ. Холл эффицидат магнитоқаршилик катталигини ўлчаш техник жиҳатдан Холл электр юритувчи кучини ёки Холл токини ўлчашга нисбатан соддароқ. Лекин юқорида кўрсатилганлар ҳаракатчанликини физикавий магнито қаршилик бўйича бир мунча қийинчиликларга ва катта хатоликларга олиб келиши мумкин. Бўйи калта, эни сербар намуналарда Холл эффицидат Холл токи пайдо бўлиши билан намоён бўлишини кўрган эдик. Бунда магнит майдонида ҳосил бўлган Холл токи ( $I_H$ ) ўтказувчанлик токини оғдиради (2.5-расм). Ток ўтадиган най шаклидаги каналнинг узунлиги (а) магнит майдонида ортиб  $a(1+\mu^2B^2)^{1/2}$ , эни ( $w$ ) камайиб  $w/(1+\mu^2B^2)$  бўлишлиги оқибатида, ўтказувчанлик  $w/a(1+\mu^2B^2)^{-1}$  га пропорционал бўлади. Шундай қилиб, магнит майдони намунанинг ўтказувчанлигини камайтиради, яъни қаршилигини оширади. Бу ҳодиса, физикавий магнито қаршилиқдан фарқли ўлароқ, геометрик магнит қаршилик эффицидати деб аталади. Демак, тоза магнитоқаршилик эффицидати бўйи калта, эни сербар бўлган намуналарда электр майдонининг бир жинсли соҳасида амалга ошади. Ўлчамлари чекланган намуна учун нисбий магнито қаршилик  $E_x = \text{const}$ ,  $E_y = 0$  да ўлчангандан

## 2.2-жадвал

Сочилиш механизмлари	$S$	$r_H$	$\beta$	$\beta_r$
Ионлашган киришмаларда	3/2	1,93	2,15	5,89
Нейтрал киришмаларда	0	1	1	1
Акустик фононларда	-1/2	1,18	0,381	1,77

$$\left( \frac{\Delta\rho(B)}{\rho(O)} \right)_I = \frac{E_x(B) - E_x(O)}{E_x(O)} = \frac{j_x(B)}{j(O)} \quad (2.62)$$

кўринишни олди.  $n$ -тип яримўтказгичларнинг геометрик магнитоқаршилиқ эффициенти орқали нисбий солиширига қаршиликнинг магнит майдонида ўзгариши  $\mu_n B \ll 1$  да

$$(\Delta\rho/\rho)_r = \beta_r \mu_n^2 B^2 \quad (2.63)$$

формула билан аниқланади. Бу ерда,

$$\beta_r = \frac{\langle \tau^3 \rangle}{\langle \tau \rangle^3} \quad (2.64)$$

геометрик магнитоқаршилиқ коэффициенти,  $\beta_r$  — сочилиш механизмига боғлиқ бўлган катталик бўлиб, унинг қиймати жадвалда келтирилган. Кучли магнит майдони  $\mu_n B \gg 1$  да геометрик магнитоқаршиликни  $\mu_n^2 B^2$  га пропорционаллиги сақланади, физикавий магнитоқаршилиқ эса заряд ташувчилар ҳаракатчанлигига боғлиқ бўлмаган қийматга эришиб тўйинади. Ҳаракатчанлиги катта бўлган яримўтказгичларда магнит майдон индукциясининг кичик қийматларида кучли магнит майдони шарти амалга ошгани учун бундай яримўтказгичларда геометрик магнитоқаршилиқ усули бўйича  $\mu_n$  ни аниқлаш афзатроқдир. Бундан ташқари, физикавий солиширига магнитоқаршилиги релаксация вақтларининг ҳар хил ўртачалаштирилган қийматларининг айрмаси билан боғланган (2.60) ва у жуда кичик бўлиши мумкин. Масалан,  $GaAs$  да уй температурасида қаршиликнинг нисбий ўзгариши  $B=1T$  да  $\Delta\rho/\rho \approx 2\%$  а  $(\Delta\rho/\rho)_r = 50\%$  га teng.

#### б. Заряд ташувчилар ҳаракатчанлигини намунасининг геометрик магнитоқаршилиги бўйича аниқлаш

Бу усул билан заряд ташувчилар ҳаракатчанлигини ўлчаш бўйи калта, эни сербар бўлган намуналарда геометрик магнитоқаршилиқ кузатиладиган ( $E_x = \text{const}$ ,  $E_y = 0$ ) шарт бажарилганда ўринли бўлган (2.72) ифодага асосланган. Намуна қисқа ва сербар бўлса, металл контактлар (электродлар) орқали Холл электр майдони уланади. Бунда электр майдони намуна бўйлаб йўналади, электр токи эса майдонга нисбатан Холл бурчагига оғсан ҳолда оқади.  $n$ -тип яримўтказгичлар учун Холл ҳаракатчанлиги билан геометрик магнитоқаршилиқ бўйича ўлчанганди ҳара-

катчанлик орасидаги боғланишни күрайлик. Геометрик магнитоқаршилик орқали аниқланадиган ҳаракатчанликни (2.63) дан топамиз

$$\mu_r = \frac{1}{B} \left[ \frac{\Delta\rho(B)}{\rho(0)} \right]_{\tau}^{\frac{1}{2}} = \beta_{\tau}^{\frac{1}{2}} \mu_n \quad (2.65)$$

Магнит майдон уланмагандага ва уланганда пластина шаклидаги намуналарнинг юза бирлигидаги қаршиликлари  $R(0)$  ва  $R(B)$  бўлсин. Кучсиз магнит майдони  $\mu B \ll 1$  да (2.63) га кўра уларнинг нисбати

$$\frac{\Delta R(B)}{R(0)} = (\mu_r B)^2 = (r_H \mu_n \xi B)^2 \quad (2.66)$$

бўлади, бу ерда

$$\xi = \frac{\beta^{\frac{1}{2}}}{r_H} = \frac{\mu_r}{(r_H \mu_n)} \quad (2.67)$$

(2.67) ифодадан сочилиш механизмига боғлиқ коэффициент  $\xi$  ни тажрибада аниқлаш мумкинлиги кўринади. Релаксациянинг вақт доимийси импульс бўйича ўзгармас бўлган тақрибидаги  $\xi = 1$ , акустик фононларда сочилиш бўлса  $\xi = 1,13$ , ионлашган киришма атомларида сочилса  $\xi = 1,26$  га тенг бўлади. (2.26) ва (2.31) формулалар чексиз катта ўлчамли  $b \gg a$  юпқа намуналар учун, яъни Холл электр майдони кузатилмайдиган ҳол учун ўринли. Намуна ўлчамлари чекланганда Холл электр майдони қисман шунтланади (металл электродлари) ва геометрик магнитоқаршиликни камайтиради. Шундай қилиб, геометрик магнитоқаршилик эфекти намунанинг ўлчамларига боғлиқ. Холл электр юритувчи кучи қисқа тўғри бурчакли пластиналарда аниқланганда, тенгламага Холл ЭЮК ини контактлар орқали шунтланиш даражасини ифодаловчи тузатиш функцияси  $f$  киритилади ва у орқали ўлчамлари чекланган намунанинг нисбий геометрик магнитоқаршилиги

$$\left[ \frac{\Delta R(B)}{R(0)} \right]_t = \frac{\Delta R(B)}{R(0)} \cdot f \quad (2.68)$$

аниқланади. Энг содда ҳолда  $f$  намуна узунлигини кенглигига нисбати билан аниқланади. Нисбат  $a/b \leq 0,35$  бүлганды, аниқланиш хатолиги 10% дан катта бүлмаганды  $f=1-0,543 \frac{a}{b}$  билан ифодаланади.  $a/b$  нисбаттинг исталган қийматида  $f$  — релаксация вақтининг ўрталаштирилган қийматига боғлиқ. \* Шундай қилиб,  $\mu_r$  — ҳаракатчанликни сферикозэнергетик сиртли киришмавий яримүтказгичларда аниқлаш мумкин. Геометрик магнитоқаршилик шакли Корбино диски күринишида бүлган намуналарда ҳам кузатилади (2.12,б-расм). Бунда марказий контакт айланма ҳалқасимон контакт билан ажратилган. Корбино диски шаклидаги намунада электр майдонининг азимутал ташкил этувчиси  $E_4=0$  бўлади, бу йўналишда  $j_n=j_p \neq 0$  Холл токи оқади. Магнит майдонидаги ток зичликлари ифодаси (2.26) дан

$$\frac{R(B)}{R(0)} = \frac{\rho(B)}{\rho(0)} (1 + \mu_{nH}^2 B^2) \quad (2.69)$$

ифодани олиш мумкин. Корбино доираси учун бу формулага

$$R(B) = \Delta R(B) + R(0); \quad \rho(B) = \Delta \rho(B) + \rho(0)$$

ни қўйиб, Холл ҳаракатчанлигининг

$$\mu_{nH} = \frac{1}{B} \sqrt{\frac{\frac{\Delta R(B)}{R(0)} - \frac{\Delta \rho(B)}{\rho(0)}}{i + \frac{\Delta \rho(B)}{\rho(0)}}} \quad (2.70)$$

ифода билан аниқланишини кўрамиз. Физикавий магнитоқаршилик жуда кичик бўлган ҳолда  $\frac{\Delta \rho(B)}{\rho(0)} \ll \frac{\Delta R(B)}{R(0)}$  Корбино доираси (диски)да магнитоқаршилик бўйича ҳаракатчанлик қўйидагича аниқланади:

$$\mu_{nH} = \frac{1}{B} \sqrt{\frac{\Delta R(B)}{R(0)}} \quad (2.71)$$

Геометрик магнитоқаршилик усули эпитетаксиал қатламларда юқори Ом ли қатламлар заряд ташувчиларининг ҳаракатчанликларини ўлчаща энг қулайдир ( $nn^+$ ,  $pp^+$  — структураларда). Бу усулда ҳам контактлар қаршилиги кичик бўлиши керак, чунки у  $R(0)$  ни ошириб, ҳаракатчанлини камайтиради ва натижада мунтазам хатолик вужудга келади. Назарий текширишларнинг кўрсатишича, электр майдони йўналишида концентрация градиенти магнит қаршиликнинг ўзгаришига олиб келмайди. Магнит майдонидаги ва майдон бўлмагандаги қаршиликлар ўргача солиштирма қаршиликка пропорционал бўлади. Эпитетаксиал технология билан қатламлар солишда бу жуда муҳимдир. Магнит майдонининг электр майдони йўналишига нисбатан йўналишига қаттиқ талаб қўйилмайди. Масалан, магнит майдони  $26^{\circ}\text{га}$  оғганда ҳаракатчанликни ўлчашдаги хатолик  $10\%$  дан ошмайди. Намунани магнит майдонида текширганда ўзгармас ва ўзгарувчан ток кўприклиридан фойдаланилади. Ўлчовлар магнит майдонининг ҳар хил қийматларида олиб борилади,  $\Delta R(B)/R(0)$  нисбат  $B^2$  ва пропорционал бўлади. Тажриба натижалиридан заряд ташувчиларнинг ҳаракатчанлиги (2.30) билан ҳисобланади. Қаршиликни ўлчаш кўприклирининг чиқиш сигналларидан илдиз чиқариш учун, электрон чизмасини қўллаш билан ҳаракатчанликка пропорционал сигнал олинади. У геометрик қаршилик усули билан ҳаракатчанликни тўғридан тўғри аниқловчи асбоб яратиш имконини туғдиради.

## 2.8 §. Яримўтказгичларда тақиқланган зона кенглигини, донор ва акцептор киришма атомларининг концентрацияси ва ионланиш энергиясини аниқлаш

a. Тақиқланган зона кенглигини солиштирма ўтказувчаникнинг температурага боғлиқлигидан аниқлаш

Яримўтказгичларнинг солиштирма ўтказувчанилиги хусусий электр ўтказувчаник ( $n-p-n$ ) соҳасида қўйидаги

$$\sigma_i = e n_i (\mu_n + \mu_p) \quad (2.72)$$

формула билан ифодаланади, бу ерда  $n_i$  — заряд ташувчилярнинг хусусий концентрацияси. Яримутказгичларда электрон ва каваклар статистикасига кўра хусусий концентрация

$$n_i = (N_c \cdot N_v)^{1/2} \exp\left(-\frac{Eg}{2kT}\right) \quad (2.73)$$

ифода билан топилади. Бу ерда:

$$N_c = 2(2\pi m_n^* k T / h^2)^{3/2}; \quad N_v = 2(2\pi m_p^* k T / h^2)^{3/2} \quad (2.74)$$

бўлиб, улар мос равишда ўтказувчаник ва валент зоналарида эффектив квант ҳолатларининг зичлиги,  $Eg$  — тақиқланган зона кенглиги,  $K$  — Больцман доимийси,  $T$  — температура,  $m_n^*$ ,  $m_p^*$  — электрон ва кавакларнинг эффектив массалари. (2.74) дан кўринадики,

$$(N_c \cdot N_v)^{1/2} \sim T^{3/2}.$$

Электрон ва каваклар ҳаракатчанлигининг температурага боғлиқлиги бир хил бўлади деб қабул қилиб, уларнинг ҳар бирида ҳаракатчанликнинг температурага боғлиқлигини кенг температура оралиғида температуранинг даражали функцияси кўринишида ифодалаш мумкин:

$$\mu_{n,p} = A_{n,p} T^{-\eta} \quad (2.75)$$

Ҳақиқатда электрон ва кавакларнинг температурага боғлиқлиги бир-биридан фарқ қиласи, бошқача қилиб айтганда, улар ҳар хил қийматдаги  $\eta$  — билан аниқланади. Ҳаракатчанниклар нисбати  $b = \frac{\mu_n}{\mu_p}$  температурага боғлиқ бўлмаган доимий катталиkdir. Юқорида қайд қилинган фаразларга кўра, хусусий солиширима электр ўтказувчаник (2.72) ни

$$\sigma_i = C T^{1/2 - \eta} \exp\left(-\frac{Eg}{2kT}\right) \quad (2.76)$$

күришиңда ёзиш мүмкін. (2.76) ни логарифмлаб, қуидаги күришиңда ифодалаш мүмкін:

$$\ln \left( \sigma_i T^{\eta - \frac{1}{2}} \right) = \ln C - \frac{Eg}{2\kappa T} \quad (2.77)$$

Демак, тажрибада үлчанган хусусий солиширма электр үтказувчанликнинг температурага боғлиқлигини (2.78) ифода күришидаги графигини тасвирлаб  $E_g$ -ни аниқлаш мүмкін экан:

$$E_g = -2\kappa \frac{\Delta \ln \left( \sigma_i T^{\eta - \frac{1}{2}} \right)}{\Delta (1/T)} \quad (2.78)$$

Электрон-вольт бирлигига  $E_g$  ни аниқлаш учун қуидаги формула ишлатилади:

$$E_g = -0,397 \frac{\Delta \lg \left( \sigma_i T^{\eta - \frac{1}{2}} \right)}{\Delta (1000/T)} \quad (2.79)$$

(2.76) ва (2.77) формулалардан күринадики,  $E_g$  ни аниқлаш учун  $\eta$  қийматини билиш керак. Лекин күп ҳолларда  $\eta \sim 3/2$  тартибида бўлгани учун  $T^{\eta - \frac{1}{2}} = 1$  кўпайтмани ташлаб юбориш мүмкін. Юқори температура соҳасида  $\ln(\sigma_i T^{\eta - \frac{1}{2}})$  ни  $(1/T)$  га боғланишини қўллашда хусусий үтказувчанликнинг ҳамда аралашма үтказувчанлик соҳаларида чизиқли боғланишдан четга чиқишини назарда тутиш керак. Юқори температураларда бу боғланишнинг чизиқли боғланишдан четга чиқиши заряд ташувчиларнинг юқори тартибли сочилиш эффиқти таъсирида вужудга келиши мүмкін. Киришмавий электр үтказувчанликда ҳаракатчанлиги кичик бўлган заряд ташувчилар пайдо бўлса, хусусий үтказувчанликдан киришмавий үтказувчанлик соҳасига ўтганда, чизиқли боғланишдан сезиларли даражада четга чиқиши кузатилади.  $E_g = \text{const}$  бўлганда, яъни температурага боғлиқ бўлмаса, (2.77) ифода билан топилган  $E_g$  тақиқланган зонанинг катталигига teng бўлади.

Хақиқатда тақиқланган зона кенглиги температурага боғлиқ бўлади ва бу боғланишнинг кўриниши ўлчаш натижаларига кучли таъсир кўрсатади. Агар  $E_g$  нинг температурага боғланиши

$$E_g = E_{go} - \beta T \quad (2.80)$$

кўринишда бўлса, кўрилаётган усул билан (2.77) дан  $T=0$  даги тақиқланган зона кенглигининг қиймати аниқланади. У исталган температурадаги қийматини (2.91) орқали аниқлаш учун  $\beta$  бошқа ўлчашлар билан топилган бўлиши керак.  $E_g$  нинг ҳароратга боғланиши мураккаброқ чизиқли бўлмаган кўринишда бўлса,  $\ln(\sigma_i T^{n-\frac{1}{2}})$  нинг  $1/T$  га боғлиқлиги чизиқли боғланишдан анча четга чиқади ва (2.78) формула билан топилган энергия қиймати тақиқланган зона кенглигининг ҳақиқий қийматини ҳеч қайси бир температурада бермайди (ифодаламайди).

#### *б. Холл доимийсининг температурага боғланишига тақиқланган зона кенглигини аниқлаш*

Биз юқорида келтирган аралашмавий (киришмавий) ўтказувчанликка эга бўлган ярим ўтказгичларнинг Холл доимийси (2.09) хусусий ўтказувчанлик соҳаси ( $n=p=n_i$ ) да (2.09) ва (2.73) формулаларга кўра қўйидаги

$$R_H = \frac{r_H}{e} \frac{\mu_n - \mu_p}{\mu_n + \mu_p} (N_c \cdot N_v)^{-\frac{1}{2}} \exp\left(\frac{Eg}{2\kappa T}\right) \quad (2.81)$$

кўринишга эга бўлишини кўрган эдик. Кўп ҳолларда амалда бажариладиган  $\frac{\mu_n - \mu_p}{\mu_n + \mu_p}$  нисбатнинг температурага боғлиқ эмас деб фараз қилиб, (2.81)

$$R_H T^{\frac{1}{2}} = c \exp\left(\frac{Eg}{2\kappa T}\right) \quad (2.82)$$

кўринишга келтирилади (2.82) дан кўринадики, Холл доимийсини ҳар хил температурада ўлчаб, хусусий ўтказув-

чанлик соҳасида  $E_g$  ни аниқлаш мумкин. Бунинг учун тажриба натижасини  $\ln(R_H T^{n-\frac{1}{2}})$  нинг  $1/T$  га боғланиши кўринишида чизиб, унинг оғиш бурчаги тангенси топилади ва у орқали  $E_g$  ҳисобланади:

$$E_g = 2\kappa \frac{\Delta \ln(R_H T^{\frac{1}{2}})}{\Delta(1/T)} \quad (2.83)$$

$E_g$ -ни электрон-вольт бирлигига аниқлаш учун

$$E_g = 0,397 \frac{\Delta \lg(R_H T^{\frac{1}{2}})}{\Delta \left( \frac{1000}{T} \right)} \quad (2.84)$$

ифода қўлланилади. Шуни айтиш керакки, бу усул билан топилган  $E_g$  температураси  $T=0$  К га мос келган ҳақиқий тақиқланган зона кенглигини беради. Агар  $\ln(R_H T^{n-\frac{1}{2}})$  нинг  $(1/T)$  га боғланиши чизиқли боғланишдан кучли фарқ қиласа, буни тақиқланган зона кенглигининг температурага чизиқли боғланишидан фарқ қилиши билан ҳамда катта концентрацияли заряд ташувчиларни кўп фононли сочилиш ва электрон-кавак жуфтларида сочилиш жараёнларини вужудга келиши билан тушунтириш мумкин. Бу охирги икки жараён сочилиш механизмларига боғлиқ бўлган Холл коэффициентларига ( $r_{nH}, r_{pH}$ ) таъсир қиласи, ҳаракатчанликнинг температурага боғланиши кўринишини ўзgartиради.

в. Эркин заряд ташувчиларнинг концентрациясини температурага боғланишидан  $\Delta E_p, N_A, N_D$ -ни аниқлаш

Холл доимийсининг катта температура оралиғида ўзгаришини тадқиқ қилинча эркин заряд ташувчилар концентрациясининг ҳароратга боғлиқлигини таҳлил қилмоқ керак. Умумий ҳолда уни таҳлил қилиш анчагина мураккаб масаладир. Ҳақиқий  $n$ -тип яримўтказгичларда ҳамма вақт бир неча турдаги донор ва акцептор киришмалар бўлади. Баъзи бир киришма атомлари биргина электронни эмас, балки бир неча электронни бериши ёки қабул қилиши (бириктириши) мумкин. Киришма атомларининг

асосий сатҳидан ташқари, киришмаларнинг қўзғалган сатҳи электронни тутиб олиши мумкин. Булардан ташқари энергетик сатҳларнинг айнишини ҳисобга олиш керак.

Ҳар бир яримўтказгичда қандайдир миқдорда донор ҳамда акцептор киришмаларининг бўлиши яримўтказгични қисман компенсациялайди. Шунинг учун, ҳар бир алоҳида олинган ҳолда, нимани ташлаб юбориш кераклиги ҳал қилиниши керак.

Айтайлик, яримўтказгичнинг тақиқланган зонасида энергия сатҳлари  $E_D$  ва  $E_A$  бўлган донор ва акцептор киришмалар ва уларнинг концентрациялари  $N_D$ ,  $N_A$  ва  $N_D > N_A$  бўлсин. Шундай қилиб, яримўтказгич электрон ўтказувчанликка эга бўлиб, қисман компенсацияланган бўлади. Бизга маълумки, электронейтраллик шароитида мусбат зарядлар миқдори манфий зарядлар миқдорига teng бўлади. Манфий зарядлар ўтказувчан зонадаги эркин электронлар концентрацияси билан акцептор сатҳидаги ионлашган акцептор атомларининг йифиндисига teng, мусбат зарядлар зичлиги валент зонадаги каваклар концентрацияси билан ионлашган донор киришма атомлари йифиндисидан иборат. Яримўтказгичларда электрон ва каваклар статистикасига кўра донор сатҳидаги электронлар ва акцептор сатҳидаги электронлар концентрациялари қуидаги ифодалар билан аниқланади:

$$n_D = \frac{N_D}{1 + \frac{1}{g_D} \exp\left(-\frac{E_D - E_F}{\kappa T}\right)} \quad (2.85)$$

$$n_A = \frac{N_A}{1 + \frac{1}{g_A} \exp\left(-\frac{E_A - E_F}{\kappa T}\right)}$$

Бу ерда  $g_D$ ,  $g_A$  киришма сатҳларининг айниш коэффициенти омили содда бўлган ҳолда сатҳларнинг айниши факат электрон спини билан боғланган бўлганда, донор киришмаси учун  $g_D=2$ , акцептор киришмаси учун  $g_A=1/2$  бўлади. Германийда саёз энергетик сатҳ ҳосил қиласидиган

донор киришмалар сатқы учун  $g_D=2$  га, акцептор сатқлар учун  $g_A=4$  га тенг бўлади. Юқоридаги изоҳга кўра айни-маган  $n$ -тип киришмавий яримўтказгичлар учун электронейтраллик шарти

$$n + n_A = N_D - n_0 + p \quad (2.86)$$

кўринишни олади. Бу тенглама асосида заряд ташувчилар концентрациясининг температурага боғлиқлигини таҳдил қилиш мумкин ва уларда ўзига хос характерли соҳаларни аниқлаш мумкин. (2.86) да Маҳаллий рекомбинация марказларидағи электронлар ҳисобга олинмаган, яъни рекомбинация марказларининг концентрацияси кичик деб фараз қилинган. Паст температуралар соҳасида валент зонадаги каваклар концентрациясини электрон концентрациясига нисбатан ҳисобга олмаслик мумкин ( $n \gg p$ ). Бундан ташқари, ҳамма акцептор киришма атомини ионлашган  $n_A = N_A$  деб ҳисоблаш мумкин. Шу тахминларни назарда тутсак, электронейтраллик тенгламиши (2.86)

$$n + n_A - N_D - n_D = n + N_A - N_D + N_D \left[ 1 + \frac{1}{g_0} \exp\left(\frac{E_D - E_F}{KT}\right) \right]^{-1} = 0 \quad (2.87)$$

кўринишга келади. Бу тенгламада

$$n = N_c \exp\left(-\frac{E_D - E_F}{KT}\right) \quad (2.88)$$

бўлишини ҳисобга олиб, (2.87) ифодадан

$$\frac{(n + N_A)n}{N_D - N_A - n} = \frac{N_c}{g_p} e^{-\frac{\Delta E_D}{kT}} \quad (2.89)$$

формулага келамиз. Бу ерда  $\Delta E_D = E_C - E_D$  — киришма атомининг ионланиш энергияси. Паст температура соҳасида электрон концентрацияси камаяди ва (2.89) нинг маҳражида электрон концентрациясини  $N_D$ -га нисбатан ташлаб юбориш мумкин. Бунда (2.89) дан

$$n = \frac{N_D - N_A}{N_A + n} N_c \exp\left(-\frac{\Delta E_D}{kT}\right) \quad (2.90)$$

ифодани оламиз ва уни температурага боғлиқ икки соҳасини текшириб кўрамиз:

Тўла ионланиш температурасидан

1. Паст температурада ( $T_3 > T_1$ )

$$n \ll N_A, \text{ агар } N_D > 2N_A \quad (2.91)$$

$$n \ll N_D, \text{ агар } N_D < 2N_A$$

шартлар бажариладиган соҳада, яъни яримўтказгич компенсацияланган соҳада электрон концентрациясининг температурага боғлиқлиги

$$n = \frac{N_D - N_A}{g_D \cdot N_A} N_c \exp\left(-\frac{\Delta E_D}{kT}\right) \quad (2.92)$$

куринишни олади.

2. Юқорироқ температура соҳасида ( $T_3 > T_1 > T_0$ ),  $N_D \gg N_A$ , агар  $N_D \gg n \gg N_A$  шартлар бажариладиган соҳада, яъни яримўтказгич компенсацияланмаган соҳада температура билан заряд ташувчилар (электронлар) концентрациясининг боғланишини

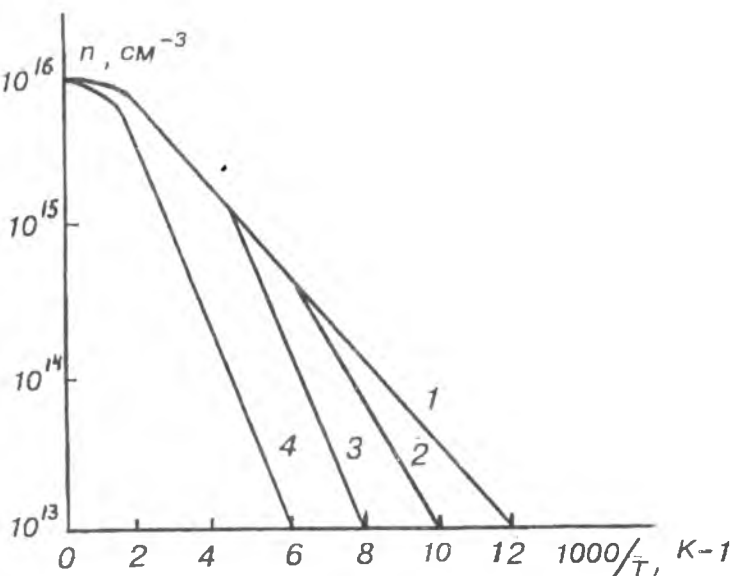
$$n = \sqrt{\frac{N_c N_D}{g_D}} \exp\left(-\frac{\Delta E_D}{2kT}\right) \quad (2.93)$$

куринишда оламиз.

$n > N_A$  шарт  $n < N_A$  шартга қараганда юқорироқ температурада бажарилади, шунинг учун электрон концентрациясининг температурага боғлиқлик графиги икки соҳадан иборат бўлиб, булардан биринчиси аста-секин иккинчи сига ўтади (2.12-расм).

3. Электрон концентрацияси логарифмининг температура ( $1/T$ ) га боғланишини назарий ҳисоблаш натижаси.

Киришмавий электр ўтказувчанлик соҳасида (2.92) ва (2.93) ифодаларга кўра, донор ва акцепторларнинг энер-



2.12-расм. Ҳар хил акцептор концентрациясида назарий ҳисобланган заряд ташувчилар концентрациясининг температурага боғлиқлиги.

$$N_D - N_A = 10^{16} \text{ см}^{-3}; E_D = 0,1 \text{ эВ}; m_e = 0,25 m_0; g_D = \frac{1}{2} \text{ бўлган хол учун}$$

$$1 - N_A = 0; 2 - N_A = 10^{14} \text{ см}^{-3}; 3 - N_A = 10^{15} \text{ см}^{-3}; 4 - N_A = 10^{16} \text{ см}^{-3}$$

гия ионизацияси  $\Delta E_D$ ,  $\Delta E_A$  нинг тоза киришмавий электр ўтказувчанлик соҳасида Ҳолл доимийсининг температурага боғлиқлифи (компенсацияланмаган яримўтказгичда)

$$\lg(R_H T^{\frac{3}{4}}) = f(1000/T)$$

компенсацияланган киришмавий электр ўтказувчанлик ҳолида эса

$$\lg(R_H T^{\frac{3}{4}}) = f(1000/T) \quad (2.94)$$

функциялари оғиш бурчагининг тангенси орқали (2.83) ини (2.84) дан  $E_g$  ни аниқлаш каби топилади.

аниқланади. (297) ифода ёрдамида донор концентрацияси  $N_D$  аниқланса акцептор концентрацияси  $N_A$  ҳисобланади. Аксинча,  $N_A$  аниқланса  $N_D - N_A = n(r_3)$  дан ҳисобланади. Агар  $T_1$  ва  $T_2$  температураларда заряд ташувчиларда сочилиш кристалл панжарадан ионлашган киришмаларга ўтиш соҳасида бўлса,  $\frac{r_{H3}}{r_{H1}} = 0,61$  бўлади ва зарурият бўлганда буни ҳисобга олиш керак.  $N_A$  ва  $N_D$  ларни аниқлашнинг яна бир усулини кўрайлик. Бу усул заряд ташувчилар концентрациясини аниқлашнинг (2.89) ифодасига асосланган, нейтраллик шартидан олинган (2.89) формуладан акцептор концентрациясини

$$N_A = \frac{1}{g_D} N_c \exp\left(-\frac{\Delta E_D}{kT}\right) \cdot \left(\frac{N_D - N_A}{n} - 1\right) - n \quad (2.102)$$

кўринишига келтирамиз. Бу ифода кенг температура оравлифида аралаш ўтказувчанлик соҳасигача бажарилади, чунки буни олишда ҳеч қандай фаразсиз электронейтраллик шартидан тўғридан-тўғри олинган. (2.102) ифодага кўра, киришма атомининг ионланиш энергияси маълум бўлса, Холл доимийсининг икки марта ўлчангандан қиймати бўйича: 1) биринчи ўлчаш киришма атомининг тўла ионланиш соҳасида ( $T_3$ ); 2) ихтиёрий  $T_1$  температура ( $T_1 < T_3$ ) да шу ўлчашларга кўра,  $N_D$  ва  $N_A$

$$N_A = \frac{1}{g_D} N_c \exp\left(-\frac{\Delta E_D}{kT}\right) \cdot \left[ \frac{r_{H3} R_H(T_1)}{R_H(T_3) \cdot r_{H1}} - 1 \right] - \frac{r_{H1}}{e R_H(T_1)} \quad (2.103)$$

$$N_D = \frac{r_{H3}}{e R_H(T_3)} + N_A$$

формулалардан ҳисобланади. Умуман 4 та катталикни  $N_A$ ,  $N_D$ ,  $g_D$ , ва  $\Delta E_D$  ни аниқлаш учун (2.102) ифодага кичик квадратлар усулини қўллаб, уларнинг шундай қийматлари топиладики, улар эксперимент натижалари билан мос тушсин. Юқорида келтирилган мулоҳаза ва усулларни тўла  $p$ -тип ўтказувчанликка эга бўлган яримўтказгичларга ҳам қўллаш мумкин.

Юқорида күрилган усуллардан ташқари,  $N_A$  ва  $N_D$  ни иниқловчи бир қанча усуллар бор. Масалан, паст температурада инфрақизил нурларнинг киришма атомларида қотилишига асосланган усулни кўрсатиш мумкин. Бундай тажрибалар ўтказиш мураккаб бўлиб, олинган натижалар етарли даражада ноаниқдир.  $N_D$  ва  $N_A$  ни алоҳида аниқлашада уларнинг параметрик резонансларини текшириш орқали аниқлаш мумкин. Бунда жуда ҳам катта қийинчиликларга дуч келинади. Шулар билан бирга, магнит майдонида қаршиликнинг ўзгаришига асосланган усулни ҳам келтириш мумкин.

аниқланади. (297) ифода ёрдамида донор концентрацияси  $N_D$  аниқланса акцептор концентрацияси  $N_A$  ҳисобланади. Аксинча,  $N_A$  аниқланса  $N_D - N_A = n(r_3)$  дан ҳисобланади. Агар  $T_1$  ва  $T_2$  температураларда заряд ташувчиларда сочилиш кристалл панжарадан ионлашган киришмаларга ўтиш соҳасида бўлса,  $\frac{r_{H3}}{r_{H1}} = 0,61$  бўлади ва зарурият бўлганда буни ҳисобга олиш керак.  $N_A$  ва  $N_D$  ларни аниқлашнинг яна бир усулини кўрайлик. Бу усул заряд ташувчилар концентрациясини аниқлашнинг (2.89) ифодасига асосланган, нейтраллик шартидан олинган (2.89) формуладан акцептор концентрациясини

$$N_A = \frac{1}{g_D} N_c \exp\left(-\frac{\Delta E_D}{\kappa T}\right) \cdot \left(\frac{N_D - N_A}{n} - 1\right) - n \quad (2.102)$$

кўринишига келтирамиз. Бу ифода кенг температура оралығида аралаш ўтказувчанлик соҳасигача бажарилади, чунки буни олишда ҳеч қандай фаразсиз электронейтраллик шартидан тўғридан-тўғри олинган. (2.102) ифодага кўра, киришма атомининг ионланиш энергияси маълум бўлса, Холл доимийсининг икки марта ўлчангандан қиймати бўйича: 1) биринчи ўлчаш киришма атомининг тўла ионланиш соҳасида ( $T_3$ ); 2) ихтиёрий  $T_1$  температура ( $T_1 < T_3$ ) да шу ўлчашларга кўра,  $N_D$  ва  $N_A$

$$N_A = \frac{1}{g_D} N_c \exp\left(-\frac{\Delta E_D}{\kappa T}\right) \cdot \left[ \frac{r_{H3} R_H(T_1)}{R_H(T_3) \cdot r_{H1}} - 1 \right] - \frac{r_{H1}}{e R_H(T_1)} \quad (2.103)$$

$$N_D = \frac{r_{H3}}{e R_H(T_3)} + N_A$$

формулалардан ҳисобланади. Умуман 4 та катталиктини  $N_A$ ,  $N_D$ ,  $g_D$ , ва  $\Delta E_D$  ни аниқлаш учун (2.102) ифодага кичик квадратлар усулини қўллаб, уларнинг шундай қийматлари топиладики, улар эксперимент натижалари билан мос тушсин. Юқорида келтирилган мулоҳаза ва усулларни тўла  $p$ -тип ўтказувчанликка эга бўлган яримўтказгичларга ҳам қўллаш мумкин.

Юқорида кўрилган усуллардан ташқари,  $N_A$  ва  $N_D$  ни аниқловчи бир қанча усуллар бор. Масалан, паст температурада инфрақизил нурларнинг киришма атомларида ютилишига асосланган усулни кўрсатиш мумкин. Бундай тажрибалар ўтказиш мураккаб бўлиб, олинган натижалар етарли даражада ноаниқдир.  $N_D$  ва  $N_A$  ни алоҳида аниқлашда уларнинг парамагнетик резонансларини текшириш орқали аниқлаш мумкин. Бунда жуда ҳам катта қийинчиликларга дуч келинади. Шулар билан бирга, магнит майдонида қаршиликнинг ўзгаришига асосланган усулни ҳам келтириш мумкин.

# ЯРИМҮТКАЗГИЧЛАР ПАРАМЕТРЛАРИНИ ОПТИК УСУЛЛАР БИЛАН ҮЛЧАШ

## 3.1-§. Яримүтказгичларнинг оптик параметрлари

Яримүтказгичларда оптик ҳодисалар асосида электромагнит тўлқинларнинг боғланган валент электронлар, боғланмаган эркин заряд ташувчилар, кристалл панжара ва киришма атомлари, электрон-ковак плазмалари билан ўзаро таъсири ётади. Шунинг учун оптик ҳодисалар яримүтказгичли кристалларда тўлқин узунлиги  $0,2 \div 100$  мкм оралиғида бўлган электромагнит тўлқинлар таъсирида содир бўладиган кенг жараёнларни ўз ичига олади.

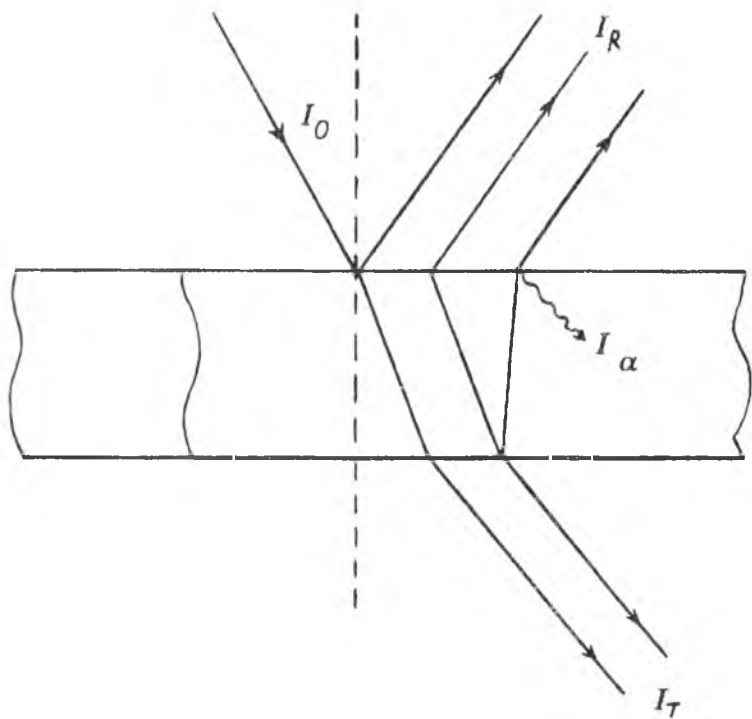
Яримүтказгич сиртига тушган ёруғлик уч қисмга ажralади: бир қисми қайтади, бир қисми синиб намунага киради, унинг бир қисми ютилиб, бир қисми эса намунадан ўтади (3.1а-расм). Намунадан қайтган  $I_R$ , ўтган  $I_T$  ва намунада ютилган  $I_a$  ёруғлик интенсивликларининг уларга тушган ёруғлик интенсивлиги  $I_0$  га нисбати билан аниқланадиган катталиклар

$$R_v = \frac{I_R}{I_0}; \quad T_v = \frac{I_T}{I_0}; \quad A_v = \frac{I_a}{I_0} \quad (3.1)$$

мос равишда намунанинг ёруғикни қайтариш ва ўтказиши (шаффоффлик, тиниқлик) коэффициентлари,  $A_v$  — ютиш қобилияти деб аталади. Бу катталиклар намунадан ёруғлик оқимининг қандай қисми қайтишини, ўтишини ва намунада ютилишини кўрсатади. Энергиянинг сакла-ниш қонунига мувофиқ:

$$R_v + T_v + A_v = 1 \quad (3.2)$$

бўлади. Оптика курсларидан маълумки,  $T_v$ ,  $R_v$ ,  $A_v$  лар билан оптик константалар орасидаги муносабатлар электр



3.1, а-расм. Пластина шаклидаги яримүтказгич намунада нурнинг йўли.

Ўтказувчан муҳитда (солиштирма электр ўтказувчанлиги  $\sigma \neq 0$  бўлганда) комплекс нур синдириш кўрсаткичи билан аниқланади

$$\bar{n}^{*2} = c^2 \mu_0 \left( \mu \epsilon_1 \epsilon_0 - i \mu \frac{\sigma}{\omega} \right) = (n - i \chi)^2 \quad (3.3)$$

Бу ерда нур синдириш кўрсаткичи  $\bar{n}^*$  нинг ҳақиқий қисми  $n = c/i$  бўлиб, у ёруғликнинг вакуумда тарқалиш тезлигини яримүтказгичдаги тарқалиш тезлиги  $i$  га нисбати билан аниқланадиган катталиқдир. Мавхум қисми  $\chi$  электромагнит тўлқинларининг муҳитда сўнишини кўрсатадиган катталиқдир. Шунинг учун  $\chi$  — ютилиш кўрсат-

кичи ёки экстенция коэффициенти деб юритилади,  $\varepsilon_0 = (4\pi \cdot 9 \cdot 10^{-9}) \Phi/\text{м}$  — вакуумнинг диэлектрик сингдирувчанлиги,  $\mu_0 = 4\pi \cdot 10^{-7} \text{ Гн}/\text{м}$  — вакуумнинг магнит сингдирувчанлиги,  $\epsilon_1$  — намунанинг диэлектрик сингдирувчанлиги,  $\sigma$  — солишири маалымати үтказувчанлик. Умумий ҳолда яримутказгич кристалларидан  $\epsilon$ ,  $\mu$ ,  $\sigma$  — тензор катталиклардир, яъни улар электромагнит түлқинларининг кристалл ўқларига нисбатан тарқалиш йўналишига боғлиқ бўлган катталиклар. Куб шаклидаги кристалларда кристалл панжараси оптик ҳодисалар параметрларини скаляр катталиклар деб ҳисоблаш мумкин.  $\epsilon_1$ ,  $\sigma$ ,  $\mu$  — параметрлар намунага тушаётган ёруғлик частотасининг функцияларидир. Электромагнит түлқинларининг муҳитда тарқалиши Максвелл тенгламалари тизимининг ечими асосида ўрганилади. Үтказувчан муҳитда Максвелл тенгламалари тизимининг ечимига кўра  $z$  ўқи йўналишда тарқалаётган электромагнит түлқинининг электр майдон кучланганлиги

$$E_z = E_{v0} \exp\left(-\frac{\omega\chi}{c} z\right) \cdot \exp\left(i\omega t - \frac{nz}{c}\right) \quad (3.4)$$

кўринишдаги ифода билан аниқланади. Бу формула амплитудаси экспонента қонуни бўйича сўнувчи ясси электромагнит түлқинларининг электр майдон кучланганлигини ифодалайди. Одатда оптик асбобларда электр майдон кучланганлиги амплитудаси квадратига пропорционал бўлган ёруғлик интенсивлиги ( $I$ ) ўлчанади. Шунга кўра, (3.4) дан

$$I_v \sim \left[ E_{v0} \exp\left(-\frac{\omega\chi}{c} z\right) \right]^2 = E_{v0}^2 e^{-\frac{2\omega\chi}{c} z} \quad (3.5)$$

булади. Бундан кўринадики, муҳитда тарқалаётган ёруғликнинг интенсивлиги намуна сиртидан узоқлашган сари камайиб боради. (3.5) тенгламанинг

$$I_v = I_0 e^{-\alpha z} \quad (3.6)$$

күринишдаги ифодаси ёруғликнинг муҳитда ютилишини кўрсатувчи Бугер-Ламберт қонуни деб юритилади. Бу ерда

$$\alpha = 2 \frac{\omega \chi}{c} \quad (3.7)$$

$\alpha$  — ютилиш коэффициенти деб аталади.

Яримўтказгичларнинг оптик хоссаларини ёритища  $n$  ва  $\chi$  билан бир қаторда, комплекс диэлектрик сингдирувчанлик ҳам қўлланилади:

$$\epsilon = \epsilon_1 - i\epsilon_2 \quad (3.8)$$

$n^*$  билан  $\epsilon$  орасидаги боғланиш

$$n^* = \sqrt{\epsilon \mu} \quad (3.9)$$

формула билан аниқланади.

Электромагнит тўлқинларининг тўлқин узунлиги  $\lambda=0,2 \div 100$  мкм соҳасида яримўтказгичлар кучсиз магнит хоссаларига эга бўлиб, магнит сингдирувчанлиги бирга яқин бўлади ( $\mu \approx 1$ ). Бу вақтда (3.3), (3.7), (3.8) ва (3.9) тенгламалардан

$$\epsilon_1 = n^2 - \chi^2; \quad \epsilon_2 = 2n\chi = \frac{\sigma}{\epsilon_0 \omega}; \quad \alpha(\omega) = \epsilon_2 \frac{\omega}{nc} \quad (3.10)$$

бўлишилигини кўрамиз. Яримўтказгичларнинг оптик хоссаларини  $\epsilon_1$  ва  $\epsilon_2$  орқали ҳисоблашга зарурият бўлган вақтда  $n$  ва  $\chi$  параметрларга ўтиш унчалик қийинчилик туғдирмайди. Нур синдириш кўрсаткичлари  $n_1$  ва  $n_2$  бўлган муҳит чегарасига тушган ёруғлик иккига ажralади: бир қисми қайтади, бир қисми эса синиб, намунага киради. Маълумки, қутбланган ёруғлик икки муҳит чегарасига тушганда қайтган ( $E'$ ), синган ( $E''$ ) тўлқинларнинг электр майдон кучланганликлари амплитудалари Френель тенгламалари орқали аниқланади. Бунда  $\mu_1 = \mu_2 \approx 1$  бўлганда  $E'$  ва  $E''$  лар қуйидаги ифодалар орқали топилади:

$$E'_{vp} = E_{vp} \frac{\operatorname{tg}(\varphi - \varphi')}{\operatorname{tg}(\varphi + \varphi')}, \quad E''_{vs} = \frac{\sin(\varphi'' - \varphi)}{\sin(\varphi + \varphi')} \cdot E_{vs}$$

(3.11)

$$E''_{vp} = E_{vp} \frac{2 \sin \varphi'' \cos \varphi}{\sin(\varphi + \varphi') \cos(\varphi - \varphi')}, \quad E''_{vs} = \frac{2 \sin \varphi'' \cos \varphi}{\sin(\varphi + \varphi')} \cdot E_{vs}$$

Бу ерда  $\varphi$  — тушиш,  $\varphi''$  — синиш бурчаклари.  $E_p$ ,  $E_s$  — тушаётган түлқинларнинг электр майдон кучланганликлари амплитудаси.  $P$  ва  $S$  — индекслар электр майдон кучланганлигини ёруғликнинг тушиш текислигига параллел ва унга тик текисликда ётишини мос равища күрсатади. Қутбланган ёруғликнинг намунадан қайтиш коэффициентлари

$$R_{vs} = \left| \frac{E'_{vs}}{E_{vs}} \right|^2; \quad R_{vp} = \left| \frac{E'_{vp}}{E_{vp}} \right|^2 \quad (3.12)$$

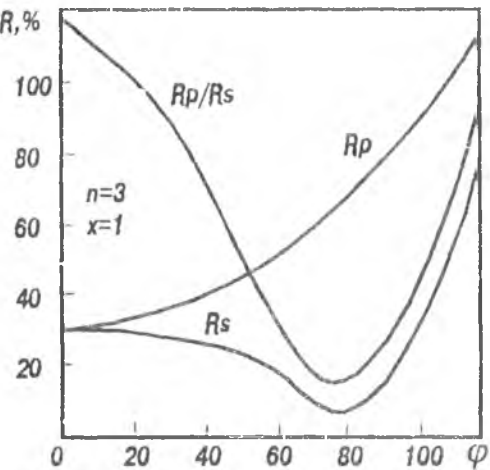
ўтиш коэффициентлари (шаффоффлик коэффициентлари) қуйидаги ифодалар билан аниқланади.

$$T_{vs} = \left| \frac{E''_{vs}}{E_{vs}} \right|^2; \quad T_{vp} = \left| \frac{E''_{vp}}{E_{vp}} \right|^2 \quad (3.13)$$

Френель тенгламаларидан күринадикى, ёруғликнинг намунадан қайтиш ва ўтиш коэффициентлари ёруғликнинг тушиш бурчагига (3.16-расм), оптик константаларига, электр майдон кучланганлиги векторининг йұналишига боғлиқ. Эслатиб үтәмиз, Френель тенгламалари мұхитнинг нур синдириш күрсаткичи комплекс бүлганды қол учун ҳам үринлидир. Бунда синиш қонуни

$$\frac{n^*}{n_1} = (n - i\chi) = \sin \varphi / \sin \varphi'' \quad (3.14)$$

күринишида бўлади. Биринчи мұхит ҳаво бўлганда  $n_1 = 1$  бўлиб, синиш бурчаги комплекс бўлади. Ёруғлик ҳаводан



3.1, б-расм. Ҳаво яримүтказгич чегарасида чизиқли қутбланган ёруғликнинг қайтиш коэффициентларининг тушиш бурчагига боғланиши (нур синдириш күрсаткичи  $n=3$ , ютиш күрсаткичи  $c=1$  бўлган хол учун).

яримүтказгич сиртига тик тушганда  $\varphi = \varphi'' = 0$  бўлади. Френель муносабатларига кўра, ҳаво-яримүтказгич чегарасидан ёруғликнинг қайтиш коэффициентининг оптик константалар ( $n$  ва  $\chi$ ) билан боғланиши қўйидаги қўринишни олади:

$$R_y = R_{sy} = R_{py} = \frac{(n - 1)^2 + \chi^2}{(n + 1)^2 + \chi^2} \quad (3.15)$$

(3.15) дан қўринадики, қайтиш коэффициенти ёруғлик тик тушганда унинг қандай қутбланганлигига боғлиқ бўлмайди. Қайтиш коэффициентининг тушиш бурчагига боғлиқлиги шуни күрсатадики, тушиш бурчагининг  $\varphi = 0 \div 17^\circ$  оралиғида деярли ўзгармайди, шунинг учун амалиётда тушиш бурчагининг  $0 \div 17^\circ$  оралиғида ўлчангандай қайтиш коэффициентини тик тушгандаги каби қараш мумкин. (3.15) тенгламадан қўринадики, қайтиш коэффициентини ўлчаш билан бир вақтда икки параметр ( $n$  ва  $\chi$ ) ни аниқлаш мумкин эмас. Кўп яримүтказгичларда нур

синдириш күрсаткичининг етарлича катта бўлиши туфайли, уларда ютиш күрсаткичи  $\chi=0$  бўлганда ҳам қайтиш коэффициентлари катта  $R=30\div40\%$  бўлади. Намуналарда нур синдириш күрсаткичи катта  $n \gg \chi$  бўлганда қайтиш коэффициенти ҳам катта бўлади ( $R=1$ ).

### 3.2 §. Оптик параметрларни (константаларни) тажрибада аниқлаш усувлари

Биз юқорида ўтказувчан  $\sigma \neq 0$  муҳитда диэлектрик сингдирувчаник  $\epsilon = \epsilon_1 - i\epsilon_2$  ни ёки нур синдириш күрсаткичи ( $\bar{n}^* = n - i\chi$ ) нинг комплекс бўлишларини, уларнинг ҳақиқий ( $n$ ,  $\epsilon_1 = n^2 - \chi^2$ ) ва мавхум қисмлари ( $\chi$ ,  $\epsilon_2 = 2n\chi$ ) нинг кристаллинг микроскопик параметрлари билан бевосита боғлиқ эканлигини кўрган эдик. Ярим ўтказгичлар тузилишини, параметрларини оптик усувлар билан аниқлашда биринчи навбатда  $n$  ва  $\chi$  ларни алоҳида ёки  $\epsilon_1 = n^2 - \chi^2$  ва  $\epsilon_2 = 2n\chi$  ларни ёруғлик тўлқин узунлигининг кенг соҳасида ва ҳар хил температураларда аниқлаш лозим. Оптик параметрларнинг (константаларни) аниқлаш усувларини икки гуруҳга бўлиш мумкин. Биринчи гуруҳ усувлари ёруғликнинг қайтиш коэффициентини ўлчашга, иккинчи гуруҳ усувлари намунанинг тиниқлигини (шаффоғлигини) ўлчашга асосланган. Оптик константалар ( $n$ ,  $\chi$ ,  $\alpha$ ) ни тажрибада ўлчаш усувларни қисқача кўриб чиқамиз. Ютиш күрсаткичи нур синдириш күрсаткичидан анча кичик ( $n \gg \chi$ ) бўлган тўлқин узунлиги соҳасида (3.15) дан (3.16) тенгламани оламиз:

$$R_v = \frac{(n-1)^2}{(n+1)^2} \quad (3.16)$$

$n^2 \gg \chi^2$  шарт тўлқин узунлигининг катта  $\lambda > \lambda_g$  соҳасида  $\left. \lambda_g = hc/E_g = \frac{1,24}{E_g(\vartheta B)}, \quad [\text{мк}] \right)$  ҳам бажарилади, бу ерда  $E_g$  — тақиқланган зона кенглиги. Кўп ярим ўтказгичларда, ҳатто заряд ташувчилар концентрацияси катта бўлганда ҳам  $n^2 \gg \chi^2$  шарт бажарилади. Шунинг учун (3.16) ифодадан нур синдириш күрсаткичининг табиий ёруғликда қайтиш

коэффициентини үлчаш билан аниқлаш мумкин. Кристалларда ёруғлик тұлқин узунлигининг күчсиз ютилиш соҳасида  $R_p$  ёки  $R_p/R_s$ -нинг тушиш бурчагига боғланиш графигидан Брюстер бурчаги, яғни  $R_p$ ,  $R_p/R_s$ -лар минимумга эришадиган бурчак аниқланади. Брюстер бурчаги ( $\varphi_B$ ) нур синдириш күрсаткичи орқали ҳисобланади:

$$n = \operatorname{tg} \varphi_B \quad (3.17)$$

Агар намунада ютилиш содир бўлмаса, нур синдириш күрсаткичини ясси параллель сиртли пластина қўринишида бўлган намунанинг шаффоғлигига қараб ҳам аниқлаш мумкин. Ҳавода турган пластина қўринишидаги намуна ичида ёруғликнинг қайта-қайта (кўп марта) қайтиши содир бўлса (интерференцияни ва ютилишни ҳисобга олмагандан), унинг шаффоғлик (ёруғликнинг намунадан ўтиши) коэффициенти қўйидаги қўринишни олади.

$$T_v = \frac{1 - R_v}{1 + R_v} = \frac{2n}{n^2 + 1} \quad (3.18)$$

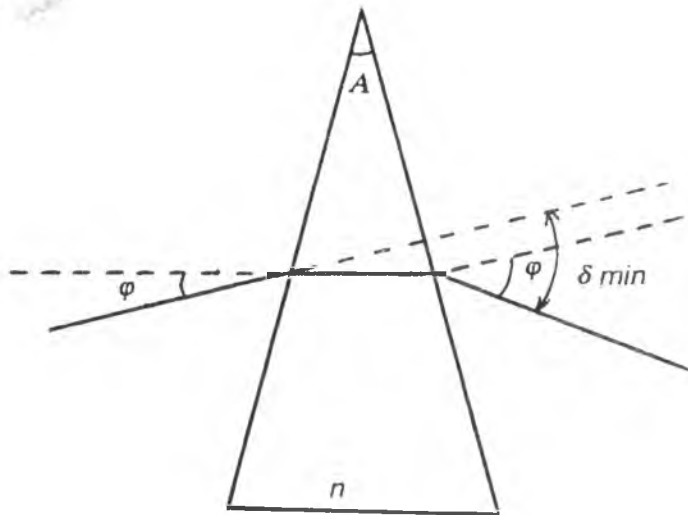
Шундай қилиб, намуна шаффоғлигини билган ҳолда нур синдириш күрсаткичи қўйидаги ифода билан аниқланади:

$$n = \frac{1 - \sqrt{R_v}}{1 + \sqrt{R_v}} = \frac{1 - [(1 - T_v)/(1 + T_v)]^{1/2}}{1 + [(1 - T_v)/(1 + T_v)]^{1/2}} \quad (3.19)$$

Бу ҳолда тўла қайтиш коэффициенти

$$R_v + T_v = 1 \quad (3.20)$$

ифода билан аниқланади. Бу ерда ҳам энергиянинг сақланиш қонуни бажарилади. Намунанинг юқори шаффоғлик (тиниқлик) соҳасидаги нур синдириш күрсаткичини аниқлашда катта аниқлик билан үлчайдиган призма усулидан фойдаланиш мумкин. Бунинг учун текширилаётган намунадан синдириш бурчаги  $A$  бўлган призма ясалади (3.2-расм). Тўлқин узунлиги  $\lambda$  бўлган монокроматик ёруғликнинг параллел оқими (дастаси) призмадан ўтган-



3.2-расм. Ёруғликнинг кичик бурчакка четланиши (огиши) ҳолида призма орқали нур йўли.

дан сўнг  $\delta$  — бурчакка оғади, бунда нурнинг синиш бурчаги нурнинг призмадан чиқишидаги синиш бурчагига тенг бўлганда,  $n$ -ни ўлчашда энг катта аниқликка эришилади:

$$\varphi_{\text{кириш}} = \varphi_{\text{чиқиш}} = \varphi$$

Бу ҳолда  $\delta$  — бурчак энг кичик бўлади. Шунинг учун призма усули одатда кичик бурилиш (огиш) усули деб юритилади. Нур синдириш кўрсаткичи қуйидаги tenglama билан топилади:

$$n = \frac{\sin\left(\frac{A + \delta_{\min}}{2}\right)}{\sin(A/2)} \quad (3.21)$$

Текширишлар бу усул билан яримутказгичларда нур синдириш кўрсаткичининг 0,01% аниқлик билан ўлчаш мумкинлигини кўрсатди.

Ютилиш күрсаткичи ( $\chi$ ) ни ёки ютилиш коэффициенти ( $\alpha$ ) ни  $n^2 \gg \chi^2$  бўлганда пластинка шаклидаги намуналарнинг шаффофлик коэффициентини ўлчаш билан аниқлаш мумкин,

$$T_v = \frac{(1 - R_v)^2 [1 + \lambda\alpha/4\pi n]}{(\exp(\beta) - R_v \exp(-\beta))^2 + 4R \sin^2(\delta + \psi)} \quad (3.22)$$

бу ерда:  $\beta = \frac{\alpha d}{2}$  ( $d$  — намуна қалинлиги,  $\alpha$  — ютилиш коэффициенти),  $\delta$  — намунадан ёруғлик бир марта ўтганидаги фаза ўзгариши (фаза силжиши)

$$\delta = \frac{2\pi}{\lambda} nd \cos \varphi$$

билин ифодаланади ( $\varphi$  — плёнкада нурнинг синиш бурчаги),  $\psi$  — намунадаги ёруғликнинг  $\vec{E}$  ва  $\vec{H}$  векторлари орасидаги фазавий бурчаги бўлиб,

$$\operatorname{tg} \psi = \frac{2\chi}{n^2 + \chi^2 - 1} \quad (3.23)$$

билин аниқланади. Агар интерференция кузатилмаса (намуна сиртидаги нуқсонлар туфайли ёки ёруғлик тўлқин узуунлигининг катта бўлиши туфайли),  $T$ ,  $R$  ни  $\alpha$  — орасидаги боғланишлари соддалашади ва

$$T_v = \frac{(1 - R)^2 [1 + (\lambda \cdot \alpha / 4\pi n)^2]}{\exp(\alpha d) - R^2 \exp(-\alpha d)} \quad (3.23a)$$

бўлади.  $n^2 \gg \chi^2$  бўлганда, яъни  $\frac{\alpha \lambda}{4\pi n} \ll 1$  да шаффофлик коэффициентининг  $(1 - R)/(1 + R)$  дан 10% гача бўлган ўзгариш соҳасида шаффофлик коэффициенти қуйидаги тенгламадан аниқланади:

$$T_v = \frac{(1 - R_v) 2e^{-\alpha d}}{1 - R_v^2 e^{-2\alpha d}} \quad (3.23b)$$

Таъкидлаш керакки, бу соддалашган тенглама билан  $\alpha$  ни аниқлаш учун катта ҳисоб қилиш талаб қилинади. Шунинг учун одатда  $\alpha$  ни аниқлашда ҳар хил  $R$  ларга мос келган номограммалардан фойдаланилади. Шаффофлик коэффициенти  $n^2 \gg \chi^2$  бўлганда ( $T < 10\%$  бўлса)  $1 \gg R^2 e^{-2ad}$  бўлади ва (3.22б) дан ютилиш коэффициенти қўйидагича аниқланади:

$$\alpha = \frac{1}{d} \ln \left[ \frac{(1 - R_v)^2}{T_v} \right] \quad (3.24)$$

Агар синдириш кўрсаткичлари бир биридан фарқ қилса, плёнка (парда) тагликдан иборат структуруни плёнкада ютилишини аниқлаш учун плёнка ҳаво ва плёнка таглик, таглик билан ҳаво чегараларидаги ёруғликнинг қайтишини ҳисобга олиш керак. Агар тагликда кучсиз ютилиш содир бўлса, юпқа қатламда ютилиш коэффициенти қўйидагича ҳисобланади:

$$\alpha = \frac{1}{d} \ln \left[ \frac{(1 - R_{v1})(1 - R_{v2})(1 - R_{v12})}{T_v} \right] \quad (3.25)$$

Бу ерда:  $R_{v12}$ ,  $R_{v2}$ ,  $R_{v1}$  плёнка-таглик, таглик-ҳаво, плёнка-ҳаво чегараларидаги қайтиш коэффициентлари. Тажрибадан яримўтказгичларда ютилиш коэффициентини қайтиш ва шаффофлик коэффициентлари натижалари бўйича аниқлаш учун қўйидаги босқичлардан ўтилади. Дастреб намунанинг сиртига сайқал берилади, унинг қалинлиги  $ad \gg 1$  шартига жавоб беради. Бу билан намунанинг остки сиртидан ёруғликнинг қайтиши таъсири йўқотилади ва мумкин бўлган тўлқин узунлиги соҳасида турли температурада ва бошқа ташқи таъсирлар остида  $R_v$  ўлчанади, бу ёруғликнинг сиртдан бир карра (марта) қайтиши коэффициентини беради. Сўнгра намунанинг қалинлиги камайтирилади:  $ad < 1$  ёки  $(1 - R)/(1 + R) > T > 10\%$  шаффофлик соҳасида ёруғликнинг ўтиш интенсивигини текширилаётган соҳада аниқ ўлчаш мумкин бўлсин. Бу ҳолда  $T$  ни ўлчаш имкони вужудга келади. Ютилиш коэффициентини шаффофлик коэффициенти қиймати бўйича аниқ-

лашда  $T > 10\%$  бўлганда (3.22б) ва  $T < 10\%$  бўлганда (3.25) тенгламадан фойдаланилади. Ютилиш коэффициентини аниқлашда фақат шаффофлик коэффициентини ўлчаш билан ҳам чегараланиш мумкин, бунинг учун қалинликлари  $d_1$  ва  $d_2$  бўлган бир хил кристаллдан намуналар тайёрланади, уларнинг қалинлиги шундай бўлиши керакки ( $\alpha d_2 > 1$  ва  $\alpha d_1 > 1$  бўлиб), шаффофлик коэффициентлари  $T_{v1}$  ва  $T_{v2}$  10% бўлсин, у ҳолда текширилаётган намуна-нинг ютилиш коэффициенти

$$\alpha = \frac{1}{d_2 - d_1} \ln \frac{T_{v1}}{T_{v2}} = \frac{1}{d_2 - d_1} \ln \frac{I_{v1}}{I_{v2}} \quad (3.26)$$

билин ҳисобланади. Бу ерда  $I_{v1}$  ва  $I_{v2}$  мос равища қалинлиги  $d_1$  ва  $d_2$  бўлган намуналардан ўтган ёруғлик интенсивлигидир. Агар тадқиқотчи ихтиёридаги намуна кичик бўлса, уни қалинлигини юпқалаштириш билан ўлчаш мумкин.

Ютилиш коэффициенти  $\alpha$  ни ҳисоблаш тенгламаси (3.25) нинг таҳлили  $T < 10\%$  ва  $R = 35\%$  бўлганда, шаффофликнинг  $10^3$  марта ўзгариши ютилиш коэффициентининг фақат 6 марта ўзгаришига олиб келади. Демак  $\alpha$  нинг қийматини катта оралиқда ўлчаш учун битта материалдан ясалган ҳар хил қалинликдаги намуналар тўплами бўлиши керак. Масалан, яrimутказгичларда ёруғликнинг хусусий ютилиш чегарасида ютилиш коэффициенти ( $\alpha$ )  $10^2$  дан то  $10^4 \text{ см}^{-1}$  гача ўзгарилиши мозиҳ. Қалинлиги  $d$  — бўлган ҳар бир намуна учун ютилиш коэффициентининг максимуми  $\alpha_{\max}$  шаффофлик минимуми қиймати бўйича аниқланади.  $\alpha_{\min}$  тажрибада  $\alpha$  ни аниқлашда кузатиладиган энг катта хатоликка эришиш билан баҳоланади. Ютилиш коэффициентини ўлчашнинг нисбий  $\delta\alpha = \frac{\Delta\alpha}{\alpha}$  хатолиги (3.26) учун

$$\delta\alpha = \delta d + \left( \frac{2R_v}{1-R_v} \delta R_v + \delta T_v \right) \left[ \ln \frac{(1-R_v)^2}{T_v} \right]^{-1} \quad (3.27)$$

билин аниқланади. Агар  $\alpha$  ни уни ташкил этувчилари-нинг хатоликлари йифиндисидан ( $\delta R + \delta d + \delta T$ ) катта бўлмаган хатолик билан ўлчанади деб фараз қилинса, у ҳолда  $R = 35\%$  бўлганда

$$\alpha_{\min} \approx \frac{1}{d} \quad (3.28)$$

ифода үринли бўлади ва у шаффофлик коэффициенти  $T=16\%$  бўлгандаги қийматига мос келади. Ютилиш коэффициентининг  $\alpha < 1/d$  соҳасида  $\alpha$  ни аниқлашдаги хатолик  $\alpha_{\text{min}}$  ни аниқлашдаги хатоликдан катта бўлади. Шундай қилиб, текширилаётган соҳада ютилиш коэффициенти  $\alpha = 10^{-1} \text{ см}^{-1}$  дан  $\alpha = 10^4 \text{ см}^{-1}$  гача ўзгарса, камида икки хил  $d_1$  ва  $d_2$  қалинликдаги намуна олиниши керак. ( $d_2 > d_1$ ).  $d_1$  қалинликни топиш учун (3.26) тенгламага ютилиш коэффициентининг юқори чегараси  $10^4 \text{ см}^{-1}$ ,  $R$  ва  $T$ -нинг минимум қийматлари қўйилиб ҳисобланади. Масалан,  $10^4 \text{ см}^{-1}$ ,  $T_{\min} = 0,01\%$  ва  $R = 35\%$  бўлганда,  $d_1 = 8,3 \text{ мкм}$  эканлиги кўринади.  $d_2$  — қалинлик эса қўйидаги (3.29) тенглама билан топилади:

$$d_2 = \frac{1}{\alpha_{\min}} = \frac{1}{10 \text{ см}^{-1}} = 1 \text{ мм}. \quad (3.29)$$

Қалинлиги  $d_2 = 1 \text{ мм}$  бўлган намунада ютилиш коэффициентини  $10$  дан  $84 \text{ см}^{-1}$  гача, қалинлиги  $d_1 = 8,3 \text{ мкм}$  намунада  $240$  дан  $10^4 \text{ см}^{-1}$  гача текшириш мумкин. Ютилиш коэффициентини  $84 \div 240 \text{ см}^{-1}$  оралиқда текшириш учун қалинлиги  $d_3 = 200 \text{ мкм}$  бўлган учинчи намуна зарур (керак). Бу намуна билан  $\alpha_{\min} = 50 \text{ см}^{-1}$  дан  $\alpha_{\max} = 415 \text{ см}^{-1}$  гача ўлчаш мумкинки, кичик ютилиш коэффициентларини ўлчашда ютилиш коэффициентини аниқлашдаги хатоликнинг минимум бўлиш шарти  $\alpha d = 1$  дан ёруғликнинг тарқалиш йўналишида намуна қалинлиги катта бўлишлигини талаб этади. Жуда кичик ютилиш коэффициентларини  $\alpha < 10^{-2} \text{ см}^{-1}$  ўлчаш учун маҳсус усуллар яратилган.

### 3.3-§. Заряд ташувчилар концентрацияси ва ҳаракатчанлигини ўлчашнинг оптик усуллари

Яримўтказгичларда ёруғликнинг эркин заряд ташувчиларда ютилиши хусусий ютилишнинг қизил чегарасидан катта бўлган тўлқин узунлиги соҳаси ( $\lambda > \lambda_g$  ёки  $h\nu > E_g$ ) да айниқса муҳим үрин тутади. Эркин заряд ташувчилар-

да ёруғлик ютилиш механизмининг классик назариясида эркин заряд ташувчиларнинг ёруғлик (электромагнит) тұлқинининг электр майдонида олган кинетик энергиясига яримұтказгич намунасидаги ҳар хил нұқсонлар (кристалл панжара даврийliginинг бузилиши) билан үзаро таъсирлашганда (сочилишида) иссиқликка айланиши деб қаралади. Квант механикаси нұқтаи назаридан кристалл панжаранинг даврий майдонида ҳаракатланыётган эркин электронлар импульснинг сақланиш қонунига күра, ёруғликни ютмаслиги керак. Лекин кристалл панжаранинг тебраниши ёруғликнинг эркин электронда ютилишини вужудға келтиради. Оптик константаларнинг ёруғлик тұлқин узунлигига боғланиши аналитик ифодасини оптик константалар дисперсиясининг классик назарияси ёрдамида олиниши мүмкін. Бу назарияга күра қаттық жисм чизиқли осцилляторлар түпламидан иборат деб ва электромагнит тұлқинларининг электр майдонида электроннинг ҳаракат тенгламаси ечими қаралади,

$$m\ddot{x} + m\omega_0^2 x + \frac{m}{\tau}\dot{x} = -eE_{v0}e^{i\omega t} \quad (3.30)$$

Бу тенгламанинг бириңчи ҳади Ньютон кучини, иккінчи ҳади мувозанат ҳолатидан силжиган  $x$  масофага пропорционал бұлған (қайтарувчи) эластиклик кучини, учинчи ҳади тормозловчи кучни, яғни заряд ташувчилар тезлигига пропорционал бұлған ишқаланиш кучини, үндегі томонидаги ҳади электронга электр майдонининг таъсир кучини тавсифлади. Шундай қилиб, үтказувчан зонадаги электронларнинг эффектив массаси  $m$  га тенг бұлған эркин электрон деб қаралади, шунинг учун (3.30) тенгламадаги қайтарувчи кучни нолға тенгләштириб ва  $m$  массасини электрон эффектив массаси билан алмаштириб,

$$m_n\ddot{x} + \frac{m_n}{\tau}\dot{x} = -eE_{v0}e^{i\omega t} \quad (3.31)$$

электромагнит тұлқинининг электр майдонидаги эркин электрон ҳаракат тенгламасини оламиз. Электр майдон таъсирида электроннинг гармоник тебранма ҳаракати содир бўлади. Шу билан бирга бу тебранишнинг комплекс амплитудаси (3.31) тенгламага күрайдагича бўлади:

$$x_0 = -\frac{e\bar{E}_{p0}}{m_n} \cdot \frac{1}{\left(\omega^2 + \frac{\omega}{\tau} i\right)} \quad (3.32)$$

Бунда ҳосил бўлган қутбланиш вектори

$$\vec{P}_{vx} = eN\vec{x}_0 \quad (3.33)$$

бўлишилигини эътиборга олиб, электр майдон индукциясиning ифодасидан

$$\vec{D}_v = \epsilon_0 \epsilon \vec{E}_v = \epsilon_0 \vec{E}_v + \vec{P}_v, \quad (3.34)$$

комплекс диэлектрик сингдирувчанликнинг аниқланишини кўрамиз.

$$\epsilon = \epsilon_1 + \epsilon_2 \cdot i = 1 + \frac{\vec{P}_{vx}}{\epsilon_0 \vec{E}} \quad (3.35)$$

Зоналараро ўтишларни  $\epsilon$  га қўшган ҳиссаси ҳисобга олингандан, хусусий ютилиш чегараси билан бўйлама оптика тебранишлар частотаси оралиғида  $\omega_g > \omega > \omega_{zo}$  диэлектрик сингдирувчанлик (3.35) тенглами

$$\epsilon(\omega) = \epsilon_\infty \left[ 1 + \frac{\omega_p^2}{\omega(\omega + i\tau^{-1})} \right] \quad (3.36)$$

билин аниқланади. Бундан унинг ҳақиқий ва мавхум қисмлари қўйидаги қўринишни олади:

$$\epsilon_1(\omega) = n^2 - \chi^2 = \epsilon_\infty \left[ \frac{1 - \omega_p^2 \tau^2}{(1 + \omega_p^2 \tau^2)} \right] \quad (3.37)$$

$$\epsilon_2(\omega) = 2n\chi = \frac{\epsilon_\infty \omega_p^2}{\omega} \left[ \frac{\tau}{(1 + \omega_p^2 \tau^2)} \right] \quad (3.38)$$

Бу ерда  $\omega_p^2 = eN\varepsilon_0\varepsilon_\infty m_n$  — эффектив массаси  $m_n$ , концентрацияси  $N$  бўлган эркин заряд ташувчиларнинг плазмавий частотаси. (3.37) ва (3.38) ифодаларнинг релаксация вақти  $\tau$  га боғлиқ  $(\omega^2\tau^2 + 1)$  кўпайтмаларида энергия бўйича ўрталаштириш ҳисобга олинмаган. Агар  $\tau$  энергияга боғлиқ бўлса,  $\varepsilon_1$  ва  $\varepsilon_2$  лар электронларнинг кристалларда сочилиш механизмига боғлиқ бўлади. (3.37) ва (3.38) ларда электромагнит тўлқинларнинг кристалл панжара билан таъсирланиши ҳам ҳисобга олинмаган. Бу таъсирлашишда кимёвий боғланишнинг улуши кичик, заряд ташувчилар концентрацияси катта бўлган яrimутказгичларда унчалик муҳим эмас. Ёруғликнинг хусусий ютилиш чегарасининг частотаси билан кристалл панжаранинг бўйлами оптик тебранишлар частотаси оралифида тоза кристаллар учун юқори частотали дизэлектрик сингдирувчанлик частотага боғлиқ бўлмайди, доимий  $\varepsilon_\infty$  га teng бўлади. Бу частота оралифида ҳаракатчанлиги катта бўлган яrimутказгичлар учун

$$\omega^2\tau^2 \gg 1$$

шарт бажарилиши мумкин.  $n$ -тип германий учун релаксация вақти тахминан  $10^{-13}$  секундни ташкил этади. Ёруғликнинг тўлқин узунлиги  $\lambda = 20$  мкм бўлганда,  $\omega^2\tau^2 \approx 400$  га teng бўлади.  $\omega^2\tau^2 \gg 1$  шарт бажарилганда (3.37) ва (3.38) ифодалар

$$\varepsilon_1 = n^2 - \chi^2 = \varepsilon_\infty \left( 1 - \frac{\omega_p^2}{\omega^2} \right) \quad (3.39)$$

$$\varepsilon_2 = 2\kappa\chi = \varepsilon_\infty \omega_p^2 / \tau \omega^3 \quad (3.40)$$

куринишни оладилар.

Ёруғликни эркин заряд ташувчиларда ютилиш коэффициенти  $\alpha$  (3.10) ва (3.40) ларга кўра

$$\alpha = \frac{\varepsilon_\infty \omega_p^2}{n \cdot c \cdot \omega^2} < \frac{1}{\tau} > - \lambda^2 < \frac{1}{\tau} > \quad (3.41)$$

ифода билан аниқланади. Ютилиш коэффициенти заряд ташувчиларнинг сочилиш механизмига, яъни  $<1/\tau>$  нинг

ұртаса қыйматига боғлиқ бұлиб, ёруглик түлқин узунлигінинг квадратига пропорционалдир. Үтказувчанликка ҳар хил типдаги заряд ташувчилар қатнашса, улардаги ютилишлар құшилади. Паст частоталарда ( $\omega^2\tau^2 \ll 1$ ) ютилиш коэффициенти:

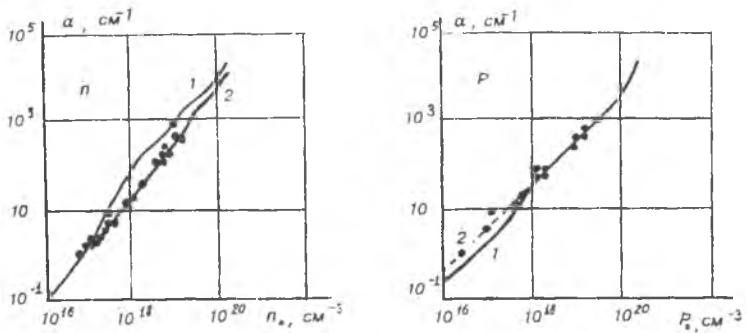
$$\alpha \approx N e^2 \tau / m_n^* c \cdot n \epsilon_0 \sim \sigma_0 \quad (3.42)$$

у частотага боғлиқ бұлмайдыган ва доимий электр майдонда кристаллнинг солиширмаса үтказувчанлигига пропорционал бұлган катталиқ.

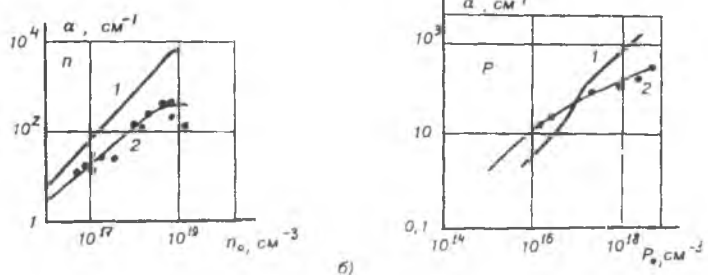
Релаксация вақтінинг энергияга боғлиқлиги даражали функция күринишида бұлғанида (3.38) ни сочилиш механизмига боғлиқ бұлган  $\gamma$  коэффициентга құпайтирилади. Сочилиш кристалл панжара тебранишида содир бұлса,  $\gamma = 1,13$  га, ионлашган киришма атомда содир бұлса,  $\gamma = 3,4$  га тенг бұллади. Эркін электронларда ёруглик ютилишининг квант назариясига күра ютилиш коэффициентининг түлқин узунлигига боғлиқлиги  $\alpha \sim \lambda^\eta$  күринишда вадаражада ( $\eta$ ) 2 дан фарқли бұлиб, сочилиш механизмига қараб, 1 дан 4 гача үзгәради. Күпгина яримүтказгич материалларда тажрибадан олинган ютилиш коэффициентининг түлқин узунлигига боғлиқлиги мураккаб күринишга эга.

### *a) Заряд ташувчилар концентрациясینи ёругликнинг ютилиши бүйіча аниқлаш*

Тажрибада ютилиш коэффициенти бүйіча, заряд ташувчилар концентрациясіні аниқлашда, ютилиш коэффициентини уларнинг концентрациясига боғлиқлиги асос қилиб олинган. Ютилиш коэффициентини тажрибада аниқланған ёругликнинг намунадан үтиш вадақайтиш коэффициентлари бүйіча ҳисоблаб, заряд ташувчилар концентрациясіні аниқлаш мүмкін. Лекин тажрибада аниқланған вада назария бүйіча ҳисобланған натижалар бир-бiriдан фарқланғани учун одатда олдиндан тажрибада олинган  $\alpha = f(N)$  градиуровка (даражалаш) графигидан фойдаланыб топилади. Бунинг учун заряд ташувчилар концентрациясы маълум бұлған бир қанча намуналарда ютилиш коэффициентининг концентрацияга боғлиқлиги аниқланади. Ютилиш коэффициентининг концентра-



a)



б)

3.3-расм.  $n$ ,  $p$  — типдаги кремний намуналарда ёргулукнинг ютилиш коэффициенти ани заряд ташувчилар концентрациясига назарий (1-чилик) тажриба йўли билан (—чилик) боғланиш.

$a$  — ёргулукнинг тўлқин узунлиги 40 мкм бўлган хол учун.

цияга назарий боғланиши,  $\alpha=f(N)$  тажриба натижалари билан мос тушмаслиги эркин заряд ташувчиларда ёргулук ютилишининг назарий модели етарлича яхши ишланмаганлигидан далолат беради. Бир қанча ҳолларда тажриба ва назария натижалари қисқа тўлқин узунлиги оралиғида мос тушади. Масалан,  $p$ ,  $n$ -тип кремнийларда инфрақизил соҳанинг қисқа тўлқин узунлиги қисмида  $\alpha(N)$  нинг назарий ва амалий қийматлари бир-бирига мос тушади, узун тўлқин узунлик қисмида эса, кучли фарқ кузатилади (3.3-расм).

Тажрибада ёргулукни намунадан ўтиш (шаффоффлик) коэффициенти орқали  $T>0,1$  да қиймати ютилиш коэффициенти (2.23б) ва қайтиш коэффициенти

$$R = R_{\nu_0} (1 - T) e^{-ad} \quad (3.43)$$

ифодаларидан аниқланади. Бу ерда  $R_{\nu_0}$  яримчексиз намунада ёруғликнинг қайтиш коэффициенти,  $d$  — намуна қалинлиги. (3.23б) ва (3.43) тенгламанинг биргаликдаги ечими ютилиш коэффициенти қийматини беради.

Ўлчашнинг спектрал оралигини танлашда шуни эътиборга олиш керакки, оралиқнинг маълум бир спектрал қисмида (соҳасида) ёруғликнинг эркин электронда ютилишидан ташқари, у яна киришма атомларида ҳамда кристалл панжаранинг гебранишларида (фононларда) ютилиши мумкин. Заряд ташувчилар концентрациясини аниқлашда хатоликларга йўл қўймаслик учун ўлчанаётган тўлқин узунлиги соҳасида бошқа ютилишлар кичик бўлиши керак. Масалан, кремнийда тўлқин узунлигининг 6 мкм дан 40 мкм оралиғида фононда ёруғликнинг ютилиши намоён бўлади, шу билан бирга, ёруғликнинг фононларда ютилиш коэффициенти  $0,3 \div 10 \text{ см}^{-1}$  оралиғида бўлиб, концентрацияси  $10^{18} \text{ см}^{-3}$  бўлган намуналарнинг эркин зарядларда ёруғликнинг ютилиш коэффициенти тартибидадир. Шунинг учун кремний намуналарида ўлчовни асосан тўлқин узунлигининг  $\lambda < 5 \text{ мкм}$  ёки  $\lambda > 40 \text{ мкм}$  бўлган соҳаларида ўтказилиши мақсадга мувофиқдир. Бунда қисқа тўлқин узунлик соҳасидан фойдаланиб стандарт ўлчов асбобларини қўллаган маъқулдир. Тажрибани заряд ташувчилар концентрацияси кичик бўлган намуналарда ўтказиш мақсадга мувофиқдир. Чунки ютилиш коэффициенти тўлқин узунлигининг ортиши билан ортиб боради. Бунда ўлчанаётган заряд ташувчилар концентрациясини қуи чегараси  $10^{15} \text{ см}^{-3}$  гача камаяди (ўлчаш техникаси 40 мкм да қийинлашади). Яримутказгич параметрларини ўлчашда ёруғлик манбаи сифатида лазер нурларининг қўлланиши катта имкониятлар яратади. Бунда ёруғликни тўлқин узунлиги тартибида бўлган кичик диаметрли юзага тўплаш (ёруғлик зондини олиш) ва намуналарнинг кичик соҳасини текшириш мумкин.

Лазер нурлари интенсивлигининг катта бўлиши ўлчов асбоблари ҳамда усулнинг сезгирилигини оширади, намунани тор ва кенг қилиб, лазер нурлари билан ёритиш мумкин. Лазерларни ёруғлик манбаи сифатида ишлатилишининг ютуғи шундан иборатки, инфрақизил интрос-

копларнинг характеристикаларини яхшилаш имконини беради. Ҳаракатланувчи лазер нурларига асосланган микропларни яратиш ва улар ёрдамида текширилаётган намуналарда бир жинсли эмаслиикнинг тақсимланиши тўғрисида аниқ маълумотлар олиш мумкин ҳамда концентрация, ҳаракатчанликнинг нафақат юза бўйича, балки қалинлик бўйича ҳам ҳар хил кўндаланг кесимларда тақсимланиши тўғрисидаги миқдорий натижаларни олиш мумкин.

*б) Ёргулукнинг плазма резонанси соҳасида намунадан қайтиши бўйича эркин заряд ташувчилар концентрацияси ва ҳаракатчанлигини аниқлаш усули*

Намунанинг нур синдириш ( $n$ ) ва ютилиш кўрсаткич ( $\chi$ ) ларини (3.37) ва (3.38) лардан топиб, ёргулукнинг қайтиш коэффициенти ифодаси (3.15) га қўйсак, ЭХМ да ҳисоблаш қулай бўлган

$$R(\omega) = R(a, b, \epsilon_{\infty}) = \frac{(G^{-1}F - \epsilon_{\infty}^{-\frac{1}{2}})^2 + a^2 F^{-2} G^{-2}}{(FG^{-1} + \epsilon_{\infty}^{-\frac{1}{2}}) + a^2 F^{-2} G^{-2}} \quad (3.44)$$

Қайтиш коэффициентининг спектрал боғланишдаги аналитик ифодаси олинади. Бу ерда:

$$F(a, b) = \left( [a^2(b^2 - 1) + 1]b + \{[a^2(b^2 - 1) - 1]^2 b^2 + a^2\}^{\frac{1}{2}} \right)^{\frac{1}{2}} \\ G(a, b) = [2b(a^2 b^2 + 1)]^{\frac{1}{2}} \quad (3.45)$$

$$a = \omega_p \cdot \langle \tau \rangle; \quad b = \omega / \omega_p$$

бўлади. Шундай белгилаш билан оптик константаларнинг дисперсион муносабатлари қўйидаги tenglamalар билан ифодаланади:

$$\epsilon_1(\omega) = n^2 - \chi^2 = \epsilon_{\infty} \left( 1 - \frac{a^2}{a^2 b^2 + 1} \right) \quad (3.46)$$

$$\varepsilon_2(\omega) = 2n\chi = \frac{\varepsilon_\infty + a}{b(a^2b^2 + 1)} \quad (3.47)$$

$$n(\omega) = \sqrt{\varepsilon_\infty} G^{-1}(a, b) F(a, b) \quad (3.48)$$

$$\chi(\omega) = \sqrt{\varepsilon_\infty} F^{-1}(a, b) G^{-1}(a, b) \quad (3.49)$$

Булар ёрдамида яримүтказгичлар параметрларини аниқлашда плазманинг тебраниш частотаси

$$\omega_p^2 = e^2 N / \varepsilon_0 \varepsilon_\infty \cdot m_n^* \quad \text{ёки} \quad \lambda_p = \frac{2\pi c}{\omega p} \quad (3.50)$$

ва ўлчамсиз  $a = \omega_p <\tau>$  катталик асосий параметрлардан ҳисобланади. Уларни билган ҳолда яримүтказгич хоссаларини тавсифловчи катталиклардан электр ўтказувчаникнинг частотага боғлиқлигини, ўзгармас ток учун солиштирма ўтказувчаник ( $\sigma_0$ ), релаксация вақти  $<\tau>$  ни аниқлаш мумкин.

$$\sigma(\omega) = \frac{c \varepsilon_\infty a}{2\lambda_p(a^2b^2 + 1)}; \quad \sigma_0 = \frac{c \varepsilon_\infty a}{2\lambda_p}; \quad <\tau> = \frac{a\lambda_p}{2\pi c} \quad (3.51)$$

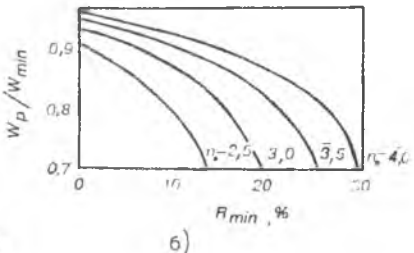
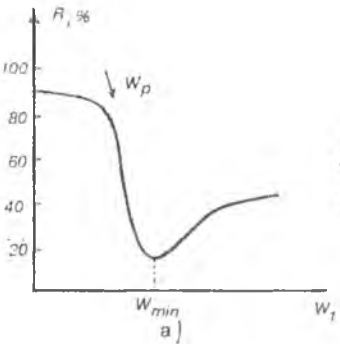
Эркин заряд ташувчилар концентрациясининг эффектив массасига нисбати қуйидаги

$$\frac{N}{m_n} = \frac{\pi c^2}{e^2} \frac{\varepsilon_\infty}{\lambda_p} \quad (3.52)$$

тенглама ёрдамида ҳисоблаб топилади. Демак,  $R(\lambda)$  орқали намуна параметрларини аниқлашнинг биринчи босқичида  $\lambda_p$  ва  $a$  — параметрлар аниқланади. Бунинг учун ЭХМ да берилган

$$\varepsilon_\infty \{5(CdS), 8,5(GaAs), 10,5(GaP), 11,7(Si) 16(Ge)\}$$

$a$ -ни 0 дан 25 гача,  $b$ -ни 0,5 дан 2,5 гача бўлган оралиқдаги қийматларида қайтиш коэффициентининг спектри



3.4-расм. Яримұтқазгичли намунада концентрациянинг маълум қийматида қайтиш спектри (а), плазма частотанинг қайтиш коэффициентининг минимал қийматига боғланиши (б).

ҳисобланади. Кремний учун ( $\epsilon_{\infty} = 11,7$ )  $R(\omega)$  ни ҳисоблаш натижалари 3.4а-расмда келтирилган. Расмдан күриниб турибдикі, частота ортиши билан ютилиш коэффициенти маълум бир частота ( $\omega_p$ ) дан бошлаб кескин камаяди,  $\omega_p$ -га яқын соҳада минимумга эришади, сўнг оҳиста ортиб боради.

Ёргулукнинг плазма частотаси  $\omega = \omega_p$  да намуналарда ютилиш ҳодисаси плазма-резонанс деб юритилади. Плазма-резонанс спектри бўйича яримұтқазгичлар параметрини аниқлашнинг бир қанча усуслари яратилган.  $R(\omega)$  дан маълумки, плазма-резонанс қисқа тўлқин узунлик соҳасида ( $\lambda < \lambda_{min}$ ) ва  $b > 1$  да  $b$  қанча катта бўлса, қайтиш коэффициентига  $a$ -параметр шунчак кам таъсир қиласи, у қайтиш спектрининг  $b = 1$  соҳасида сезиларли таъсир кўрсатади. Параметр  $a$  нинг камайиши билан заряд ташувчилар концентрацияси ва қайтиш коэффициентининг минимумдаги қиймати  $R_{min} \sim m_p^2 / 4N$  ортиб боради, минимуми қисқа тўлқин узунлик соҳасига силжийди, минимуми ёйилиб, камроқ аниқлик билан (аниқланади) намоён бўлади. Демак, плазма-резонанс минимумининг спектрал ҳолати заряд ташувчилар концентрациясига боғлик. Берилган  $\epsilon_{\infty}$  учун ёргулукнинг қайтиш спектри бўйича  $R_{min} = f(b_{min})$  ва  $R_{min} = f(a)$  лар ҳисобланади (3.4б-расм). Кейинги босқичда назарий ҳисобланган  $R(\omega)$  спектри таж-

рибада аниқланган  $R(\omega)$  боғланишга солиширилади. Назарий ҳисобланган  $R(\omega)$  ёки  $R(\lambda)$  ни танлашда бошлангич параметрлар сифатида кристаллнинг юқори частотали диэлектрик сингдирувчанлиги  $\epsilon_{\infty}$  ҳамда  $R(\lambda)$  нинг минимумга эришган  $\lambda_{\min}$  түлқин узунлиги  $R(\lambda_{\min})$  олинади. Юқоридаги расмларда келтирилган  $R(b_{\min})$  ва  $R_{\min}(a)$  каби боғланишлардан  $b_{\min}$  ва  $a$  параметрлар аниқланади, сўнг

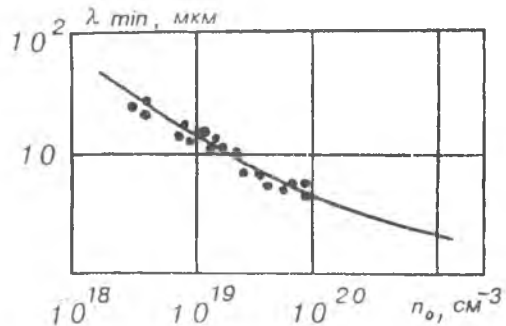
$$\lambda_p = \lambda_{\min} \cdot b_{\min} \quad (3.53)$$

ҳисоблаб топилади. Топилган  $a$ ,  $\lambda_p$  — параметрларни билган ҳолда,  $\sigma_0$ ,  $\langle\tau\rangle$ ,  $N/m$  — аниқланади. Шуни таъкидлаш керакки,  $R(\lambda)$  ни ҳисоблашга кирган, тажрибадан аниқланадиган катталиклар,  $R_{\min}$ ,  $\lambda_{\min}$  кристаллнинг ҳажмий хоссаларидан ташқари, уларнинг сирт ишловига ҳам боғлиқ. Текширишларнинг кўрсатишича, яrimўтказгич сиртига механик ишлов беришда, яъни силлиқлашда сирт қатлами деформацияланади. Механик сайқал бериш яъни силлиқлаш ва ялтиратиш билан бу деформацияни йўқотиши мумкин эмас.

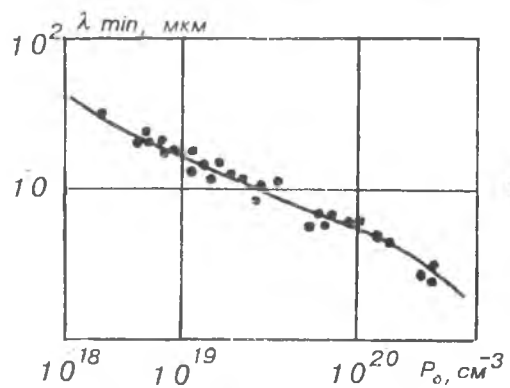
Қайтиш коэффициенти спектрининг худди ўзидаёттада таъорланишига фақат сирт қатламини кимёвий едириш ва сайқал бериш орқали эришилади. Одатда амалиётда заряд ташувчилар концентрациясини ўлчашда концентрацияси маълум бўлган намуналар асосида аниқланган  $N(\lambda_{\min})$  боғланишдан, яъни плазма-резонанснинг калиброрка (даражалаш) чизигидан фойдаланиб топилади (3.5-расм). 3.1-жадвалда кремний ва *GaAs* яrimўтказгичлари эмперик боғланишларининг аналитик ифодаси келтирилган.

Заряд ташувчилар концентрацияси  $N$  ни плазма-резонанс усули билан аниқлашнинг хатолиги  $\lambda_{\min}$  ни ўлчаш аниқлигига ва калиброрка чизигининг  $R(\lambda_{\min})$  оралиқ хатолигига боғлиқ.  $\lambda_{\min}$  ни ўлчашнинг мунтазам хатоликларининг ташкил этувчилари спектрал асбоблар түлқин узунлиги бўйича градуировка хатолигидан ва қайтиш спектри минимумининг кескинлиги билан боғлиқ бўлган тасодифий хатоликлардан иборат.

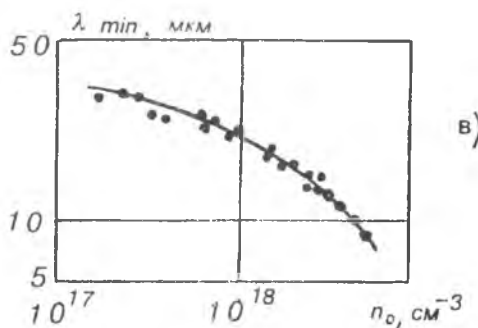
Заряд ташувчилар концентрациясининг камайиши билан плазма-резонанс минимумининг кенглиги ўсади



a)



б)



в)

3.5-расм.  $\lambda_{\min}$  ни заряд ташувчилар концентрациясига боғланиши:  
а)  $n$ -типдаги кремний учун, б)  $p$ -типдаги кремний учун,  
в)  $n$ -типдаги GaAs учун.

шунинг учун  $\lambda_{\min}$  ни ўлчашдаги тасодифий хатолик ва концентрацияни аниқлашдаги хатоликлар ортади. Статистик текширишларнинг кўрсатишича, заряд ташувчилар концентрацияси  $10^{20}$  дан  $10^{18} \text{ см}^{-3}$  гача камайганда, ишонч оралиғи 0,95 бўлган аниқликда ўлчашнинг тасодифий хатолиги  $n$ -тип кремний учун  $\pm 10\%$  дан  $50\%$  гача ортади. Галлий арсенид концентрациясини  $10^{19}$  дан  $10^{17} \text{ см}^{-3}$  оралиқда ўлчашнинг тасодифий хатолиги  $\pm 10\%$  дан  $80\%$  гача ортади.

### 3.1-жадвал

Материал	$\lambda_{\min}$ — эмперик ифодаси	концентрация оралиғи, $\text{см}^{-3}$	Апроксимация хатолиги %
<i>Si</i>			
<i>n</i> -тип	$\lambda_{\min} = 3,2908 \cdot 10^{11} \times n^{-0,5451} + 1,8153$	$1,5 \cdot 10^{18} \dots 1,5 \cdot 10^{21}$	2,4
<i>p</i> -тип	$\lambda_{\min} = 1,2125 \cdot 10^{15} \times p^{-0,7370} + 3,184$	$3 \cdot 10^{18} \dots 1 \cdot 10^{20}$	0,8
<i>GaAs</i>	$\lambda_{\min} = 8,4172 \cdot 10^2 \times n^{-0,08125}$	$1,5 \cdot 10^{17} \dots 6 \cdot 10^{17}$	0,5
<i>n</i> -тип	$\lambda_{\min} = 4,1584 \cdot 10^7 \times n^{-0,3451}$	$6 \cdot 10^{17} \dots 2,5 \cdot 10^{18}$	—
галлий арсенид	$\lambda_{\min} = 1,7231 \cdot 10^{10} \times n^{-0,4875}$	$2,5 \cdot 10^{18} \dots 1 \cdot 10^{19}$	—

Юқорида ёритилган усул билан бир жинсли, қўпқатламли намуналарнинг электрофизик хоссаларини аниқлаш заряд ташувчилар концентрацияси ва ҳаракатчанигини ўлчашга имкон беради. Намуна сиртининг алоҳида олинган соҳаларида ўлчов ўтказиш мумкин, шунингдек уларни ҳар хил технологик мақсадларда қўллаш мумкин.

*в) Заряд ташувчилар концентрациясини Фарадей эффекти билан ўлчаш усули*

Ясси (чизиқли) қутбланган ёруғлик доимий магнит майдонига жойлаштирилган намунадан майдон йўнали-

ши бўйича ўтганида унинг қутбланиш текислигининг бурилиши Фарадей эффицити ва бурилиш бурчагини Фарадей бурчаги  $\varphi_F$  деб аталади.

Оптика курсидан маълумки, ясси қутбланган ёруғликнинг электр майдон кучланганликлари соат мили бўйича (ўнг) ва унга тескари йўналишда айланувчи (чап) айланма қутбланган икки тўлқин суперпозиция (йифинди)сидан иборат деб қараш мумкин. Магнит майдонида муҳитнинг нур синдириш кўрсаткичи бу тўлқинлар учун икки хил ( $n_+$ ,  $n_-$ ) бўлади, шунинг учун улар ҳар хил фазовий тезликлар  $V_+ = \frac{C}{n_+}$ ,  $V_- = \frac{C}{n_-}$  билан тарқалади ва натижада улар орасида фаза фарқи  $\theta$  вужудга келади, бунинг оқибатида ясси чизиқли қутбланган ёруғлик намунадан чиқсан чоғида қутбланиш текислиги  $\varphi_F$  — бурчакка бурилади. Бурилиш бурчаги қуйидаги ифода билан аниқланади.

$$\varphi_F = \frac{\theta}{2} = \frac{\pi l(n_- - n_+)}{\lambda} = \frac{\omega l}{2c}(n_- - n_+) \quad (3.54)$$

Бу ерда:  $l$  — намуна узунлиги,  $\lambda$  — ёруғликнинг вакумдаги тўлқин узунлиги,  $n_+$  ва  $n_-$  мос равишда — ўнг ҳамда чап айланма қутбланган ёруғлик учун нур синдириш кўрсаткичлари.

Борди-ю, Фарадей эффицити эркин заряд ташувчилар билан боғланган бўлса, уларнинг ҳаракати нуқтаи назаридан қараганда, Фарадей эффицитини Холл эффицити деб қараш мумкин: заряд ташувчилар ёруғлик тўлқини электр майдон кучланганлиги таъсирида ташқи магнит майдонга тик йўналишда ҳаракатланади. Борди-ю, заряд ташувчилар ўзгармас магнит майдонга нисбатан қандайдир бурчак билан ҳаракатланса, уларнинг траекторияси магнит майдон йўналишида спирал кўринишда бўлади.

Заряд ташувчилар айланма частотасининг циклатрон резонанси частота  $\omega_c$  деб юритилади. Циклатрон частота заряд ташувчиларнинг эффицитив массаси ва магнит майдон индукциясига боғлиқ бўлиб, электрон учун  $\omega_{cn} = eB/m_n$ , кавак учун эса  $\omega_{cp} = eB/m_p$  билан аниқланади.

Фарадей бурчаги ишораси электрон ва кавак учун ҳар хил бўлиб, у ёруғликнинг доимий магнит майдон индук-

цияси векторига нисбатан қандай йұналишда тарқалишига боғлиқ. Агар магнит майдон индукцияси бүйіча тарқалаётган ёруғликнинг қутбланиш текислиги соат мили бүйіча бурилса, Фарадей бурчаги мусбат деб ҳисобланади. Күчсиз магнит майдонида  $\mu^2 B^2 \ll 1$  ва  $\omega^2 r^2 \gg 1$ ,  $n_- + n_+ = 2\bar{n}$  шартлар бажарылғанда, Фарадей бурчагининг (3.54) ифодаси  $n$  — тип намуналар учун

$$\varphi_F = \frac{e^2 \lambda^2 B \cdot l \cdot N}{2\pi^2 c^3 \epsilon_0 m_n \bar{n}} \quad (3.55)$$

күринишни олади. Бу ерда  $\bar{n}$  — магнит майдон индукцияси йүқ ( $B=0$ ) бұлғандаги нур синдириш күрсаткичи. (3.55) теңгламадан күринадыки, әркін заряд ташувчилар вужудға келтирған қутбланиш текислигининг бурилиш бурчаги заряд ташувчилар концентрацияси  $N$  га, ёруғлик түлқін узунлигининг квадрати  $\lambda^2$  га, намуна узунлиги  $l$  га, магнит майдон индукцияси  $B$  га пропорционал булып, сочилиш механизміга боғлиқ әмас. Агар үлчов ёруғликнинг инфрақизил түлқін узунлиги соҳасыда үтказилса, релаксация вақтини чегараловчи  $\omega^2 r^2 \gg 1$  шарт бажарылади намунада тарқалаётган ёруғлик намуна ичида қайта-қайта қайтиши сабабли унинг оптик йүли узаяди ва Фарадей бурчагининг  $\varphi_F$  ортишига олиб келади. Бунда Фарадей бурчаги  $\varphi_F$  намуна ичида ёруғликнинг қайта-қайта қайтишидан содир бұлған  $\varphi'_F$  бурчак орқали боғланиши күйидаги ифода билан аниқланади.

$$\varphi_F = \varphi'_F [1 + 2R^2 \exp(-\alpha d) \cos 4\varphi'_F]^{-1} \quad (3.56)$$

(3.55) теңгламадан күриниб турибиди, агар намунада нур синдириш күрсаткичи, заряд ташувчилар концентрацияси маълум бўлса, заряд ташувчиларнинг эффектив масасини аниқлаш мумкин ёки эффектив массаси маълум бўлса, заряд ташувчилар концентрациясини топиш мумкин.

Заряд ташувчилар эффектив масасини аниқлаш усули сифатида Фарадей айланишининг құлланишини чекловчи бир қанча омиллари мавжуд. Масалан, анизагроп массали намуналарда үлчанаётган эффектив масса ўрта-

ча қийматни беради. Күп яримұтказгичларда валент зонаси экстремуми айниган бўлиши  $p$ -тип яримұтказгич материалларида ўлчов натижаларини изоҳлашни мураккаблаштиради.

Агарда заряд ташувчиларнинг эффектив массаси заряд ташувчилар концентрациясига боғлиқ бўлса, заряд ташувчилар концентрацияси  $m^*$  — ўзгармас соҳасида Фарадей бурчагини ўлчаш билан топилади. Масалан, GaAs да эффектив массанинг концентрацияга боғлиқлигини  $N < 10^{18} \text{ см}^{-3}$  да инобатга олмаслик мумкин.

$\omega^2\tau^2 \ll 1$  соҳада ҳам Фарадей эффективидан заряд ташувчилар концентрациясини аниқлаш мумкин. Фарадей эффективи билан намуналарда заряд ташувчиларнинг нотекис тарқалишига боғлиқ бир жинсда эмаслиикнинг тақсимотини ўрганишда юпқа намуна сиртининг кичик соҳаси ясси қутбланган нур билан (маҳаллий) кетма-кет ёритилади. Ясси чизиқли қутбланган ёруғлик намуна билан ёруғлик манбай орасига поляризаторни жойлаштириш билан олинади. Поляризатор сифатида кўпинча Николь призмаси қўлланилади. Фарадей бурчагини ўлчаш учун намуна билан фотоқабулқилгич орасига поляризатор (Николь призмаси) жойлаштирилади ва у анализатор деб номланади. Бурилиш бурчаги  $\varphi_F$  анализаторни фотоқабулқилгичда энг катта сигналга эришгунча айлантириб топилади.

Спектрнинг инфрақизил соҳасида  $\lambda = 2 \text{ мкм}$  да Фарадей бурчагини ўлчашда (3.55) ифодани қўллаш шарти магнит майдонининг индукция вектори  $B = 1 \text{ Тл}$  бўлганда бажарилади, чунки концентрацияси  $N = 10^{15} \text{ см}^{-3}$  бўлган галлий арсенид намунаси учун қалинлиги  $l = 1 \text{ мм}$ ,  $\lambda = 10 \text{ мкм}$ ,  $B = 1 \text{ Тл}$  бўлганда, магнитооптик бурилиш бурчаги  $\varphi_F = 0,1^\circ$  бўлади.  $\varphi_F$ -ни ўлчашнинг аниқлигини ошириш учун у магнитнинг икки йўналишида ўлчанади ва

$$\sin 2\varphi_F = (I_1 - I_2) / (I_1 + I_2) \quad (3.57)$$

билин аниқланади. Бу ерда  $I_1$  ва  $I_2$  — фотоқабулқилгичда олинган энг катта ва энг кичик ёруғликнинг интенсивлигига пропорционал бўлган электр сигналдир.

Эркин заряд ташувчилар билан боғланган Фарадей эффективидан ташқари, зоналараро Фарадей эффективи ҳам

содир бўлиши мумкин. Фотоннинг энергияси тақиқланган зона кенглигига яқин соҳасида қутбланиш текислигининг бурилиши бу икки эффект билан пайдо бўлади. Заряд ташувчилар концентрацияси кичик бўлган намуналарда ва тўлқин узунлиги кичик бўлган соҳада зоналар-аро Фарадей эффициентини ҳисобга оладиган тузатиш коэффициентини киритиш керак бўлади. Бунинг учун Фарадей бурчаги  $\varphi_f$  нинг қиймати юқори Омли намуналарда ўтказилади. Фарадей эффициентини ўлчашда эластик механик кучланишлар хатолик манбалари сифатида хизмат қиласи. Бу нурнинг иккига ажралиш синиш ҳодисасига олиб келади, бунинг оқибатида намунага тушаётган ясси қутбланган тўлқин намунадан ўтганда, эллиптик қутбланиди. Фарадей эффекти кўп материалларда ўлчангандан бошқа усуllар натижалари билан солиштирилган. Бу эффект ёрдамида  $n$  — тип индий антимонидда ўтказувчан зонанинг параболик эмаслигини тасдиқловчи, электрон эфектив массасининг заряд ташувчилар концентрацияси ва намуна температураси билан ўсувчи функция бўлишилиги кўрсатилган. Яримутказгич намуналарнинг биржинсликка тез миқдорий ва сифатий жиҳатдан текшириш натижаларини телевизор экранида қайд қиласиди, Фарадей эффектига асосланган автоматик қурилмалар яратилган.

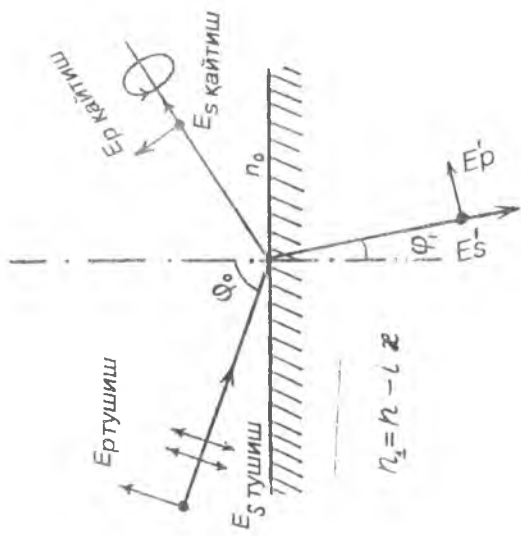
### 3.4 §. Эллипсометрия усули

Усуулнинг моҳияти.

Охирги йилларда илмий-тадқиқот институтларида ҳозирги замон микроэлектроника саноатида бир жинсли ва бир жинсли бўлмаган материалларнинг (диффузион, эпитаксиал қатламли структуралар) параметларини контактсиз ўлчаш, назорат қилиш усуулларидан бири бўлган эллипсометрия усули кенг кўлланилмоқда. Эллипсометрия усули қутбланган ёруғликни, текширилаётган намуна билан ўзаро таъсирлашиши туфайли, ундан қайтганда қутбланиш ҳолатининг ўзгаришини аниқлашга асосланган. Чизиқли қутбланган ёруғликнинг намунадан қайтгандаги қутбланиш ҳолатининг ўзгариши таъсирлашаётган намунанинг ҳажмий хусусиятларига, сиртнинг хосса-

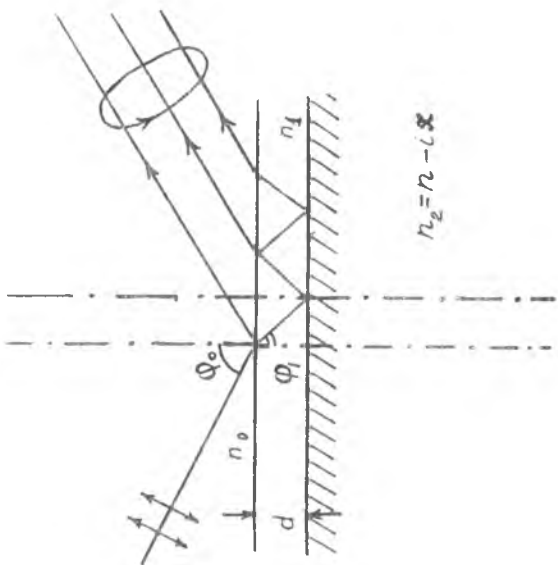
3.6-расм. Эпитаксиал қатламсиз (а), эпитаксиал қатлами (б), яримүтказгич намуна сиртидан қайтгау чизикли кутбланған ёруйникнинг (нурнинг) йили.

а)



$$n_2 = n - l \alpha$$

б)



$$n_2 = n - l \alpha$$

си ва структурасига боғлиқ. Ҳозирги замон эллипсо-метрия усули асосан қайтган нурни таҳлил қилишга асосланган.

Чизиқли қутбланган ёруғликнинг бир жинсли ва эпитетаксиал қатламли намуналардан қайтиши 3.6-расмда келтирилган. Яримұтказгичларда нур синдириш күрсаткичи комплекс бўлиши туфайли, чизиқли қутбланган ёруғлик намунадан қайтганда  $P$  ва  $S$  ташкил этувчилари орасида фаза фарқи пайдо бўлади, электр майдон кучланганларини үзгаради ва электр майдон кучланганлиги векторининг охири (учи) тарқалиш йўналишига тик бўлган текисликда эллипс чизади, бошқача айтганда, қутбланган ёруғлик ўтказувчан намунадан қайтганда эллиптик қутбланади. Эпитаксиал структуralарда эса ҳаво эпитетаксиал қатлам ва эпитетаксиал қатлам таглик чегараларидан қайтган нурлар орасида қўшимча фаза фарқи вужудга келади. Намунадан қайтган эллиптик қутбланган ёруғлик ҳолати одатда иккита эллипсометрик параметрлар ( $\psi$  ва  $\Delta$ ) билан, бошқача айтганда, қутбланиш бурчаклари орқали аниқланади. Бу параметрлар қайтган эллиптик қутбланган нурнинг тарқалиш йўналишига тик текисликдаги шаклини ва қандай йўналишда эканлигини кўрсатади. Параметр  $\psi$  бурчак тушаётган ва қайтаётган нурларнинг  $P$  ва  $S$  ташкил этувчилари электр майдон кучланганларини амплитудаларининг ўзаро нисбати, яъни қайтиш коэффициентлари нисбати билан аниқланади:

$$\operatorname{tg} \psi = \frac{(E'_{P_{\text{каи}}} / E'_{P_{\text{каи}}})}{(E_{P_{\text{түш}}} / E_{S_{\text{түш}}})} = \frac{|r_P|}{|r_S|} \quad (3.58)$$

бу ерда:  $S$  — (индекс-кўрсаткич) — тушиш текислигига тик текисликда чизиқли қутбланган ёруғликни,  $P$  — (индекс-кўрсаткич) тушиш текислигига чизиқли қутбланган ёруғликка тегишли эканлигини кўрсатади.  $r_s$ ,  $r_p$  — ёруғликнинг  $S$  ва  $P$  — ташкил этувчилари учун қайтиш коэффициенти. Намунага тушаётган ёруғлик чизиқли қутбланган деб фараз қилинади, яъни тушаётган ёруғликнинг  $P$  ва  $S$  — ташкил этувчилари фазалари бир-бирига тўғри (мос) келади. Ўз навбатида, ёруғликни  $P$  ва  $S$  — ташкил этувчиларининг (3.58) ифодадаги комплекс қайтиш коэффициентлари нисбати билан аниқланади:

эффициентлари нисбати қуйидагича ифодаланиши мумкин.

$$\frac{r_P}{r_S} = \frac{|r_P|}{|r_S|} e^{i(\delta_P - \delta_S)} = e^{i\Delta} \operatorname{tg} \psi \quad (3.59)$$

Бу эллипсометрияның асосий тенгламасыдир.  $r_P$  нинг  $r_S$  га нисбати  $n_2, \chi_2, n_1, d_1, \lambda, \varphi_0$  параметрларнинг функциясыдир.

Иккинчи эллипсометрик параметр  $\Delta$

$$\Delta = \delta_{P\text{қайтиш}} - \delta_{S\text{қайтиш}} = \delta_P - \delta_S \quad (3.60)$$

га тенг бўлиб, у намуна сиртидан ёруғликнинг қайтиши сабабли пайдо бўлган  $P$  ва  $S$  — ташкил этувчилари орасидаги фаза фарқини кўрсатади. Меномики ёруғликнинг поляризация ҳолати фақат иккита параметр билан аниқланар экан, битта тушиш бурчагига ( $\varphi_0$ ) мос келган билан ўлчашдан ҳам иккита параметрни аниқлаш мумкин. Қалинлиги  $d_1$  бўлган эпитаксиал плёнкали гомоэпитаксиал структуралар учун (3.59) тенглама қуйидаги кўринишни олади.

$$\operatorname{tg} \psi e^{i\Delta} = \frac{r_{1P} + r_{2P} e^{-2\delta_i}}{1 + r_{1P} \cdot r_{2P} e^{-2\delta_i}} = \frac{1 + r_{1S} \cdot r_{2S} e^{-2\delta_i}}{r_{1S} + r_{2S} e^{-2\delta_i}} \quad (3.61)$$

Бу ерда  $r_{1P}, r_{1S}, r_{2P}, r_{2S}$  — ҳаво-плёнка, плёнка-таглик чегараларидан ёруғликнинг мос равища  $P$  ва  $S$  — ташкил этувчилари учун Френель қайтиш коэффициентлари,  $\delta$  — ёруғликнинг қалинлиги  $d_1$  бўлган эпитаксиал қатламдан ўтища вужудга келган фаза ўзгариши (градусларда):

$$\delta = \left( 300 \frac{d_1}{\lambda} \right) (n_1^2 - \sin^2 \varphi_0)^{\frac{1}{2}} \quad (3.62)$$

Маълумки, чизиқли қутбланган ёруғликнинг  $P$  ва  $S$  компоненталари учун диэлектрик сингдирувчанликлари

$$\sqrt{\varepsilon_1} = n_1 - i \chi_1 \quad \text{ва} \quad \sqrt{\varepsilon_2} = n_2 - i \chi_2$$

бүлган икки ўтказувчан мұхит чегарасидан Френель қайтиш коэффициентлари

$$r_{01S} = \frac{\sqrt{\varepsilon_0} \cos \varphi_0 - \sqrt{\varepsilon_1} \cos \varphi_1}{\sqrt{\varepsilon_0} \cos \varphi_0 + \sqrt{\varepsilon_1} \cos \varphi_1}, \quad r_{01P} = \frac{\sqrt{\varepsilon_1} \cos \varphi_0 - \sqrt{\varepsilon_0} \cos \varphi_1}{\sqrt{\varepsilon_1} \cos \varphi_0 + \sqrt{\varepsilon_0} \cos \varphi_1}$$

$$r_{12S} = \frac{\sqrt{\varepsilon} \cos \varphi_1 - \sqrt{\varepsilon_2} \cos \varphi_2}{\sqrt{\varepsilon_1} \cos \varphi_1 + \sqrt{\varepsilon_2} \cos \varphi_2}, \quad r_{12P} = \frac{\sqrt{\varepsilon_2} \cos \varphi_1 - \sqrt{\varepsilon_1} \cos \varphi_2}{\sqrt{\varepsilon_2} \cos \varphi_1 + \sqrt{\varepsilon_1} \cos \varphi_2}$$

ифодалар билан аниқланади. Бу ерда  $\varphi_0$  — ёруғликтининг тушиш бурчаги,  $\varphi_1$  — эпитаксиал қатламдаги синиш бурчаги,  $\varphi_2$  — тагликдаги синиш бурчаги.

$$\cos \varphi_1 = \sqrt{1 - \frac{\varepsilon_0}{\varepsilon_1} \sin^2 \varphi_0}; \quad \cos \varphi_2 = \sqrt{1 - \frac{\varepsilon_0}{\varepsilon_2} \sin^2 \varphi_0}$$

Модомики,  $r_{1S}$ ,  $r_{1P}$  ва  $e^{-2i\delta}$  — комплекс катталиклар ( $r_{1S}$ ,  $r_{1P}$  — ҳақиқий катталиклар (чунки  $\chi_1=0$ ) экан, (3.61) ифода ҳам комплекс бўлади. Ҳақиқий ва мавҳум қисмларини ажратиб,  $\psi$  ва  $\Delta$  ларнинг оптик константалари  $n_2$ ,  $\chi_2$  — бўлган тагликка ўтказилган эпитаксиал қатлам қалинлигига боғланишини аниқлаш мумкин, яъни:

$$\operatorname{tg} \psi = \sqrt{\Phi_1^2 + \Phi_2^2}; \quad \operatorname{tg} \Delta = \frac{\Phi_2}{\Phi_1} \quad (3.63)$$

$\Phi_1$  ва  $\Phi_2$  лар эллипсометрия асосий тенгламасининг ҳақиқий ва мавҳум қисмларидир:

$$\Phi_1 = \Phi_2(n_0, \lambda_1, \varphi_0, d_1, n_1, n_2, \chi_1, \chi_2)$$

$$\Phi_2 = \Phi_2(n_0, \lambda, \varphi_0, d_1, n_1, n_2, \chi_1, \chi_2)$$

Бурчаклар ( $\psi$  ва  $\Delta$ ) ни ўлчаб, (3.63) тенгламаларни бирга ечиб қайтган тизимида исталган иккита ноаниц параметрни аниқлаш мумкин. Демак, эллипсометрияниянг амалий масалалари  $nn^+$ ,  $pp^+$  эпитаксиал структураларда эпитаксиал қатлам қалинлиги ҳамда тагликдаги заряд ташувчи-

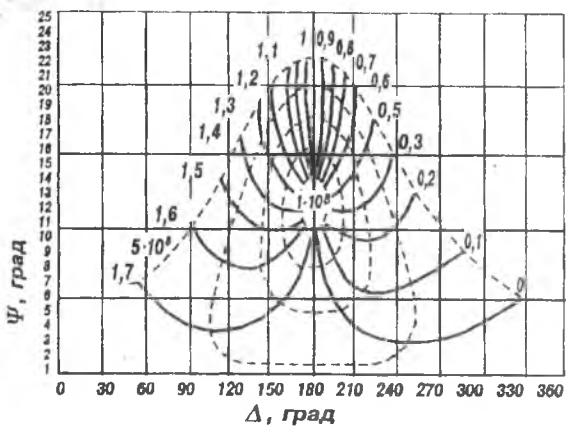
лар концентрациясини, бир жинсли материалларда эса заряд ташувчилар концентрациясини ёки солишишторма қаршиликни аниқлашга олиб келади. Инфрақизил эллипсометрия усули биринчи марта  $nn^+$  типидаги кремний ва  $pp^+$  типидаги германий структураларида эпитаксиал қатлам қалинлигини  $1+10$  мкм оралықда назорат қилишда құлланилган. Тұлқин узунлиги 10,6 мкм бүлгаптап өруғликда кремний ва галлий арсенид эпитаксиал қатламларининг қалинлиги  $CO_2$  лазер асосида яратылған саноат эллипсометрида үлчаш (назорат қилиш) кенг тарқалған. Өруғлик нинг бу тұлқин узунлик соңасидағы тоза яримүтказгичлар тиник (шаффоф) бүлади, легирланған яримүтказгичларда өруғликнинг ютилиш механизми асосан әркін заряд ташувчиларда ютилиши билан аникланади. Шунинг учун өруғликнинг инфрақизил соңасида микроэлектроникада кенг тарқалған  $nn^+$ ,  $pp^+$  кремний, галлий арсенид типидаги ва башқа материалларнинг гомоэпитаксиал структураларини шаффоф (тиник), эпитаксиал қатлам, өруғликни ютувчи тагликдан иборат структура деб қараң мүмкін. Яримүтказгичлар оптик константалари дисперсиясининг классик назариясига мувофиқ

$$n_2^2 - \chi_2^2 = \epsilon_{\infty} - \frac{4\pi/\rho}{1 + 4\pi^2 c^2 \tau^2 \lambda^{-2}} \quad (3.64)$$

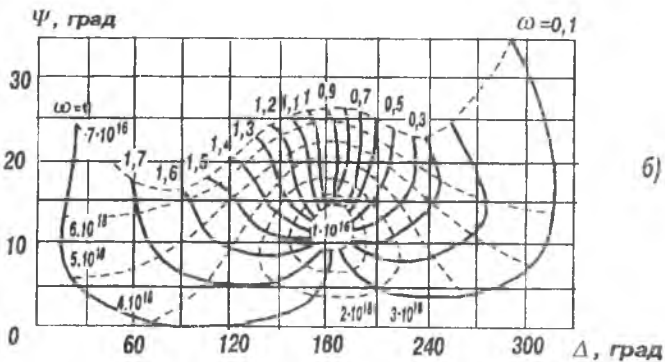
$$\chi_2 n_2 = \frac{\lambda / \rho}{1 + 4\pi^2 c^2 \tau^2 \lambda^{-2}} \quad (3.65)$$

ифодалар олинған. Бу ерда,  $n_2$  — тагликнинг нур синдириш күрсаткычи,  $\chi_2$  — экстенция коэффициенти,  $\epsilon_{\infty}$  — кристалл панжара диэлектрик сингдирувчанлиги,  $\tau$  — релаксация вақты,  $\rho$  — солишишторма қаршилик.

Яримүтказгичларнинг оптик константалари заряд ташувчилар концентрацияси, релаксация вақти орқали (3.63) ва (3.64) муносабатлар билан боғланған. Солишишторма үтказувчанлик ва релаксация вақти, ҳар хил заряд ташувчилар концентрацияси учун, Ирвин  $\rho=f(N)$  диаграммасидан топилади. Эпитаксиал қатламнинг қалинлиги ва таглик концентрациясининг керакли соңасида эллипсометрик параметрлар ( $\psi$  ва  $\Delta$ ) ЭХМ да ҳисобланади ва ҳисоблаш



a)



б)

3.7-расм. Эпитаксиал қатлам-таглик чегараси кескин бүлгандык  $nn^+$ -типдаги GaAs эпитаксиал структуранинг қалинлиги  $d=0,3$  мкм бүлгандык чизиқли оралық ўтиш қатлами ҳисобга олинган хол учун,  $\varphi-\Delta$  номограммаси (а),  $nn^+$ -тип GaAs структурали тагликдагы электронлар концентрацияси ва эпитаксиал қатлам қалинлигини анықлаш  $\varphi-\Delta$  номограммаси (б).

натижалари ва  $\Delta$  координаталарида номограмма күринишида көлтириләди.  $\psi$  ва  $\Delta$  лар қалинликкүннөн даврий функцияси бүлгани учун, берилген заряд ташувчилар концентрациясида  $\psi$  ( $\Delta N_2$ ,  $d_1$ ) боғланиш ёпиқ эгри чизиқдан иборат бүләди. Тажрибада ўлчанған ҳар бир жуфт  $\psi$  ва  $\Delta$  параметрлар номограммаларида тагликни қандайдыр за-

ряд ташувчилар концентрациясига, эпитаксиал қатлам қалинлигига мөс келган даврий эгри чизикда ётган нүкта түгри келади. 3.7-расмда эпитаксиал қатлам-таглик чегараси кескин бўлган  $pp^+$  типидаги *GaAs* эпитаксиал структурасининг номограммаси келтирилган. Кўп ҳолларда эпитаксиал структуралар юқори температураларда олинади, бунинг натижасида диффузия, автолегирлаш жараёнлари содир бўлиб, чегаранинг кескинлик шарти бузилади ва эпитаксиал қатлам-таглик чегарасида оралиқ ўтиш қатлами пайдо бўлади. Текширишларнинг кўрсатишича, агар киришма атомларининг қалинлик бўйича тақсимоти маълум бўлса (масалан, чизиқли), бу оралиқ ўтиш қатлами нинг таъсирини  $\psi - \Delta$  номограммани ҳисоблашда эътиборга олиш мумкин. Бунда эллипсометрия тенгламасига қўшимча параметр  $d_0$  — оралиқ ўтиш қатлам қалинлиги киритилади. Бу параметр маълум бўлса, масалан, тагликда заряд ташувчилар концентрацияси маълум бўлса, у ҳолда эллипсометрик ўлчовлар эпитаксиал ва оралиқ ўтиш қатламлар қалинликларини аниқлашга имкон беради. Агар оралиқ ўтиш қатлами қалинлиги технологик жиҳатдан такрорланувчан катталик бўлса, у вақтда уни эллипсометрик номограммани ҳисоблашда эътиборга олиш мумкин. 3.7a-расмда қалинлиги  $d_0 = 0,3$  мкм бўлган чегаравий оралиқ ўтиш қатлами нинг ҳисобга олинган эллипсометрик номограммаси келтирилган.

### *Кутбланиш бурчаклари $\psi$ ва $\Delta$ ни тажрибада аниқлаш*

Чизиқли кутбланган ёруғликни таҳлил қилиш, яъни эллипсометрия параметрларини аниқлаш курилмаси қўидаги асосий қисмлардан иборат бўлади: ёруғлик манбай, поляризатор, анализатор, чорак тўлқин узунлик пластина (компенсатор) фотоқайдқилгич, модулятор, кучайтиргич. Лазерларнинг интенсивлиги спектрофотометр ёруғлик манбаларига нисбатан катта бўлгани учун, сўнгги йилларда улар эллипсометрларда ёруғлик манбай сифатида ишлатилмоқда. Саноатда улар асосида ҳар хил тўлқин узунлик соҳасида ишлайдиган эллипсометрлар, эллипсометрик микроскоплар (УИТ—ТЭС, ЭИ—09, ИТ—1, 7—0031; ЛЭМ—2, ЛЭМ—3, ЛЭФ—3М ва бошқалар) ишлаб чиқарилади.

Табиий ёруғликдан чизиқли кутбланган ёруғлик олишда поляризатор қўлланилади, анализатор поляризатор каби

ишилайди ва компенсатордан ўтган қутбланган ёруғлики таҳлил қилишга хизмат қиласди. Фақат чизиқли поляризатор ва анализатор орқали қисман қутбланган ёруғликини эллиптик қутбланган ёруғликтан ажратиб бўлмайди, чунки анализаторни оптик ўқ атрофида айлантирганда, икки ҳолда ҳам ёруғликининг интенсивлиги ўзгаради, интенсивликнинг максимум қийматини минимумга нисбати бир ҳил бўлиши мумкин. Бу нисбат айланана бўйлаб қутбланган ёруғлик учун ҳам, табиий ёруғлик учун ҳам бирга тенг бўлади. Буларни бир-биридан ажратиш (фарқлаш) учун эллиптик қутбланган нур анизатропик кристалдан ясалган пластина (компенсатор) дан ўтказилиб, унинг ортогонал ташкил этувчилари орасида шундай фаза фарқи ҳосил қилиш мумкинки, бунда эллиптик қутбланган ёруғлик чизиқли қутбланган нурга айлансин. Бу ҳодиса анализаторда кузатилади ва таҳлил қилинади. Компенсатор сифатида икки ўқли кристалларда бош ўқига параллел қилиб қирқиб олинган кварц, слюда, исланд шпати,  $CdS$  — монокристалл пластиналари қўлланилади. Агар компенсатор пластинасига кираётган чизиқли қутбланган ёруғликининг электр майдон кучланганлиги вектори кристалнинг оптик ўқига нисбатан  $45^\circ$  бурчак остида тушса, у ҳолда оддий ва файриоддий нурларнинг интенсивликлари бир ҳил бўлади. Агар пластина қалинлиги

$$\frac{\pi}{2} = 2\pi d(n_0 - n_H)/\lambda$$

шартни қаноатлантируса, у ҳолда компенсатордан чиқсан нур айланана бўйлаб қутбланган ёруғлика айланади. Оддий ва файриоддий нурлар орасидаги нурлар  $\left(\frac{\pi}{2}\right)$  га тенг фаза фарқи пайдо қиласдиган пластина чорак тўлқин узунлик пластинаси деб юритилади.

Бу ерда,  $n_0$  — оддий нурнинг нур синдириш кўрсаткичи,  $n_H$  — файриоддий нурнинг нур синдириш кўрсаткичи. Қутбланиш бурчаклари  $\psi$  ва  $\Delta$  ни тажрибадан аниқлаш учун поляризатор ва намуна орасига уларга нисбатан ўки  $45^\circ$  бурчак остида чорак тўлқин узунликли пластина жойлаштирилади. У ўлчов давомида ўзгартирилмайди. Бу

ҳолда интенсивликнинг минимумга эришиш ҳолати фотокабулқилгич ёрдамида кетма-кет анализатор ва поляризаторларни бураб топилади. Одатда минимумни 3—4 марта кетма-кет бураш билан топиш мумкин, бу билан поляризаторни ва анализаторнинг азимут бурилиш бурчаклари аниқланади. Ўлчов одатда ўлчашнинг, яъни, анализатор азимут бурчагининг икки соҳасида бажарилади. Биринчи соҳада анализаторнинг азимут бурчаги  $0 < A_1 \leq +90^\circ$  оралиқда ўзгаради. Бу соҳада  $\Delta < 180^\circ$  да бўлса, ёруғлик минимуми поларизатор азимут бурчагининг  $-45^\circ < P < +45^\circ$  оралиғида,  $\Delta > 180^\circ$  бўлганда эса поляризатор азимут бурчаги  $45^\circ < P < 135^\circ$  оралиғида кузатилади. Анализатор азимут бурчагининг иккинчи ўзгариш соҳасида  $90^\circ < A_2 < 180^\circ$  ёруғлик минимуми поларизатор азимутини  $45^\circ < P \leq 135^\circ$  ёки  $135^\circ < P_2 < 225^\circ$  оралиғида кузатилади. Бунда  $\psi$  ва  $\Delta$  лар

$$\begin{aligned}\Delta &= P_1 + P_2 \\ \psi &= [A_1 + (180 - A_2)]/2\end{aligned}$$

ҳисоблаш формулаларидан аниқланади.

Кейинги йилларда эллипсометрик ўлчашларнинг сезигирилиги жиҳатидан юқори, ўрганиладиган материаллар доирасининг кенгайишига имкон берадиган, автоматлаштириш қулай бўлган бир қанча усуслари яратилган.

$\psi$  ва  $\Delta$  ларнинг тажрибада аниқланган қийматлари бўйича олдиндан чизилган номограммадан ёки эллипсометрия асосий тенгламаси орқали ҳисоблаб, яримутказгич намуналар оптик константаларининг электрофизик параметрлари аниқланади.

# НОМУВОЗАНАТ ЗАРЯД ТАШУВЧИЛАР ПАРАМЕТРЛАРИНИ ҮЛЧАШ УСУЛЛАРИ

## 4.1-§. Номувозанат заряд ташувчилар параметрлари

Яримұтқазгичлар ташқи таъсир остида, яни ёруғлик, ренттен,  $\gamma$  — квантлар, тезлантирилган нейтрал, зарядланган заррачалар ҳамда  $p-n$  үтиш орқали инженция, электр майдонда зарбдан ионланиш, туннел жараёнлари туфайли номувозанат заряд ташувчиларнинг пайдо бўлиши, генерацияланиши мумкин. Номувозанат заряд ташувчилар яримұтқазгич материаллари ва асбобларининг электрофизик, фотоэлектрик хоссаларини аниқлайди. Номувозанат заряд ташувчиларнинг дрейф ҳаракатчалиги ( $\mu$ ) диффузия коэффициенти ( $D$ ), диффузион узунлик ( $L$ ), яшаш вақти ( $\tau$ ), сиртий рекомбинация тезлиги ( $S$ ) каби параметрлар билан тавсифланади. Бу параметрларни аниқлаш усуллари электрон, кавак узлуксизлик тенгламаларининг баъзи бир соддалаштирувчи фаразлар билан берилган бошлангич, чегаравий шартларни қаноатлантирувчи ечимиини топишга асосланган. Яримұтқазгич намуналарда номувозанат заряд ташувчилар хусусияти (табиати, хатти-ҳаракати) қуйидаги

1. Электрон, кавак ток зичликлари

$$\gamma_n = e\mu_n n E + e\partial_n \operatorname{grad} n \quad (4.1)$$

$$\partial_p = e\mu_p p E - e\partial_p \operatorname{grad} p \quad (4.2)$$

2. Узлуксизлик

$$\frac{\partial n}{\partial z} = g_n - \frac{\Delta n}{\tau_n} + \frac{1}{e} \operatorname{div} j_n \quad (4.3)$$

$$\frac{\partial p}{\partial z} = g_p - \frac{\Delta p}{\tau_p} - \frac{1}{e} \operatorname{div} j_p \quad (4.4)$$

тenglamalari системаси ечими билан тавсифланади:  
 Бу ерда  $n = n_0 + \Delta n$  ва  $p = p_0 + \Delta p$  — номувозанат ҳолатдаги заряд ташувчилар (электрон, ковак) тұла концентрацияси  $n_0$ ,  $p_0$  — мувозанатдаги заряд ташувчилар электрон, кавак концентрацияси;  $\Delta n$ ,  $\Delta p$  — номувозанат заряд ташувчилар электрон, кавакнинг мувозанат ҳолатдагисига нисбатан ортиқча концентрацияси,  $\Delta n$ ,  $\Delta p$  — электрон, кавак диффузия коэффициентлари;  $\mu_n$ ,  $\mu_p$  — электрон, кавак ҳаракатчанниклари;  $\tau_n$ ,  $\tau_p$  — электрон, кавак яшаш вақтлари;  $g_n$ ,  $g_p$  — электрон, кавакни генерациялаш тезликлари.

Фотоинженция (ёруғлик орқали) номувозанат ҳолатдаги заряд ташувчиларни ҳосил қилганда генерация тезлиги

$$g = \alpha \beta I_\nu e^{-\alpha x} (1 - R_\nu) / h\nu = goe^{-\alpha x}$$

ифода билан топилади. Бу ерда  $\alpha$  — ёруғликнинг яримутказгичда ютилиш коэффициенти,  $R_\nu$  — ёруғликнинг намунадан қайтиш коэффициенти,  $h\nu$  — фотон энергияси,  $\beta$  — заряд ташувчиларнинг квант чиқиши коэффициенти  $I_0$  — ёруғлик интенсивлігі. (4.3) ва (4.4) тенгламалардан күринаиди, номувозанат ҳолатдаги заряд ташувчилар концентрацияларининг ўзгариш тезликлари  $\frac{\partial \Delta n}{\partial t}$ ,  $\frac{\partial \Delta p}{\partial t}$  ни заряд ташувчиларнинг рекомбинация, генирация, дрейф-диффузия жараёнлари аниқлады. Заряд ташувчилар концентрацияси фақат бир йұналишда, масалан,  $x$  — үқи бүйича ўзгаради ва электр майдон кучланғанлиги  $\vec{E}$   $x$  үқи бүйича йұналған бұлсın деб олинған ҳол учун, (4.3) ва (4.4) тенгламалар (4.1) ва (4.2) ни назарда тутганда, қуийдаги күришишни олади:

$$\frac{\partial \Delta p}{\partial t} = g_p - \frac{\Delta p}{\tau_p} + D_p \frac{\partial^2 \Delta p}{\partial x^2} - \mu_p \cdot p \frac{\partial E}{\partial x} - \mu_p E \frac{\partial \Delta p}{\partial x} \quad (4.5)$$

$$\frac{\partial \Delta n}{\partial t} = g_n - \frac{\Delta n}{\tau_n} + D_n \frac{\partial^2 \Delta n}{\partial x^2} + \mu_n \cdot n \frac{\partial E}{\partial x} + \mu_n E \frac{\partial \Delta p}{\partial x} \quad (4.6)$$

Бу ерда  $\left( \frac{\partial E}{\partial x} \right)$  Пуассон тенгламаси

$$\frac{\partial E}{\partial x} = \frac{e}{\epsilon_0 \epsilon} (\Delta p - \Delta n) \quad (4.7)$$

билин ифодаланади. Ҳажмий заряд вужудга келмаганда, яни намунада электр нейтраллик шарти  $\Delta n = \Delta p$  бажарылганда  $\frac{\partial E}{\partial x} = 0$  бўлади. Бу ҳол яхши ўтказувчанликка эга бўлган яримўтказгичларда кузатилади. Киришмали яримўтказгичнинг бирор жойида қайси усул билан бўлмасин асосий бўлмаган заряд ташувчилар инжекциялансан. Пайдо бўлган ҳажмий заряд бунда икки усул билан: бу соҳадан асосий бўлмаган заряд ташувчиларни чиқариб ташлаш орқали, ёки ҳажмий зарядни бошқа типдаги заряд орқали, яни асосий заряд ташувчилар билан компенсацияланиши мумкин. Асосий заряд ташувчиларнинг катта концентрацияларида электр нейтралликни *тиклаш* учун уларнинг қайта тақсимланиши жуда тез, максвелл релаксация вақти

$$\tau_M = \epsilon_0 \epsilon / \sigma \quad (4.8)$$

ичида содир бўлиши керак.  $\epsilon_0$ ,  $\epsilon$  — вакуум, яримўтказгичнинг диэлектрик сингдирувчанликлари,  $\tau$  — яримўтказгичнинг солиштирма ўтказувчанлиги.

Амалиётда асосий заряд ташувчиларнинг қайта тақсимланиши ҳеч қандай қийинчилик туғдирмайди. Но асосий заряд ташувчиларнинг диффузия жараёни ўз ҳаракатчанлигига, диффузия коэффициентига эга бўлган нейтрал заррача каби содир бўлади. Электр майдонида асосий бўлмаган заряд ташувчилар зарядланган заррача каби дрейфланади. Лекин асосий заряд ташувчиларнинг тез қайта тақсимланиши туфайли, ҳажмий заряд ҳосил бўлмайди. Демак, заряд ташувчиларнинг кичик концентрацияларида, икки ишорали заряд ташувчиларнинг фазода қайта тақсимланиши орқали, электроннейтралликнинг тикланиши содир бўлади.

$\Delta p = \Delta n$  бўлганда  $g_n = g_p$ ,  $\sigma_n = \tau_p$  бўлади. (4.5) ни  $\tau_n = e n m_n$  га, (4.6) ни  $\sigma_p = e p \mu_p$  га кўпайтириб, ўхшаш ҳадларни қўшиб,

$$\frac{\partial \Delta p}{\partial t} = g_p - \frac{\Delta p}{\tau_p} + D \frac{\partial^2 \Delta p}{\partial x^2} - \mu_E E \frac{\partial \Delta p}{\partial x} \quad (4.9)$$

кўринишида бўлган узлуксизлик тенгламасини оламиз. Кичик электр майдонларида заряд ташувчилар дрейф ҳаракатининг диффузиясига нисбатан ҳисобга олинмаслиги мумкин, шунинг учун (4.9) ни кичик электр майдонда

$$\frac{\partial \Delta p}{\partial t} = g_p - \frac{\Delta p}{\tau_p} + D \frac{\partial^2 \Delta p}{\partial x^2} \quad (4.10)$$

кўринишида ифодалаш мумкин. Бу ерда,

$$D = \frac{\sigma_n D_p + \sigma_p D_p}{\sigma_n + \sigma_p} = \frac{n + p}{n/D_p + p/D_n} \quad (4.11)$$

$$\mu_E = \frac{\tau_n \mu_p - \tau_p \mu_n}{\tau_n + \tau_p} = \frac{(n - p)}{(n/\mu_p + P/\mu_n)} \quad (4.12)$$

(4.10) тенглама (4.5) ва (4.6) тенгламаларга тенг кучли бўлиб, электронейтраллик шарти бажарилган шароитда, у заряд ташувчилар табиатини ифодалайди. (4.10) даги  $D$  — электрон-кавакнинг диффузиясини аниқлайди ва заряд ташувчиларнинг биқутбий диффузия коэффициенти, (4.12) даги  $\mu_E$  эса биқутбий дрейф ҳаракатчанлиги деб юритилади.

$n$ -тип киришмали яримўтказгичда  $n \gg p$  бўлгани учун (4.11) ва (4.12) лардан

$$D = D_p; \mu_E = \mu_p$$

$p$ -тип киришмали яримўтказгичда  $p \gg n$  бўлгани учун

$$D = D_n; \mu_E = -\mu_n$$

ва хусусий яримўтказгичда  $p = n$  бўлгани учун

$$D = 2 \frac{D_n D_p}{D_n + D_p}; \mu_E = 0$$

бўлишлигини кўрамиз. Киришмали яримўтказгичларда заряд ташувчиларнинг биқутбий диффузия коэффициен-

ти асосий бўлмаган заряд ташувчилар диффузия коэффициентига тенг бўлишилигини, биқутбий дрейф ҳаракатчаник абсолют қиймати бўйича асосий бўлмаган заряд ташувчилар ҳаракатчанилигига мос келишини кўрдик. Бундан ташқари, электрон кавак концентрациялари  $n$  ва  $p$ -ларнинг нисбатига қараб  $\mu_E = 0$  — ишорасини ўзгартиради:  $n=p$  ва  $\mu_E=0$  бўлишилигини гувоҳи бўламиз. Агар биқутбий диффузия коэффициенти (4.11)ни Эйнштейн муносабати

$$D = \frac{KT}{e} \mu_D \quad (4.13a)$$

орқали ифодаласак, ҳаракатчаникнинг яна бир ифодасини, яъни заряд ташувчиларнинг биқутбий диффузион ҳаракатчанилик ифодасини оламиз.

$$\mu_D = \frac{n + p}{\frac{p}{\mu_n} + \frac{n}{\mu_p}} \quad (4.13b)$$

Киришмали яримўтказгичларда  $n \gg p$  ёки  $p \gg n$  ўринли бўлганда  $\mu_D$  қиймати  $\mu_E$  га тенг бўлиб, унинг ишораси ҳамма вақт мусбат бўлади. Хусусий яримўтказгичларда

$$\mu_D = 2 \frac{\mu_n \mu_p}{\mu_n + \mu_p} \text{ дир.} \quad (4.13b)$$

Узлуксизлик тенгламалари (4.9) нинг баъзи бир содда ҳоллардаги ечимини таҳлил қиласлик.

1. Фараз қиласлик, электр майдон қўйилмаган ( $E=0$ ) ва намунада номувозанатдаги заряд ташувчилар текис  $g_n = \alpha \beta I_{0\nu} (1 - R_\nu)$  генирациялансин. Намуна эркин сиртларида сиртий рекомбинация содир бўлмасин ( $S=0$ ). Бу ҳолда дрейф, диффузия жараёнлари бўлмайди, шунинг учун (4.9) тенглама

$$\frac{\partial \Delta p}{\partial t} = g - \frac{\Delta p}{\tau_p} = (1 - R_\nu) \alpha \cdot \beta I_{0\nu} - \frac{\Delta p}{\tau_p} \quad (4.14)$$

күриниши олади. Номувозанат заряд ташувчилар концентрациясининг вақт бўйича ўзгаришини фақат генерация ва рекомбинация жараёнлари аниқлайди. Ёпишиш (тутқич) марказлар бўлмагандага генерация тезлиги  $g_0 = \alpha \beta I_{0\nu} (1 - R_\nu)$  — га мос  $\Delta p_{\text{бош}}$  — бошланғич концентрация тўғри келсин.

Агар  $t=0$  да генерация жараёни тұхтатилса,  $t>0$  да  $g=0$  бўлганда (4.14) нинг ечими

$$\Delta p = p(t) - p_0 = \Delta p_{\text{бош}} \cdot \exp\left(-\frac{t}{\tau_p}\right) = \alpha \beta I_{0\nu} (1 - R_\nu) \tau_p e^{-\frac{t}{\tau_p}} \quad (4.15)$$

бўлади. Текис генерация билан вужудга келган асосий бўлмаган заряд ташувчилар концентрациясининг сўниши ёруғлик интенсивлиги  $I_{0\nu}$  (уйфотиш даражаси) кичик  $\Delta n$ ,  $\Delta_p \ll n_0 + p_0$  ёки жуда катта  $I_{0\nu}$  да, яъни катта даражали инжекция  $\Delta n$ ,  $\Delta p \gg n_0 + p_0$  бўлганда экспонента қонуни билан содир бўлади. Бундан фойдаланиб, номувозанат заряд ташувчиларнинг яшаш вақтини аниқлаш мумкин. Бу ердаги  $\tau_p$  — вақтни яримўтказгичга киритилган ноасосий заряд ташувчилар концентрациясини  $e$  — марта камайишига кетган вақт деб қараш мумкин.

2. Стационар ҳол  $\frac{d\Delta p}{dt} = 0$  ни кўрайлик. Электр майдони бўлмагандага яримчексиз намунанинг  $x$  — ўқи бўйича номувозанат заряд ташувчилар нотекис генирацияланаб, ҳажм бўйича  $t=0$  да  $g_p=0$  деб фараз қилинганда, узлуксизлик тенглама

$$\frac{d^2 \Delta p}{dx^2} - \frac{\Delta p}{\tau_p} = 0 \quad (4.16)$$

кўринишида бўлади. Бу тенгламанинг

$$p_{x=0} = \Delta p(0) + p_0, \quad p_{x \rightarrow \infty} = p_0$$

чегара шартларини қаноатлантирувчи ечими

$$\Delta p(x) = p(x) - p_0 = \Delta p(0) \exp\left(-\frac{x}{L}\right) \quad (4.17)$$

бўлади. Бу ечимдан фойдаланиб, яримўтказгич намуна-ларида асосий бўлмаган заряд ташувчилар диффузион узунлиги  $L = \sqrt{D\tau}$  ни аниқлаш мумкин.  $L$  ни асосий бўлмаган заряд ташувчилар диффузияси содир бўлганда улар концентрациясининг  $e$  — марта камаядиган масо-фаси деб қарашиб мумкин. Тақиқланган зонадаги ёпишиш (тутқич) марказларида ушланган зарядлар, заряд ташувчиларнинг диффузион оқимига ҳисса қўшмайди. Шунинг учун диффузидон узунлик орқали яшаш вақтини аниқла-ганда, ёпишиш марказлари номувозанат, асосий бўлма-ган заряд ташувчилар яшаш вақтига таъсир кўрсатмайди.

3. Стационар, ностационар масалаларни кўришда, баъзи бир ҳолларда, чегаравий шартлар,

$$j_{px} = eD \frac{\partial \Delta p}{\partial x} \Big|_{x=0}, \quad a = \pm S(p - p_0) \Big|_{x=0}, \quad a \quad (4.18)$$

кўринишда берилиши мумкин. Бу ерда,  $S$  — ўлчамлиги тезлик бирлиги билан аниқланадиган катталик, у сиртий рекомбинация тезлиги деб аталади. Мазкур чегаравий шартнинг маъноси шундан иборатки, у  $S$  — тезлик билан сиртга оқиб кираётган заряд ташувчилар оқимини англатади.  $S$  нинг энг катта қиймати заряд ташувчилар тезлиги  $10^7$  см/с нинг тўртдан бирига тенг бўлиб, герман-ний ва кремнийлар учун уй шароитида  $2 \cdot 10^6$  см/с тарти-бida бўлади. Агар намунада ёпишиш маркази мавжуд бўлса, асосий, ноасосий заряд ташувчиларнинг яшаш вақтлари бир-биридан жуда катта фарқ қиласи  $\tau_n \neq \tau_p$ . Ёпишиш марказларида ушланган заряд ташувчилар концен-трацияси ошиқча номувозанат заряд ташувчилар концен-трациясидан катта бўлса, асосий заряд ташувчилар яшаш вақти номувозанат асосий бўлмаган заряд ташувчилар яшаш вақтидан жуда катта бўлади.

$n$  — тип материалларда  $\tau_n \gg \tau_p$ ,  $p$  — типда эса  $\tau_p \gg \tau_n$  бўла-ди. Бу ҳолда битта намуна учун заряд ташувчиларнинг яшаш вақти ўлчаш усувларига қараб ҳар хил қийматга эга бўлиши мумкин. Текширишлар шуни кўрсатадики, но-

мувозанат заряд ташувчилар концентрациясини, яъни номувозанат ўтказувчанликнинг вақт бўйича сўнишига асосланган ҳамма т ни ўлчаш усуллари ёпишиш (тутқич) марказларининг ҳолатига, концентрациясига боғлиқ бўлган заряд ташувчилар вақтини беради.

Диффузион узунликни ўлчашга асосланган заряд ташувчилар яшаш вақтини аниқлашнинг ҳамма усуллари яримўтказгич намуналарида ёпишиш (тутқич) марказларини бор ёки йўқ бўлишига, уларнинг ҳолатига боғлиқ бўлмаган асосий заряд ташувчилар яшаш вақтини берадилар. Яримўтказгич намуналарида заряд ташувчиларнинг яшаш вақтини, диффузион узунлигини аниқлашнинг жуда кўп усуллари мавжуд. У ёки бу усулни қўллаш яримўтказгич материаллари ва асбобларининг ишлашини аниқлайдиган заряд ташувчилар ўшашиб вақтига қараб танланади. Яримўтказгичларда номувозанат заряд ташувчиларни генерациялаш усулларига қараб, ташувчилар яшаш вақтини, диффузион узунлигини ўлчашнинг стационар, ностационар усуллари тавсия этилган.

3-туркум усуллар сифатида  $p$ - $n$  ўтишни қўллашга асосланган усулларни кўрсатиш мумкин. Охирги йилларда ёруғлик интенсивлиги катта бўлган импульсли лазерларнинг яратилиши муносабати билан заряд ташувчилар яшаш вақтини катта  $\Delta n$ ,  $\Delta p \gg n_0 + p_0$  даражали инжекцияда ўлчаш имкони туғилди. Нурланишли, нурланишсиз рекомбинациялар заряд ташувчиларнинг яшаш вақтини, диффузион узунлигини аниқловчи жараёнлардир. Бундан ташқари,  $\tau$ ,  $L$  намуналарни олиш шароитига, иссиқлик ишловларига ва температурага боғлиқ параметрлардир.

#### 4.2 §. Номувозанат заряд ташувчилар билан инжекцияланган намунанинг ўтказувчанлиги

Узунлиги  $a$ , эни  $b$ , қалинлиги  $d$  тўғри бурчакли паралелепипед шаклида бўлган ва  $x=0$  ва  $x=a$  даги кўндаланг кесимларига Ом контактлари олинган намунанинг номувозанат ўтказувчанлигини таҳлил қиласиз (4.1-расм)  $x$  — йўналишда намунадан  $I$  — ток ўтказилганда ундаги кучланиш ташви  $V$  бўлсин. Намунада қандайдир усул, ма-

салан, фотоинжекция (ёруглик) билан ёки инжекцияловчи контакт орқали ток импульси билан номувозанат заряд ташувчилар электрон, кавакни генерациялайлик, уларнинг тақсимоти ихтиёрий булиб, концентрациялари  $\Delta n$ ,  $\Delta p \ll n_0 + p_0$  Ом контактларида эса

$$\Delta n /_{x=0,a} = \Delta p /_{x=0,a} = 0 \quad (4.20)$$

бўлсин. Намунанинг Ом контактларидан икки-уч диффузион узунлик ( $2 \div 3$ )  $Z$  дан катта масофада жойлашган ўрта қисмида заряд ташувчиларнинг инжекцияси содир бўлса, (4.20) шартни амалга ошириш мумкин. Намунадан оқаётган электрон, кавак токлари (4.1), (4.2) нинг  $x$  бўйича ташкил этувчилари

$$\begin{aligned} j_{nx} &= e\mu_n(n_0 + \Delta n)(E_{0x} + \Delta E_x) + eD_n \frac{\partial \Delta n}{\partial x} \\ j_{px} &= e\mu_p(p_0 + \Delta p)(E_{0x} + \Delta E_x) - eD_p \frac{\partial \Delta p}{\partial x} \end{aligned} \quad (4.21)$$

билин ифодаланади. Бу ердаги ва кейинги учрайдиган “0” белги уларнинг мувозанат ҳолатдаги қийматини билдиради.

(4.19) шарт ўринли бўлганда, (4.21) даги  $\Delta n$   $\Delta E_x$ ,  $\Delta p$   $\Delta E_x$  ларни, иккинчи тартибдаги кичик ҳадлар бўлгани учун, инобатга олмаса бўлади. Электрон кавак токлари  $j_{nx}$ ,  $j_{px}$  ни қўшиб, кейин эса бутун намуна ҳажми ( $a \cdot b \cdot d$ ) бўйича интеграллаймиз. Токнинг диффузион ташкил этувчиларининг интегралга қўшган ҳиссаси (4.20) шартига кўра нолга тенг, чунки

$$\int_{abd}^{} \frac{\partial \Delta n}{\partial x} dx dy dz = \int_{abd}^{} \frac{\partial \Delta p}{\partial x} dx dy dz = \int_{bd}^{} (\Delta n(a) - \Delta n(0)) dy dz = 0$$

Ана шундай тенгликни  $p$  учун ҳам ёзиш мумкин.

$$V_0 = a \cdot E, \quad \Delta V = \int_0^a \Delta E_x dx, \quad I = \int_{bd}^{} (j_{nx} + j_{px}) dy dz$$

муносабатларни назарда тутсак, намунада номувозанат заряд ташувчилар инжекцияланганда, ундан оқаётган токнинг ўзгариши

$$\Delta I = \frac{e}{a^2} (\mu_p \Delta p + \mu_n \Delta N) V_0 + G_0 \Delta V \quad (4.22a)$$

бўлади. Бунда

$$\begin{aligned}\Delta p &= \int_{abd} \Delta n \, dx \, dy \, dz \\ \Delta N &= \int_{abd} \Delta p \, dx \, dy \, dz\end{aligned} \quad (4.22b)$$

$\Delta N$ ,  $\Delta p$  — мос равишда намунадаги номувозанат электрон, кавакларнинг тўла сони,

$$G_0 = \frac{bd}{a} e (\mu_n \cdot n_0 + \mu_p p_0) = \frac{1}{R_0} \quad (4.23)$$

намунанинг мувозанат ҳолатдаги (коронфудаги) ўтказувчанилиги, мувозанат ҳолатида намунадан оқаётган токни

$$I_0 = V_0 / R_0 = G_0 V_0$$

орқали, намунадан номувозанат ҳолатда (заряд ташувчилар инжекцияланганда) оқаётган токни

$$I = \frac{V}{R} = G \cdot V = (G_0 + \Delta G) V \quad (4.24)$$

формула орқали ифодаласак ҳамда кичик инжекцияда  $\Delta n$ ,  $\Delta p \gg n_0$ ,  $p_0$ , яъни  $G_0 \gg \Delta G$  бўлишигини назарда тутсак, заряд ташувчилар инжекцияланган намунадан оқаётган токнинг ўзгариши

$$\Delta I = \Delta G V_0 + G_0 \Delta V \quad (4.25)$$

ифода билан аниқланишини кўрамиз. (4.22) ни (4.25) билан солиштиришдан намунага электрон, кавак инжекцияланганда ўтказувчаниликнинг ортиши:

$$\Delta G = \frac{e}{a^2} (\mu_n \Delta N + \mu_p \Delta p) \quad (4.26)$$

ифода билан аниқланади. (4.19) ва (4.20) шартлар бажарылғанда (4.26) ифода намунада инжекцияланған заряд ташувчиларнинг ҳар қандай тақсимланишида ўринли бұлади. Юқорида күрдикки, (4.20) шартнинг бажарилиши диффузион токнинг нолга teng бўлган ҳиссасини таъминлайди. Шунинг учун (4.26) ни

$$\Delta n/x=0=\Delta n/x=a; \quad \Delta p/x=0=\Delta p/x=a \quad (4.27)$$

билин алмаштириш мумкин. Дейлик, (4.21) да электр майдон кучланғанлиги шундай катта ва токнинг диффузион ташкил этувчинини ташлаб юбориш мумкин бўлсин, у ҳолда (4.20) ва (4.27) шартлар бажарилиши ёки, бажарилмаслигидан қатъи назар, у (4.25) ифода ўринли бўлади. Ихтиёрий инжекцияланыш даражасида, яъни (4.19) шарт бажариладими, йўқми, (4.26) ифода ўринли бўлиши учун  $\Delta n$ ,  $\Delta p$  лар  $x$  га боғлиқ бўлмаслиги керак. Бу шартни, масалан, намуна сиртини бир хил интенсивликда ёритиш билан амалга ошириш мумкин. Кучсиз инжекцияда, яъни (4.19) бажарилғанда, намуна қаршилиги  $\Delta R$  нинг ўзгариши

$$\Delta R = R_0 - R = \frac{1}{G_0} - \frac{1}{G_0 + \Delta G} = \frac{\Delta G}{G_0(\Delta G + G_0)} \approx R_0^2 \Delta G \quad (4.28)$$

билин аниқланади, бу ерда  $R_0$  — мувозанатдаги намуна қаршилиги.

### 4.3 §. Номувозанат заряд ташувчилар параметрларини ўлчашнинг ностационар усууллари

*a. Номувозанат заряд ташувчилар параметрларини ўлчашиб усули назарияси*

Маълумки, заряд ташувчилар генерацияланишининг қандай содир бўлишига, намуна ўлчамларига, сирт ишловига қараб заряд ташувчилар концентрацияси (фото-ўтказувчанлик)нинг вақт бўйича ўзгаришини, яъни релаксацияларини аниқловчи рекомбинация, дрейф, диффузия жараёнлари ҳар хил кечади. Шунинг учун 4.1-§ да

келтирилган  $\Delta n(x, y, z, t)$  ёки  $\Delta G(x, y, z, t)$  ларнинг сўнишидан аниқлаш мумкинлиги тўғрисидаги фояни амалиётга татбиқ этиш учун қайд этилган омиллар ва жараёнларни  $\Delta n(x, y, z, t)$  ва  $\Delta G(x, y, z, t)$  релаксацияларига таъсирини батафсилроқ таҳлил қиласлилар. Оддин намуна тўғри бурчакли ёлғиз (якка) ёки даврий ёруғлик импульси билан ёритилган ҳолни қараб чиқайлик. Фотон энергияси  $\hbar\omega \geq E$ , бўлган ёруғлик импульси давомийлиги ичida номувозанат заряд ташувчилар намуна ҳажми бўйича текис генерацияланган ва эркин сиртлари шундай ишловдан ўтказилганки, сиртий рекомбинация кичик (бошқача айтганда, кузатилмасин) деб фараз қиласиз. Бу ҳолда заряд ташувчиларнинг диффузияси вужудга келмайди.

$\Delta n = \Delta p$  да чизиқли рекомбинация  $\left(\frac{\Delta p}{\tau_p}\right)$  мавжуд бўлганда,

$\vec{E} = 0$  да узлуксизлик тенгламаси (4.14) кўринишда бўлади. Кичик интенсивликдаги ( $\Delta n, \Delta p \ll n_0 + p_0$ ) амплитудаси  $I_{0v}$ , давомийлиги  $T$  бўлган тўғри бурчакли ёруғлик импульси билан ёритилганда, импульснинг давомийлиги оралифида  $0 \leq t = T$  (4.14) нинг ечими

$$\Delta p = \alpha \beta I_{0v} \tau_p (1 - e^{-\frac{t}{\tau_p}}) (1 - R_v) \quad (4.29)$$

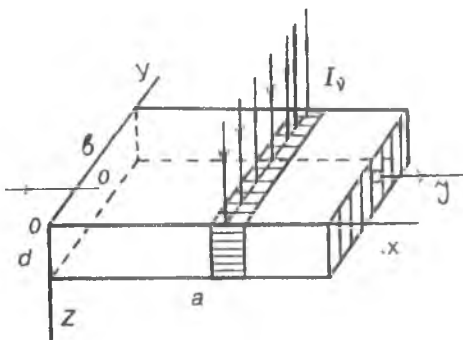
ва импульс тугагандан сўнг  $T \leq t$  да

$$\Delta p = \alpha \beta \tau_p I_{0v} (1 - e^{-\frac{T}{\tau_p}}) e^{-\frac{t-T}{\tau_p}} \cdot (1 - R_v) \quad (4.30)$$

бўлади. Агар ёруғлик импульсининг давомийлиги заряд ташувчилар яшаш вақтидан катта ( $T > \tau_p$ ) бўлса, заряд ташувчиларнинг концентрацияси стационар

$$\Delta n_{em} = \alpha I_{0v} \beta \tau_p (1 - R_v) \quad (4.31)$$

қийматга эришиб улгуради. Шундай қилиб, кўрилаётган ҳолда заряд ташувчиларнинг концентрацияси ( $\Delta n, \Delta p$ ) ҳамда уларга пропорционал бўлган фотоўтказувчанлик, импульс давомийлиги оралифида



4.1-расм. Яримұтқазгич намунанинг модели.

$$\Delta G \sim \Delta p \sim (1 - e^{-\frac{t}{\tau_p}}) \quad (4.32)$$

Импульс тугагандан сүнг

$$\Delta G \sim \Delta p \sim e^{-\frac{t-T}{\tau_p}} \quad (4.33)$$

қонуниятлари бүйіча үзгаради. Энди фотоұтказувчанник нынг сүнишида диффузия, дрейф рекомбинация жараёнлари қатнашадиган мураккаброқ ҳолни күрайлик. Намуна  $X=0$ ,  $X=2A$ ,  $Y=0$ ,  $Y=2B$   $Z=0$ ,  $Z=2C$  дан үтган текисликлар билан чекланған түғри бурчакли параллелопипед шаклида бўлсин (4.1-расм). Айтайлик, намуна  $n$  — типли яримұтқазгич бўлсин, у ҳолда номувозанатий заряд ташувчиларнинг диффузиясини асосий бўлмаган заряд ташувчи, яъни кавак аниқлайди. Заряд ташувчилар текис генерацияланган намунани сиртларида, заряд ташувчиларнинг сиртий рекомбинацияси содир бўлганда, сиртга томон йўналган заряд ташувчилар оқими вужудга келади. Бу билан ҳажм бўйича заряд ташувчиларнинг нотекис тақсимланишига ва натижада уларнинг диффузияси содир бўлади. Фараз қилайлик, намунада ёпишиш марказлари йўқ, ёргулук импульсининг уйғотиш даражаси (интенсивлиги) кичик  $\Delta n$ ,  $\Delta p \ll n_0 + p_0$  бўлсин. Импульс давомийлиги шундай кичик бўлсинки, унинг тугаш вақтини вақт ҳисобининг бошланишини ( $t=0$ ) деб қабул қилиш

мумкин бўлсин.  $t = 0$  да ҳажм бўйича бир хил (текис) тарқалган номувозанат электрон, кавакларнинг диффузия, рекомбинация жараёнлари бошланади. Ўтказувчанликни ўлчаш учун зарур бўлган  $X$  — йўналишда электр майдони мавжуд бўлган ҳолда узлуксизлик тенглама (4.4) си, яъни,

$$\frac{\partial \Delta p}{\partial t} = -\frac{\Delta p}{\tau_p} - \mu E \frac{\partial \Delta p}{\partial x} + D \operatorname{divgrad} \Delta p(x, y, z, t) \quad (4.34)$$

билин ифодаланади. Узлуксизлик (4.34) тенгламани бошланғич

$$\Delta p(x, y, z, t) /_{t=0} = \Delta p_{\text{бош}} \quad (4.35)$$

ва сиртий рекомбинацияни ҳисобга олувчи

$$\begin{aligned} x = 0, \quad x = 2A & \quad \text{сиртларида } D \frac{\Delta p}{dx} = \pm S_a \Delta p \\ y = 0, \quad y = 2B & \quad \text{сиртларида } D \frac{\Delta p}{dy} = \pm S_b \Delta p \\ z = 0, \quad z = 2C & \quad \text{сиртларида } D \frac{\Delta p}{dz} = \pm S_c \Delta p \end{aligned} \quad (4.36)$$

чегаравий шартларни қаноатлантирувчи ечими

$$\begin{aligned} \Delta p = \sum_{ijk} \Delta p_{ijk} &= \sum_{ijk} G_{ijk} \cos\left(\frac{\varepsilon_i x}{A}\right) \cos\left(\frac{\xi_j y}{B}\right) \cos\left(\frac{\xi_k z}{C}\right) x \\ &\otimes \exp\left(-\frac{\mu E x}{2D}\right) \exp\left\{-\left[\frac{1}{\tau} + \gamma_{ijk} + \frac{(\mu E)^2}{4D}\right] t\right\} \end{aligned} \quad (4.37)$$

кўринишда бўлади. Бу ерда

$$\gamma_{ijk} = D \left( \frac{\varepsilon_i^2}{A^2} + \frac{\eta_j^2}{B^2} + \frac{\xi_n^2}{C^2} \right) \quad (4.38)$$

$\Delta p_{ijk}$  — амплитудаси  $G_{ijk}$  бўлган гармоника концентрацияси, берилган хусусий функцияси билан аниқланадиган ошиқча заряд ташувчилар концентрациясининг қисми.

$G_{ijk}$  — бошланғич шартдан, яғни заряд ташувчиларнинг  $t=0$  даги тақсимотидан топиладиган катталик. (4.37) ечимга хусусий функцияларнинг чизиқли комбинацияси деб қараш мүмкін. Ундан күринадики,  $\Delta p_{ijk}$  — нинг вақтта бөгланиши учта экспоненциал ташкил этувчиларни үз ичига олади.

$\exp\left(-\frac{t}{ap}\right)$  — намуна ҳажмида заряд ташувчилар рекомбинацияси туфайли,

$\exp(-\gamma_{ijk} t)$  — сиртий рекомбинация туфайли,

$\exp\left[-\frac{(\mu E)^2}{4D}\right]$  — заряд ташувчилар тақсимотига майдон таъсири туфайли вужудга келган ташкил этувчилардир, заряд ташувчилар яшаш вақтини, сиртий рекомбинация тезлигини үлчашда вақт доимиyllигининг охирги ташкил этувчиси шундай кичик бўлсинки, ташқи электр майдони фотоўтказувчанликнинг пасайишига таъсир кўрсатмасин. Бунга эришиш учун,

$$\frac{(\mu E)^2}{4D} < \frac{1}{\tau} + \gamma_{ijk} \quad (4.39)$$

шарт бажарилиши керак. Одатда бу шарт электр майдон кучланганлигининг бир неча В/см дан катта бўлмаган қийматларида бажарилади. Агар (4.34) тенгламада электр майдон кучланганлигини кичик деб, уни инобатга олмасак ва унга (4.36) чегаравий шартларни қўлласак,  $\varepsilon_i, \eta_j, \xi_k$  — катталикларни сиртий рекомбинация тезликлари  $S$  диффузия коэффициенти  $D$  ни намуна үлчамлари билан бөлайдиган,

$$\frac{S_a A}{D} = \varepsilon_i \operatorname{tg} \varepsilon; \quad \frac{S_b B}{D} = \eta_j \operatorname{tg} \eta; \quad \frac{S_c C}{D} = \xi_k \operatorname{tg} \xi_k \quad (4.40)$$

муносабатларни беради. Булар трансдент тенгламалар бўлиб, биринчи ечимлари 0 билан  $\frac{\pi}{2}$  оралиғида, иккинчи ечимлари  $\pi \div 1,5\pi$  оралиғида ётади. Шу билан бирга,

$S=0$  даги ечимлари  $\xi=\eta_1=\xi_1=0$   $S\rightarrow\infty$  да эса  $\varepsilon_1=\eta_1-\xi_1=\frac{\pi}{2}$  бўлади. Шунинг учун  $\Delta p_{ijk}$  нинг асосий гармоникаси  $\varepsilon_p$ ,  $\eta_j$ ,  $\xi_k$  — ларнинг энг кичик хусусий қийматларига мос келиб, эффектив вақт доимийси,

$$\tau_{\text{эфф}} = \left( \frac{1}{\tau} + \gamma_{\text{III}} \right)^{-1} \quad (4.41)$$

билин аниқланади. Бу ерда

$$\gamma_{\text{III}} = D \left[ \frac{\xi^2}{A^2} + \frac{\eta_1^2}{B^2} + \frac{\xi_1^2}{C^2} \right] \quad (4.42)$$

$\gamma_{\text{III}}$  — сирт рекомбинацияси тезлигига, намуна геометрик ўлчамларига боғлиқ.  $\gamma_{ijk}$  ни қабул қилиши мумкин бўлган қийматининг кичигидир. Термодинамик мувозанатни тиклаш жараёнлари билан боғлиқ асосий гармониканинг камайиши (пасайиши) қолган гармоникалардан устунлик қилади, чунки у энг катта вақт доимийсига эга.  $\nu_{ijk} + \frac{1}{\tau}$  — катталикни  $\left( \frac{1}{\tau} + \gamma_{\text{III}} \right)$  га яқин қийматни қабул қилгунча кетган вақт оралиги гармоникалар амплитудалари  $G_{ijk}$  нинг ўзаро нисбатига боғлиқ. Энг содда ҳолда  $\delta$  (дельта функция) — кўринишдаги ёруғлик импульси билан ёритилган, бошланғич ҳолатда текис тақсимланган заряд ташувчиilar камайишининг бошланишида  $S\rightarrow\infty$ ,  $2B=2C\ll 2A$  бўлганда, асосий гармоника номувозанатий ошиқча заряд ташувчиilar  $2/3$  қисмининг релаксациясини ифодалайди, бу нисбий вақт ўтиши билан ортиб боради ва тез чегаравий қийматга яқинлашади.

Демак, бу ҳолда фотоутказувчанлик релаксациясининг асосий қисми нисбатан катта бўлмаган бошланғич қисмидан ташқарида

$$\Delta\sigma(t) = \Delta\sigma_0 \exp \left[ - \left( \frac{1}{\tau} + \gamma_{\text{III}} \right) t \right] \quad (4.43)$$

орқали ифодаланади. Намунанинг геометрик ўлчамлари қанча катта бўлса, эркин сиртларда сирт рекомбинация тезлиги қанча паст бўлса, вақт доимийси (4.41) га сирт рекомбинациясининг таъсири шунча кичик бўлади.  $\gamma_{\text{III}}$  — содда формулалар билан ифодаланадиган баъзи бир хусусий ҳолларни кўрайлик.

Агар  $x=0$  ва  $x=2A$  қирралари (ёқлари)да сирт рекомбинацияси тезликлари чексиз катта  $S \rightarrow \infty$  (одатда бу омик контактларда амалга ошади) ва бошқа сиртларида  $S=0$  деб қабул қилсак, у

$$\gamma_{\text{III}} = \gamma_{100} = \frac{\pi^2}{4A^2} \quad (4.44)$$

кўринишда ифодаланади. (4.44) формуласи шубҳасиз заряд ташувчилар ҳажмий яшаш вақтини аниқлашга қўллаш мумкин. Эффектив яшаш вақти  $\tau_{\text{эф}}$  тажрибадан ўлчаш билан аниқланган бўлса, ҳажмий яшаш вақти

$$\frac{1}{\tau} = \frac{1}{\tau_{\text{эф}}} - \frac{\pi^2 D}{4A^2} \quad (4.45)$$

билин аниқланади.

Қачонки ҳамма сиртларда сирт рекомбинацияси тезлиги жуда катта бўлиб,  $\tau_{\text{эф}}$  маълум бўлса,

$$\frac{1}{\tau} = \frac{1}{\tau_{\text{эф}}} - \frac{\pi^2 D}{4} \left( \frac{1}{A^2} + \frac{1}{B^2} + \frac{1}{C^2} \right) \quad (4.46)$$

бундай имконият яна тўғилади.

Агар ёруғлик импульси билан рекомбинация жараёнинга омик контактлари таъсир этмайдиган масофада бўлган бир қисми ёритилган бўлса, унда

$$\frac{1}{\tau} = \frac{1}{\tau_{\text{эф}}} - \frac{\pi^2 D}{4} \left( \frac{1}{B^2} + \frac{1}{C^2} \right) \quad (4.47)$$

бұлади. Намуна әркін сиртларыда сирт рекомбинацияси тезликлари бир хил чекли кичик қийматтарни қабул қилған ҳолда

$$\frac{SB}{D} = \eta^2, C \cdot S/D = \xi^2 \quad (4.48)$$

$$\text{ва } \frac{1}{\tau_{\text{эф}}} = \frac{1}{\tau} + 2S \left( \frac{1}{2B} + \frac{1}{2C} \right) \quad (4.49)$$

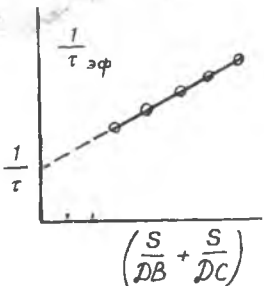
бұлишларини күрамиз. Энди бу келтирилған (4.43), (4.49) ифодаларни құллаб  $S$ ,  $\tau$ ,  $D$  параметрларни тажрибадан анықлаш устида түхталамиз. Сирт рекомбинацияси тезлигини (4.49) асосида үлчаш учун фотоұтказувчанлыкнинг камайиш жараёнида сирттій рекомбинация асосий аниқловчи жараён, яъни (4.49) да

$$2S \left( \frac{1}{2B} + \frac{1}{2C} \right) \gg \frac{1}{\tau} \quad (4.50)$$

бұлиши керак. Агар намуна үлчамларидан бири жуда кичик бұлса,  $C \ll B$ , яъни юпқа пластинка шаклидаги намуна құлланилса, бунга эришиш мүмкін. (4.50) шартни, кatta сирттій рекомбинация тезлиги бўлганда қаноатлантириш осон, лекин (4.50) муносабат бажарилмайди, бу ҳолда (4.42) умумий формулани (4.40) билан қўллаш керак.

(4.41) дан кўринадики,  $\frac{1}{\tau_{\text{эф}}}$  квадрат қавсдаги кўпайтмага чизиқли боғланган.  $\frac{1}{\tau_{\text{эф}}}$  функцияning графиги сирттій рекомбинацияни ўзгармас қийматида тўғри чизик бўлиб, у вертикаль ўқни  $\left(\frac{1}{\tau}\right)$  да кесадиган унинг оғиш бурчаги тангенси, диффузия коэффициентига teng бўлади.

$$\operatorname{tg} \varphi = D = \frac{\Delta \left( \frac{1}{\tau_{\text{эф}}} \right)}{\Delta \left[ \frac{n^2}{B^2} + \frac{\varepsilon^2}{C^2} \right]} \quad (4.51)$$



4.2-расм. Заряд ташувчилар эффективный время жизни в зависимости от времени жизни заряда.

$$\frac{1}{\tau_{\text{эфф}}} = \frac{1}{\tau} \left( \frac{S}{DB} + \frac{S}{DC} \right)$$

$S$  — сирт рекомбинация тезлиги;  
 $D$  — заряд ташувчилар диффузия коэффициенти;  $B, C$  — намуна улчамлари.

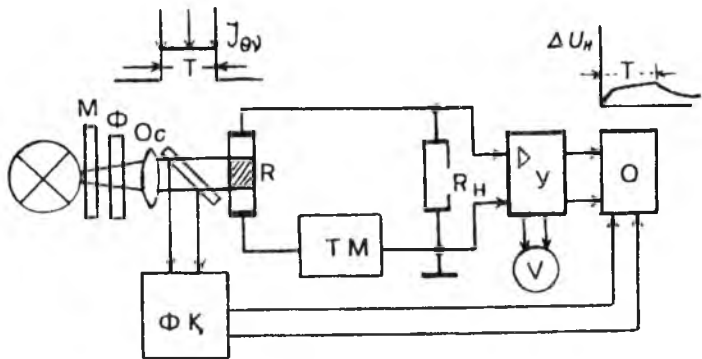
Бу катталиклар қийидагича топилади: намуна ўрта қисми ёритилган ҳолда, (4.41) га күра,  $\tau_{\text{эфф}}^{-1}$  ни (4.48) құллаш билан

$$\frac{1}{\tau_{\text{эфф}}} = \frac{1}{\tau} + D \left( \frac{\varepsilon_1^2}{B^2} + \frac{\xi_1^2}{C^2} \right) = \frac{1}{\tau} + D \left( \frac{S}{DB} + \frac{S}{DC} \right) \quad (4.52)$$

күринишда ифодалаймиз. Бунда  $S/D$  нинг шундай қиймати танланадыки, сиртларига бир хил ишлов берилған ҳар хил геометрик улчамлардаги намуналарда  $\frac{1}{\tau}$  ни үлчанған қийматларининг нүқталари бир түғри чизиқда ётсін (4.2-расм). Сүнг түғри чизиқнинг оғишидан диффузия коэффициенти топилади.  $D$  ни ва  $S/D$  ни билған ҳолда  $\left(\frac{1}{\tau}\right)$  топилади. Шунга үхашаң график усул билан (4.49) боғланиш асосида  $\tau$  ва  $S$  ни, (4.46) боғланиш асосида эса  $\tau$ ,  $D$  ни топиш мумкин. Юпқа намуналар учун ўринли бўлған (4.49) формула учун  $C \ll \frac{D}{S}$  шартнинг бажарилиши кремний намуналари учун сиртий рекомбинация тезлигини  $10^3$  см/с тартибдаги, германий намуналари учун  $10^4$  см/с тартибдаги қийматлари билан чеклайди.

б. *Фотоутказувчанлик релаксация вақтини үлчаш қуримаси ва заряд ташувчилар яшаши вақтини аниқлашдаги хатоликлар*

Фотоутказувчанлик релаксация вақтини үлчаш қуримаси бирининг чизмаси 4.3-расмда келтирилған.



4.3-расм. Стационар фотоутказувчанликни ўлчаш қурилмасиңинг схемаси. ТМ — ўзгармас ток манбаи, М — модулятор, ОС — оптик система,  $\Phi$  — фильтр,  $\Phi\text{К}$  — фотоқабулқылгич (фотодиод).

Ўзгармас кучланиш (ток) манбаи (ТМ) га қаршилиги  $R$  бўлган намуна билан унга кетма-кет бўлган юклама қаршилик  $R_H$  уланган. Ёруғлик импульси билан намуна ёритилганда, унинг ўтказувчанлиги,  $G$  нинг ўзариши  $\Delta G$  туфайли, қаршиликда кучланиш тушувининг ўзариши (ўзгарувчан кучланиш)  $\Delta V_H$  вужудга келади. Намуна ёритилмагандан унинг қаршилигини, занжирдан оқаётган  $I_0$  токни,  $R_H$  даги кучланишни

$$R = R_0; \quad I_0 = \frac{V_H}{R_0 + R_H}; \quad V_{H0} = I_0 R_H = \frac{V_H R_H}{R_H + R_0}$$

намуна ёритилганда,

$$R = R_0 - \Delta R; \quad I_{ep} = \frac{V_H}{R_0 + R_H - \Delta R}; \quad V_{HeP} = \frac{V_H R_H}{R_H + R_0 - \Delta R}$$

бўлишини назарда тутсак,  $R_H$  — юклама қаршиликда кучланиш тушувининг ўзариши

$$\Delta V_H = V_{Ho} - V_{HeP} = (I_{ep} - I_0) R_H = \frac{V_H \Delta R \cdot R_H}{(R_0 - \Delta R + R_H)(R_0 + R_H)} \quad (4.53)$$

ифода билан аниқланади. Бу ерда,  $V_H$  — ток манбаи (ТМ) клеммалари (қисқичлари)даги кучланиш. Номувозанатий заряд ташувчилар кичик интенсивликдаги ёруглик билан генерацияланса,  $\Delta n$ ,  $\Delta p \ll n_0 + p_0$  намуна қаршилигининг ўзгариши  $\Delta R \ll R_0$  бўлади ва (4.53) маҳражидаги  $\Delta R$  эътиборга олинмайди. Бу ҳолда (4.53) ни (4.28) га асосан

$$\Delta V_H = \frac{V_H R_H \Delta R}{(R_0 + R_H)^2} = \frac{V_H R_H R_0^2}{(R_H + R_0)^2} \Delta G \quad (4.54)$$

билин ифодаланишини кўрамиз. Бу ифодадан қўринадики, заряд ташувчиларнинг паст уйғотиш даражасида юклама қаршилик  $R_H$  нинг исталган қийматида  $\Delta V_H$  билан намуна фотоўтказувчанлиги  $\Delta G$  орасида пропорционаллик сақланади. Ихтиёрий уйғотиш даражасида,  $\Delta V_H$  билан  $\Delta G$  — орасидаги пропорционаллик  $R_H \gg R_0$  бўлгандағина сақланади. Бу ҳолда (4.54) дан

$$\Delta V_H = \frac{V_H R_0^2}{R_H} \Delta G \quad (4.55)$$

бўлади. (4.54) ва (4.55) ифодалар ўринли бўлган ҳолда,  $\Delta G$  ва унга пропорционал бўлган  $R_H$  даги кучланиш импульси  $\Delta V_H$  ни вақт бўйича сўниши рекомбинация қонунияти бўйича бўлиб, мувозанатдаги қийматига интилади.  $R_H$  қаршилиқда ёруглик импульсидан вужудга келган кучланиш импульсини кенг поласали кучайтиргичга, сунг ундан осциллографга берилади ва фотоўтказувчанлик релаксацияси осциллограмма шаклида қайд қилинади. Осциллограммани турғун ушлаб туриш учун у ташқи сигнал билан *синхронланади*. Бунинг учун намунага тушаётган ёруглик яримшаффоф кўзгу билан икки қисмга ажратилади. Уларнинг бири кичик инерцияли, тезкор фото қабул қилгич (фото-электрон кучайтиргич, фотодиод, вакуумли фотоэлемент) орқали электр импульсига айлантирилади ва осциллографнинг синхронлаш блокининг киришига берилади (43-расм).

Осциллограммадан кучланиш импульси  $\Delta V_H$  нинг камайиш чизигини таҳлил қилиб, унинг экспоненциал со-

ҳасининг вақт доимийси аниқланади ва у орқали заряд ташувчилар яшаш вақти ҳисобланади. Кучланиш импульсининг бошланғич тез камайиш соҳаси, юқори гармоникалар тушишини аниқлаши туфайли, эътиборга олинмайди. Одатда бу усул билан  $\tau$  ни ўлчашда кўтарилиш, тушиш вақтлари кичик бўлган тўғри бурчакли ёруғлик импульслари ишлатилади. Бундай ёруғлик импульслари ни олишда Поккельс ва Керр ячейкали модуляторлар, инжекцион лазерлар,  $p-n$  — гамо ўтишли ёруғлик диодлари ва бошқалар ишлатилади. Керр, Поккельс ячейкали модуляторлар электро-оптик эффектларга асосланган. Электрооптик эффектни вақт доимийси  $\sim 10^{-8}$  с тартибida, шу эффектга асосланган модуляторлар қўллаш билан импульс фронти  $10^{-7} \div 10^{-8}$  сек. бўлган тўғри бурчакли ёруғлик импульслари олиш мумкин. Ёруғлик диодларида  $p-n$  ўтиши учун тўғри кучланиш берилганда инжекцияланган номувозанатий заряд ташувчилар рекомбинацияси туфайли, нурланиш содир бўлади. Ёруғлик диодлари ни, инжекцион лазерларни ўзгарувчан ток импульси билан уйғотиб, улар параметрига мос келадиган ёруғлик импульси олиш мумкин. Нурланиш импульсларини олди ва орқа фронтлари заряд ташувчилар яшаш вақтига боғлиқ бўлиб, у  $10^{-7} : 10^{-9}$  сек тартибida бўлади. Импульсли ёруғлик манбалари сифатида (инерт газлар ксенон, крептон ёки улар аралашмаси тўлдирилган) газли разряд лампалар ҳам ишлатилади. Кучланиш импульси лампанинг ёндирувчи ва ток ўтадиган электродларига берилганда лампадан оқаётган ток тўхтагандан сўнг ҳам бир неча микро секунд разряд давом этади. Бу лампаларда ёруғлик импульсининг минимал сўниш вақти 1 мкс тартибida бўлиб, у  $\tau_{\text{ср}}$  нинг қуий чегарасини чеклайди. Номувозанатий заряд ташувчилар яшаш вақтини фотоутказувчанликнинг сўнишига асосланган усули билан аниқлашда катта хатоликка йўл қўймаслик учун бир жинсли бўлмага намуни ёритищдан (масалан, намуна ток контактлари соҳасини ёритищдан) пайдо бўладиган фотоэлектр юритувчи кучни йўқотиш керак. Бунинг учун намуна биржинсликка текширилади ва намуна Ом kontaktларига ёруғликни тушишидан сақлаш керак. Юқорида қайд қилинганидек, Ом kontaktларидағи рекомбинация жараёнлари фотоутказувчанликнинг сўнишига таъсир кўрсатмаслиги

учун Ом контактларидан ёритилаётган қисмгача бүлган масофа заряд ташувчилар диффузион узунлигидан бир неча марта катта  $l \geq (2 \div 3L)$  бўлиши зарур. Яримутказгич намуналарида ёпишиш марказлари мавжуд бўлса, уларнинг таъсири туфайли фотоутказувчанликнинг сўниш қисмида узоқ вақтли ташкил этувчиси бўлади. Буни йўқотиш учун намунани кучсиз ёруғлик билан доимий ёритиб туриш тавсия этилади, чунки бу ҳолда ёпишиш марказлари заряд ташувчилар билан тўлатилган бўлади. Фотоутказувчанлик релаксациясидан заряд ташувчилар ҳажмий яшаш вақтини аниқлашда сирт рекомбинация жараёни туфайли содир бўлган хатолик, асосан, намуна сиртларининг ишловига ва намуна геометрик ўлчамларига боғлиқ. Буни баҳолаш учун ўлчамлари  $a$ ,  $b \gg d$  бўлган намуналарда заряд ташувчилар диффузия коэффициентига, сиртий рекомбинация  $S$  тезлигига, намуна қалинлигига боғлиқ бўлган сиртий яшаш вақти (4.41) ва (4.42)

ларга кўра  $\left( C = \frac{d}{2} \right)$  га алмаштириб

$$\tau_s = \frac{d^2}{4\xi^2 D} \quad (4.56)$$

ифодадан топилади.  $\xi$  — катталик

$$\xi_1 \operatorname{tg} \xi_1 = \frac{dS}{D} \quad (4.57)$$

трансдент тенглама ечими.  $\tau_s$  нинг заряд ташувчиларнинг ҳажмдаги яшаш вақтига таъсирини кремний мисолида кўрайлик. Бунинг учун кремний намуналарининг сартлари икки хил, яъни: а) механик-кимёвий ишловдан ва б) едириш (кислота ёки ишқорлар билан сиртини ювиш) ишловидан ўтган сиртлардир.

Бу сирт ишловларига мос равища рекомбинация тезликларининг  $10^4$  см/с,  $10^3$  см/с қийматлари тўғри келади. (4.56) ва (4.57) асосида ҳисобланган  $\tau_s$  нинг ҳар хил қалинликдаги қийматлари 4.1-жадвалда келтирилган.

Кремний намуналарида асосий бўлмаган заряд ташувчиларнинг сиртдаги яшаш вақтлари.

Намуна, қалинлиги, мм	$\tau_s = \frac{d^2}{4\xi_1^2 D}$			
	$p$ -тип $D_p = 39 \text{ см}^2/\text{с}$	$n$ -тип $D_p = 15,5 \text{ см}^2/\text{с}$	$S=10^4 \text{ см}/\text{с}$	$S=10^3 \text{ см}/\text{с}$
$d$	$S=10^4 \text{ см}/\text{с}$	$S=10^3 \text{ см}/\text{с}$	$S=10^4 \text{ см}/\text{с}$	$S=10^3 \text{ см}/\text{с}$
0,4	6	24	12	29
1	31	72	70	110
5	670	880	1700	1960
10	2700	3100	6800	7100
15	5900	6500	10000	11000
20	10500	11000	27000	27000

$\tau_s$  нинг қийматлари таҳлилидан кўринадики,  $\tau$  ни  $\Delta G$  нинг сўниши бўйича аниқлашда заряд ташувчилар ҳажмий яшаш вақтини 10% дан катта бўлмаган хатолик билан ўлчаш учун,  $\frac{1}{\tau_{\text{зф}}} = \frac{1}{\tau} + \frac{1}{\tau_s}$  га кўра, шундай қалинликдаги намунани танлаш керакки, унда  $\tau_s$  нинг қиймати  $\tau$  га нисбатан камида (бир тартибда) ўн марта катта бўлиши керак. Масалан, диаметри  $\phi 76 \text{ мм}$ , қалинлиги  $0,4 \text{ мм}$  бўлган кремний намунасида  $\tau$  ни 10% дан катта бўлмаган хатолик билан ўлчаш учун  $\tau$  нинг қиймати  $1 \div 2 \text{ мкс}$  дан кичик бўлиши керак. Электрон саноати ривожланиши билан кейинги йилларда заряд ташувчилар параметрларини kontaktсиз аниқлаш усулларига талаб ортди. Шу боисдан бир қанча усуллар яратилди. Бу усуллар асосида намунага инжекцияланган заряд ташувчилар концентрациясининг сўниши билан боғлиқ ҳодисалар ётади. Масалан, ёруғлик импульси билан генерацияланган эркин заряд ташувчиларда ёруғлик ютилиш коэффициентининг сўнишига асосланган усулни кўрсатиш мумкин.

в. Бир жинсли намуналарда заряд ташувчилар яшаш вақтини ўлчашнинг частотавий фаза усуллари

Бу усуллар билан  $\tau$  ни аниқлашнинг асосида номувознат заряд ташувчилар яшаш вақтини аниқ маълум бир чекли қийматга эга бўлиши билан боғлиқ концентрацияси, фотоўтказувчаникнинг сўниш ва кўтарилиш жараёнлари инерционлиги ётади.

Намунада заряд ташувчилар интенсивлиги синусоиди бўйича (гармоник) модуляцияланган

$$I_v = I_{0v} (1 + \sin \omega t)$$

ёки комплекс функция кўриниш

$$I_v = I_{0v} + I_{0v} e^{i\omega t}$$

билин ифодаланувчи ёруғлик билан қўзғатилганда намуналинг фотоўтказувчанилиги ва фототоки бироз кечикиш билан худди ёруғлик интенсивлигини ўзгариши каби содир бўлади. Яъни ёруғлик оқими билан фототок орасида фаза фарқи пайдо бўлади. Бу фаза силжиши заряд ташувчиларнинг ҳажмий яшаш вақтига ёруғлик модуляциясининг частотасига, сиртий рекомбинация тезлигига боғлиқ. Шундай қилиб, бу икки сигнал орасидаги фаза фарқини (силжишини) ўлчаш билан  $\tau$  ни аниқлаш имкони туғилади.

Ёруғликнинг модуляция частотаси ошиши билан фототокни частотага боғлиқлиги намоён бўла бошлайди. Фаза силжиши каби фототок амплитудаси  $\tau$ ,  $\omega$  ларга боғлиқ. Фототок амплитудасининг ёруғлик модуляцияси частотасига боғланишидан  $\tau$  ни топиш мумкин. Бу усуллар билан  $\tau$  ни аниқлаш назариясини қараб чиқамиз. Масалан, соддалаштириш учун заряд ташувчилар намунада текис генерациялансан, электр майдон кучланганлиги кичик, намуна сиртларида сиртий рекомбинация бўлмасин деб фараз қилинганда, (4.9) узлуксизлик тенгламанинг дрейф, диффузия билан боғлиқ ҳадлари инобатга олинмайди. Бу ҳолда заряд ташувчилар генерация тезлиги  $g_{0v} = \alpha \beta I_{0v} (1 - R_v)$  (4.58) ёки (4.59) га кўра

$$g = \alpha \beta I_{0v} (1 + \sin \omega t) (1 - R_v) = g_{0v} + g_{0v} \sin \omega t \quad (4.60)$$

$$g = \alpha \beta I_{0v} (1 + e^{i\omega t}) (1 - R_v) = g_{0v} + g_{0v} e^{i\omega t} \quad (4.61)$$

ифода билан аниқланади. Шундай қилиб, (4.9) узлуксизлик тенгламаси (4.60) га кўра

$$\frac{d\Delta n}{dt} = g_0 + g_0 \sin \omega t - \frac{\Delta n}{\tau_n} \quad (4.62)$$

бўлади. Генерация (ҳади) тезлиги икки ҳаддан иборат бўлгани учун (4.62) даги номувозанатий ортиқча заряд ташувчилар концентрациясини

$$\Delta n = \Delta n_{ct} + \Delta n(\omega t) \quad (4.63)$$

кўринишда ифодалаймиз. Бу ерда  $\Delta n_{ct}$  — генерациянинг доимий ташкил этувчиси ( $g_0$ ) га мос келувчи концентрацияси,  $\Delta n(\omega t)$  — генерация ҳадини ўзгарувчан ташкил этувчисига мос келган концентрация, яъни гармоник ташкил этувчиси  $\Delta n$  нинг ўзгарувчан ташкил этувчиси.  $\Delta n(\omega t)$  нинг узлуксизлик тенгламаси (4.62) дан (4.63) га кўра

$$\frac{d\Delta n(\omega t)}{dt} = g_0 \sin \omega t - \frac{\Delta n(\omega t)}{\tau_n} \quad (4.64)$$

бўлади. Унинг хусусий ечими

$$\Delta n(\omega t) = g_0 + \frac{\tau}{1 + \omega^2 \tau^2} [\sin \omega t - \omega t \cos \omega t] \quad (4.65)$$

билилардан ифодаланади,

$$\sin(\omega t - \theta) = \cos \theta [\sin \omega t + \tan \theta \cos \omega t]$$

бўлишларини назарда тутсак, уни (4.65) билан солиштиришдан

$$\begin{aligned} \tan \theta &= \omega \tau \\ \theta &= \arctan \omega \tau \end{aligned}$$

билиларини кўрамиз ҳамда, яъни

$$\cos \theta = \frac{1}{\sqrt{1 + (\omega \tau)^2}}$$

бўлишларини эътиборга олсак, (4.65)

$$\Delta n(\omega t) = g_0 \frac{\tau}{\sqrt{1 + \omega^2 \tau^2}} \sin(\omega t - \arctan \omega \tau) \quad (4.66)$$

күриниши олади. Бу ифоданинг таҳлилидан күринадики, номувозанат заряд ташувчилар ортиқча концентрациясининг ўзгарувчан (гармоник) ташкил этувчисининг ифодаси (4.66) ўзгарувчан генерация тезлиги  $g_0(\omega t)$  каби бўлиб, лекин улар бир-биридан амплитудалари билан ва бир-бирига нисбатан силжиган фазаси билан фарқланади. Намунада сиртий рекомбинация мавжуд бўлганда фотоутказувчанлик билан уйғотувчи ёруғлик оқими орасида фаза фарқи кўп яримутказгич параметрларига боғлиқ мурраккаб функция бўлиб,  $S$  нинг ортиши  $\theta$  нинг камайишига олиб келади.

Заряд ташувчилар яшаш вақтини ёруғлик интенсивлигининг модуляциялаш частотасига боғлиқлиги орқали аниқлаш усулини қўрамиз.

4.3.1. бўлимда фототок  $\Delta I$ , фотоутказувчанлик ( $\Delta G$ ) га  $\Delta G$  эса ўз навбатида  $\Delta n$  га пропорционаллигини кўрган эдик. Интенсивлиги гармоник модуляцияланган ёруғлик билан ёритилган намунада пайдо бўлган фототокнинг ўзгарувчан ташкил этувчисининг амплитудаси  $\Delta I_0(\omega t)$  (4.66) га кўра

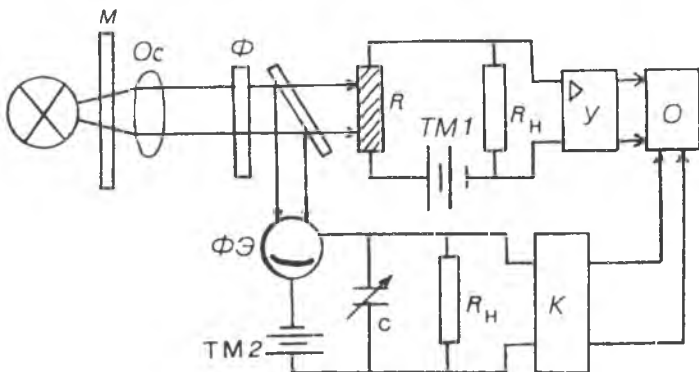
$$\Delta I_0(\omega t) \sim g_0 \frac{\tau}{\sqrt{1 + \omega^2 \tau^2}}$$

бўлади. Модуляция частотаси камайиб бориши билан фототок амплитудаси ортиб боради ва  $\omega \tau \ll 1$  шарт бажарилганда максимумга эришади. Шундай қилиб, модуляция частотаси етарли катта бўлгандаги фототокни,  $\omega \rightarrow 0$  даги фототокга нисбати

$$\frac{\Delta I(\omega t)}{\Delta I(0)} = \frac{\Delta n(\omega t)}{\Delta n(0)} = \frac{1}{\sqrt{1 + \omega^2 \tau^2}} \quad (4.67)$$

билин аниқланишини қўрамиз.  $\omega \tau = 1$  да

$$\frac{\Delta I(\omega t)}{\Delta I(0)} = \frac{1}{\sqrt{2}} \approx 0,71 \quad (4.68)$$



4.4-расм. Заряд ташувчилар яшаш вақтини фаза силжишининг компенсация қилиш усули билан үлчаш қурилмасининг схемаси. ФЭ — вакуумли (тезкор) фотоэлемент; ТМ1, ТМ2 — ўзгармас ток манбалари; К — катод тақрорлагич.

Демак, номувозанат заряд ташувчилар яшаш вақтини  $\Delta I(\omega t)$  боғланишидан аниқлаш учун ёруғликнинг модуляция частотасини ошира бориб, унинг фототок амплитудалари нисбати 0,71 га тенг бўлган қиймати топилади ва у орқали яшаш вақти  $\tau = \frac{1}{\omega} = \frac{1}{2\pi\nu}$  ифодадан ҳисобланади. Интенсивлиги синусоиди бўйича модуляцияланган ёруғлик билан  $\tau$  ни үлчаш қурилмасининг чизмаси 4.4-расмда келтирилган. Бунда яримшаффоф кўзгу ёруғлик оқимини икки қисмга ажратади. Биринчи қисми намунага тушади ва натижада ток манбаи  $TM1$  га ва намунага кетма-кет уланган юклама қаршилик  $R_H$  да кучланиш импульси  $\Delta V_H$  ни пайдо қиласди. Кичик даражали инженерияда, заряд ташувчилар текис генерацияланганда ва сирт рекомбинацияси тезлиги жуда кичик, эътиборга олмайдиган бўлганда  $\Delta n$  ва унга пропорционал бўлган  $\Delta N$  ҳам (4.64) узлуксизлик тенгламасидан топилади.

Ёпишиш марказлари йўқ бўлганда  $\Delta N = \Delta P$  электронейтраллик шарти ўринли бўлганда  $\Delta N$  билан  $\Delta G$ ,  $\Delta G$  билан  $\Delta V_H$  орасидаги боғланишлар чизиқли бўлганда ( $\Delta V_H$ )

$$\frac{d\Delta V_H}{dt} = B(1 + \sin \omega t) - \frac{\Delta V_H}{\tau} \quad (4.69)$$

тenglamадан топилади.  $B$  — константа (доимий катталик). Ёруғлик оқимининг иккинчи қисми токнинг түйиниш режимида ишлайдиган вакуумли фотоэлементга тушади ва ток манбанинг TM2 фотоэлемент, ўзгарувчан сифим  $C$  ва  $R_1$  қаршиликдан иборат занжиридан  $I = I_0(1 + \sin \omega t)$  ток оқа бошлайди.  $R_1$  қаршиликдаги кучланиш

$$\frac{d\Delta V_1(\omega t)}{dt} = B_1(1 + \sin \omega t) - \frac{\Delta V_1(\omega t)}{R_1 \cdot C}$$

тенглама билан аниқланади. Бу ерда  $B_1$  — доимий катталик.  $\Delta V_H$  ва  $\Delta V_1$  кучланишлар бир хил кучайтиргичлар орқали осциллограф найчасининг  $x$  ва  $y$  — пластиналарига берилади.

Бошланғич шартларнинг бир хиллигини ҳисобга олган ҳолда (4.69) ва (4.70) тенгламалардан кўринадики,  $R_1 C = \tau$  бўлганда,  $\Delta V_1(\omega t)$  ва  $\Delta V_H(\omega t)$  ларнинг  $t$  билан боғланиши бир хил бўлади ва экранда оғма тўғри чизиқ кузатилади.  $\tau \neq R_1 C$  да  $\Delta V_H(\omega t)$  ва  $\Delta V_1(\omega t)$  орасида фаза силжиши пайдо бўлади ва экранда эллипс кузатилади. У синусоида бўйича модуляцияланган ёруғлик билан ишлайдиган чизма  $\tau$  ни  $10^{-10}$  с гача ўлчаш имконини беради. Бундай модуляцияланган ёруғликни доира шаклидаги тешиклари бўлган дискни айлантириб ёки электрооптик модуляторлар ёрдамида олиш мумкин.

## г. Эпитаксиал қатламларда $\tau$ ни аниқлашнинг фазавий усуслари

Бу усулнинг асосида эпитаксиал қатламда олинган Шоттки (контакти) диодининг интенсивлиги гармоник модуляцияланган ёруғлик билан ёритганда пайдо бўлган фототок билан ёруғлик оқими орасидаги силжиш фазасини ўлчаш ётади.  $\tau$  ни  $pp^+$  — эпитаксиал структураларда ўлчашни кўрайлил (46-расм).

Шоттки контакти (диоди) эпитаксиал структуранинг солишишторма қаршилиги тагликка нисбатан катта бўлган қатлам ( $n$ ) га, таглик ( $n^+$ ) томонига эса Ом контакти олинган. Структура таглик томонидан ютилиш коэффициенти кичик бўлган, интенсивлиги бўйича модуляцияланган монохроматик ёруғлик билан ёритилади. Бу ҳолда заряд

ташувчиларнинг текис генерацияланиши содир бўлади. Ёруғлик билан генерацияланган ноасосий заряд ташувчилар (кавак) Шоттки контакти томон диффузияланади ва фототокни вужудга келтиради. Агар заряд ташувчилар диффузион узунлиги катта бўлса, ҳажмий заряд соҳаси кенглигини инобатга олмаса ҳам бўлади. У ҳолда Шоттки контакти учун қисқа туташув режимида чегаравий шартни

$$\Delta p_1(0)=0 \quad (4.71)$$

кўринишда ёзиш мумкин. Шоттки контактидан ташқарида эпитаксиал қатлам сиртий рекомбинацияси жуда катта деб фараз қилинса, (4.71) чегаравий шарт структуранинг бутун сирти бўйича ўринли бўлади ва масала бир ўлчамли бўлади. Эпитаксиал қатлам сиртида сиртий рекомбинация тезлиги чекли қиймат қабул қиласа, нобиржинсли чегаравий шарт ҳисобга олиниши керак ва уч ўлчамли масалани ечиш керак бўлади. Таглик билан эпитаксиал қатлам чегарасида чегаравий шартлар

$$\Delta p_2(d)=\Delta p_1(d)e^{-\epsilon\varphi k/kT} \quad (4.72)$$

$$D_1 \frac{d\Delta p_1}{dx} \Bigg|_{x=d} = D_2 \frac{d\Delta p_2}{dx} \Bigg|_{x=d} \quad (4.73)$$

билин ифодаланади. (4.72) шарт эпитаксиал қатлам билан таглик чегарасида потенциал тўсиқ мавжудлигини, (4.73) эса диффузион оқимлар узлуксизлигини англагади.

Юқорида кўрганимиздек, ёруғлик интенсивлиги синусоида бўйича (гармоник) модуляцияланган, шунинг учун генерация тезлиги (4.61) гармоник ҳадининг  $g(\omega t)=g_0 \exp(i\omega t)$  кўринишдаги ифодасидан фойдаланамиз. Номувозанат асосий бўлмаган заряд ташувчилар концентрацияси (4.63) гармоник ташкил этувчисини

$$\Delta p(x, \omega t)=\Delta p(x)e^{i\omega t} \quad (4.74)$$

кўринишда қидирсак, унинг амплитудаси  $\Delta p(x)$  таглик ҳамда эпитаксиал қатлам учун бир хил бўлган узлуксизлик тенгламаси

$$i\omega \Delta p(x) = D_p \frac{d^2 \Delta p(x)}{dx^2} - \frac{\Delta p(x)}{\tau_p} + g_0 \quad (4.75)$$

билин ифодаланади. Бу тенгламани таглик ва эпитаксиал қатлам учун (4.70)÷(4.72) чегаравий шартларни қаноатлантирувчи  $\Delta p_1(x)$  ва  $\Delta p_2(x)$  ечимлари топилади. Ҳисобларнинг кўрсатишича, улар асосида топилган қисқа туташув фототоки амплитудасининг ифодаси

$$\gamma_{KT} = -eD_1 \frac{d\Delta p}{dx} \Big|_{x=0} = -eg_0 L_1 \frac{sh\left(\frac{d}{z_1}\right) + \left(\xi sh \frac{d}{L_1} + \frac{L^2}{L_2}\right) - 1}{\xi ch \frac{d}{L_1} + sh \frac{d}{L_1}} \quad (4.76)$$

кўринишда бўлади. Бу ерда,

$$L_1 = \left( \frac{D_1 \tau_1}{1 + i\omega \tau_1} \right)^{\frac{1}{2}}; \quad L_2 = \left( \frac{D_2 \tau_2}{1 + i\omega \tau_2} \right)^{\frac{1}{2}}; \quad \xi = \frac{L_2 D_1}{L_1 D_2} e^{\frac{e\varphi_K}{KT}} \quad (4.77)$$

Таглиқдаги ва эпитаксиал қатламдаги асосий заряд ташувчилар концентрациялари нисбати  $\frac{n_2}{n_1} > 10^3$  бўлганда  $\exp\left(\frac{e\varphi_K}{KT}\right) > 10^3$ ,  $\xi \gg 1$  бўлади ва ток ифодаси соддалашади.

$$j_{KT} = -eg_0 \left[ L_1 \operatorname{tg} \frac{d}{L_1} + L_2 \operatorname{sch} \frac{d}{L_1} \right] \quad (4.78)$$

Бу ифоданинг биринчи ҳади эпитаксиал қатламда генерацияланган заряд ташувчиларнинг иккинчи ҳади таглиқдан эпитаксиал қатламга инжекцияланган заряд ташувчилардан йиғувчи контактга етиб келган қисмининг фототокга қўшган ҳиссасини кўрсатади. Шунинг учун

иккинчи ҳадини эътиборга олмаслик мумкин ва фототок амплитудасини

$$j_{KT} = -eg_0 \left( \frac{D_i \tau_i}{1 + i\omega \tau_i} \right)^{\frac{1}{2}} \operatorname{th} \left[ \frac{d}{\left( \frac{D_i \tau_i}{1 + i\omega \tau_i} \right)^{\frac{1}{2}}} \right] \quad (4.79)$$

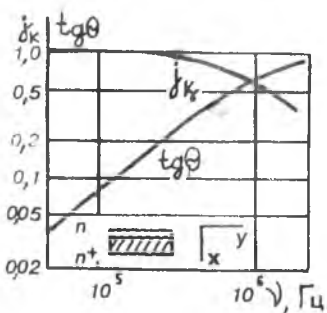
ифодадан ҳисоблаш мумкин. Паст частоталар  $\omega \tau \ll 1$  да фототок фазасининг силжиши

$$\operatorname{tg} \theta = -\frac{\omega \tau_i}{2} \left[ 1 - \frac{2d}{(D_i \tau_i)^{\frac{1}{2}}} \operatorname{csh} \frac{2d}{(D_i \tau_i)^{\frac{1}{2}}} \right] \quad (4.80)$$

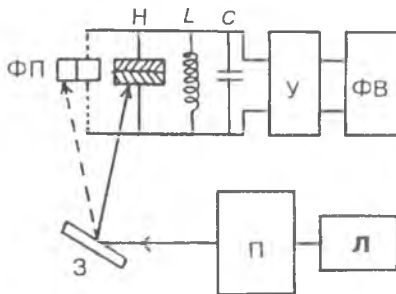
билин аниқланади. Агар  $\frac{(D_i \tau_i)^{\frac{1}{2}}}{d} = 2$  бўлганда (4.80) ни иккинчи ҳади бирга нисбатан анча кичик. Буни эътиборга олмаганди

$$\operatorname{tg} \theta = -\frac{\omega \tau_i}{2}$$

билин аниқланишини кўрамиз 4.5-расмда солиштирма қаршилиги 28 Ом. см, қалинлиги 50,2 мкм, заряд ташувчиларнинг диффузион узунлиги 18,5 мкм бўлган кремний эпитаксиал қатлами учун ҳисобланган  $\operatorname{tg} \theta$  ва фототок амплитудасини ёргулик интенсивлигини модуляция частотасига боғланиш графиги келтирилган. Келтирилган назарий боғланиш тажриба натижалари билан мос тушган. Бу юқорида келтирилган назарий ҳисоблашларда қабул қилинган фаразлар ўринли эканлигидан да-



4.5-расм. Фаза силжиши  $\operatorname{tg} \theta$  нинг ва фототок амплитудасининг модуляция частотасига боғланиши.



4.6-расм. Шоттки диодининг фототоки буйича фазавий усул билан заряд ташувчилар яшаш вақтини ўлчаш қурилмасининг схемаси.

ФП — юқори частотали фотоқабулқилгич (тезкор фотодиод):

П — Поккельс модулятори; Н — намуна; У — кучайтиргич:

Л — лазер; ФВ — фаза сезгир вольтметр; З — ясси кўзгу.

лолат беради. Эпитаксиал структураларда  $\tau$  ни аниқлаш қурилмасининг чизмаси 4.6-расмда келтирилган. Курилмада электрооптик Поккельс ячейкаси (II) билан модуляцияланган лазер нури намунанинг таглик томонига туширилади. Ёруғлик оқими навбатма-навбат (галма-гал) кўзгу орқали намуна 0 га, юқори частотали фотоқабулқилгич (ФП) га тушади. Фотоқабулқилгич ФП — стандарт фазали таянч сигнални ҳосил қиласиди. Намуна ва фотоқабулқилгич томонидан пайдо бўлган сигналлар фазага сезгир вольтметрга берилади. У билан намуна ва фотоқабулқигичдаги сигналлар амплитудалари нисбати ва улар орасидаги фаза силжиши ўлчанади. Шуни таъкидлаш керакки, лазер нури интенсивлигининг ўзариши резонанс контурининг сифати модуляция частотасидаги ўлчаш натижаларига таъсир кўрсатмайди. Бу усулнинг ютуғига  $\tau$  ни осон ҳисоблашликни ва ўлчаш натижасини сирт ишловига кучсиз боғланишини кўрсатиш мумкин, ўлчаш мумкин бўлган —  $\tau$  нинг қўйи чегараси структура сифими ва унга кетма-кет бўлган қаршилиги билан аниқланадиган максимал модуляция частотасига боғлиқ.

#### *д. Фотолюминесценция орқали $\tau$ ни ўлчаш*

Фотолюминесценция орқали  $\tau$  нинг фазавий ўлчаш усули яримутказгич намуналарида интенсивлиги модуля-

цияланган ёруғлик билан номувозанат заряд ташувчилар уйғотилганда уларнинг нурланиши рекомбинациясидан содир бўлган фотолюминесценция оқими билан уйғотувчи модуляцияланган ёруғлик орасидаги фаза силжишини ўлчашга асосланган. Яримўтказгични  $x=0$  текислиги интенсивлиги вақт бўйича,  $I = I_1 + I_0 \exp(i\omega t)$  қонун билан ўзгарувчан энергияси  $\hbar\omega > E_g$  бўлган, яъни интенсивликнинг гармоник ташкил этувчиси бўлган монохроматик ёруғлик билан ёритилсан. Бу ёруғлик оқимининг ютилишидан юзага келган заряд ташувчилар генерация тезлиги

$$g(x, t) = \frac{1 - R}{h\nu} \left[ I_1 + I_0 e^{i\omega t} \right] \alpha \beta e^{-\alpha x} \quad (4.82)$$

билан ифодаланади. Агар ёруғликдан генерацияланган заряд ташувчилар тақсимоти диффузия, дрейф, рекомбинация жараёнлари туфайли пайдо бўлган бўлса, у ҳолда, узлуксизлик тенгламаси (4.10) каби бўлиб, олдин кўрганимиздек, у икки қисмга ажралади. Юқорида кўрсатилганидек,  $x$  ва модуляция частотаси  $\omega$  га боғлиқ ортиқча номувозанат заряд ташувчилар концентрациясининг гармоник ташкил этувчининг узлуксизлик тенгламаси

$$i\omega \Delta n(x) = D_n \frac{d^2 \Delta n(x)}{dx^2} - \frac{\Delta n(x)}{\tau_n} + g_0 e^{-\alpha x} \quad (4.83)$$

куринишда бўлади. (4.83) тенгламанинг (4.75) дан фарқи шундаки, унда заряд ташувчиларнинг нотекис генерацияниши ҳисобга олинган. Қалин намуналар  $d \gg L_n$  да ёритилмаган томонида номувозанат заряд ташувчилар концентрациясини эътиборга олмаслик мумкин. Шунинг учун (4.83) тенгламанинг ёритилган сиртида

$$D_n \frac{d \Delta n(x)}{dx} \Big|_{x=0} = S \Delta n(x) \Big|_{x=0}$$

ёритилмаган сиртида

$$D_n \frac{d \Delta n(x)}{dx} \Big|_{x=0} = 0$$

$$\Delta n(x) = \frac{g_0 \tau_n}{\alpha^2 L_n^2 - 1 - i\omega \tau} \left[ -\exp(-ax) + \frac{S + \alpha D_n}{S + \frac{D_n}{L_n} (1 + i\omega \tau_n)^{1/2}} \right] \times \\ \times \exp \left[ -\frac{x}{L_n} (1 + i\omega \tau_n)^{1/2} \right] \quad (4.84)$$

кўринишида бўлади. Агар намунадан нурланаётган фотонларни қайта ютилиш коэффициенти ( $\alpha_0$  — люминесценция коэффициенти) кичик бўлса, яъни  $\alpha_0 L_n \ll 1$  бўлса, у ҳолда нурланаётган фотонлар оқими

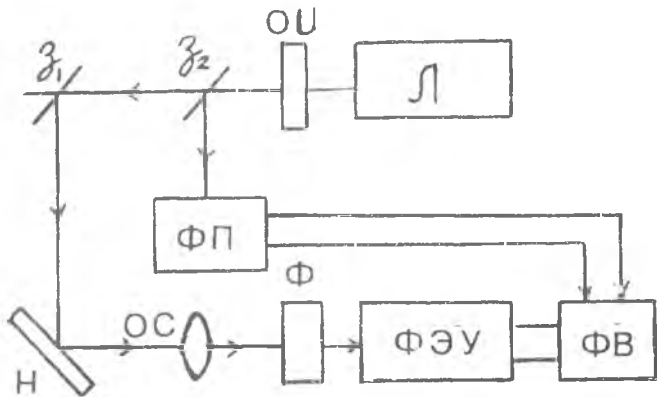
$$I_{OL} = \eta \int_0^\infty \frac{\Delta n(x)}{\tau_r} dx \quad (4.85)$$

билил аниқланади. Бу ерда  $\eta$  — фотолюминесценциянинг ташқи квант чизигининг ички квант чиқишига нисбати,  $\tau_r$  — нурланишининг яшаш вақти. Паст даражали уйготишида  $\tau_r = \text{const}$  бўлади. Уйғотувчи ёруғликнинг кучли ютилиш соҳасида, яъни  $\alpha L_n \gg (1 + i\omega \tau_n)^{1/2}$  бўлганда сиртий рекомбинация тезлиги кичик  $\frac{SL_n}{D_n} \ll 1$  бўлганда, ҳисоблашларнинг кўрсатишича, люминесценция оқимининг ифодаси

$$I_{OL} = \eta \frac{g_0 \tau_n}{\alpha \tau_r} \cdot \frac{\alpha L_n}{1 + i\omega \tau_n} = \eta \frac{g_0 \tau_n L_n}{\tau_r} \cdot \frac{1}{(1 + \omega^2 \tau_n^2)} \quad (4.86)$$

кўринишида бўлади. Унинг фаза силжиши тангенси эса  $\operatorname{tg} \theta = -\omega \tau_n$ , яшаш вақти  $\tau_n = -\frac{\operatorname{tg} \theta}{\omega}$  бўлади. Сиртий рекомбинация катта —  $\frac{SL_n}{D_n} \gg 1$  бўлганда

$$I_{OL} = \eta \frac{g_0 \tau_n}{\tau r} \frac{L_n}{(1 + i\omega \tau_n)}; \quad \operatorname{tg} \theta = -\frac{\omega \tau_n}{2}; \quad \tau_n = -\frac{2}{\omega} \operatorname{tg} \theta \quad (4.87)$$



4.7-расм. Фотолюминесценция бўйича фазавий усул билан заряд ташувчилар яшаш вақтини аниқлаш қурилмаси. ОИ — ёруғлик интенсивлиги ўзгартиргичи;  $Z_1$  — ясси кўзгу; ФЭУ — фотоэлектрон кўпайтиргич;  $Z_2$  — яримшаффоф ясси кўзгу.

бўлади. Бурчакларнинг кичик қийматида  $\operatorname{tg} \theta \approx \theta$  сиртий рекомбинациясининг иккита чегаравий қийматида, яъни  $S=0$  ва  $S \rightarrow \infty$  бўлган ҳоллардаги заряд ташувчилар яшаш вақтлари бир-биридан икки мартадан ортиқ фарқ қilmайдилар.

Заряд ташувчилар яшаш вақтини ўлчаш қурилмасининг чизмаси 4.7-расмда келтирилган. Намуна  $\theta$  асилиги бўйича модуляцияланган лазер нури билан уйғотилади. Намунага тушаётган ёруғлик интенсивлиги сурайтиргич ОИ орқали бошқарилади. Намунанинг нурланиши оптик фильтр (сузгич)лар тўплами  $\Phi$  га йўналтирилади. Улар орқали фотолюминесценция нурланиши ўtkазилади ва фотоэлектрон кучайтиргич ФЭУ га фокусланади. Фотоэлектрон кучайтиргичдан кучланиш фазасезгир вольтметр ФВ ни 1-киришига берилади. ФВ нинг иккичи киришига фотоқабулқилгич ФПдан таянч кучланиши сигнали берилади. Яримшаффоф кўзгу  $Z_2$  орқали ёруғлик оқимининг бир қисми ФП га йўналтирилади. Кўзгу  $Z_1$  ёруғлик йўналишини ўзгартиришга ишлатилган. Фаза сезгир вольтметр бу кучанишлар орасидаги фаза фарқини ўлчайди. Уйғотувчи лазер нурланиши билан фотодиддаги таянч кучланиш орасидаги фаза фарқи намунадан

социлган лазер нурини, рекомбинацион нурланиши билан бир хил оптик йүл ўтишидан ўлчанади. Бу ўлчашиб тижаларига кўра, кўзғагувчи ёруғлик оқими билан фотолюминесценция оқими орасидаги фаза силжиши ҳисобланади. Фаза силжишининг аниқлиги 5% тартибида бўлишилиги келтирилган. Юқорида ёритилган бу усулни арсенид галий эпитаксиал қатламларга ҳам қўллаш мумкин.

#### **4.4 §. Ток импульси инжекциясига асосланган номувозанат заряд ташувчилар яшаш вақтини аниқлаш усуллари**

*a. τ ни нуқтавий контактда ўтказувчаникнинг модуляцияси буйича ўлчашиб усуллари*

Яримўгказгич материалларини, асбобларини ишлаб чиқариш жараёнида монокристалл қўйма (слиток) ўзак (стержень) намуналарида заряд ташувчилар яшаш вақти  $\tau$  ни ўлчашга тўғри келади. Бундай намуналарда  $\tau$  ни ўлчаш учун унинг кўндаланг кесимининг сиртига инжекцияловчи металл контакт (зонд) жойлаштирилади. У номувозанат асосий бўлмаган заряд ташувчилар учун эммитер вазифасини бажаради. Намунага бундан ташқари, юзаси катта, қаршилиги кичик омик контакт олинади. Нуқтавий контакт орқали юборилган иккиланган импульсли генератордан ток режимида тўғри йўналишда амплитудаси  $I_0$ , давомийлиги  $t_u$  бўлган тўғри бурчакли ток импульси намунада номувозанат заряд ташувчиларни инжекциялади ва контакт атрофидаги қаршиликни камайтиради.

Инжекцияловчи ток импульси тугагандан бироз вақт ўтгач (кечикиш вақти  $t_s$  бўлган), амплитудаси, давомийлиги биринчи импульсники билан бир хил бўлган иккичи тўғри бурчакли импульс узатилади. Агар икки импульс орасидаги вақт  $t_s$ , яъни иккинчи импульснинг кечикиш вақти  $t_s$  заряд ташувчилар яшаш вақти  $\tau$  дан кичик ёки унинг тартибида  $t_s \leq \tau$  бўлса, иккинчи импульснинг контактга келиш пайтида номувозанат заряд ташувчилар рекомбинацияланиб улгурмайди ва намуна kontakt соҳаси қаршилиги биринчи импульс келгунча бўлган кийматидан кичик бўлади. Шунинг учун иккинчи импульс бош-

ланган пайтда вужудга келган кучланиш импульсининг амплитудаси  $I_2(t_3)$  биринчи кучланиш импульс амплитудаси  $I_1(\infty)$ дан кичик бўлади.

Кучланиш импульслари амплитудаларининг айрмаси

$$\Delta U(t_3) = U_1(\infty) - U_2(t_3) = f(t_3, t) \quad (4.88)$$

Иккинчи импульсининг кечикиш вақти  $t_3$  га ва заряд ташувчилар яшаш вақти  $\tau$  га боғлиқ. Нуқтавий контактдан инжекцияланган заряд ташувчилар намуна сиртига томон, ичига томон диффузияланади ва рекомбинацияланади ҳамда ток импульси давомийлиги  $t_n$  ичида электр майдон таъсирида дрейфланади. Натижада, улар қандайдир  $r_1$  масофагача тарқалади. У соҳанинг катталиги ток импульсининг давомийлигига ва ток кучига боғлиқ.  $\Delta U(t_3) = f(t_3, \tau)$  нинг назарий боғланишини ҳисоблаш учун металл зонд (контакт)нинг яримутказгич намунаси билан контактланишнинг сирти радиуси  $r_0$  бўлган яримшардан иборат деб фараз қиласиз.

Биринчи ток импульси бошланиш пайтида контакт атрофида номувозанат заряд ташувчилар бўлмайди. Ўтказувчанликнинг мувозанат заряд ташувчилар концентрацияси аниқлайди. Шунинг учун биринчи кучланиш импульсининг амплитудаси

$$U_1(\infty) = \int_{r_0}^{\infty} \frac{I_0 \rho_0}{2\pi r^2} dr = \int_{r_0}^{\infty} \frac{I_0}{2\pi r^2 \sigma_0} dr = \frac{I_0}{2\pi r_0 \sigma_0} \quad (4.89)$$

билан ифодаланади. Бу ерда:  $\sigma_0$  — мувозанатий солиштирма ўтказувчанлик. Инжекция бошланиши билан контакт қаршилиги камая боради. Инжекцияловчи ток импульсининг амплитудаси  $I_0$  ва мос равища электр майдон кучланганлиги шундай каттаки, импульс давомийлиги  $t_n$  ичида заряд ташувчиларнинг биқутбий диффузияси эътиборга олинмайди. У ҳолда кичик даражали инжекция  $\Delta n$ ,  $\Delta p \ll n_0 + p_0$  да  $t_n$  вақт ичида заряд ташувчилар радиуслари  $r_0$  дан  $r_1$  гача бўлган (шар) сферик қатламни түлдирадилар. (4.88) да келтирилган  $U_1(\infty)$  инжекцияловчи биринчи ток импульсининг олди фронтига мос келган кучланиш импульсининг (максимал) қийматини,  $U_2(t_3)$  — ток импульсининг контактга келиш пайтидаги кучланиш

тушувини англатади. Шундай қилиб, бир хил параметрли иккиланган импульслардан вужудга келган  $U_1(\infty)$  ва  $U_2(t_3)$  кучланишларнинг фарқини, иккинчи импульс бошлиниш пайтида биринчи ток импульсидан ҳосил бўлган номувозанат заряд ташувчилар билан намуна ўтказувчалигини модуляцияланган ҳолатда бўлишилиги билан тушунирилади. Номувозанат заряд ташувчилар тақсимоти сферик симметрия бўйича бўлганда (4.88)

$$\Delta U(t_3) = \frac{I_0}{2\pi} \int_{r_0}^{\infty} \left[ \frac{1}{\sigma_0} - \frac{1}{\sigma} \right] \frac{dr}{r^2} \quad (4.90)$$

билин ифодаланади. Бу ерда,  $\sigma = \sigma_0 + \Delta\sigma$  номувозанат солиштирма ўтказувчанлик. Кичик даражали инжекцияда  $\Delta n$ ,  $\Delta p \ll n_0 + p_0$  да  $\Delta\sigma \ll \sigma_0$  бўлади. Бу ҳолда (4.90)

$$\Delta U(t_3) = \frac{I_0}{2\pi\sigma_0} \int_{r_0}^{\infty} \frac{(b+1)\Delta p(r, t)}{n_0 + b \cdot p_0} \frac{dr}{r^2} \quad (4.91)$$

кўринишга келади. Маълумки сиртий рекомбинация номувозанат заряд ташувчиларнинг сиртига йўналган диффузия оқимини вужудга келтиради ва нуқтавий контактдан инжекцияланган заряд ташувчиларнинг сферик симметрия бўйича тақсимотининг бузилишига олиб келади.

Заряд ташувчиларнинг намуна ичига йўналган дрейф оқими сиртга йўналган диффузия оқимидан катта, яъни сиртий рекомбинация тезлиги кичик, намунада электр майдон кучланганлиги катта бўлганда уларнинг фазовий сферик симметрия бўйича тақсимоти сақланади. Бу шарт намуна сирти учун

$$\mu_p \vec{E} \gg S \text{ ёки } \frac{I_0 \mu_p}{2\pi r_0^2 \sigma_0} \gg S \quad (4.92)$$

кўринишда бўлади. (4.91) даги  $\Delta p(r, t)$ нинг назарий ифодаси заряд ташувчиларнинг биринчи ток импульси давомийлиги  $t_1$  ичидаги ва иккинчи импульс кечикиш вақти  $t_2$  ичидаги тақсимотларини аниқлаш орқали ҳисобланади. Биринчи ток импульси давомийлиги ичida инжекция-

ланган заряд ташувчиларнинг вақт бўйича узгаришини (4.92) шарт бажарилганда дрейф, рекомбинация жараёнлари аниқлайди. Шунинг учун сферик симметрия бўйича тақсимланган номувозанат заряд ташувчиларнинг  $t_u$  вақт ичида узгариши

$$\frac{\partial \Delta p}{\partial t} = -\mu_p F \frac{\partial \Delta p}{\partial x} - \frac{\Delta p}{\tau_p} \quad (4.93)$$

узлуксизлик тенгламадан аниқланади. (4.93) тенгламанинг бошланғич

$$\Delta p(r, t)|_{t=0} = 0 \quad (4.94)$$

чегаравий

$$\Delta p(r, t)|_{r=r_0} = \Delta p(r_0) \quad (4.95)$$

шартларни қаноатлантирувчи ечими

$$\Delta p(r, t_u) = \Delta p(r_0) \exp \left[ -\frac{2\pi\sigma(r_1^3 - r_0^3)}{3\mu_p I_0 \tau_p} \right] \quad (4.96)$$

бўлади. Ток импульсидан инжекцияланган заряд ташувчиларнинг намунага кириб бориш масофаси  $r_1$  билан импульс давомийлиги  $t_u$  орасидаги боғланиш

$$\frac{dr}{dt} = \mu_p E = \frac{\mu_p I_0}{2\pi r^2 \sigma} \quad (4.97)$$

тенгламадан топилади. Бу тенгламани интеграллаб,

$$t_u = \frac{2\pi(r_1^3 - r_0^3)}{3\mu_p I_0 \sigma} \quad (4.98)$$

еки

$$r_1 = \left[ \frac{3\mu_p I_0 \sigma}{2\pi} t_u + r_0^3 \right]^{\frac{1}{3}} \quad (4.99)$$

бұлишлігіні күрамиз. Шундай қилиб,  $r_1$  — номувозанат ошиқча заряд ташувчилар түпланиш соҳасининг чегарасини англаади. Демак, (4.96) ифода  $r$  ни

$$r_0 < r < \left[ \frac{3I_0\sigma\mu_p}{2\pi} t_u + r_0^3 \right]^{\frac{1}{3}} \quad (4.100)$$

соҳасидаги заряд ташувчиларнинг тақсимотини аниқлар экан.

Биринчи ток импульсінинг тугашидан иккінчи ток импульси бошланғунча бұлған вақт оралиғида, яғни ке-чикиш вақти  $t_3$  ичида номувозанат заряд ташувчиларнинг вақт бүйича ўзгаришини, уларнинг диффузия, рекомбинация жараёнлари аниқлайды. Шунинг учун  $t_3$  ичида асосий бұлмаган заряд ташувчилар тақсимот функциясы

$$\frac{\partial \Delta p}{\partial t} = -\frac{\Delta p}{\tau_p} + D_p \operatorname{divgrad} \Delta p \quad (4.101)$$

узлуксизлик тенгламаси орқали топилади. Намуна сирт рекомбинацияси тезлиги кичик, зонд контакт соҳасида  $S \rightarrow \infty$  бўлади, деб фараз қилсак, (4.101) даги  $\Delta p$  фақат бир координата  $r$  билан вақт функцияси бўлади. Заряд ташувчиларнинг сферик симметрия бўйича тақсимоти сақланади. Шунинг учун

$$\Delta p(r, t) = \Delta p_0(r, t) e^{-\frac{t}{\tau_p}} \quad (4.102)$$

кўринишда қидирамиз. (4.101) тенгламанинг

$$\Delta p(r, t) /_{r=r_0} = 0 \quad (4.103)$$

чегаравий шартни ва (4.96) билан аниқланган

$$\Delta p(r, t) /_{t=0} = \Delta p(r_0, t_u) \quad (4.104)$$

бошланғич шартни қаноатлантурвчи ечими топилади, сўнг (4.91) интеграл ҳисобланади. Назарий ҳисоблашлар таҳлили шуни кўрсатадики,

$$r_0 \ll \sqrt{Dt_3} \quad (4.105)$$

ҳамда инжекцияланган заряд ташувчилар кириб борган масофа  $r_1$  кичик

$$\left[ \frac{3\mu_p I_0 \sigma}{2\pi} t_u + r_0^3 \right]^{\frac{1}{3}} \ll 2\sqrt{Dt_3} \quad (4.106)$$

бұлғанда (4.91) интеграл

$$\Delta I(t_3) = const \left( \frac{t_3}{\tau_p} \right)^{-\frac{3}{2}} \exp \left( -\frac{t_3}{\tau_p} \right) \quad (4.107)$$

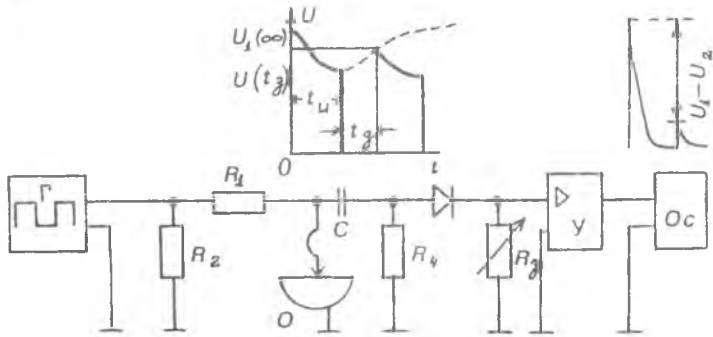
билин ифодаланади. Акс ҳолда ошиқча номувозанат заряд ташувчиларнинг намунага кириб бориш масофаси жуда катта бұлса,  $\Delta I(t_3)$  боғланиш экспонента қонуни

$$\Delta I(t_3) = const \cdot e^{-\frac{t_3}{\tau_p}} \quad (4.108)$$

бүйича бұлади. Амалиётда

$$\frac{2\pi\sigma_0}{3\mu_p I_0 \tau_p} (4Dt_3)^{\frac{3}{2}} \ll \frac{\sqrt{\pi}}{2} \quad (4.109)$$

тенгсизлик бажарылғанда  $\Delta I(t_3)$  нинг үзгариши (4.109) каби қонуният бүйича содир бұлади. Одатда, бу шартни катта ток кучида ва кечикиш вақти  $\tau_p$  дан  $3\tau_p$  гача бұлған оралиқда бұлған ҳолда амалга ошириш мүмкін. Нұқтавий контактда үтказувчанликнинг модуляция усули билан  $t$  ни үлчаш курилмасининг чизмаси 4.8-расмда көлтирилген. Иккисінен импульсті генератор  $\Gamma$  дан инжекцияловчи нұқтавий контактта  $R_1$  қаршилик орқали параметрлари бир хил бұлған иккита ток импульси юборилади. Қаршилиги катта бұлған  $R_1$  қаршилик билан генераторнинг күчланиш импульсini контактдан оқаётгандай ток импульсига айлантиради. Нұқтавий контактта ҳосил бўлған күчланиш импульси диодли  $V_D$  чеклагич орқали



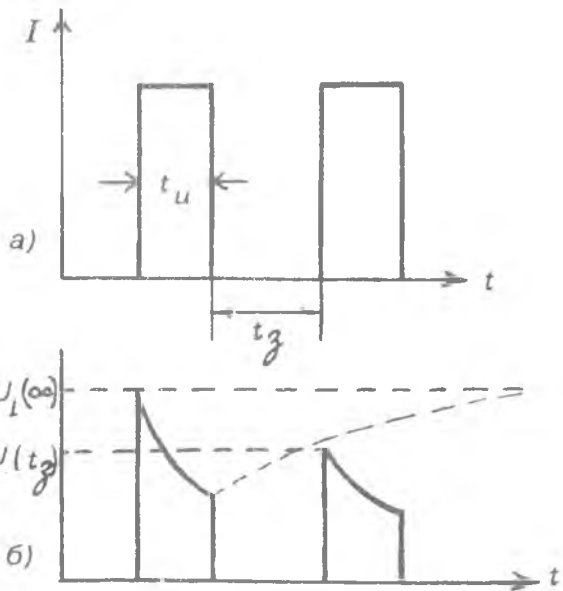
4.8-расм. Нуқтавий контакт ўтказувчанлигини модуляция қилиш усули билан заряд ташувчилар яшаш вақтини ўлчаш қурилмасининг схемаси.  $\Gamma$  — түғри бурчакли импульс генератори  $O_c$  — осциллограф.

кучайтиргич  $U$  билан кучайтирилади ва осциллограф  $O$  киришига берилади. Иккilanган импульсли генераторнинг синхронловчи импульси осциллограф синхронловчи каналига берилади.

Бу импульс биринчи кучланиш импульсининг келиш пайтида осциллограф ёйилмаси (разверткаси) ни ишга солади ва осциллограммани турғун ушлаб туради. Иккинчи ток импульсининг кечикиш вақтини  $\tau_p < t < 3\tau_p$  оралиқда ўзгатириб (4.9-расм), унинг ҳар бир қийматига мос келган контактдаги кучланиш амплитудаларининг қиймати осциллограммадан қайд қилиниб,  $\Delta U(t_3) = U_1(\infty) - U_2(t_3) = f_1(t_3)$  түғри ғизиқли боғланишнинг оғиш бурчаги тангенсидан

$$\tau_p = \operatorname{tg} \theta = \frac{\Delta t_3}{\Delta \ln [U_1(\infty) - U_2(t_3)]}$$

заряд ташувчилар яшаш вақти топилади. Номувозанат заряд ташувчиларнинг нуқтавий контактда яхши инжекцияланиши учун  $\frac{\Delta U_1}{U_1} = 0,1$  тартибда бўлиши керак.  $U_1$  — биринчи кучланиш амплитудаси,  $\Delta U_1$  импульснинг модуляцияланган қисми. Буни амалга оширишда  $p$  — типдаги



4.9-расм. Намунада ток (а) ва кучланиш импульси (б).

кремний намуналарида фосфорли бронза зонди,  $n$  — типдаги намуналарида эса алюминий зонди қўлланилади.

Яхши инжекцияловчи нуқтавий контактни олиш учун одатда контактга ишлов берилади. Бунинг учун контактга кучланиши 300—400 В бўлган ўзгармас ток манбаи қисқа муддатга уланади, бошқача айтганда, сифими катта зарядланган конденсатор kontakt орқали разрядланади (зарядсизланади). Одатда, монокристалл қўйма намуналарда  $\tau$  ни ўлчашда уни ён томонига юзаси  $1\text{ см}^2$  дан кам бўлмаган палладий, никель пардаларини ўtkазиш ёки индий-галлий, алюминий-галлий пасталарини суркаш билан Ом контакти олинади.

Шайба шаклдаги намуналарда  $\tau$  ни ўлчашда 4-жадвалда келтирилган заряд ташувчиларнинг сиртий яшаш вақтини эътиборга олиш керак. Қалин шайбаларда бу усул билан ўлчанганд  $\tau$  ҳам намуна сиртий рекомбинация тезлигига кучсиз боғланган. Одатда, импульсларнинг такрорланиш частотаси  $50 \div 200$  Гц тартибида олинади Чун-

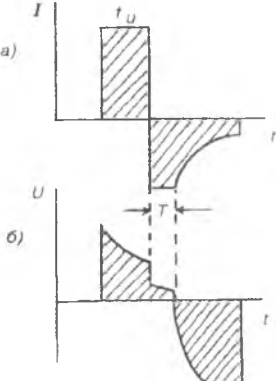
ки иккита кетма-кет келаётган импульслар орасидаги вақтда намуна мувозанат ҳолаға эришиб улгуриши керак. Назарий ҳисобларнинг кўрсатишича, (4.107) ва (4.108) ифодалар ҳамда (4.105) ва (4.109) шартлардан  $\tau$  га ток импульсининг амплитудаси, давомийлиги, кечикиш вақти таъсир кўрсатиши мумкин. Тажриба натижаларининг тасдиқлашича, ток импульсининг давомийлиги ошиши билан эса  $\tau$  нинг қиймати ортиб боради ва импульс давомийлигининг қиймати ҳажмий яшааш вақти тартибида ёки ундан катта  $t_u \geq 1,5\tau$  бўлса,  $\tau$  нинг  $t_u$  га боғланиши тўхтайди. Ана шундай боғланиш импульс токи билан ҳам кузатилади. Ток ортиши билан  $\tau$  орта бориб доимий қийматга интилади. Акс ҳолда, кечикиш вақтининг кичик қийматларида ўлчаш  $\tau$  нинг пасайтирилган қийматини беради.

Бу усул билан солиштирма қаршилиги  $0,5 \div 500$  Ом. см  $p$  — тип намуналар учун яшааш вақти  $\tau > 2,8$  мкс,  $n$  — тип намуналар учун эса  $\tau > 7,7$  мкс бўлган кремний намуналарида ўлчаш тавсия этилади. Заряд ташувчилар яшааш вақти  $\tau < 100$  мкс бўлса, сайқалловчи кукун билан сайқалланган намуналарда  $\tau$  ни ўлчаш мумкин. Одатда  $\tau$  ни ўлчаш оралиқ даражали инжекция  $\Delta p \sim p_0$  да ўтказилади. Бунда ёпишиш марказлари заряд ташувчилар билан тўлдирилади ва таъсири йўқотилади. Тажриба ўтказишда юқорида қайд қилинган шартлар бажарилганда  $\tau$  ни ўлчаш хатоси  $+20\%$  дан ошмайди. Бу усулнинг бошқа усулларга нисбатан афзалликларига коллектор kontaktини олиш талаб этилмаслигини, сирт ҳолатига кам сезгирлигини,  $\tau$  ни температурага боғлиқлигининг енгил ўлчанишини, усулни солиштирма қаршилиги  $0,1:100$  Ом. см тартибида бўлган яrim ўтишларда, масалан, кремний, германий, галлий арсенидга қўллаш мумкинлигини кўрсатиш лозим.

#### б. $P$ - $n$ ўтиш орқали $\tau$ ни заряд ташувчилар инжекциясига асосланган ўлчаш усули

Бу усулни  $P$ - $n$  ўтишнинг ўтиш (переходной) тавсифидаги тескари токининг тикланиш вақтини ўлчашга асосланган. Унинг моҳияти шундан иборатки,  $P$ - $n$  ўтишга тўғри йўналишда ток юборилади ва бир оз вақтдан сўнг ток кутби кескин ўзгартирилади (тескари йўналишдаги ток импульси уланади).  $P$ - $n$  ўтишдан олинган кучланиш ва ток осциллограммалари 4.106, в-расмда келтирилган кўри-

4.10-расм. Үткинчи жараёларнинг  $p-n$  ўтишдаги ток (а), кучланиш (б) осциллографтасы.  $t_u$  — импульс давомийлиги;  $t_i$  — импульс кечикиш вақты.



нишдаги шаклда бўлади. Бунда содир бўлган  $p-n$  ўтишдаги физик жараёнларни қисқача таҳлил қиласайлик. Тўғри йўналишдаги ток импульси берилган пайтда диод ичидаги (қатламида) асосий бўлмаган номувозанат заряд ташувчилар инжекцияланади. Бир оз вақтдан сўнг диодда стационар ҳолат ўрнатилиди. Кичик даражали инжекция

$\Delta n, \Delta p \ll n_0 + p_0$  да узун диодларда заряд ташувчиларнинг тақсимоти  $\Delta p(x) = \Delta p(0) e^{-x/l_p}$  билан аниқланади. Токнинг қутбини ўзгартиргандан сўнг инжекцияланган заряд ташувчилар концентрацияси уларнинг рекомбинацияси ва  $p-n$  ўтиш орқали тортиб (сўрилиб) олиниши туфайли камаяди.  $P-n$  ўтиш соҳасининг яқинида заряд ташувчилар концентрацияси мувозанатий заряд ташувчилар концентрациясидан катта бўлгани учун  $p-n$  ўтиш очиқ ҳолатда бўлиб, кучланиш мусбат, ток диодга уланган қаршилик билан чекланган бўлади. Вақт ўта бошлиши билан  $p-n$  ўтиш ёпила бошлайди, бу жараён тескари токнинг тўйиниш токига тенг бўлгунча давом этади. Номувозанат заряд ташувчиларнинг яшаш вақти қанча катта бўлса, уларнинг йўқолиши шунча кўп вақт давом этади. Назарий ҳисоблашларнинг, тажриба натижаларининг кўрсатишича, диоддаги тўғри йўналишдаги токнинг тескари йўналишдаги токка уланишдан ҳосил бўлган кучланиш, ток зинапоялари давомийлиги  $T$  заряд ташувчилар яшаш вақти  $\tau$ , тўғри ток  $I_{\text{пр}}$  ва тескари ток  $I_{\text{обр}}$  билан қўйидаги муносабат билан боғланган:

$$\operatorname{erf} \sqrt{\frac{T}{\tau}} = \frac{I_{\text{пр}}}{I_{\text{пр}} + I_{\text{обр}}} \quad (4.110)$$

Бу ерда:

$$erf \sqrt{\frac{T}{\tau}} = \frac{2}{\pi} \int_0^{\sqrt{T/\tau}} \exp(-\xi^2) d\xi \quad (4.111)$$

Түғри ток тескари токка тенг  $I_{\text{пр}}=I_{\text{обр}}$  бұлганда,

$$T=0,23\tau \quad (4.112)$$

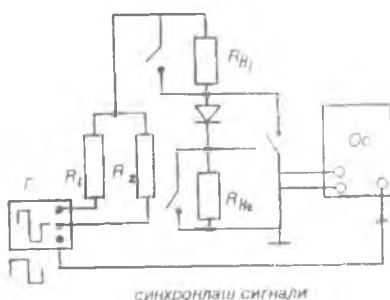
бұлади. Бу усулни нисбатан катта бұлган заряд ташувчи-лар яшаш вақти  $\tau$  ни аниқлашга ҳам татбиқ қилиш мүмкін. Ҳисоблаш формуласи (4.110) ни  $\frac{I_{\text{пр}}}{I_{\text{обр}}} \leq 2$  тенгсизлик бажарылған ҳолда фойдаланиш мүмкін.

Бу усул билан  $\tau$  үлчаш қурилмасининг чизмаси 4.11-расмда көлтирилған. Бири иккінчисининг кетидан кетув-чи мусбат, манфий қутблік ток импульсини олиш имко-нини берадиган иккіланған импульсли (масалан, Г-5-7А, ГИС-2 типидаги) генератор құлланилади. Генератордан мусбат ва манфий қутбли бұлған иккіланған ток импуль-си  $p-n$  үтишга берилганды осциллограф 0 билан кучла-ниш, ёки ток осцилограммаси қайд қилинади.

Осциллограф генераторнинг синхронловчи импульси билан кутиш ёйилмаси режимида ишлайды, бу билан ос-циллограммани осциллограф экраныда турғун тутған бў-ламиз.

Усулни бошқа бир вариантида кичик заряд ташувчи-

лар яшаш вақтини үл-  
чаш учун  $p-n$  үтишга  
тескари йұналишда до-  
имий кучланиш қўйил-  
ған бұлади, қандайдир  
вақтда (фурсатда) гене-  
ратордан орқа фронти  
тик бұлған қисқа им-  
пульс берилади. Бу усул  
билан бир неча *наносекунд*дан то  $10^{-4}$  с гача  
бұлған заряд ташувчи-  
лар яшаш вақтини үл-  
чаш мүмкін.



4.11-расм.  $p-n$  үтишда инжекция-экстракция усули билан  $\tau$ -ни аниқлаш қурилмасининг схемаси.

#### 4.5 §. Номувозанат заряд ташувчилар параметрларини ўлчашнинг стационар усувлари

*a. Стационар фотоўтказувчанликдан заряд ташувчилар яшаш вақтини аниқлаш усувлари*

Ёруғлик таъсирида яримұтқазгичларда номувозанат заряд ташувчиларни генерацияланиши, яъни фотоинжекцияси туфайли, уларнинг қаршилигини ёки үтказувчанлигининг ўзгаришини (фотоқаршилик) фотоўтказувчанлик эффекти (ҳодисаси) деб аталади. Зоналараро электрон үтишлари билан бөглиқ фотоўтказувчанликнинг узун тұлқин чегараси, хусусий ютилиш чегарасига мос келиб, күп яримұтқазгичларда, масалан, кремний, германий, A<sub>3</sub>B<sub>5</sub> туркумидаги яримұтқазгичлар учун ёруғлик спектринг күзга күринадиган ва инфрақызыл соҳасида ётади.

Узунлиги  $a$ , эни  $b$ , қалинлиги  $d$  бұлган намунани  $z=0$  сирти фотон энергияси  $\hbar\omega \geq E_{\text{д}}$  бұлган ёруғлик оқими билан ёритилген бұлсинг (4.1-расм). Намунада номувозанатий заряд ташувчиларнинг нотекис генерацияланиши содир бұлади ва генерация тезлиги  $g = \alpha\beta I_{0\nu} (i - R_{\nu}) / h\nu$  билан аниқланади. Намунада  $a > b \gg d$  бұлсинг деб қарасак, унинг эркин ён сиртларидаги рекомбинацияни ҳисобға олмаслик мүмкін ва намунани Ом контактларидан  $(2 \div 3)Z$  ма-софада бұлган қисми ёритилганды масала бир үлчамли бұлади ва унинг  $z$  — ўқига тик йұналишдаги фотоўтказувчанлик (4.26) га күра ёпишиш марказлари бұлмаганда, электр нейтраллик шарти  $\Delta N = \Delta P$  бажарилған ҳолда

$$\Delta G = \frac{eb}{a} (\mu_p + \mu_n) \Delta P \quad (4.113)$$

күринишни олади. Бу ерда,

$$\Delta P = \int_0^d \Delta p(z) dz \quad (4.114)$$

Номувозанат заряд ташувчиларнинг ўртача концентрациясини

$$\Delta p_{cp} = \frac{1}{d} \int_0^d \Delta p(z) dz = \frac{\Delta P}{d} \quad (4.115)$$

били белгиласак, у ҳолда (4.113)

$$\Delta G = \frac{ebd}{a} (\mu_n + \mu_p) \Delta p_{cp} \quad (4.116)$$

билин ифодаланади. Ўзгармас ток манбаига уланган на-  
мунадан ўзгармас ток (ток генератори) режимида ток ўтка-  
зилганда, фотоинжекцияланган заряд ташувчилардан со-  
дир бўлган намунадаги кучланиш тушувининг ўзгариши

$$\Delta V = \Delta R \cdot I = R_0^2 I \Delta G = \frac{\rho^2 ea}{bd} (\mu_n + \mu_p) \Delta p_{cp} \quad (4.117)$$

кўринишда бўлади. (4.114) даги  $\Delta p(z)$  ни ёруғлик генера-  
цияси, заряд ташувчиларнинг ҳажмий, сиртий рекомби-  
нациялари ва диффузияси жараёнлари аниқлайди. Шу-  
нинг учун  $\Delta p(x)$  қуидаги бир ўлчамли стационар узлук-  
сизлик қуидаги тенгламанинг ечимидан топилади.

$$\frac{d^2 \Delta p}{dz^2} - \frac{\Delta p}{D_p \tau_p} + \frac{\alpha \beta I_\infty (1 - R_v)}{D_p} e^{-\alpha z} = 0 \quad (4.118)$$

Унинг умумий ечими

$$\Delta p(z) = A \exp\left(\frac{z}{L_p}\right) + B \exp\left(-\frac{z}{L_p}\right) + \frac{D_0 \tau_p e^{-\alpha z}}{1 - \alpha^2 L_p^2} \quad (4.119)$$

кўринишда бўлади. Интеграллаш доимийлари  $A$  ва  $B$

$$D_p \left. \frac{d \Delta p(z)}{dz} \right|_{z=0} = S \Delta p(0); \quad D_p \left. \frac{d \Delta p(z)}{dz} \right|_{z=d} = -S \Delta p(d) \quad (4.120)$$

чегаравий шартлардан топилади. Топилган  $A$  ва  $B$  ларни (4.119) га қўйиб, (4.115) дан  $\Delta p_{cp}$  ҳисобланади. Умуман олганда  $\Delta p_{cp}$  ни ифодаси катта, тажриба натижаларини таҳлил қилишга мураккаблик қиласи. Лекин унинг асо-  
сида кўп хусусий ҳолларни таҳлил қилиш мумкин ва ама-  
лиётда татбиқ қилиш учун қулай соддалашган ифодалар-  
ни олиш мумкин. Буларнинг баъзи бирини кўрайлик.

1. Ёруғликни кучли даражадаги ютилиш  $\hbar \omega \geq E_g$  соҳа-  
сида номувозанат заряд ташувчиларнинг сиртий генера-

цияси содир бўлади. Бу соҳада сиртий генерация тезлиги  $g_s$ ,  $\text{cm}^2/\text{c}$   $\alpha d \gg 1$ ,  $\alpha L \gg 1$ ;  $\alpha \gg \frac{S}{D_p}$  бўлади. Булардан ташқари, намуна юпқа  $d/Z_p \ll 1$  деб фараз қилсак, унда

$$\Delta P_{cp} = \frac{g_s}{d} \frac{1}{\left( \frac{1}{\tau_p} + \frac{2S}{d} \right)} \quad (4.121)$$

кўринишга келади. Фотоутказувчаникда ҳажмий рекомбинация аниқловчи жараён бўлса,  $\frac{1}{\tau} \gg \frac{2S}{d}$  бўлади. У ҳолда

$$\Delta p_{op} = g_s \tau_p / d \quad (4.122)$$

билин ифодаланади. Агар фотоутказувчаникка сирт рекомбинациясининг таъсири ҳажмий рекомбинацияга нисбатан катта, яъни сирт рекомбинацияси тезлиги катта, намуна юпқа бўлса,  $\frac{2S}{d} \gg \frac{1}{\tau}$  бўлади ва  $\Delta p_{cp}$  нинг ифодаси

$$\Delta p_{cp} = g_s / 2S \quad (4.123)$$

кўринишга келади.

2. Намунада ёргулекни кучсиз ютилиш соҳасида номувозанат заряд ташувчиларнинг ҳажмий генерацияси, яъни текис генерацияланиши содир бўлади. Бу ҳолда ҳажмий генерация тезлиги  $g_0 = \alpha \beta I_0 (1 - R_v) \text{ см}^{-3} \text{с}^{-1}$   $\alpha Z_p \ll 1$ ,  $\alpha d \ll 1$ , қалин намуна  $d \gg Z_p$  учун эса

$$\Delta p_{cp} = g_0 \tau_p \quad (4.124)$$

бўлади, намуна юпқа  $d \ll Z_p$  сирт рекомбинацияси тезлиги катта бўлганда,

$$\Delta p_{cp} = \frac{g_0 d^2}{12 D_p} \quad (4.125)$$

кўриниш олади. Энди юқорида келтирилган муносабатлар асосида тажрибадан  $\tau$  ва  $S$  ни аниқлашни кўрайлик.

Тажрибада ёритилган намунада фотоутказувчанликдан содир бўлган кучланиш тушувининг ўзгаришини ўлчаб, (4.117) дан  $\tau$  ни  $S$  ни аниқлаш мумкин. Стационар фотоутказувчанликни қайси параметрлар ( $\tau, s$ ) аниқлашини текшириш учун ҳар хил қалинликдаги намуналарда ўлчов ўтказиш мақсадга мувофиқ бўлади. Агар сигнал  $\Delta V$  намуна қалинлиги  $d$  ни камайиши билан  $\frac{1}{d^2}$  бўйича ортиб борса, (4.117) ва (4.122) ларга кўра,  $\Delta V$  га асосий таъсир кўрсатувчи параметр  $\tau$  бўлади. Агар асосий таъсир кўрсатувчи параметр  $S$  бўлса, намуна қалинлигининг камайиши билан сигнал  $\Delta V$  (4.117) ва (4.123) га кўра  $\frac{1}{d}$  бўйича ортиб боради.

Ўлчангандан  $\Delta V$  бўйича  $\tau$  ёки  $S$  ни аниқлаш учун бундан ташқари заряд ташувчиларнинг сиртий ёки ҳажмий генерация тезликларини билиш керак бўлади. Коэффициентлари  $\alpha, \beta$  маълум бўлган яримтўказгичлар учун намуна га тушаётган ёруғлик интенсивлиги  $I_0$  ни билиш етарли бўлади. Бунинг учун ёруғлик спектрининг тегишли соҳасига сезгир, олдиндан даражаланган исталган фотоқабул қилгичларни қўллаш мумкин.  $\alpha$  ва  $\beta$  коэффициентлари ноаниқ бўлган ҳолларда генерация тезлиги  $g$  ни аниқлаш учун текширилаётган материаллардан ясалган потенциал тўсиқли ( $p-n$  ўтиш,  $p-i-n$  ва Шоттки диодлари) фотоқабул қилгичларни қўллаш мақсадга мувофиқдир. Бу фотоқабул қилгичларни бирга яқин ўзgartириш коэффициенти билан квант оқимини заряд ташувчилар оқимига, яъни токка айлантиради, яъни

$$\frac{I}{e} = gV_0 \quad (4.126)$$

бўлади. Бу ерда,  $V_0$  — фотоқабул қилгичнинг ёруғликка сезгир соҳасининг ҳажми. (4.126) дан фототок  $I$  ва ҳажми  $V_0$  ни билган ҳолда  $g$  аниқланади. Заряд ташувчиларнинг яшаш вақтини аниқлашда, булардан ташқари, уларнинг ҳаракатчанлиги, намунанинг геометрик ўлчамларини билиш керак бўлади. Бу усулда ҳар хил намуналарда ўлчангандан кўп параметрларнинг қатнашиши туфайли, юқори бўлмаган аниқликда 20--30%, баъзан ундан катта бўлган

хатолик билан  $t_p$  ни аниқлаш мумкин. Лекин бу усул билан заряд ташувчиларнинг жуда кичик яшаш вақтларини  $10^{-9}$ — $10^{-10}$  с гача ўлчаш мумкин. Стационар фотоўтказувчанлик усули билан  $t_p$  ни ўлчашдаги асосий хатолик манбай сифатида ёпишиш марказларининг таъсирини кўрсатиш мумкин. Ёпишиш марказининг таъсири германийда 273 К дан, кремнийда 400 К дан паст температураларда намоён бўлади.  $A_3$ ,  $B_5$  бирималарида ёпишиш марказларининг сатҳи оддий элементар яримўтказгичларнидан юқори. Щунинг учун уларга бу усулни қўллаш чекланган. Маязумки, яримўтказгичларда ёпишиш маркази мавжуд бўлса, электрон, ковак яшаш вақтлари тенг бўлмайди. Агар ёпишиш марказлари томонидан ушланган электрон концентрациясини  $D_{n_3}$  билан белгиласак, электр нейтраллик шарти

$$\Delta p = \Delta n + \Delta n_3 \quad (4.127)$$

кўринишда бўлади. Электрон, ковакнинг рекомбинация тезликларининг бир-бирига тенглигидан

$$\frac{\Delta n}{\tau_n} = \frac{\Delta p}{\tau_p} = \frac{\Delta n + \Delta n_3}{\tau_p} \quad (4.128)$$

$$\frac{\tau_p}{\tau_n} = 1 + \frac{\Delta n_3}{\Delta n} \quad (4.129)$$

бўлишилигини кўрамиз. Бу стационар фотоўтказувчанликнинг ўзгаришига ҳамда ностационар фототокнинг ўсиши ва пасайишига таъсир кўрсатади. Бу ҳолда янги характеристик катталик фотоўтказувчанликнинг эффектив стационар яшаш вақти тушунчasi киритилади. Стационар фотоўтказувчанликни

$$\Delta\sigma_{ct} = e\mu_n g\tau_n + e\mu_p g\tau_p = e\tau_{\phi}(\mu_n + \mu_p)g \quad (4.130)$$

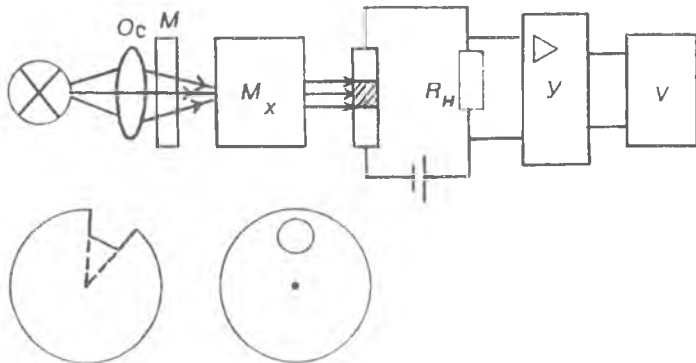
ифодасидан,  $\tau_{\phi}$  ни

$$\tau_{\phi} = \frac{\mu_n \tau_n + \mu_p \tau_p}{\mu_n + \mu_p}$$

билан аниқланишини кўрамиз. Стационар фотоўтказувчанликдан топилган заряд ташувчилар яшаш вақти умумий ҳолда электрон, ковак яшаш вақтларига, ҳаракат-

чәнликларига боғлиқ. Агар ёпишиш марказларининг концентрацияси кичик  $\Delta n_3 \ll \Delta n$  бўлса, уларнинг таъсирини эътиборга олмаслик мумкин. У ҳолда  $\tau_{\text{эф}} = \tau_n = \tau_p$  бўлади. Стационар фотоўтказувчанликни ўлчаш усулига асосланган  $\tau$  ни аниқлаш қурилмаларидан бирининг чизмаси 4.14-расмда келтирилган. Одатда, фотоўтказувчанлик сигнали  $\Delta V$  кичик даражали инжекцияда  $\Delta G \ll G_0$  ўлчанади.  $\Delta V$  ни ўлчаш шундай режимда ўтказилиши керакки,  $\Delta V$  билан  $\Delta G$  орасидаги боғланиш чизиқли бўлсин. Юклама қаршилик  $R_H$  намуна қаршилиги  $(\Delta G + G_0)^{-1}$  дан катта  $R_H \gg (\Delta G + G_0)^{-1}$  бўлганда, занжирдан оқаётган ток намуна ёритилганда ҳам ўзгармас сақланади. Бу ўзгармас ток (ток генератори) режими деб юритилади. Бунда намунада ўлчанганд  $\Delta V$  билан  $\Delta G$  орасидаги боғланиш чизиқли  $\Delta V \sim \Delta G$  бўлади. Юклама қаршилик  $R_H$  намуна қаршилиги  $(\Delta G + G_0)^{-1}$  дан кичик бўлганда,  $R_H$  дан ўлчанганд кучланиш тушувининг ўзгариши  $\Delta V$  билан фотоўтказувчанлик орасидаги боғланиш ҳам чизиқли бўлади. Бу режимда намунани ёритиш намуна ва юклама қаршилик орасида муҳим даражада кучланиш (электр майдоннинг) қайта тақсимланишига олиб келмайди, бинобарин, намунага қўйилган электр майдони қоронфида ва ёритилганда ҳам ўзгармас сақланади. Шунинг учун у ўзгармас майдон (кучланиш) режими деб юритилади. Стационар фотоўтказувчанликнинг ёки бошқа фотоэлектрик ҳодисаларни ўлчашда интенсивлиги бўйича тўғри бурчакли модуляцияланган ёруғлик импульсиning давомийлиги оралиғидаги вақт ичида фотоэлектрик жараёнлар стационар ҳолатга эришиб ва иккита кетма-кет ёруғлик импульси орасидаги вақт ичида намуна термодинамик мувозанат ҳолатига келиб улгuriши керак.

Бу шартнинг бажарилиши учун импульс давомийлиги ва икки импульс оралиғидаги вақт фотоэлектрик ҳодисалар (эффектлар)нинг характеристик релаксация вақти  $t_n$ ,  $t_3 > \tau_{\text{рел}}$  дан катта бўлиши керак. Лекин бунда ёруғлик импульсиning кўтарилиш, пасайиш фронтларининг вақтига ҳеч қандай чеклашлар қўйилмайди. Агар ўлчашда синусоида бўйича модуляцияланган ёруғликдан фойдаланилса, унинг даври шундай катта бўлиши керакки, натижада исталган ҳар бир вақтда жараёнларни квазистационар деб ҳисоблаш мумкин бўлсин. Кўпинча  $\Delta V$



4.12-расм. Стационар фотоўтказувчанликни ўлчаш схемаси;  
V — вольтметр,  $M_x$  — монохроматор; Y — кучайтиргич.

үйфотувчи ёруғлик интенсивлигининг  $\frac{1}{\tau_p}$  га нисбатан етарли кичик модуляция частоталарида ўзгарувчан сигнал кучайтиргичлари билан ўлчанади. Бу ўлчаш жараёни осонлаштиради, кичик сигналларга сезгирлигини оширади ва  $\tau_p$  ни ўлчаш чегарасини кичик қийматлар томонга кенгайтиради. Етарлича катта давомийлики түғри бурчакли ёруғлик импульсини ҳосил қилиш учун турли модуляторлар қўлланилади. Секторли кўринишда ёриқлари бўлган диск айланганда ёруғлик оқимини даврий равишда дискнинг секторлари ёпиб туради, унинг интенсивлигини модуляциялади. (4.12-расм): унда түғри бурчакли ёруғлик импульси ҳосил қилинади. Кўзгусимон модуляторларда айланувчи кўзгудан қайтган ёруғлик нури оптик тизим кириш тирқишини кесиб ўтиб, түғри бурчакли ёруғлик импульсини шакллантиради. Электродинамик затворли модулятор электр токи ўтиб турган фалтак билан магнит майдоннинг таъсирлашишига асосланган. Агар фалтакдан ток импульси ўтказилса, у магнит майдонида силжиди ва ёруғлик оқимини тўсиб турган пардани ҳаракатга келтиради. Бу модуляторлар билан олинган ёруғлик импульсларининг кўтарилиш ва пасайиш вақтларига нисбатан катта ( $10^{-4} \cdot 10^{-5}$ )С бўлгани учун фотоэлектрик жараёнлар кинетикасини ўрганишга қўлла-

нилмайди. Фотоутказувчанликни үлчашда манба нурланишининг керакли спектрал оралигини ажратиб олиш учун монокроматорлар ишлатилади. Заряд ташувчиларни намунанинг бутун ҳажмида бир текис пайдо қилиб туриш учун оптик фильтрлардан фойдаланилади, улар ёрдамида ютиш коэффициентини кичик бўладиган хусусий ютилиш чегарасига тўғри келадиган узун тўлқинларнинг тор оралиги ажратиб олинади. Амалда кўпинча бу мақсад учун текширилаётган намунада ясалган яrimутказгич модданинг ўзидан қилинган фильтрлардан фойдаланилади ёки ҳар хил лазерларнинг нурланишидан фойдаланилади.

#### *б. Фотоутказувчанликнинг спектрал боғланишидан яrimутказгичлар параметрларини аниқлаш усуллари*

Фотоутказувчанлик  $\Delta G$  нинг спектрал (ёруғлик тўлқин узунлигига) боғланиши бўйининг узунлиги  $a$ , энининг узунлиги  $b$ , қалинлиги  $d$  дан катта  $a > b \gg d$  бўлган пластина шаклидаги намуна стационар фотоутказувчанлик (4.113) ифодасига кирган (4.114) билан ифодаланган  $\Delta P$  нинг таҳлили асосида ўрганилади. Номувозанат заряд ташувчилар таҳсимоти  $\Delta p(z)$  узлуксизлик тенглама (4.11)си нинг чегаравий шартлари (4.120) ни қаноатлантирувчи ечимиdir.

Ютилиш коэффициенти (тўлқин узунлиги) ҳар хил бўлган ёруғлик орқали яrimутказгични уйғотиш билан, унинг ҳажмида, сиртида заряд ташувчиларнинг диффузия, рекомбинация жараёнлари учун ҳар хил шароит яратиш мумкин. Тажриба натижаларидан, назарий текширишлардан маълумки, ёруғликнинг хусусий ютилиш чегарасининг кичик спектрал оралиги  $\Delta h\nu = 0,1 \div 0,2$  эВ да ютилиш коэффициенти зоналар тузилишига қараб 0 дан то  $10^5 \text{ см}^{-1}$  гача ўзгаради. Ёруғликнинг хусусий ютилиш спектрининг қисқа тўлқин узунлик соҳасида ютилиш коэффициенти катта, шунинг учун заряд ташувчиларнинг сиртий генерацияланиши содир бўлади. Ҳисоблашларнинг кўрсатишича  $\alpha d \gg 1$  бўлганда, (4.114) ифода

$$\Delta P = \frac{g_0 \tau}{\alpha} \frac{\left[ 1 + \frac{sZ}{D} \frac{1}{1 + aZ} \right]}{\left[ 1 + \frac{sZ}{D} \cdot \operatorname{cth} \frac{d}{2Z} \right]} \quad (4.131)$$

билин аниқланади. Ёруғликни намунадан қисман қайтишини ҳисобга олганда генерация тезлиги  $g_0 = \alpha\beta I_0(1 - R_0)/h\nu$  күринишида бўлади. Намуна қалин  $d \gg 2L$  бўлса, ( $d > 4Z$  етарли),  $\operatorname{cth} \frac{d}{2L} \approx 1$  бўлади ва (4.131)

$$\Delta P = \frac{g_0 \tau}{\alpha} \frac{1}{1 + sL/D} \cdot \left( 1 + \frac{sL}{D} \frac{1}{1 + \alpha L} \right) \quad (4.132)$$

күринишида бўлади. Ёруғликнинг кучли ютилиш  $\alpha Z \gg 1$  соҳасида

$$\Delta P = \frac{g_0 \tau}{\alpha} \frac{1}{(1 + sL/D)} \cdot \left( 1 + \frac{s}{D} \frac{1}{\alpha} \right) \quad (4.133)$$

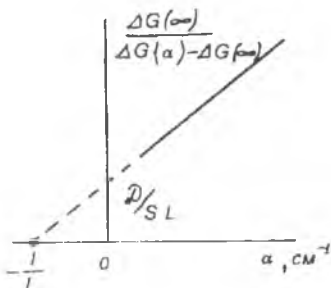
билин ифодаланади.  $\Delta P$  ютилиш коэффициентининг ортиши билан  $\alpha$  га боғлиқ бўлмаган, лекин сиртий рекомбинация тезлигига боғлиқ бўлган асимптотик қийматга интилади.  $\alpha \rightarrow \infty$  да

$$\Delta P(\infty) = \frac{I_v \beta}{h\nu} \frac{1}{(1 + sL/D)} \quad (4.134)$$

күриниши олади. Хусусий ютилиш спектрининг узун гўлқини узунлик соҳасида ютилиш коэффициенти  $\alpha$  камайиши туфайли, фотоўтказувчанлик  $\Delta G$  кескин камаяди. Шундай қилиб, хусусий ютилиш соҳасида  $\Delta G$  максимумга эришади (4.13-расм). (4.131) ва (4.134) ифодалар билан аниқланадиган стационар фотоўтказувчанлик  $\Delta G$

4.13-расм.  $\frac{\Delta G(\infty)}{\Delta G(\alpha) - \Delta G(\infty)}$

нисбатнинг ёруғликни отилиш коэффициенти  $\alpha$  га боғлиқлиги.



нинг ифодаси (4.113) га тўғридан-тўғри фотон энергияси ёки ёруғлик тўлқин узунлиги кирмаган бўлса ҳам  $\Delta G(h\nu)$  ёки  $\Delta G(\lambda)$  боғланиш мавжудлигини кўрамиз.  $\Delta G$  нинг бу спектрал боғланиши ёруғликнинг ютилиш коэффициенти  $\alpha$  ни, заряд ташувчилар квант чиқиши коэффициенти  $\beta$  ни, ёруғликнинг намунадан қайтиш коэффициенти  $R$  ни ёруғлик тўлқин узунлигига боғлиқлиги туфайли намоён бўлади. Фотоўтказувчанликнинг спектрал боғланиши  $\Delta G(\alpha)$  ёки  $\Delta G(\lambda)$  ни уч соҳага ажратиш мумкин.  $\Delta G$  ни  $\frac{1}{\alpha}$  билан чизиқли боғланиш соҳасига  $\Delta G$  ни асимптотик қиймат  $\Delta G(\infty)$  га эришиш соҳасига ҳамда  $\alpha$  нинг камайиши билан  $\Delta G$  ни камайиши соҳасига ажратиш мумкин.  $\Delta G$  нинг  $\frac{1}{\alpha}$  билан боғланиш соҳаси (4.133) ифодага кўра,

$$\Delta G\left(\frac{1}{\alpha}\right) = h_1 \left( 1 + \frac{1}{a_1} \frac{1}{\alpha} \right) \quad (4.135)$$

билин ифодалashi мумкин. Бу боғланишдан  $h_1$  ва  $a_1 = \frac{D}{S}$  катталиклар топилади. Бунинг учун ёруғлик инжекциясининг тегишли соҳасидаги ҳар хил тўлқин узунликда ҳар хил ютилиш коэффициенти  $\alpha$  да  $\Delta G$  ни ўлчаб  $\Delta G = f\left(\frac{1}{\alpha}\right)$  боғланиш чизилади. Агар намунанинг бошқа томонида сиртий рекомбинация тезлиги  $S_2$  бўлса, бу томонини ёритишидаги фотоўтказувчанлик

$$\Delta G' = h_2 \left( 1 + \frac{1}{a_2} \frac{1}{\alpha} \right) \quad (4.136)$$

бўлади ва ундан  $h_2$  ва  $a_2$  катталиклар топилади. Топилган  $h_1$ ,  $h_2$ ,  $a_1$ ,  $a_2$  катталиклар асосида диффузион узунлик  $Z_D$

$$L_D th\left(\frac{d}{2L}\right) = \frac{h_2 - h_1}{h_1/a_1 - h_2/a_2} \quad (4.137)$$

формула билан ҳисобланади. Агар қарама-қарши томонларида  $S_1 = S_2$  бўлса, у ҳолда намуна сиртига икки хил ишлов берилади. Икки хил ишловдан ўтган намуна фотоутказувчаникдан топилган  $a_2$ ,  $a_1$  катталиклар орқали  $Z$  ни

$$L_D c \operatorname{th} \left( \frac{d}{2L} \right) = \frac{h_2 - h_1}{h_1/a_1 - h_2/a_2} \quad (4.138)$$

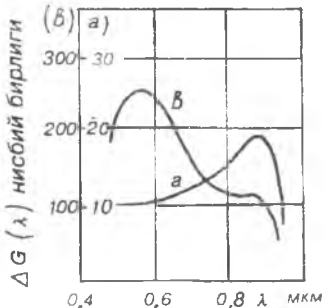
ифода билан топилади. Қалин  $\frac{d}{2Z_D} \gg 1$  намуналарда икки ҳолатда ҳам

$$Z_D = \frac{h_2 - h_1}{h_1/a_1 - h_2/a_2} \quad (4.139)$$

формула билан топилади. Бу усул билан  $Z_D$  ни топишда  $\Delta G$  ни мутлақ қийматини билиш шарт эмас ҳамда  $Z_D$  ни ҳисоблашга керакли маълумотлар битта тажрибадан олинади. (4.133) ва (4.134) формулалар асосида

$$\frac{\Delta G(\infty)}{\Delta G(\alpha) - \Delta G(\infty)} = \frac{\Delta P(\infty)}{\Delta P(\alpha) - \Delta P(\infty)} = \frac{D}{S}(1 + \alpha L) \quad (4.140)$$

кўринишдаги боғланишни оламиз. Ундан фойдаланиш учун тажрибада аниқланган фотоутказувчаник  $\Delta G(\alpha)$  нинг спектрал боғланишидан  $\frac{\Delta G(\infty)}{\Delta G(\alpha) - \Delta G(\infty)}$  нисбатнинг  $\alpha$  га боғланиш графиги чизилади. Бу боғланишнинг горизонтал ўқ. билан кесишиш кесмасидан  $L = -\frac{1}{\alpha}$  вертикаль ўқ билан кесишишидан  $\frac{D}{SL}$  лар қиймати топилади (4.14-расм). Шундай қилиб, фотоутказувчаникнинг спектрал боғланишидан заряд ташувчиларнинг диффузион узунлигини, агар диффузия коэффициенти маълум бўлса, сиртий рекомбинация тезлигини аниқлаш мумкин. Ёруғликнинг ютилиш коэффициентининг тўлқин узунлигига боғланиши юпқа намуналарнинг шаффофлик коэффициентидан ўлчаниши мумкин. (4.135) боғланишдан ярим-утказгич параметларини аниқлашда  $\Delta G$  нинг  $\frac{1}{\alpha}$  га боғланиш



4.14-расм. Солиширма қаршилиги  $r=150 \text{ Ом} \cdot \text{см}$   $n$ -тип кремний намунаси зоналарида эгриланиш кичик (а) ва катта (б) бўлганида фотоўтказувчанликнинг спектрал тақсимоти.

Бошқача айтганда, сиртга яқин соҳадаги ҳажмий, заряд заряд ташувчилар рекомбинациясига ва фотоўтказувчанликка таъсир кўрсатмайдиган, сиртий ҳолат эса сиртий рекомбинация тезлиги билан аниқланадиган ҳолат кўрилган эди. Сиртий рекомбинация тезлигини киритишида сиртдаги заряд ташувчилар билан ҳажмдаги заряд ташувчилар орасида квазимувозанат мавжуд деган фараз ётади. Энди баъзи бир ҳолатларда намуна сирт соҳасида пайдо бўладиган энергиявий зоналар эгриланишини фотоўтказувчанликнинг спектрал боғланишига таъсирини кўрайлик.

Сирт яқинида заряд ташувчилар энергиясидан катта бўлган энергиявий зоналарнинг эгриланиши сиртдаги кичик интенсивликдаги рекомбинация жараёни мувозанатнинг бузилишига ва фотоўтказувчанликни сифатий ўзгаришига олиб келади. Энергиявий зоналар эгриланиши катта бўлган ҳолда фотоўтказувчанликнинг люкс-ампер, спектрал, кинетик характеристикаларида муҳим ўзгаришлар кузатилади. Бу хусусиятларни заряд ташувчиларнинг квазимувозанатига асосланган фотоўтказувчанликнинг назарияси билан тушунтириб бўлмайди. Улар намуна сиртидаги ва ҳажмий заряд соҳасидаги заряд ташувчилар ре-

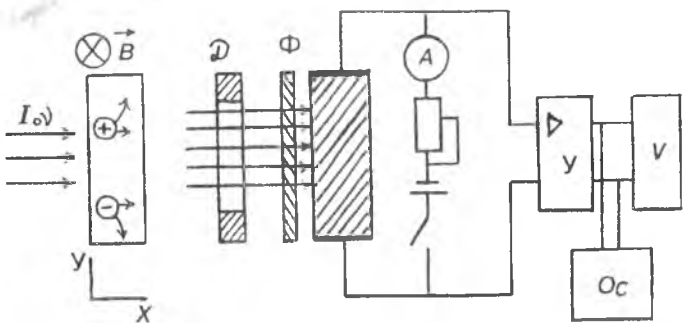
графигида унинг чизиқли боғланиш ҳамда асимптотик соҳаси мавжуд бўлишлигини,  $\alpha$ ,  $\beta$ ,  $R$ , ларни текширилаётган спектрал соҳасида тўлқин узунлигига, сиртий ишловига кучсиз боғланишда бўлишлигини назарда тутиш лозим. Шуни эслатиб ўтиш жоизки, юқорида ёритилган фотоўтказувчанликнинг спектрал боғланишидан яримўтказгичлар параметрларини аниқлаш усули намуна ҳажмида сиртида электр нейтраллик шарти бажариладиган ҳолдаги стационар фотоўтказувчанлик таҳлилига асосланган.

комбинация жараёнларини ўзгариши билан, яъни заряд ташувчиларнинг эффективив яшаш вақтининг ортиши билан тушунтирилади. Ҳажмий заряднинг электр майдон ёки энергиявий зоналарнинг эгриланишидан ҳосил бўлган потенциал тўсиқ асосий бўлган заряд ташувчиларнинг сиртга келишига тўсқинлик қиласди ва сиртда, ҳажмий заряд соҳасида рекомбинация интенсивлигини камайтиради. Бу жараёнлар заряд ташувчилар эффективив яшаш вақтини электр нейтраллик шарти ўринли бўлган ҳолга нисбатан ошиши ва фотоўтказувчанлик хоссаларига таъсир кўрсатади. Маълумки, яrimутказгич намуналарининг сиртий қатламига яқин соҳасида энергиявий зоналар эгриланиши (изгиб) сиртнинг маълум бир кимёвий ишловларидан, электр майдон таъсиридан, электролитларда қутбланишдан пайдо бўлиши мумкин. Энергиявий зоналар эгриланиши катта бўлган кремнийда фотоўтказувчанликнинг спектрал боғланишида катта ўзгариш кузатилган, хусусий ютилишнинг қисқа тўлқин узунлиги соҳасида одатдаги хусусий ютилиш чегарасида кузатиладиган максимумдан катта бўлган янги максимум пайдо бўлади (4.13, в-расм). Буни энергиявий зоналар эгриланиши мавжуд бўлганда сирт соҳасида рекомбинация тезлигининг камайишиши билан, яъни заряд ташувчилар эффективив яшаш вақтининг катталашиши билан тушунтирилади. Фотоўтказувчанлик  $\Delta G$  нинг спектрал боғланиши ҳам 4.12-расмда келтирилган қурилмадан фойдаланиб ўлчанди. Бу ерда шуни назарда тутиш керакки, ҳар хил тўлқин узунликда ёки ҳар хил  $\alpha$  га мос келган  $\Delta G$  ни ўлчашда уларни бир хил интенсивликдаги ёруғлик оқимига келтиради.

$\Delta G(\lambda)$  ни ўлчаш тартиби стационар фотоўтказувчанлик  $\Delta G$  ни ўлчаш тартибидан фарқ қилмайди.

#### **4.6-§. Номувозанат заряд ташувчилар параметрларини фотоэлектромагнит ҳодисаси (Кикоин-Носков эфекти) дан фойдаланиб аниқлаш усули**

Магнит майдонига жойлаштирилган яrimutказгич намунани кучли даражада ютиладиган ёруғлик оқими билан ёритилганда магнит майдони, ёруғлик оқими йўна-



4.15-расм. Фотоэлектромагнитик ҳодисасини электр юритувчи кучи (ЭЮК) ва қисқа туташув токини үлчаш қурилмасининг схемаси.  $D$  — диафрагма;  $A$  — амперметр,  $B^{\circ}$  — магнит майдон индукция вектори.

лишларига тик йўналишда кўндаланг электр юритувчи куч ЭЮК (кўндаланг потенциаллар айирмаси) вужудга келади. Бу ҳодиса Кикоин-Носков эффиқти ёки фотоэлектромагнит ҳодисаси деб юритилади. Фотоннинг энергияси  $\hbar\omega \geq Eg$  бўлган  $X$  ўқи йўналишдаги ёруғлик оқими билан намуна ёритилганда, унинг сиртий қатламида ҳосил бўлган ортиқча электронлар ва каваклар намуна ичкарисига томон  $X$  ўқи йўналишида диффузияланади.  $Z$  ўқи йўналишида магнит майдони пайдо қилинганда диффузияланувчи электронлар ва коваклар Лоренц кучи  $\vec{F}_n = -e[\vec{V}\vec{B}]$ ;  $\vec{F}_p = e[\vec{V}\vec{B}]$  таъсирида у ўқи томон ўз йўналишидан мос равишда  $\theta_n$ ,  $\theta_p$  бурчакка (холл бурчакларига) оғадилар (4.15-расм) ва электрон, кавакнинг магнитодиффузон (холл) токлари  $j_{ny}$ ,  $j_{py}$  ҳосил бўлади. Бу токлар У ўқига тик кўндаланг кесимларининг бирида мусбат, иккинчисида манфий зарядларнинг тўпланишига олиб келади. У ўқи йўналишидаги магнитодиффузон ток зичликлари  $j_{ny}$ ,  $j_{py}$  нинг холл бурчаклари орқали боғланиши

$$j_{ny} = j_{nx} \operatorname{tg} \theta_n; \quad j_{ny} = j_{px} \operatorname{tg} \theta_p \quad (4.141)$$

билин ифодаланади. Бу ерда

$$\operatorname{tg} \theta_n = -\mu_{nN} B = -r_H B \mu_n; \quad \operatorname{tg} \theta_p = \mu_{pH} \cdot B = r_H \mu_p B \quad (4.142)$$

Бундаги  $\mu_{nN}$ ,  $\mu_{pH}$  — электрон, кавакларнинг холл ҳаракатчанликлари,  $\mu_n$ ,  $\mu_p$  дрейф ҳаракатчанликлари мос равишида  $r_H = \frac{\mu_{nH}}{\mu_n}$  холл омили (унинг қиймати бирга яқин ва сочилиш механизмига боғлиқ). Электрон, ковакни тұла магнитодиффузиян ток зичлиги (4.141) ва (4.142) ларга күра

$$j_y = j_{ny} + j_{py} = r_H B (\mu_n j_{nx} - \mu_p j_{px}) \quad (4.143)$$

бўлади.  $X$  ўқи йўналишидаги диффузиян токлар зичликлари ёпишиш маркази бўлмагандан ( $\Delta n = \Delta p$ )

$$j_{nx} = -j_{px} = -e D_{\text{зф}} \frac{\partial \Delta n}{\partial x} = e D_{\text{зф}} \frac{\partial \Delta p}{\partial x} \quad (4.144)$$

бўлади, чунки  $j_{nx} + j_{px} = 0$  деб ҳисобланади.  $D_{\text{зф}}$  — эфектив диффузия коэффициенти бўлиб, магнит майдони мавжуд бўлганда

$$D_{\text{зф}} = (n+p) \left[ (1 + \theta_n^2) \frac{n}{D_n} + (1 + \theta_p^2) \frac{p}{D_p} \right]^{-1} \quad (4.145)$$

билин ифодаланади. Кучсиз магнит майдонида, оғиш бурчаги кичик бўлганда

$$\begin{aligned} \operatorname{tg} \theta_n &\approx \theta_n = r_H B \mu_n \ll 1 \\ \operatorname{tg} \theta_p &\approx \theta_p = r_H B \mu_p \ll 1 \end{aligned}$$

бўлади. Бу ҳолда эфектив диффузия коэффициенти биккүтбий диффузия коэффициентига тенг бўлади, яъни у  $B=0$  ҳолидаги қийматига тенг бўлади. Масалан,  $P$  — типли яримутказгичда  $p \gg n$  бўлгани учун (4.145) дан,  $D_{\text{зф}} = D_n$ ,  $n$  — типда  $n \gg p$  бўлгани учун (4.145) дан  $D_{\text{зф}} = D_p$  бўлишларини кўрамиз. (4.143) га (4.144) ни қўйсак, тұла магнитодиффузиян ток зичлигининг ифодаси

$$j_y = j_{ny} + j_{py} = -r_n e B D_{\text{зф}} (\mu_n + \mu_p) \frac{\partial \Delta p}{\partial x} \quad (4.146)$$

куринишни олади. Намуна ён сиртларида сиртий рекомбинация тезлиги кичик, бинобарин, ён сиртлардаги рекомбинацияни ҳисобга олмаслик мумкин деб фараз қылсак, заряд ташувчиларнинг ортиқча концентрацияси фақат  $X$  нинг функцияси бўлади. Шунинг учун (4.146) ни

$$j_y = -r_H e B \cdot D_{\text{зф}} (\mu_n + \mu_p) \frac{\partial \Delta p(x)}{\partial x} \quad (4.147)$$

куринишда ёзиш мумкин. Занжир узуқ бўлганда тўла магнитодиффузион ток  $J$  фэм ифодаси

$$I_{\text{фэм}} = b \int_0^d j_y dx = -er_H b B D_{\text{зф}} (\mu_n + \mu_p) [\Delta p(t) - \Delta p(d)] \quad (4.148)$$

куринишда бўлади. Мувозанат шароитида бу ток ташқи занжирда фотомагнитик электр юритувчи куч (ЭЮК)нинг ҳосил қиласиган тўла ўтказувчанлик (қисқа туташув) токи  $I_G$  га teng бўлади. Агар фотомагнитик ЭЮК ни  $U_{\text{фэм}}$  билан, тўла ўтказувчанликни  $G = G_0 + \Delta G$  билан белгиласак, у ҳолда қисқа туташув фототокининг ифодаси

$$I_G = U_{\text{фэм}} G = U_{\text{фэм}} (G_0 + \Delta G) = -I_{\text{фэм}} \quad (4.149)$$

куринишда бўлади. Намунанинг мувозанатдаги (қоронфиксикдаги) ўтказувчанлиги  $G_0 = \frac{1}{R_0} = \sigma_0 \frac{bd}{a}$  бўлади. Фото ўтказувчанлик  $\Delta G$  электронейтраллик шарти  $\Delta n = Dp$  ба жарилганда (4.113) га кўра

$$\Delta G = \frac{be(\mu_n + \mu_p)}{a} \int_0^d \Delta p(x) dx \quad (4.150)$$

билан ифодаланади.  $G_0$  ва  $\Delta G$  ларнинг ифодаларини (4.149) га қўйиб, аниқланган  $U_{\text{фэм}}$  ифодаси

$$U_{\text{фэм}} = \frac{r_H a B D_{\text{зф}} e (\mu_n + \mu_p) [\Delta p(0) - \Delta p(d)]}{\sigma_0 d + e (\mu_n + \mu_p) \int_0^d \Delta p(x) dx} \quad (4.150)$$

куринишда бўлади. Кучсиз магнит майдонида ( $\mu^2 B^2 \ll 1$ ) ўзгаришлар фақат бир  $X$  ўқи йўналишида содир бўлганда

кавакнинг узлуксизлик тенгламаси (4.118) кўринишда бўлади. Унинг сиртларида ўринли бўлган чегаравий шартлар (4.120) ни қаноатлантирувчи ечими ёруғликни кучли даражада ютилиши кузатилганда  $\alpha d \gg 1$  ва намуна қалин  $d \gg L_p$  бўлса,

$$\Delta p(x) = \frac{\alpha I_\nu \beta (1 - R_\nu) \tau_p}{h\nu} \left[ \frac{\alpha^2 L}{L + S\tau_p} e^{-\frac{X}{Zp}} - e^{-\alpha X} \right] \quad (4.151)$$

кўринишда бўлади. Қалин намунада ёритилмаётган сиртда  $\Delta p(d)=0$  деб олиш мумкин. У ҳолда қисқа туташув токи  $I_{\phi\text{эм}}$  (4.148)  $\Delta p(0)$  билан аниқланиб,

$$J_{\phi\text{эм}} = \frac{e(\mu_n + \mu_p) \beta B (1 - R_\nu) \alpha L}{h\nu \left( \frac{SL}{D} + 1 \right) (\alpha L + 1)} \quad (4.152)$$

кўринишга келади. Ютилиш коэффициенти ортиб бориши билан  $\alpha L \gg 1$  тенгсизлик ўринли бўла бошлагандага қисқа туташув токи (4.152) ютилиш коэффициентига боғлиқ бўлмаган доимий қийматга интилади:

$$I_{\phi\text{эм}} = eB(\mu_n + \mu_p) \frac{I_\nu \beta (1 - R_\nu)}{h\nu} eB(\mu_n + \mu_p) \frac{Z}{(1 + SZ/D)} \quad (4.153)$$

Намунанинг сирт рекомбинацияси тезлиги кичик  $S \ll \frac{D_p}{L_p}$  ва паст даражали уйғотиш  $\Delta n$ ,  $\Delta p \ll n_0$ ,  $p_0$  ёки  $\Delta G \ll G_0$  да (4.153) ифода

$$I_{\phi\text{эм}} = e(\mu_n + \mu_p) B \frac{I_\nu \beta (1 - R_\nu)}{h\nu} L \quad (4.154)$$

кўринишни олади. Намунанинг сирт рекомбинацияси тезлиги катта  $S \gg \frac{D_p}{L_p}$  бўлганда,

$$I_{\phi\text{эм}} = e(\mu_n + \mu_p) B \frac{I_\nu \beta (1 - R_\nu)}{h\nu} \cdot \frac{D}{S} \quad (4.155)$$

бўлишлигини кўрамиз. Тажрибада ўлчанган қисқа туташув токи бўйича диффузион узунликни аниқлашда (4.153) ва (4.154) формулалар кўлланилади.  $L$  ни аниқлашда,  $I_{\phi\text{эм}}$ ,  $B$  ларни ўлчашдан ташқари, заряд ташувчиларнинг ҳаракат-чанликларини, ёруғлик интенсивлигини ва бошқа катталикларни бошқа тажрибалардан топишга ёки адабиёт манбаларидаги натижалардан фойдаланишга тўғри келади. Агар заряд ташувчилар яшаш вақти ва сирт рекомбинацияси тезлиги доимий катталиклар бўлса, (4.154) формула юқори даражали инжекция  $\Delta n$ ,  $\Delta p \gg n_0$ ,  $p_0$  да ҳам ўринли бўлади. Кучли даражали инжекция  $\Delta n$ ,  $\Delta p \gg n_0$ ,  $p_0$  да диффузия коэффициенти (4.145) ни заряд ташувчиларнинг концентрациясига боғлиқлиги тўхтайди:

$$D = \frac{2 D_n D_p}{(1 + \theta_n^2) D_n + (1 + \theta_p^2) D_p} \quad (4.156)$$

Шуни назарда тутиш керакки, юқори даражали инжекцияда (4.154) формула билан аниқланган диффузион узунлик бир қийматли маънога эга бўлади, қачонки намуна-нинг исталган нуқтасида, ёритилмаётган сирти яқинида ҳам  $\Delta n$ ,  $\Delta p \gg n_0$ ,  $p_0$  бўлса. Акс ҳолда уйготиш даражаси бўйича ўрталаштирилган қандайдир қийматни беради, энди  $I_{\phi\text{эм}}$  ни спектрал боғланишдан яримўтказгич параметрларини аниқлашни кўрайлик. Фотомагнитик ток  $I_{\phi\text{эм}}$  нинг спектрал боғланишини (4.152) ва (4.153) ифодалар асосида таҳлил қилиш мумкин. Ёруғликнинг хусусий ютилиш чегарасида ёруғлик тўлқин узунлигининг камайиб бориши билан ютилиш коэффициенти ортади ва фотомагнитик токнинг ўсишига олиб келади. Лекин фотоўтказувчанликка нисбатан фотомагнитик токнинг ўсиши катта фототок энергиясида бошланади ва тикроқ бўлади. Фотомагнитоэлектрик ҳодисасининг пайдо бўлиши учун нафақат заряд ташувчиларнинг генерацияланиши, балки яна улар концентрациясининг градиенти пайдо бўлиши керак. Бу фақат ёруғлик намуна сирт соҳасида ютилган ҳолдагина кузатилади. (4.152) ва (4.153) формулалардан кўринадики, ҳар қандай сирт рекомбинацияси тезлигига  $\alpha L=1$  да қисқа туташув токи  $\alpha \rightarrow \infty$  даги қийматидан икки марта кичик бўлади. Фотоўтказувчанликнинг,  $I_{\phi\text{эм}}$  дан

фарқли ўлароқ, икки марта камайиши бошқа параметрларга боғлиқ бўлган  $\alpha L$  ни қийматида кузатилади. Тўлқин узунлиги ўзгариши билан ютилиш коэффициентининг катта ўзгарадиган спектр соҳасида қайтиш коэффициенти  $R$  квант чиқиш коэффициенти тўлқин узунлигига кучсиз боғланган. (4.152) формуладан

$$\frac{1}{I_{\text{фэм}}} = \frac{(1 + SL/D)}{e(\mu_n + \mu_p)BL} \frac{h\nu}{\beta I_0(1 - R_\nu)} \left(1 + \frac{1}{L} \cdot \frac{1}{\alpha}\right) \quad (4.157)$$

боғланишни оламиз. Ундан кўринадики,  $\frac{1}{I_{\text{фэм}}}$  билан  $\frac{1}{\alpha}$  орасидаги боғланиш чизиқли бўлади. Тажрибадан олинган натижаларнинг  $I_{\text{фэм}} \left(\frac{1}{\alpha}\right)$  кўринишдаги графигини чишиб, горизонтал, абсцисса ўқлари билан кесишгунча давом эттирилади ва у горизонтал ўқни кесишидан ( $L = \frac{1}{\alpha}$ ) топилади. Фотоэлектромагнит токи  $I_{\text{фэм}}$  нинг спектрал боғланишидан диффузион узунликни ўлчаш усули фотоўтказувчанликнинг спектрал боғланишидан ўлчаш усулига нисбатан аниқроқ натижа беради, чунки ютилиш коэффициенти катталashi билан  $I_{\text{фэм}}$  тез тўйинади ва  $I_{\text{фэм}}(\alpha^{-1})$  боғланиши (4.157)  $\alpha$  ни катта ўзгариш соҳасида чизиқли бўлади. Энди  $U_{\text{фэм}}$  ни ўлчашга асосланган усулни кўрайлик. Қалин  $d \gg L$  намуна учун, кичик сирт рекомбинацияси тезлиги  $S \ll \frac{D}{L}$  да, паст даражали инжекция  $\Delta G \ll G_0$  ёки  $\Delta p$ ,  $\Delta n \ll n_0$ ,  $p_0$  да ёруғликнинг кучли ютилиши соҳаси  $\alpha L \ll 1$ ,  $\alpha d \ll 1$  да (4.150) формула

$$U_{\text{фэм}} = \frac{e(\mu_n + \mu_p)Ba}{\sigma d} \frac{\beta I_\nu(1 - R_\nu)}{h\nu} L \quad (4.158)$$

кўринишга келади. Агар юқори даражали уйготишда фотоўтказувчанлик  $\Delta G$  мувозанатдаги ўтказувчанлик  $G_0$  дан катта  $\Delta G \gg G_0$  бўлса, кучли ютилиш соҳасида  $\alpha L \gg 1$  бўлганда (4.150) формула

$$U_{\phi\text{эм}} = \frac{aBD}{L} = \frac{aBD}{\sqrt{D_t}} \quad (4.159)$$

билин ифодаланади. Намуна юпқа  $d \ll L$  бўлганда сиртий рекомбинация тезлигининг жуда катта бўлмаган қийматида аниқланади. Бу ифодалар ҳар хил шароитда ўлчанган  $U_{\phi\text{эм}}$  қиймати бўйича яримўтказгич параметларидан  $\tau$ ,  $L$ ,  $S$  ни аниқлаш имконини беради. Шуни таъкидлаш керакки, (4.150) формула бўйича аниқланган сиртий рекомбинация тезлиги  $S_1 \neq S_2$  да ёритилмаган сиртники бўлади. Амалиётда заряд ташувчилар яшаш вақтини аниқлашда фотомагнитик ток ва фотоўтказувчаникни, аникрофи, улар нисбатини аниқлашга асосланган усул кўпроқ қўлланилади. Намуна ёритилиб, унда сиртий генерация содир бўлганда, яъни  $aL \gg 1$ ,  $ad \gg 1$ ,  $\alpha \gg \frac{S}{D}$  тенгсизликлар ўринли бўлганда (4.134) ва (4.154) формулаларга кўра  $I_{\phi\text{эм}}/\Delta G$  нисбат

$$\frac{I_{\phi\text{эм}}}{\Delta G} = B \frac{L}{\tau} = B \left( \frac{D}{\tau} \right)^{\frac{1}{2}} \quad (4.160)$$

билин ифодаланади. Бу формулага генерация тезлигини аниқловчи катталиклар ( $\beta$ ,  $I$ ,  $R$ ) кирмаган. Тажриба ўтказиш нуқтаи назаридан бу бирмунча қулай, чунки ёруглик интенсивлигининг мутлақ қийматини ўлчаш, квант чиқиши коэффициентини билиш талаб этилмайди. Бундан ташқари, у сиртий рекомбинация тезлигига боғлиқ эмас. Шунинг учун бу ифодани ҳар қандай ишловдаги намунага қўллаш мумкин. Юпқа намуналар учун  $Z > \frac{D}{S} \gg \frac{d}{2}$  тенгсизлик ўринли бўлганда

$$\frac{Z_{\phi\text{эм}}}{\Delta G} = \alpha BS \quad (4.161)$$

садда бўлиб, у намунанинг ёритилмаган сиртидаги нисбат сиртий рекомбинацияни аниқлашга имкон беради. Фотоэлектромагнитик эфектиининг электр юритувчи

кучи  $U_{\phi\text{эм}}$  ни ва қисқа туташув токи  $I_{\phi\text{эм}}$  ни үлчаш қурилмасининг чизмаси 4.15-расмда келтирилган. Ёруғлик манбаидан ёруғлик оқими, (монохроматик) фокусловчи оптик система ОС ва фильтр  $\Phi$  орқали намунага йўналтирилади. Тўғри бурчакли пластина шаклидаги намуна ўзгармас ток манбай ТМ ўзгарувчан қаршилик ва миллиамперметр  $mA$  дан иборат электр занжирга уланади. Ёруғлик интенсивлиги кичик частоталарда модуляцияланади. Намунадан фототок ва фотомагнитик ток ўтишидан ҳосил бўлган ўзгарувчан кучланиш селектив кучайтиргич билан кучайтирилади ва вольтметр ёки осциллограф билан қайд қилинади. Қисқа туташув токини үлчаётганда ташқи кучланиш нолга teng бўлади. Агар намуна қаршилиги шунчалик кичик бўлса, қисқа туташув шартини бажариш мумкин бўлмаса, у ҳолда фотомагнитик ЭЮК үлчанади ва магнит майдонда жойлаштирилган намуна ўтказувчанилиги үлчанади ва қисқа туташув токи

$$I_{\phi\text{эм}} = U_{\phi\text{эм}} \cdot G \quad (4.161,6)$$

дан топилади.  $I_{\phi\text{эм}}$  ва  $U_{\phi\text{эм}}$  ларни үлчашда модомики жараёнларнинг стационарлик шарти назарда тутилар экан, ёруғликнинг модуляция частотаси шундай бўлиши керакки, фотомагнитик ЭЮК импульс давомийлиги ичидаги вақтда мувозанат ўрнатилишига, импульслар орасидаги вақтда нольга тушиб улгириши керак. (4.160) ва (4.161) муносабатлар асосида  $t$ ,  $L$ ,  $S$  ларни аниқлашда фотомагнитик токни ўтказувчаникнинг фототоки билан компенсация қилиб, үлчаш усули тажрибада бирмунча қулайлик туғдиради. Бу усул билан үлчаш тартибини кўрайлик. Интенсивлиги модуляция қилинган ёруғлик билан ёритилган намунадан оқаётган ток ўтказувчаник ва қисқа туташув токлари йифиндисидан иборат бўлади:

$$I = I_{\phi\text{эм}} + U(\Delta G + G_0) \quad (4.162)$$

$U\Delta G$  ёруғлик интенсивлигига боғлиқ бўлган намуна фото ўтказувчанилиги токи (фототок). Унинг ёруғлик оқимининг модуляция частотаси билан ўзгариши фотомагнитик ток  $I_{\phi\text{эм}}$  каби бўлади. Ташқи кучланиш ишораси ва катталигини шундай танлаш керакки, фототок билан қисқа туташув токини компенсациялаш мумкин бўлсин, яъни:

$$I_{\phi\text{эм}} + U \cdot \Delta G = 0 \quad (4.163)$$

Шундай қилиб,  $\frac{I_{\phi\text{эм}}}{\Delta G}$  нисбатни аниқлаш учун намунадан оқаётган токнинг ўзгарувчан ташкил этувчиси нольга тенг бўлгани ҳолда намунага қўйилган ўзгармас компенсация кучланишини ўлчаш керак. Кичик ёруғлик интенсивлигига ва кучсиз магнит майдонида компенсация кучланиши  $U_H$  фотомагнитик ЭЮК дан анча катта бўлади:

$$\frac{U_K}{U_{\phi\text{эм}}} = \frac{G_0 + \Delta G}{\Delta G} = 1 + \frac{G_0}{\Delta G} \quad (4.164)$$

Ёруғликнинг катта интенсивлигига компенсацияловчи кучланиш фотомагнитик ЭЮК га яқин бўлади. Одатда, фотомагнитик ЭЮК кичик, бирқанча ҳолларда  $10^{-8} : 10^{-9}$  В ва ундан кичик бўлиши мумкин. Шу сабабли, уни ўлчашда юқори даражада бир жинсли бўлган намуна танлаш ҳамда магнит майдони бўлмагандан намунани ёритганда ҳажмий фото ЭЮК йўқлигини текшириш керак. Фотоэлектромагнит эффиқти заряд ташувчилар яшаш вақтини кенг оралиқда  $10^{-4}$  дан то  $10^{-9}$  с  $30 - 35\%$  хатолик билан аниқлашда қўлланилади. Бу усул, асосан  $A_3B_5$  ва  $A_2BB$  бирикмаларда номувозанат заряд ташувчиларнинг кичик яшаш вақтини аниқлашда қўлланилади.  $A_3B_5$  ва  $A_2B_6$  бирикмаларда бу усулни чекловчи омиллар бўлиб, уларга оддий яримўтказгичларга нисбатан катта концентрацияли ёпишиш марказларининг ҳамда сирт қатламидаги ҳажмий заряд соҳасининг таъсирини кўрсатиш мумкин.

#### 4.7 §. Яримўтказгич параметрларини номувозант заряд ташувчилар тақсимотидан (тўғридан-тўғри) фойдаланиб аниқлаш усуllibari

*Ёруғлик зондининг қўзғатиладиган усули*

Бу усул намунани узун, энсиз (ингичка) фотон энергияси  $\hbar\omega \geq E_g$  бўлган ёруғлик зонди билан ёритилганда генерация, рекомбинация ва диффузия жараёнларидан юзага келган номувозанат заряд ташувчилар тақсимотини

Үрганишга асосланган бўлиб, у асосан асосий бўлмаган заряд ташувчилар диффузион узунлигини ўлчашда қўлла-нилади. Бунинг учун намуна сиртига металл зонд (тўғриловчи нуқтавий контакт-коллектор) ўрнатилади ёки пла-нар технология билан кичик юзали  $p$ -н ўтиш, шоттки түсиги (баръери) олинади ва унга ёпувчи йўналишда тес-кари кучланиш берилади. Намуна остига ёки ён сиртига юзаси катта омик контакт олинади. Намунада ёруғлик таъсирида генерацияланган заряд ташувчилар намуна сирти бўйлаб, ички томон бўйлаб диффузияланади ва бу контактларга етиб келиб, биринчи яқинлашишда асосий бўлмаган заряд ташувчилар концентрациясига пропор-ционал бўлган фототокни ёки фото ЭЮК ни ҳосил қила-ди. Демак, фототокни ёки фото ЭЮК ни ёруғлик зонди билан коллектор контакти орасидаги ҳар хил масофа  $X$  да ўлчангандай қийматлари  $\Delta p(x)$  нинг тақсимотини ифодалайди. Кўрилаётган усулнинг назарияси ёруғлик зонди билан генерацияланган заряд ташувчилар концентраци-яси  $\Delta p(x)$  нинг тақсимотини аниқловчи ифодасини то-пишга асосланган. Бунинг учун намуна  $n$ -тип бўлсин, яримчексиз (жуда қалин) унинг бир томони ясси сирт-дан иборат ва ёруғлик зонди энсиз, чексиз узун (ингич-ка) бўлсин, деб фараз қилинган ҳолни кўрайлик. Агар ёруғлик зонди ён сиртларидан (2 : 3)  $L$  дан катта бўлган масофада жойлашган бўлса, ён сиртлардаги рекомбина-цияни ҳисобга олинмайди ва масала бир ўлчамли бўлади. Бу ҳолда номувозанат асосий бўлмаган заряд ташувчилар (кавак) тақсимоти цилиндрик симметрия бўйича содир бўлади. Шунинг учун узлуксизлик тенглама (4.118) нинг цилиндрик координата системасида

$$\frac{1}{r} \frac{d}{dr} \left( r \frac{d\Delta p}{dr} \right) - \frac{\Delta p}{\tau_p D_p} + \frac{\alpha \beta I_\nu (1 - R_\nu) e^{-\alpha r}}{h\nu D_p} = 0 \quad (4.165)$$

кўринишда бўлади. Бу ерда  $r$  ёруғлик зонди (чизиги)дан коллектор контактигача бўлган (масофа) цилиндр радиуси (4.165) тенгламанинг ечими нолинчи тартибдаги мав-хум аргументли Ханкел функцияси билан ифодаланади.

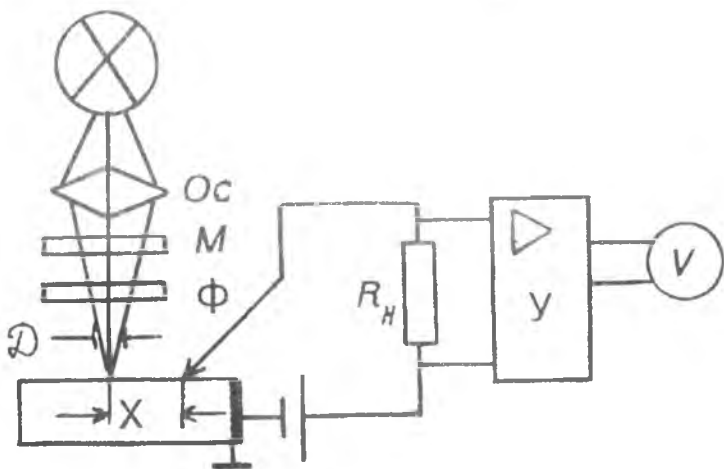
$$\Delta p(r) = \Delta p(0) i H_0'(ir/Z) \quad (4.166)$$

Масалани умумий ҳолда, яъни ёруғлик зонди маълум бир чекли ўлчамларга эга (узунлиги  $L$ , эни  $W$ ) бўлган ҳол деб қаралганда, ҳисоблашларнинг кўрсатишича, координата  $r$  нинг  $5w < r < \frac{L}{4}$  оралиғида умумий ечимининг апроқси-мацияси ҳам (4.166) билан ифодаланади.  $r/L$  ни катта қийматларида Ханкел функцияси ўша аргументнинг экспоненциал функциясига ўтади. Координата боши ёруғлик зонди билан қўзғалгани учун намуна сиртида  $r = x$  деб қараб, қалин  $d \gg L$  яримчексиз намуна учун  $x$  ни  $5w < r < \frac{L}{4}$  оралиқдаги қийматлари учун (4.166) формула

$$\frac{\Delta p(x)}{\Delta p(0)} = -\frac{\exp(x/L)}{\sqrt{(x/L)}} \quad (4.167)$$

(4.167) қуринишни олади. Юпқа намуна  $d \gg L$  учун эса намувозанат заряд ташувчилар концентрациясининг тақсимоти

$$\Delta p(x) = \Delta p(0) \exp\left(-\frac{x}{z}\right)$$



4.16-расм. Асосий бўлмаган заряд ташувчилар диффузион узунлигини ўлчаш қурилмаси схемаси:  $D$  — диафрагма;  $K$  — металл зонд — коллектор контакти;  $R_H$  — юклама қаршилик;  $Y$  — кучайтиргич;  $V$  — вольтметр.

бұлади.  $X$  нинг қар хил қийматларини олиш учун ёруғлик зонди коллектор контактига нисбатан құзғатылади (силжитилади) ва үлчаш вақтида ёруғлик зонди тинч ҳолатда туради. Диффузион узунлик  $L$  ни үлчаш қурилмаларидан бирининг чизмаси 4.16-расмда көлтирилган. Ёруғлик манбаидан ёруғлик оқими фокусловчи оптик система  $OC$ , фильтр  $\Phi$ , модулятор  $M$ , тирқишли диафрагма  $D$  орқали намунага тушади. Тирқишли диафрагма  $D$  ёрдамида ёруғлик зондининг кенглигини  $50 \div 500$  мкм оралиқда үзгартириш мүмкін. Интенсивлиги бүйича модуляцияланган ёруғлик чети сектор шаклида қирқілған ёки доира шаклида тешекли дискни айлантириш билан ҳосил қилинади. Модуляцияланган ёруғликни құллаш катта коллектор тоқидан номувозанат заряд ташувчилар диффузияси туфайли, юзага келган кичик қысм фототокни қайд қилиш имконини беради. Ёруғликнинг импульсли модуляциясида импульснинг давомийлиги, частотаси ҳамда интенсивлиги синусоїда бүйича үзгарувчи ёруғликнинг модуляция частотаси номувозанат заряд ташувчилар концентрациясининг стационарлық шартидан танланади. Импульсли модуляцияда импульснинг давомийлиги  $t_u$  қуйидаги тенгсизликни

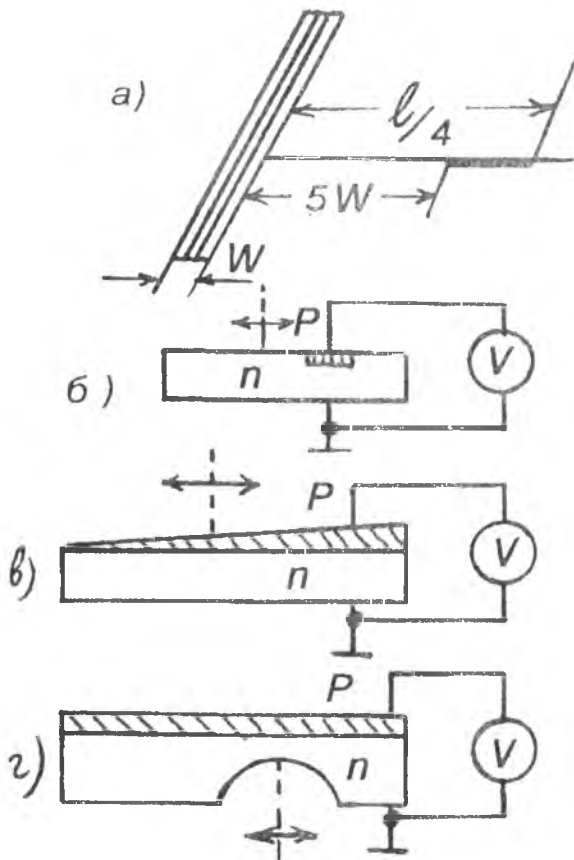
$$t_u \gg \pi r \text{ ва } t_u > \frac{r^2}{4D}; \quad t_u > \frac{r}{(D/r)^{\frac{1}{2}}}$$

қаноатлантириши керак. Ёруғлик оқимининг модуляция частотаси  $50 \div 300$  Гц тартибида бұлади. Модуляция частотаси  $\frac{1}{t_u}$  га нисбатан анча кичик бўлиши керак. Юқорида таъкидланганига кўра, коллектор контактига тескари йўналишдаги кучланиш қўйилади ва коллектор занжирига уланган юклама қаршилик  $R_H$  дан кучланишнинг үзгарувчан ташкил этувчиси орқали фототок үлчанади.

$R_H$  дан үзгарувчан кучланиш тушуви селектив кучайтиргич орқали кучайтирилади ва синхрон детектор ва вольтметр орқали қайд қилинади. Синхрон детекторни құллаш қурилманинг үлчаш сезгиrlигини оширади. Ярим-үтказгич намуна кристалл тутгичга қотирилади ва манипулятор (микрометр) билан ёруғлик зондига нисбатан коллектор контактининг ҳолати үзгартирилади. Металл

зонд намунанинг исталган жойига ўрнатилиши мумкин ва у намуна билан бирга силжийди. Курилманинг шовқин даражасини камайтириш учун контактнинг тургунлигини ошириш учун контактга ток импульси билан ишлов берилади. Ток импульсининг амплитудаси керакли сигнал-шовқин нисбатига эришгунча ошириб борилади. Ўлчанаётган сигнал катталиги шовқин кучланишига яқинлашгунча ёки (4.166) ифодани қўллаш шарти бузилгунча давом этади. Бу усул, асосан германий намуналарида диффузион узунликни ўлчашда қўлланилган, чунки германийда  $L$  анча катта, бундан ташқари, қисиладиган металл зонд билан потенциал тўсиқли контактни олиш нисбатан енгил. Бу усулни кремний намуналарида сирт рекомбинация катта, шовқин даражаси юқори, коллектор контактида ВАХни ночизигий бўлиши, сирт яқинида инверсион қатлам (ҳосил) вужудга келиши туфайли кремнийда  $L$  ни ўлчашда кенг қўлланилмаган.  $L$  ни ўлчашда иложи борича сирт рекомбинацияни ҳар хил ишловлар билан камайтириш керак. Масалан, германийни  $M10$  ва  $M14$  сайқалловчи кукунларда сайқаллаш ва 30% ли  $H_2O_2$  (водород пероксидида) кимёвий ишлов бериш тавсия этилади. Агар  $n$ -тип германийда ўлчаш ўтказиладиган бўлса, вольфрам зонди  $p$ -типа эса кумуш қотишмасининг зонди ишлатилади. Бу усул асосий бўлмаган заряд ташувчилар диффузион узунлигини 0,1 дан то бир неча миллиметргача бўлган оралиқда 15—20% хатолик билан ўлчашга имкон беради. Тор зонали яримутказгич бирикмалари  $A, B_s$  да кичик диффузион узунликларни ўлчаш учун пла-пар технология билан олинган  $p-n$  ўтишли ёки шоттки тўсиқли намуналар тайёрланади. Кўзғалувчан зонд усулiga 4.17 б, в, г-расмда келтирилган ҳолларни ҳам кўрсатиш мумкин. Бу ҳолда асосий бўлмаган заряд ташувчилар коллектори вазифасини  $p-n$  ўтиш ўтайди. Ёруғлик зонди бир томонга нишаб ёки шар шлифлари бўйича қўзғатилади. Бу усулларда заряд ташувчиларнинг  $p-n$  ўтишини йиғиш коэффициенти

$$Q_n + Q_p = \frac{I_{\text{кст}}}{(I_{\text{кст}})_{\max}}$$



4.17-расм. Диффузион узунликни құзғалувчан ёруғлук (электрон) зонди билан үлчаш усуллари: а) Вальдес усули билан үлчаш соҳаси; б)  $p$ - $n$  үтишни; в) нишаб сферик сиртларни құллаш усуллари.

диффузион узунликка, ёруғлукни ютиш коэффициенті-га ва  $S/D$  нисбатта боғлиқ. Назарий ҳисоблашларнинг күрсатишича, шлиф сиртидан то  $p$ - $n$  үтишгача бұлган етар-лича катта (диффузион узунлик  $L$  га нисбатан) масофа  $x > x_{kp}$  да  $x_{kp} \alpha > 1$ ,  $x_{kp} > L_p$  ва  $\alpha L > 1$  тенгсизлик үринли соҳада ийгиш коэффициенти  $\exp\left(-\frac{x}{L}\right)$  ҳад билан аниқланади.

$$Q = \frac{I_{\text{кн}}}{(I_{\text{кн}})_{\text{max}}} \sim \exp\left(-\frac{x}{Z}\right)$$

боғланишнинг оғишидан диффузион узунликни

$$L = \frac{\Delta X}{\ln(I_{\text{кн}}/(I_{\text{кн}})_{\text{max}})}$$

орқали топилади. Агар коллектор токи  $\Delta p$  катталик билан начизигий боғланган бўлса, доимий (ўзгармас) фототок усули қўлланилади. Бу ҳолда номувозанат заряд ташувчиларнинг генерацияланиш соҳасида концентрация  $\Delta p(0)$  ёруғлик интенсивлигига чизиқли боғланган деб фарз қилинади. У вақтда

$$AI_{0\nu} \exp\left(-\frac{x}{Z}\right) = \text{const}$$

бўлади. Шундай қилиб, ҳар хил масофада бир хил ўзгармас коллектор фототокини таъминловчи ёруғлик интенсивлигини билиб,  $L$  ва  $\tau$  ларни топиш мумкин. Масалан, иккита масофада бир хил фотосигналларни ҳосил қилувчи  $I_{0\nu 1}$  ва  $I_{0\nu 2}$  ёруғлик интенсивликларининг қийматини билган ҳолда

$$AI_{0\nu 1} e^{-\frac{x_1}{Z}} = AI_{0\nu 2} e^{-\frac{x_2}{Z}} = \text{const} \quad (4.173)$$

ифодадан диффузион узунлик  $L = \frac{X_2 - X_1}{\Delta \ln\left(\frac{I_{0\nu 1}}{I_{0\nu 2}}\right)}$  билан топи-

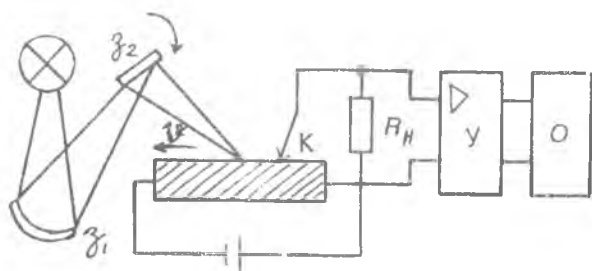
лади.  $\Delta p$  ёки  $\ln I_{0\nu}$  ларни х га боғланишининг оғишидан  $L$  ни бу усул билан аниқлашда ҳеч қандай қўшимча параметрларни билиш талаб этилмайди.  $\tau$  ни аниқлаш учун  $D$  ни билиш талаб қилинади. Амалиётда ёруғлик зондининг қўзгалувчан усули билан диффузион узунликни  $L > 50$  мкм соҳада ўлчаш мумкин. Диффузия коэффициенти  $D = 40$  см<sup>2</sup>/с  $n$ -тип кремнийда, яшаш вақтининг  $\tau = 10^{-6}$  сек қий-

мати тұғри келади. Кейинги йилларда ёруғлик манбаи си-фатида лазер нурларидан фойдаланилмокда, фокусловчи оптик тизим сифатида микроскоп (масалан, МБИ-11) құлланилади.

### б. Ёруғлик нури (зонди)нинг ҳаракатланувчи усули

Яримұтқазгичлар параметрларини үлчашнинг бу усули намуна ясси сирти бүйлаб үзгармас тезлик  $V$  билан ҳаракатланувчи фотон энергияси  $\hbar\omega \geq Eg$  бұлган узун, инфічка ёруғлик (зонди) нури генерациялаган асосий бұлмаган номувозанат заряд ташувчиларнинг тақсимоти  $\Delta p(x, y, z, t)$  ни үрганишга асосланған.  $\Delta p(x, y, z, t)$  ни тескари күчланиш берилған, тұғриловчи яримтұтқазгич-металл нұқтавий контакти (зонди) ёки кичик юзали  $p-n$  үтиш, шоттки түсиги орқали қайд қилинади (4.18-расм).

Ёруғлик зондидан ҳосил бұлған номувозанат заряд ташувчилар намунанинг ёритилмаган қисміга диффузияланади. Ёруғлик зондининг ҳаракатланиши туфайли, заряд ташувчиларнинг фазодаги тақсимоти намуна бүйлаб ёруғлик зонди билан күчиб юради.  $\Delta p(x, y, z, t)$  нинг назарий ифодасини аниқлашда яримтұтқазгич намунаси  $n$ -тип бұлсın, унинг бүйи ( $a$ ), эни ( $b$ ) қалинлиғи  $d$  дан катта  $a > b \gg d$  бұлсın, деб оламиз. У ҳолда намуна ён сиртларидаги рекомбинация ҳисобға олинмайды ва номувозанат заряд ташувчилар концентрацияси фақат иккі  $x, z$  координаталар ҳамда вақт функцияси бұлади. Намуна-нинг ёритилмаган соңасыда генерация тезлигі  $g = 0$  бұлға-ни учун, асосий бұлмаган заряд ташувчилар концентра-



4.18-расм. Номувозанат заряд ташувчилар параметрларини ҳаракатланувчан ёруғлик зонди усули билан үлчаш курилmasиннинг схемаси.

циясининг намуна қоронғи қисмидаги тақсимоти  $\Delta p$  ( $x, z, t$ )

$$\frac{\partial \Delta p}{\partial t} = D_p \operatorname{div}(\operatorname{grad} \Delta p) - \frac{\Delta p}{\tau_p} \quad (4.174)$$

узяуксизлик тенгламанинг

$$\begin{aligned} D_p \frac{\partial \Delta p}{\partial z} \Big|_{z=0} &= -S \Delta p \\ D_p \frac{\partial \Delta p}{\partial z} \Big|_{z=d} &= S \Delta p(d) \end{aligned} \quad (4.175)$$

чегаравий шартларни қаноатлантирувчи ечими орқали топилади. Ёрглиқ зонди билан бирга ҳаракатланувчи координата системасида

$$\begin{aligned} \xi &= x + vt \\ \eta &= z \end{aligned} \quad (4.176)$$

номувозанат заряд ташувчиларнинг тақсимоти вақтга боғлиқ бўлмайди, яъни стационар бўлади. (4.174) тенглама янги координата системасида ўзгарувчанларни ажратиш усули орқали ечилади, сунг қўзғалмас координата системасига ўтилади. (4.174) тенгламанинг қўзғалмас координата системасида ёрглиқ нурининг ўнг томонидаги ечими

$$\Delta p(x, z, t) = C_1 \exp\left(-\frac{x}{l_1}\right) \exp\left(\frac{vt}{l_1}\right) \left( \frac{S_2}{D_4} \sin \alpha_1 z + \cos \alpha_1 z \right) \quad (4.177)$$

ёрглиқ нурининг чап томонида

$$\Delta p(x, z, t) = C_2 \exp\left(-\frac{x}{l_2}\right) \exp\left(\frac{vt}{l_2}\right) \left( \frac{S_2}{D\alpha_2} \sin \alpha_2 z + \cos \alpha_2 z \right) \quad (4.178)$$

күринишда бұлади.  $C_1$ ,  $C_2$  -- интеграллаш доимийлари

$$l_1 = \left\{ \left[ \left( \frac{v}{2D_p} \right)^2 + L_{a1}^{-2} \right]^{\frac{1}{2}} + \frac{v}{2D_p} \right\}^{-1} \quad (4.179)$$

$$l_2 = \left\{ \left[ \left( \frac{v}{2D_p} \right)^2 + L_{a1}^{-2} \right]^{\frac{1}{2}} - \frac{v}{2D_p} \right\}^{-1}$$

$$l_1 \cdot l_2 = L_{a1}^{-2}$$

$Z_{a_1}$  ва  $\alpha_1$  күтәликлар

$$\frac{1}{D_p \tau_p} = \frac{1}{L_p^2} = Z_{a1}^{-2} - \alpha_1^2 \quad (4.180)$$

ифода билан боғланған. Интеграллаш доимийларини то-пишда (4.175) чегаравий шарттарни құллаш

$$\left( D_p \alpha + \frac{S^2}{D_p \alpha} \right) \operatorname{tg} \alpha d = 2S \quad (4.181)$$

күринишдаги трансдент тенгламаға олиб келади. Бу трансдент тенглама  $\alpha$  нинг күп илдизлари  $\alpha_n$  га эга, бунга мос келган  $L_{a1}$ ,  $l_1$ ,  $l_2$  ларнинг ҳам күп қийматлари мос келади. Бу тенглама илдизларининг таҳлили күрсатиши-ча,  $l_{1n}$  ва  $l_{2n}$  ларнинг қиймати  $n$ -ортиши билан тез камай-иб (боради) кетади. Шунинг учун  $l_{12}$  ва  $l_{22}$  дан катта масо-фада (4.177) ва (4.178) күринишдаги ечими үриныли бўла-ди. Ҳақиқатда, агар ёруғлик нури  $x$  үқи бўйича чапдан ўнгга кўчса, намуна сиртига жойлашган бирор нуқтадаги заряд ташувчилар концентрацияси унга ёруғлик нури яқинлашиши билан орталы. Бу ўзгариш (4.177) дан кўри-надики, вақт доимийиси  $\frac{l_1}{v}$  бўлган экспонента қонуни билан содир бўлади. Ёруғлик нури у нуқтадан ўтиб кети-

ши билан заряд ташувчиларнинг концентрацияси вақт бўйича камая бошлайди.  $\Delta p$  нинг камайиши вақт доимийси  $\frac{l_2}{v}$  бўлган экспонента қонуни билан булади. Агар ўлчаш зондини, яъни коллектор контактини намунанинг координаталари  $x_1, z_1$  бўлган нуқтасига жойлашган деб қарасак, номувозанат заряд ташувчиларнинг шу нуқтадаги ҳаракатланувчи ёруғлик зонди ҳосил қилган концентрациясининг вақт бўйича ўзгаришини (4.178) ва (4.179) ларга кўра

$$\Delta p(x, z, t) = \text{const} \cdot \exp\left(\frac{v}{l_1} t\right) \quad (4.182)$$

$$\Delta p(x, z, t) = \text{const} \cdot \exp\left(\frac{v}{l_2} t\right) \quad (4.183)$$

кўринишдаги формулалар билан ифодалаш мумкин. Шундай қилиб, намуна сирти бўйлаб  $U$  тезлик билан ҳаракатланувчи ёруғлик зонди (нури) координатаси ( $x, y, o$ ) бўлган нуқтага жойлашган коллектор контактига яқинлашганда  $\Delta p$  га пропорционал равишда фототок ёки фото ЭДС (юклама қаршиликка тушган ўзгарувчан кучланиш) орта боради, контактга етиб келганда максимумга эришади ва ундан ўтгандан сўнг камая боради. Демак, бу фотосигналнинг вақт бўйича ўзгариши муайян белгиланган нуқтадаги заряд ташувчилар концентрациясининг вақт бўйича ўзгариш қонуниятини кўрсатади. Ёруғлик нури тезлиги  $v$  ни билган ҳолда фотосигналнинг вақтга боғланишидан  $l_1$  ва  $l_2$  топилади ва улар орқали диффузия коэффициенти

$$D_p = \frac{l_1 l_2}{l_1 - l_2} v \quad (4.184)$$

формула билан ҳисоблаб топилади. Сирт рекомбинация ва диффузион узунликни аниқлаш учун сирт рекомбинацияси тезликлари бир хил бўлган икки хил қалинликдаги намуналарда ўлчаш ўтказилади ва ҳар бир намуна учун  $l_1$  ва  $l_2$  топилади ва  $D_p$  ни билган ҳолда

$$\begin{aligned} \left( D_p \alpha_1 - \frac{S^2}{D_p \alpha_1} \right) \operatorname{tg} \alpha_1 d = 2S \\ \left( D_p \alpha_2 - \frac{S^2}{D_p \alpha_2} \right) \operatorname{tg} \alpha_2 d_2 = 2S \end{aligned} \quad (4.185)$$

трансдент тенгламалар системасидан биринчи илдизлари  $\alpha_1$  ва  $\alpha_2$  ҳамда  $S$  топилади.  $a_1$  ва  $a_2$ ,  $l_1$  ва  $l_2$  ларни билган ҳолда

$$\begin{aligned} \frac{1}{L_p^2} &= \frac{1}{l_1 l_2} + \alpha_1^2 \\ \frac{1}{L_p^2} &= \frac{1}{l_1' l_2'} + \alpha_2^2 \end{aligned} \quad (4.186)$$

ифодалар орқали диффузион узунлик  $L_p$  ҳисобланади. Сирт рекомбинацияси тезлиги кичик  $S \ll D_p \alpha_1$  бўлганда,  $\operatorname{tg} \alpha_1 = \alpha_1 d_1$  бўлади ва сирт рекомбинацияси тезлиги

$$S = \frac{D_p}{2} \frac{d_1 d_2}{d_1 - d_2} (L_{\alpha_2}^{-2} - L_{\alpha_1}^{-2}) \quad (4.187)$$

дан ҳисобланади. Топилган  $S$  бўйича диффузион узунлик

$$\begin{aligned} L_p &= \sqrt{\frac{L_{\alpha_1}^2 D_p d_1}{D_p d_1 - 2 S L_{\alpha_1}^2}} \\ L_p &= \sqrt{\frac{L_{\alpha_2}^2 D_p d_2}{D_p d_2 - 2 S L_{\alpha_2}^2}} \end{aligned} \quad (4.188)$$

бўйича ҳисобланади.  $D_p$  ва  $L_p$  ларни билган ҳолда заряд ташувчиларнинг яшаш вақти

$$\tau = L_p^2 D_p^{-1} \quad (4.189)$$

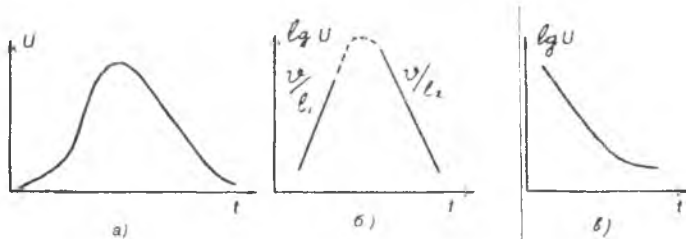
билин, бикутбий диффузион ҳаракатчанлик Эйнштейн муносабатидан

$$\mu = D \frac{e}{KT} \quad (4.190)$$

топилади. Агар сирт рекомбинациясини эътиборга олмаслик мумкин бўлса, масаланинг ечими соддалашади. Ҳақиқатда  $S = 0$  да чегаравий шартлар (4.175) дан фойдаланишга ҳожат қолмайди ва масала бир ўлчамли бўлади. Трансдент тенглама ечими  $\alpha_1 = 0$  бўлади. У вақтда диффузион узунлик

$$L_p = (l_1 l_2)^{\frac{1}{2}} \quad (4.191)$$

билин, диффузия коэффициенти (4.184) билан, заряд ташувчиларнинг яшаш вақти  $\tau = \frac{l_1 - l_2}{\mu}$  формулалар билан ҳисобланади. Ёруғлик нурининг ҳаракатланувчи усули билан номувозанат заряд ташувчилар параметрларини ўлчаш қурилмасининг чизмаси 4.19 а, б-расмда келтирилган. Монохроматик ёруғлик оқими  $S_1$  ва  $S_2$  кўзгулар, тирқишли диафрагма  $D$  ёрдамида намуна сиртига йўналтирилади. Ёруғлик оқимининг кенглиги  $10^{-2}$  дан то 1 мм гача ўзгаради. Ёруғлик нурининг намуна сирти бўйлаб ҳаракати айланувчи кўзгудан ёруғликнинг қайтиши орқали пайдо қилинади. Коллектор токига пропорционал бўлган кучланиш юклама қаршилик  $R_H$  дан кучайтиргич  $U$  га ва осциллографга берилади. Осциллограмма ўлчаш зондини контактланиш нуктасидаги заряд ташувчиларнинг вақт бўйича (4.182) ва (4.183) ифодалар билан аниқланадиган тақсимотини кўрсатади. Осциллограммадан  $\ln V_k = f(t)$  боғ-



4.19-расм. Коллектор фото ЭЮК нинг чизиқли (a) яримлогарифмик (b, c) масштаблардаги осциллограммаси.

ланиш чизилади ва унинг тўғри чизиқли боғланиш соҳасидан  $\frac{V}{l_1}$  ва  $\frac{V}{l_2}$  лар, ёруғлик нуридан ўнгда

$$\frac{\Delta \ln U_k}{\Delta t} = \frac{\Delta \ln \Delta \varphi}{\Delta t} = \frac{V}{l_1}$$

ва ёруғлик нуридан чапда

$$\frac{\Delta \ln V_k}{\Delta t} = \frac{V}{l_2}$$

экспонентанинг вақт доимийлари топилади. Намуна сирти бўйлаб ҳаракатланувчи ёруғлик зондининг тезлиги  $V$  ни аниқлаш учун биринчи коллектор зондидан қандайдир масофа, иккинчи коллектор зонд ўрнатилади. Икки зонд орасидаги масофани ёруғлик зонди босиб ўтган вақтга нисбати  $V$  ни беради. Бу усул олдин германий, кейинчалик кремний, индий, суръма ( $InSb$ ) ва бошқа яримтказгич намуналарининг параметрларини ўлчашда қўлланилган. Ўлчаш давомида индий, суръма ва германий намуналарида ёпишиш марказларининг таъсири кучлироқ намоён бўлган. Бу марказлар томонидан эркин заряд ташувчиларнинг тутилиши осциллограмманинг горизонтал ўқ билан бироз чўзилишига ва ниҳоят экспонента вақт доимийсининг ошишига олиб келган. Шунинг учун осциллограмманинг бу соҳасига температура ўзгаришининг ва кучсиз ёритишнинг таъсири кўрсатилган. Юқорида муҳокама қилинган ёруғлик зондининг қўзғалувчан, ҳаракатланувчи усулларидаги ёруғлик зондининг ўрнига электрон зондини қўллаш орқали диффузион узунлиги кичик бўлган  $A_3B_5$  ва  $A_2B_6$  яримтказгич бирикмаларини текшириш ва уларда диффузион узунликни ўлчаш имкони туғилди.

Диффузион узунликни электрон зонди усули билан ўлчашда, одатда намуналинг электрон зондига тик ёки параллел сиртларида планер технология билан кичик юзали  $p-n$  ўтиш ёки шоттки тўсифи олинган структуралар қўлланилади.

Электрон концентрацияси  $10^{17} \text{ см}^{-3}$  бўлган  $n$ -тип  $CdTe$  да заряд ташувчилар диффузион узунлигини ўлчаш учун

намуна сиртига шоттки түсифи олинган ва шоттки түсифидан  $0,1 \div 14$  мкм масофада энергияси  $5 : 25$  кэВ бўлган электрон нури билан асосий бўлмаган заряд ташувчилар (кавак) уйғотилган. Шоттки түсифига  $0,1$  В дан ортиқ бўлмаган кучланиш уланган. Бу диффузион узунликни  $0,4 \div 3$  мкм оралиқда ўлчаш имконини беради. Электрон зонди усулининг кенг қўлланишини чекловчи бир неча омиллари мавжуд бўлиб, улардан муҳимлари сифатида қўйидагиларни кўрсатиш мумкин:

1. Электрон зонди билан номувозанат асосий бўлмаган заряд ташувчилар генерацияланиш соҳаси энининг чекли бўлиши. Электронни  $5 \div 30$  кВ кучланиш билан тезлантирилганда заряд ташувчилар генерацияланиш соҳаси  $0,1$  дан то  $2,1$  мкм гача ўзгарган. Электрон зонди усули, ёруғлик зонди усули каби,  $x > L$  да яхши натижалар беради. Бу шартни юпқа эпитаксиал қатламларда қаноатлантириш қийин, шунинг учун бу ҳолда электрон зондининг қўзғалувчан усули қўлланилмайди.

2. Кенг тақиқланган зонали яrimутказгичларни, масалан, кремнийни сирт соҳасида маълум бир шароитда камбағаллашган ёки инверсион қатламнинг ҳосил бўлиши. Бу ҳолда ҳажмий заряд соҳасининг электр майдони ва  $p-n$  ўтишга, шоттки түсифига уланган ташқи майдон сирт бўйича тарқалиши мумкин ва асосий бўлмаган заряд ташувчиларнинг дрейф ташкил этувчисини юзага келтиради, натижада ўлчанаётган диффузион узунликнинг ортишига олиб келади. Бундан ташқари,  $p-n$  ўтишнинг йиғувчи юзасининг ортишига ва, ниҳоят ҳисоблашда хатоликнинг ошишига олиб келади. Атроф муҳитни ўзгартириб, сиртий потенциални бошқариш орқали бу чекловчи омилнинг таъсирини йўқотиш мумкин. Намуна сиртида “яssi зона” ёки заряд ташувчилар билан кучсиз бойиган режими амалга оширилиши мақсадга мувофиқ бўлади.

3. Рекомбинацион нурланиш кучли намоён бўладиган тўғри зонали яrimутказгичларда асосий бўлмаган заряд ташувчиларнинг коллектори яқинида рекомбинацион нурланиш фотонининг қайта ютилиши.

Бу бир неча диффузион узунликдаги (бирламчи асосий бўлмаган заряд ташувчилар томонидан) юзага келган кичик коллектор сигналидан аниқланадиган диффузион узунлик қийматининг ортишига олиб келади (4.19в-расм).

Кўзгалувчан, ҳаракатланувчи электрон зондини олишда растрли электрон микроскопнинг исталган типи ишлатилиши мумкин.

#### **4.8-§. $P$ - $n$ ўтишнинг ва Шоттки тўсифининг қисқа туташув фототокини ўлчашга асосланган диффузион узунликни аниқлаш усули**

Бу усул билан олдин  $p$ - $n$  ўтиш (эпитаксиал структура)-нинг таркибий қисми бўлмиш эпитаксиал қатламда заряд ташувчиларнинг диффузион узунлигини ўлчашни кўрайлик.

Аниқлик киритиш учун  $n$ -типдаги тагликка қалинлиги  $W$  бўлган  $p$ -типдаги эпитаксиал қатлам ўстирилган ва намунани эпитаксиал қатлам томонидан  $x=0$  текислиги фотон энергияси  $\hbar\omega \geq Eg$  бўлган ёруғлик оқими билан ёритилган бўлсин деб олайлик. Умуман олганда, ёруғлик оқими эпитаксиал қатламда,  $p$ - $n$  ўтишнинг ҳажмий заряд соҳасида, тагликда номувозанат электрон-кавак жуфтларини генерациялайди ва фототокка ҳар бир соҳадаги номувозанат асосий бўлмаган заряд ташувчилар ўз ҳиссаларини қўшадилар. Шунинг учун  $p$ -тип эпитаксиал қатлам учун асосий бўлмаган номувозанат заряд ташувчилар (электрон) концентрациясининг тақсимоти  $\Delta n$  ни ва у билан боғлиқ фототок ифодасини таҳлил қиласайлик.  $P$ -тип эпитаксиал қатламда рекомбинацион нурланишни ва уни қайта намунада ютилишини ҳисобга олмагандан, номувозанат электроннинг концентрацияси  $a > b \gg w$  да бир ўлчамли

$$D_n \frac{d^2 \Delta n}{dx^2} - \frac{\Delta n}{tn} + g_0 e^{-\alpha x} = 0$$

узлуксизлик тенгламанинг

$$D_n \frac{d \Delta n}{dt} \Big|_{x=0} = S \Delta n(0)$$

$$D_n \frac{d \Delta n}{dx} \Big|_{x=d} = 0$$

чегаравий шартларини қаноатлантирувчи ечими орқали топилади. Бу ҳолда қисқа туташув фототоки фақат  $p$ -тип эпитаксиал қатламда генерацияланган асосий бўлмаган заряд ташувчилар бўлмиш электроннинг диффузион ток зичлиги

$$j_{\text{к.т}} = e D_n \frac{d\Delta n}{dx} \Big|_{x=w} \quad (4.193)$$

билин аниқлашини кўрамиз. Ҳисоблашларнинг кўрсатишича,  $j_{\text{к.т}}$  нинг ифодаси

$$j_{\text{к.т}} = \frac{eg_0 L_n}{\alpha^2 L_n^2 - 1} \left\{ -\frac{(S + \alpha D_n) \operatorname{sech}(w/L_n)}{L_n + s \operatorname{th} \frac{w}{L_n}} + \right. \\ \left. + \left[ \alpha Z_n \frac{S + L_n(\tau_n) \operatorname{th}(w/L_n)}{(L_n/\tau_n + S \operatorname{th} w/L_n)} \right] e^{-\alpha w} \right\} \quad (4.194)$$

кўринишни олади. Агар эпитаксиал қатлам қалинлиги етарлича катта, ёргулик кучли ютилсин, сирт рекомбинацияси тезлиги кичик бўлсин деб фараз қилсак, яъни

$$\alpha w > 3 \quad (4.195a)$$

$$\alpha Z_n > 3 \quad (4.195b)$$

$$S=0 \quad (4.195c)$$

да шартлар ўринли бўлади. (4.194) ифоданинг иккинчи ҳадини ташлаб юбориш мумкин. У вақтда (4.194) соддлашади ва  $j_{\text{к.т.}}$  нинг ифодаси

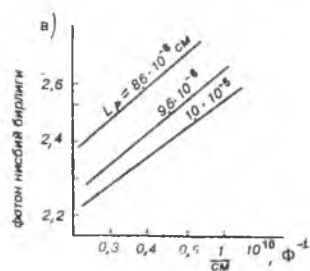
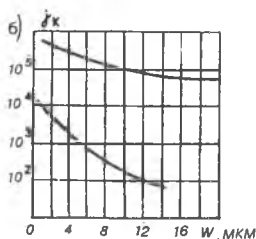
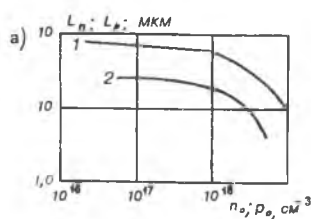
$$j_{\text{к.т.}} = \frac{e(1-R_\nu)}{h\nu} \operatorname{sech} \left( \frac{w}{L_n} \right) \quad (4.196)$$

кўринишга келади. (4.195 а, б, в) шартларни арсенид-галлий эпитаксиал қатлам мисолида баҳолаб кўрайлик. Эпитаксиал қатлам гелий-неон лазер нури  $h\nu = 1,96 \text{эВ}$  ( $\lambda = 0,6328 \text{ мкм}$ ) билан ёритилган бўлсин. Ёргуликнинг бу тўлқин узунлигидаги хусусий ютилиш коэффициенти  $\alpha = 4,4 \cdot 10^4 \text{ см}^{-1}$  бўлади. (4.194a) шартни қаноатлантирувчи эпитаксиал

қатлам қалинлиги  $1 \div 10$  мкм, (4.195б) шартни қаноатлантирувчи заряд ташувчилар диффузион узунлиги  $L_n > 1$  мкм бўлиши керак. Агар (4.195б) шарт бузилиб,  $L_n < 1$  мкм,  $\alpha L_n < 3$  бўлганда  $j_{k,t}$  қисқа туташув фототоки (4.194) дан

$$j_{k,t} = \frac{eI_{0v}(1 - R_v)}{h\nu} \frac{\alpha^2 L_n^2}{\alpha^2 L_n^2 - 1} \operatorname{sech}\left(\frac{w}{L_n}\right) \quad (4.197)$$

ифода билан аниқланишини кўрамиз. Суюқлик эпитаксия технологияси билан ўстирилган, қалинлиги  $1 \div 10$  мкм оралиқда бўлган *GaAs* эпитаксиал қатламда  $L_n$  ни ўлчаш натижалари, унинг заряд ташувчилар концентрациясига боғлиқлигини кўрсатди. Асосий заряд ташувчилар концентрациясининг  $P_0 = (10^{16} : 10^{19}) \text{ см}^{-3}$  оралиғида  $Z_n = 0,1$  дан то 1 мкм гача ўзгарган (4.20а-расм). Сирт рекомбинацияси тезлигини камайтириш мақсадида одатда эпитаксиал қатлам устига шу типидаги *GaAlAs* қатлам ўстирилади. Тажрибадан аниқланган  $L_n$  қийматлари учун (4.194) му-



4.20-расм. а) *GaAs* эпитаксиал қатламида электрон-ковак диффузион узунликларининг асосий заряд ташувчилар концентрациясига боғланиши. 1 — германий билан легирланган  $p$  — *GaAs* учун, 2 — қалай билан легирланган  $n$  — *GaAs* учун. б) *GaAs* ли  $p-n$  ўтиш қисқа туташув фототокининг  $p$ -қатлам қалинлигига боғланиши. 1 —  $p=1,1 \cdot 10^{19} \text{ см}^{-3}$ ,  $L_n = 5,5 \text{ мкм}$ ; 2 —  $p=6,0 \cdot 10^{16} \text{ см}^{-3}$ ,  $L_n = 200 \text{ мкм}$ ; в) Шоттки диоди фототокининг тескари сигимига боғланиши.

носабатнинг таҳлили шуни кўрсатадики, (4.195а) ва (4.195б) тенгсизликлар сирт рекомбинациясининг  $S < 10^4 \text{ см}/\text{с}$  қийматларида ўринли бўлар экан. Бундан (4.195в) шартни  $S < 10^4 \text{ см}/\text{с}$  билан алмаштириш мумкинлиги кўрсатилган. Тажрибадан  $L_n$  ни аниқлашда  $p-n$  ўтишнинг юзаси  $5 \cdot 10^{-4} \text{ см}^2$ , юклама қаршилик 1 Ом бўлган ёруғлик манбаи сифатида гелий-неон лазери қўлланилган.  $L_n$  ни аниқлашда қисқа туташув фототок ўлчашдан ташқари, ёруғлик интенсивлигини, ёруғликни намунадан қайтиш коэффициентини билиш лозим. Эпитаксиал қатlam қалинлиги шар ёки қия (нишаб) шлиф усули билан ёки тўғридан-тўғри растрли электрон микроскоп билан аниқланиши мумкин.

Диффузион узунлик  $p-n$  ўтиш қисқа туташув фототокининг эпитаксиал қатlam қалинлигига боғлиқлигидан ҳам аниқланиши мумкин.

$\alpha w > 1$  ва  $\alpha L_n > 1$  да  $p-n$  ўтиш қисқа туташув фототоки (4.197) дан

$$j_{K_T} \sim [e^{w/L_n} - \kappa e^{-w/L_n}]^{-1} \quad (4.198)$$

бўлади. Бунда коэффициент:

$$\kappa = \frac{(S/D_n - 1/L_n)}{(S/D_n + 1/L_n)} < 1 \quad (4.199)$$

Қалинлиги диффузион узунликдан катта  $w > L_n$  эпитаксиал қатламлар учун (4.198) нинг биринчи ҳади устунлик қилади. Шунинг учун  $j_{K_T}$  нинг  $W$  га чизиқли боғланиш графигидан  $L_n$  ни ҳисоблаш мумкин. Агар намуна қалинлиги диффузион узунлик тартибида ёки ундан кичик  $w \leq L_n$  бўлса, қисқа туташув фототоки  $S/D_n$  ва  $1/Z_n$  ларга боғлиқ бўлади. Бу ҳолда тажрибадан аниқланган ҳамда назарий ҳисобланган  $j_{K_T}$  ( $w$ ) боғланишларининг бир-бирига мос тушиш шартидан коэффициент  $\kappa$ -ни ва у орқали  $S/D_n$  аниқланади.  $D_n$  нинг қийматини  $p$ -тип материалларда электрон ҳаракатчанлиги орқали боғланиши мумкин. Бунинг учун  $p$ -типдаги электрон ҳаракатчанлиги, шундай концентрациядаги заряд ташувчиларга эга бўлган  $n$ -типдаги электрон ҳаракатчанлигига тенг деб қаралади. Энди

$p-n$  үтишда ва шоттки түсифида ҳажмий заряд соҳасининг кенглиги диффузион узунлиги  $L_n$  тартибида бўлган ярим-үтказгичлар учун  $L_n$  ни аниқлашни кўрайлик. Юқори Омли намуналарда олинган  $p^+ - n$ , ёки  $n^+ - p$  үтишлар ёки шоттки түсиқларидир. Бу структураларнинг фотоэфект на-зариясига кўра қисқа туташув фототоки

$$j_{\text{к.т}} \sim \frac{\alpha(w + L_n)}{(1 + \alpha L_n)} = f(\alpha, w, L_n) \quad (4.200)$$

бўлади. Бу ифодани қўллаб,  $L_n$  ни тажрибадан аниқлаш асосида қисқа туташув фототокининг ҳажмий заряд соҳаси кенглигига боғлиқлиги ётади. Маълумки, потенциал түсиқли структураларда ҳажмий заряд соҳасининг кенглиги унга қўйилган кучланишга боғлиқ.  $P-n$  үтишни ҳажмий заряд соҳа кенглигининг кучланиш билан ўзгариши ўз навбатида потенциал түсиқ сифимининг ўзгаришига олиб келади. Бундан  $p-n$  үтиш ва Шоттки түсиқлари қисқа туташув фототокларининг ҳажмий заряд соҳаси қалинлигига қараб ўзгаришини потенциал түсиқнинг сифим ўзгариши орқали ифодалаш мумкинлиги кўринади. Түсиқ сифимининг ҳажмий заряд соҳаси кенглиги  $W$  билан  $C(u) = \frac{\epsilon_0 \epsilon}{w} A$  боғланишда бўлишлигини назарда тутсак, (4.198) ифодани  $\frac{\epsilon \epsilon_0 A}{C(u)}$  билан тўғри чизиқли боғланишда бўлишлигини кўрамиз. Бу ерда  $A-p-n$  үтиш ёки Шоттки түсифининг юзаси  $\epsilon$  — яримүтказгичнинг диэлектрик сингдирувчанлиги  $C(u)$  ҳар хил кучланишдаги түсиқ сифими.

Шундай қилиб,  $p-n$  үтиш ва шоттки түсиқларининг қисқа туташув фототоки орқали диффузион узунликни аниқлашнинг иккинчи усулида уларга қўйилган ҳар хил кучланишларда бир вақтда бир хил интенсивликдаги ёруғлик билан ёритишдан ҳосил бўлган қисқа туташув фототокининг сўниш сифими ўлчанади ва ўлчанганди  $j_{\text{к.т}}$  нинг  $\frac{\epsilon_0 \epsilon}{C(u)} A$  га боғланиши чизилади. (4.20 в-расм). Бу боғланишнинг тўғри чизиқли соҳасини абсцисса ўқи билан кесишигунча давом эттириб, у кесма узунлигидан диффузион узунлик топилади  $L_n = \frac{\epsilon \epsilon_0 A}{C(u)}$ . Бундай ўлчашни ўтказишида ёруғликнинг  $\alpha w < 1$  тенгсизлик ўринли бўлган спектрал соҳаси танланади. Бундан ташқари, заряд та-

шувчилар яшаш вақти ҳажмий заряд соҳасининг дрейф вақтидан катта бўлиши кераклиги кўрсатилган. *GaP* учун  $t_{\text{др}} \approx 10^{-12} \text{C}$ . Сигим *C(u)* намуна ёритилган ҳолатда 1 МГ частотада ўлчанганд. Юқорида изоҳланганлардан кўрина-дикни, бу усул эпитаксиал қатламларда номувозанат асо-сий бўлмаган заряд ташувчиларнинг кичик диффузион узунлигини ўлчаш мумкин. Ҳамда ҳар хил шароитда ҳар хил қалинликда ўтказилган тажриба натижалари диффу-зия коэффициентини, сирт рекомбинацияси тезлигини, заряд ташувчилар яшаш вақтини аниқлашга имкон бе-ради.

# ЧУҚУР САТҲЛИ МАРКАЗЛАР ПАРАМЕТРЛАРИНИ ҮЛЧАШ УСУЛЛАРИ

## 5.1-§. Чуқур сатҳли марказларнинг параметрлари

Яrimûtказгич материаларининг тақиқланган зоналарида чуқур энергия сатҳларини ҳосил қиласидан кристалл панжара нуқсонлари чуқур сатҳли марказ (тутқичлар) деб юритилади. Бу нуқсонларга киришма атомларини, радиацион нуқсонларни, термик ишлов жараёнларида пайдо бўлган термик нуқсонларни кўрсатиш мумкин. Чуқур сатҳли марказлар рекомбинация марказлари ёки тутқич марказлари каби бўладилар. Биринчи ҳолда чуқур сатҳлар заряд ташувчиларнинг яшаш вақтини, диффузион узунлигини камайишига олиб келади ва яrimûtказгич асбобларининг характеристикаларига кучли таъсир кўрсатади. Чуқур сатҳ (ЧС) лар рекомбинацион марказлар сифатида лазер ва ёруғлик (свето) диодларининг нурланиш интенсивлигини камайтиради. Чуқур сатҳли марказлар тутқич марказлари сифатида заряд тўпланишига таъсир қилиши мумкин. Назорат остида киритилган чуқур сатҳли марказ (ЧСМ)лар бир қанча ҳолларда яrimûtказгичларда керакли хусусиятлар ҳосил қилиши мумкин. Масалан, арсенидгаллий (*GaAs*) га киритилган хром киришма атоми юқори Ом ли (қаршилиги катта бўлган) намуналар олишга имкон беради. Кремнийни тилла (*Au*), платина (*Pt*) киришма атомлари билан легирлаб, заряд ташувчилар яшаш вақтини бир неча тартибга камайтиришга эришилди ва у намуналар асосида саноатда тезкор импульсли диод ва триисторлар ишлаб чиқариш йўлга қўйилди. Демак, яrimûtказгичларда ЧСМлар мақбул ва номақбул ҳодисаларни содир қиласар экан. Шунинг учун чуқур сатҳлар хоссаларини ўрганиш, технологик жараёнларда пайдо бўлишлигини назорат қилиш, улар табиатини аниqlаш яrimûtказгичлар физикасида муҳим ўрин тутади.

Заряд ташувчилар бўлмиш электронни, ковакни ЧСларга тутиб олгунча, тутгандан сўнг қандай зарядланган ҳолатида бўлишига қараб, саёз сатҳлар каби, чуқур марказ донор ёки акцептор характеристига эга бўлиши мумкин. Чуқур сатҳлар хоссалари тақиқланган зонадаги ҳолати  $E$ , концентрацияси  $N$  дан ташқари, электронни, ковакни мос равища сатҳдан термик чиқариш коэффициентлари  $e_n$ ,  $e_p$  ҳамда электронни, ковакни сатҳга тутилиш кесимлари  $S_n$ ,  $S_p$  билан аниқланади. Электрон, ковакни марказга тутилиш коэффициентлари  $\gamma_n$ ,  $\gamma_p$  тутилиш кесимлари  $S_n$ ,  $S_p$  орқали қўйидаги

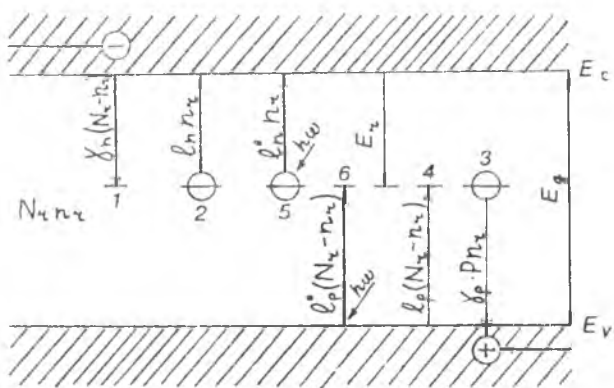
$$\gamma_n = S_n v_i; \quad \gamma_p = S_p v_i \quad (5.1)$$

муносабатлар билан боғланган. Бу ерда:  $v_i$  — заряд ташувчилар ўртача тезлиги бўлиб, унинг қиймати

$$v_i = (KT/\pi m)^{1/2} \quad (5.2)$$

ифодадан топилади. Маълумки, заряд ташувчиларнинг  $E$  сатҳга тутилиш кесими чуқур марказнинг қандай зарядланган ҳолатда бўлишига боғлиқ.

Зарядланган марказ кулон тортишиш маркази бўлганда тутилиш кесими  $10^{-14}$  см<sup>2</sup>, кулон итарувчи маркази бўлганда тутилиш кесими  $10^{-19}$  см<sup>2</sup>, марказ нейтрал бўлганда тутилиш кесими  $10^{-16}$ :  $10^{-17}$  см<sup>2</sup> тартибида бўлади. Баъзан, ЧСМларда тутилиш кесимлари юқорида келтирилган қийматларидан катта фарқ қилиши мумкин. Шундай қилиб, чуқур энергия сатҳлари  $E$ ,  $N$ ,  $e_n$ ,  $e_p$ ,  $S_n$ ,  $S_p$  параметрлар орқали аниқланар экан. Бу параметрларни ўлчаш усуллари устида тўхташдан олдин уларнинг боғланишларини аниқловчи баъзи бир муносабатларни кўриб чиқайлик. Яrimўтказгич  $n$ -тип бўлсин ва унда саёз сатҳли концентрацияси  $N_{CD}$  бўлган донор марказидан ташқари концентрацияси  $N$ , тақиқланган зонада энергия сатҳи  $E$ , бўлган ЧСМлар бўлсин ҳамда электр нейтраллик соҳаси (ЭНС)да  $F - E > 4kT$  тенгсизлик бажарилсин. Бундай на муналарда чуқур сатҳда электрон концентрациясининг вақт бўйича ўзгаришига олиб келадиган жараёнларни кўрайлик (5.1-расм).



5. 1-расм. Яримұтказгич чуқур сатқида электрон концентрациясининг ўзгаришига олиб келувчи жараёнлар (электрон үтишлар схемаси).

1. Ўтказувчан зонадаги электроннинг чуқур сатқа тутилиш жараёни. Бу жараёнда сатқадаги электронлар концентрацияси ошади ва унинг ўсиш тезлиги

$$g_n = \gamma_n (N_r - n_r) n \quad (5.3)$$

билин аниқланади. Бу ерда,  $n_r$  — чуқур сатқадаги электрон концентрацияси,  $n$  — электроннинг ўтказувчан зонадаги коцентрацияси:  $N_r - n_r$ , электрон билан тұлатылмаган бүш чуқур марказ коцентрацияси,  $\gamma_n$  — электроннинг марказға тутилиш коэффициенті.

2. Чуқур сатқдан ўтказувчан зонага электронни термик чиқариш жараёнида  $E_r$  сатқадаги электрон концентрацияси  $n_r$  камаяди ва унинг тезлиги

$$r_n = -e_n n_r = -\gamma_n n_1 n_r \quad (5.4)$$

билин аниқланади. Бу ерда,  $e_n$  — электронни сатқдан термик чиқариш коэффициенті Шокли -- Рид статистикасига күра,  $e_n = \gamma_n n_1$  ифоладан топилади.

$n_1$  — ферми сатқи  $F$  чуқур сатқ  $E_r$  га мос келганды, ўтказувчан зонадаги электрон концентрацияси булиб, унинг қиймати

$$n_1 = N_c \exp\left[-\frac{(E_c - E_r)}{\kappa T}\right] \quad (5.5)$$

билин аниқланади. Бу ерда,  $N_c$  — ўтказувчан зонадаги эффектив ҳолат зичлиги.

3. Электронни  $E_r$  сатҳдан валент зонага ўтиш (ёки ковакнинг  $E_r$  сатҳга тутилиш) жараёни. Бу жараён сатҳдаги электрон концентрациясини камайтиради ва унинг тезлиги

$$r_p = -\gamma_p p n_r \quad (5.6)$$

ифода билан аниқланади. Бу ерда,  $p$  — ковак концентрацияси,  $\gamma_p$  — ковакнинг сатҳга тутилиш коэффициенти.

4. Валент зонадан электронни  $E_r$  сатҳга (ёки ковакни  $E_r$  сатҳдан валент зонага) термик чиқариш жараёни. Бу жараён  $F_1$  сатҳдаги электрон концентрациясини оширади ва унинг тезлиги

$$g_p = e_p (N_r - n_r) = \gamma_p p_1 \cdot (N_r - n_r) \quad (5.7)$$

ифода билан гопилади. Бу ерда,  $P_1$  — электр нейтраллик соҳасида Ферми сатҳи,  $E_r$  билан мос келганда валент зонадаги ковак концентрацияси. Унинг қиймати

$$P_1 = N_v \exp\left[-\frac{(E_r - E_v)}{\kappa T}\right] \quad (5.8)$$

ифодадан топилади.  $N_v$  — валент зонадаги эффектив ҳолат зичлиги. Шундай қилиб,  $E_r$  ЧС электрон концентрациясининг вақт бўйича ўзгариш тезлиги Шокли-Рид статистикасига кўра

$$\frac{dn_r}{dt} = \gamma_n (N_r - n_r) n - \gamma_n n_1 n_r - \gamma_p p n_r + \gamma_p p_1 (N_r - n_r) \quad (5.9)$$

узлуксизлик тенгламаси орқали ифодаланади. Стационар ҳолатда  $\left(\frac{\partial n_r}{\partial t} = 0\right)$  электроннинг стационар концентрацияси (5.9) тенгламага кўра

$$n_r = N_r \frac{\gamma_n n_c + \gamma_p p_1}{\gamma_n(n_c + n_1) + \gamma_p(p_c + p_1)} = \frac{\gamma_n n_c + e_n}{\gamma_n n_c + e_n + \gamma_p p_c + e_p} \quad (5.10)$$

күринишда бўлади.  $n_1$  ва  $p_1$  концентрациялар ( $E_e - E_p$ ) ва ( $E_r - E_v$ ) энергияларга экспоненциал боғланган бўлгани туфайли, улар бир-биридан камида бир тартибда фарқ қиласдилар. Одатда  $e_n \gg e_p$  ёки  $e_p \gg e_n$  тенгсизлик ўринли бўлади. Агар тутилиш коэффициентлари  $\gamma_n$  ва  $\gamma_p$  бир-биридан катта фарқ қилмасалар, n-тип материалларда тақиқланган зона ярмининг юқори қисмида жойлашган  $E_r$  сатҳ учун  $e_n \gg e_p$  бўлади ва у асосий заряд ташувчилар учун тутқич марказ бўлади. Агар  $E_r$  сатҳ тақиқланган зона ярмининг куйи қисмида бўлса,  $e_p \gg e_n$  бўлади ва асосий бўлмаган заряд ташувчилар учун тутқич марказ бўлади. P-тип материал учун эса тескари тенгсизликлар ўринли бўлади. ЧСнинг электронлар билан тўлдирилганлик даражасининг ўзгариши (ЧС)ни фотоионланиши, яъни ЧС билан ўтказувчан ёки валент зоналар орасидаги оптик ўтишлар туфайли содир бўлиши мумкин (5.6-ўтишлар). Бу ҳолда сатҳдан электронни ва ковакни оптик чиқариш коэффициентлари  $e_n^o = \chi_n I_v$ ,  $e_p^o = \chi_p I_n$  киритилади ( $\chi_n, \chi_p$  — фотоионланиш кесими,  $I_n$  — ёруғлик интенсивлиги) у вақтда уларнинг  $E_r$  сатҳдан чиқариш коэффициентлари  $e_n^o + e_n$  ёки  $e_p^o + e_p$  га teng бўлади. Шундай қилиб, намуна фотон энергияси  $h\nu \gg \Delta E_r$  ёруғлик билан ёритилганда (5.9) узлуксизлик тенглама

$$\frac{dn_r}{dt} = \gamma_n(N_r - n_r)n - \gamma_n n_1 n_r + \gamma_p p_1(N_r - n_r) - \chi_n n_r I_v + \chi_p (N_r - n_r) I_v \quad (5.10a)$$

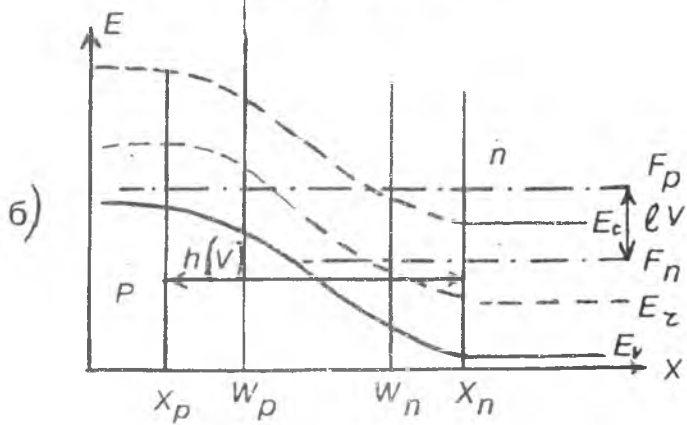
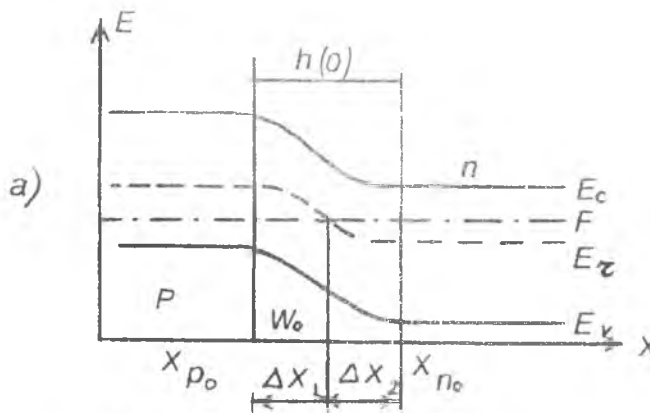
билан ифодаланади. Паст температураларда термик чиқариш тезлиги унча катта бўлмаган шароитда оптик ўтишларда чиқариш тезлиги температурага боғлиқ бўлмасдан ёруғлик интенсивлигига боғлиқ бўлганлиги туфайли  $e_n^o \gg e_p^o$  ёки  $e_p^o \gg e_n^o$  шарт осон бажарилади.

ЧС — нинг электрон билан тўлдирилганлик даражасини оптик усул билан ўзгаририш орқали чукур сатҳ энергиясини тўғридан-тўғри фотон энергияси бўйича

аниқлаш мүмкін. Буни унинг афзаллиги сифатида күрсатыш мүмкін. Шундай қилиб, юқорида келтирилган изохлардан күринаники, чуқур  $E$ , сатҳни электронлар билан тұлдирғанлик даражаси, сатҳнинг тақиқланған зонадаги ва ферми сатҳига нисбатан қандай вазиятта бўлишига, материал типига, сатҳни донор ёки акцептор характеристига эга бўлишига, концентрацияси  $N$ , га ҳамда ташқи таъсир (температура, ёруғликнинг фотон энергияси  $h\nu$  ва интенсивлиги)га bogлиқ.

### 5.2-§. Р-п ўтишда чуқур сатҳларнинг электронлар билан тұлдирғанлиги

Оҳиста  $p-n$  ўтишда саёз сатҳли донор ва акцепторлардан ташқари, энергия сатҳи  $E$ , концентрацияси  $N$  бўлган ЧСМ бўлсин, шу билан бирга, чуқур марказ атоми битта электронни қабул қилиши ёки бериши мүмкін бўлсин (бир зарядли). Бу ҳолда ҳажмий заряд соҳаси ( $\chi_3C$ )да чуқур сатҳ электрон концентрациясининг вақт бўйича ўзгаришини кўрайлик. Электр нейтраллик соҳаси ( $\chi_{HC}$ )да, яъни  $\chi_3C$  дан ташқарида чуқур марказ концентрацияси  $N$ , саёз марказ концентрацияси  $N_{cd}$  билан бир тартибда, лекин  $N < N_{cd}$  бўлсин, деб олайлик.  $P-n$  ўтишнинг  $n$  соҳасида  $N_c = N_{cd} - N_{ca}$  ва  $p$  — соҳасида  $N_c = N_{ca} - N_{cd}$  билан аниқланади ( $N_{cd}$  — саёз донор концентрацияси,  $N_{ca}$  — саёз акцептор концентрацияси). Бундан ташқари,  $n$  соҳанинг  $\chi_{HC}$  да  $E - E > 4kT$   $p$  — соҳанинг  $\chi_{HC}$  да эса  $E - F > 4kT$  тенгсизликлар бажарилади деб қараймиз. Ҳисоблашларни соддалаштириш учун  $p-n$  ўтишга кучланиш қўйилмаган ( $V=0$ ) да стационар ҳолатда ферми сатҳидан пастда  $x > w_0$  соҳада жойлашган чуқур сатҳ  $E$ , ни электрон билан тұлатылған, а ферми сатҳидан юқорида  $x > w_0$  соҳада жойлашган  $E$ , сатҳни электрон билан тұлатылмаган деб қабул қиласиз (5.2а-расм).  $P-n$  ўтишга тескари кучланиш уланганда  $E$ , сатҳда электрон концентрациясининг ўзгаришини кўрайлик (5.2б-расм).  $P-n$  ўтиш тескари кучланишда мувозанатда бўлмаса хам  $E$ , сатҳни тескари кучланиш уланган  $p-n$  ўтишга ёруғлик туширилганда  $n$ , ни қўшимча ўзгаришига олиб келадиган қўйидаги оптик ўтиш жараёнлари кузатилади.  $P-n$  ўтишга фо-



5.2-расм. Оқиста (равон)  $p$ - $n$  ўтишда энергетик зоналарнинг жойланиши ва чуқур сатҳларнинг күчланиш қўйилмаган  $U=0$  да (a) ва тескари күчланиш қўйилган  $U \neq 0$  да электрон билан тўлиши.

тон энергияси  $E_e - E_v > h\nu > E_n - E_v$  бўлган монохроматик ёруғлик билан ёритилганда  $E_v$  сатҳни фотоионланиш жараёни содир бўлади, яъни сатҳдан электрон үтказувчан зонага чиқади. Шунинг учун бу жараёнда сатҳда электроннинг концентрацияси камаяди ва унинг тезлиги

$$r_n^0 = -e_n n_r = \chi_n I_{0\nu} n_r \quad (5.11)$$

билин ифодаланади. Бу ерда,  $\chi_p$  — чукур марказдаги электронда фотонни тутилиш кесими,  $I_{0r}$  намунага тушаётган фотон интенсивлiği (вақт бирлигиде, юза бирлигига тушаётган квантлар сони). Фотон энергияси  $E > \hbar\omega > E_r - E_v$ , бўлган ёруғлик билан намуна ёритилганда ковакни  $E_r$  сатҳдан валент зонага (ёки электронни валент зонадан  $E_r$  сатҳга) чиқариш жараёни кузатилади, яъни ковакнинг фотоионланиш жараёни содир бўлади. Бу жараёнда сатҳдаги электрон концентрацияси ортади ва у

$$g_p^o = -e_p^o (N_r - n_r) = \chi_p (N_r - n_r) I_{0r} \quad (5.12)$$

ифода билан аниқланади.  $\chi_p$  — ковақда фотоннинг тутилиш кесими. Демак, монокроматик ёруғлик билан ёритилган  $p-n$  ўтишга тескари кучланиш қўйилганда сатҳдаги электрон концентрациясининг вақт бўйича ўзгариши ўнг томонида (5.11) ва (5.12) ҳадларни ҳисобга олган (5.9) тенглама орқали ифодаланади. Тескари кучланиш қўйилган  $p-n$  ўтиш ёритилмаган ( $I_v = 0$ ) да ва стационар ҳолат  $\frac{\partial n_r}{\partial t} = 0$  да сатҳдаги электрон концентрацияси  $n_{rc}$  ҳам (5.10)

ифода билан аниқланади.  $P-n$  ўтиш X3C нинг  $x < w_n$  қисмida ўтказувчан зонадаги электроннинг стационар концентрацияси  $n_e < n_1$  бўлади.  $x > w_p$  қисмida эса ковакнинг валент зонадаги стационар концентрацияси  $P_e < P_1$  бўлади, шунинг учун X3C нинг  $w_p < x < w_n$  қисмida (5.10) ни тахминан

$$n_{rc} = N_r \frac{\gamma_p P_1}{\gamma_n n_1 + \gamma_p p_1} = N_r \frac{e_p}{e_n + e_p} \quad (5.13)$$

кўринишда ифодалаш мумкин. Тескари кучланишнинг катта қиймати  $V \gg V_k$  да (5.13) ифода ҳамма қисмida ўринли бўлади. (5.10) да  $\gamma_n n_e$  ва  $\gamma_p p_e$  ҳадларни ташлаб юборишлик электронни ўтказувчан зонадан, ковакни валент зонадан  $E_r$  сатҳга тутилишини инобатга олмасликни англалади. (5.13) ифодани

$$e_n n_{rc} = e_p (N_r - n_r)$$

күринишида ифодалаймиз. Бундан күринадики, стационар ҳолатда электроннинг  $E_r$  сатҳдан ўтказувчан зонага термик чиқариш тезлиги ( $e_n \cdot n_{rc}$ ) электронни валент зонадан термик чиқариш тезлиги  $e_p(N_r - n_r)$  га тенг бўлади. Чукур  $E_r$  сатҳ учун  $e_n > e_p$  тенгсизлик ўринли бўлсин. Бу тенгсизлик, юқорида курганимиздек, одатда тақиқланган зона ярмининг юқори қисмида жойлашган сатҳлар учун бажарилади (қачонки  $\gamma_n$  ва  $\gamma_p$  лар жуда катта фарқ қилмасалар). Бу сатҳлар учун (5.13) дан  $n_{rc} \ll N_r$  бўлишлигини кўрамиз. Яъни  $x < w_p$  соҳада ЧС деярли бўш бўлади.  $P-n$  ўтишнинг  $x > w_p$  соҳасида сатҳ электронлар билан батамом тўлатилган.  $e_p \gg e_n$  тенгсизлик одатда тақиқланган зона кенглиги ярмининг кўйи қисмида жойлашган сатҳлар учун бажарилади. Бу ҳолда  $p-n$  ўтишнинг  $x > w_p$  соҳасида (5.13) дан  $n_{rc} = N_r$  бўлишини, яъни бу соҳада чукур сатҳ электрон билан деярли (батамом) тўлатилган,  $x < w_p$  соҳадаги сатҳ эса бўш бўлишини кўрамиз. Энди ностационар жараёнда ҲЗС даги чукур сатҳдаги электрон концентрациясининг вақт бўйича ўзгаришини курдилек. Маълумки,  $p-n$  ўтишнинг ҲЗСда кучли электр майдони мавжудлиги туфайли бу соҳада электроннинг ўтказувчан зонадаги, ковакнинг валент зонадаги стационар концентрациялари ЧС даги электроннинг стационар концентрациясига нисбатан тез қарор топади. Бу ўтказувчан зонадаги электронни ҳамда валент зонадаги кавакни ҲЗС даги кучли электр майдон томонидан ташқари соҳага тез чиқариб юбориш билан тушунтирилади. Шунинг учун ҲЗС да электрон концентрациясини  $n = n_c$ , ковакникини  $p = p_c$  деб қабул қиласа ҲЗС да  $E_r$  сатҳдаги электрон концентрациясининг вақт бўйича ўзгариши (5.9) дан

$$\frac{d\Delta n_r}{dt} = -[\gamma_n(n_c + n_l) + \gamma_p(p_c + p_l)]\Delta n_r \quad (5.14)$$

узлуксизлик тенглама билан аниқланишини кўрамиз. Бу ерда,  $\Delta n_r(t) = n_r(t) - n_{rc}$  тенгламанинг ечими

$$\Delta n_r(t) = \Delta n_{rc} \exp\left(-\frac{t}{\tau}\right) \quad (5.15)$$

күринишида бўлади. Бундан күринадики, сатҳни электрон билан тўлдириш вақт доимийси

$$\tau = [\gamma_n(n_c + n_i) + \gamma_p(p_c + p_i)]^{-1} \quad (5.16)$$

бўлган экспотенциал қонуни бўйича бўлади.  $\tau$  сатҳнинг бошланғич ҳолатда қандай тўлдирилганлигига, чуқур марказ концентрациясига боғлиқ бўлмай, у  $n_c$  ва  $p_c$  лар  $x$  га боғлиқ бўлгани учун координатага боғлиқ. ҲЗС нинг четларида  $\tau$  ўрта қисмига қараганда кичик. Вақт доимийси  $\tau$  ни сатҳнинг тўлдириш релаксацияси вақти ҳам деб юритилади. ҲЗС нинг  $w_n > x > w_p$  қисмida (5.16) ифода

$$\tau = (\gamma_n n_i + \gamma_p p_i)^{-1} = (e_n + e_p)^{-1} \quad (5.17)$$

кўринишни олади. Катта тескари кучланиш  $v > v_{kp}$  да (5.17) ифода ҲЗС нинг ҳамма қисмida үринли бўлади. Агар чуқур марказ тортувчи марказ бўлса, кучли электр майдони унинг атрофидаги потенциал тусиқ (барьер)ни камайтиради ва у электронни термик чиқишини осонлаштиради, яъни Пул-Френкел эфекти юзага келади. Бу ҳодисани мувозанатдаги система статистикаси асосида олинган. (5.17) ифодада ҳисобга олинмаган.  $v = 0$  да ЧС ли диодга тескари ЧС стационар тўлатилган бўлсин ва  $e_n \gg e_p$  бўлган кучланиш уласак, ҲЗС нинг  $\Delta x$  қатламидаги сатҳдан электрон ўтказувчан зонага  $\tau = e_n^{-1}$  вақт доимийси билан чиқа бошлайди, сўнг улар электр майдон таъсирида ЭНС га кетказиб юборилади. Оқибатда  $p-n$  ўтишнинг  $n$  — соҳасига жойлашган ҲЗС нинг  $\Delta x$  қатламида ЧС ни ионланиши туфайли ҳажмий заряд зичлиги чуқур марказ донон ёки акцептор бўладими, бундан қатъи назар ортади. Вақт доимийси  $\tau = (e_n)^{-1} = (\gamma_n n_i)^{-1}$  га (5.5) ифодани қўйсак ва (5.1) ни назарда тутсак уни

$$\tau = (S_n V_t N_c)^{-1} \exp \left[ \frac{E_c - E_r}{\kappa T} \right] = (Sb_n T^2)^{-1} \exp \left[ \frac{E_c - E_r}{\kappa T} \right] \quad (5.18)$$

билан ифодаланишини кўрамиз. Бу ерда,  $b_n$  — яримўлказгич параметри, германий учун  $b_n = 3.6 \cdot 10^{21} \text{ см}^{-2} \text{ с}^{-1} \text{ к}^{-2}$

кремний учун  $b_n = 6,6 \cdot 10^{-21} \text{ см}^{-2} \text{ с}^{-1} \text{ К}^{-2}$  ни қабул қиласи (5.18) формуладан күринадик, сатҳни электрон билан тұлдириш релаксация вакти температура ошиши билан кескин камая бошлайды. (5.18) ни логарифмлаб

$$\ln(\tau T^2) = \ln(S_n b_n) + \frac{E_c - E_r}{kT} \quad (5.19)$$

күринишга келтирамиз. Марказнинг ионланиш энергияси ( $E_c - E_r$ ) ни ва электроннинг марказға тутилиш кесими  $S_n$  ни температурага боялғылыгини ҳисобга олмасак  $\ln(T\tau)$  нинг  $\frac{1}{kT}$  боғланиши түғри чизикни беради. Унинг оғиш бурчаги тангенси чукур марказнинг ионланиш энергиясина, ордината ўқининг кесишидан ҳосил бўлган  $-\ln(b_n S_n)$  га тенг кесма узунлигидан электронни тутилиш кесими  $S_n$  топилади. Энди ЧС ни тұлдирилганлиги стационар ҳолатга эришгандан сўнг тескари кучланишни нолгача камайтирганда  $n_i$  ўзгаришини кўрайлик. Кучланишни ўчирган ( $v \rightarrow 0$ ) дан сўнг  $\Delta X_1$  қатлам соҳасидаги ЧС  $\tau_{Tn}$  вакт доимийси билан тўла бошлайди.  $\tau_{Tn}$  нинг қиймати

$$\tau_{Tn} = [\gamma_n (n_c + n_i)]^{-1} = (e_n + \gamma_n n_i)^{-1} \quad (5.20)$$

формула билан топилади.

Вакт доимийси  $\tau > 10^{-2} \div 10^{-3}$  с бўлганда  $n_i \ll n_c$ ,  $\tau_{Tn} \ll \tau$  тенгсизлик бажарилади. Бошқача айтганда,  $E_r$  сатҳни электрон билан тұлдириш, сатҳдан электронни термик чиқаришга нисбатан тез содир бўлади. Лекин юқори Ом ли намуналардан ясалган диодларда улар бир тартибда бўлиши мумкин.

$P-n$  ўтишга тескари кучланиш берилгандан ( $0 \rightarrow V$ ) сўнг  $p$  — соҳадаги жойлашган ҳажмий заряд соҳасининг  $\Delta X_2$  қисмидаги  $e_p \gg e_n$  бўлган сатҳни  $\tau = e_p^{-1}$  вакт доимийси билан электрон тұлдира бошлайди. Бу  $\Delta X_2$  қатламда сатҳни донор ёки акцептор бўлишидан қатъи назар ҳажмий заряд зичлиги ортади.

Вакт доимийси  $\tau = e_p^{-1} = (\gamma_p p_1)^{-1}$  нинг қиймати (5.8) ни назарда тутсак,

$$\tau = (S_p V_r N_v)^{-1} \exp\left[\frac{E_r - E_v}{kT}\right] = (S_p b_p T^2)^{-1} \exp\left(\frac{E_r - E_v}{kT}\right) \quad (5.21)$$

билин аниқланади. Бу ерда  $b$  — яримұтқазгыч параметри, германий учун  $b = 1,2 \cdot 10^{21} \text{ см}^{-2} \text{ с}^{-1} \text{ к}^{-2}$ , кремний учун  $b = 2 \cdot 10^{21} \text{ см}^{-2} \text{ с}^{-1} \text{ к}^{-2}$ . Юқорида қүрилгандек, (5.21) ни логарифмлаб, ундан ЧС ионланиш энергияси ( $E_r - E_v$ ) ни ҳамда ковакни ЧС да тутилиш кесими  $S_p$  ни топиш мүмкін. Тескари күчланишни үчирғандан сүнг  $\Delta X_2$  қатламдаги сатқдан электрон

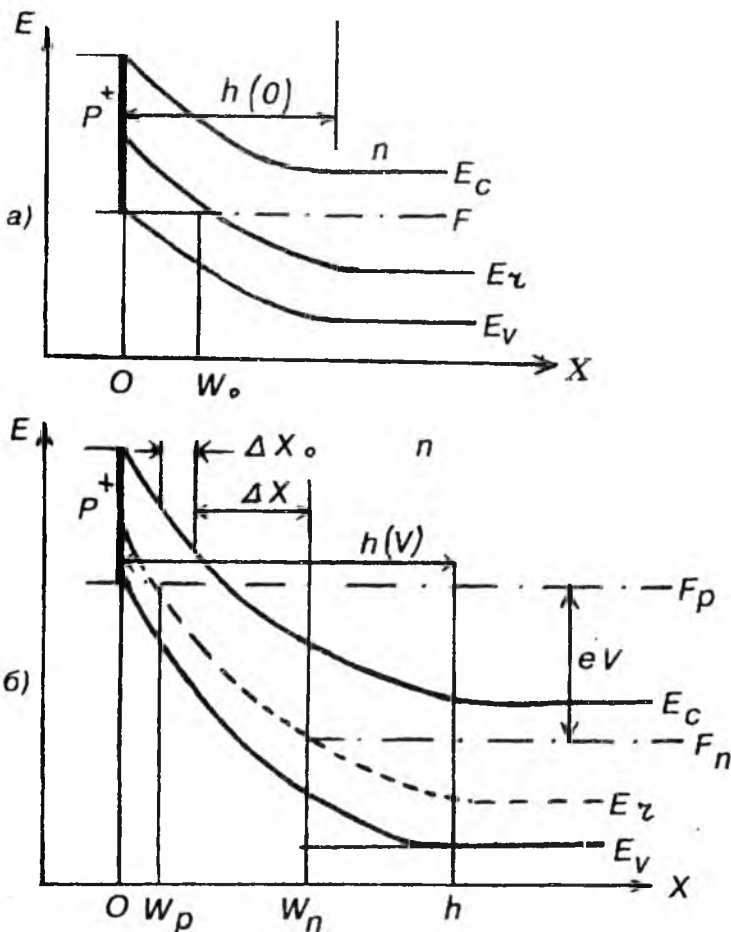
$$\tau_{tp} = [(p_1 + p_c)\gamma_p]^{-1} = (e_p + \gamma_p p_c)^{-1}$$

вақт доимийси билан кета бошлайды (бошқача айтганда, сатқ ковак билан тұла бошлайды). Бу ҳолда ҳам  $\tau_{tp} \ll \tau$  бўлади. Юқорида изохланган усул билан  $E$ , сатқнинг ионланиш энергиясини, сатқда электрон, ковакнинг тутилиш кесимларини аниқлашдаги асосий хатолик уларнинг температурага боғлиқлигини (5.9) да ҳисобга олмаслик туфайли содир бўлган.

Ҳисобларнинг кўрсатишича, сатқнинг ионланиш энергияси  $\pm KT$  тартибдаги хатолик билан  $S_n$  ва  $S_p$  ларни эса катталиклар тартибидаги хатолик билан ўлчанар экан. Сатқ энергиясини аниқлашда шуни назарда тутиш керакки, ҳар қандай нуқсон ёки киришма атоми тақиқланган зонада иккита (ёки ундан ортиқ) сатқ ҳосил қилиши мүмкін. Бу сатқлардан қайси бирини намоён бўлиши ферми сатхининг вазиятига боғлиқ. Бунга мисол сифатида тилла киришма атоми билан  $Si$  ни легирланганда юзасига келадиган сатқни кўрсатиш мүмкін. У ўтказувчан зона тубидан 0,56 эВ пастда акцептор, валент зона шипидан 0,45 ЭВ юқорида донор сатқини ҳосил қиласи.

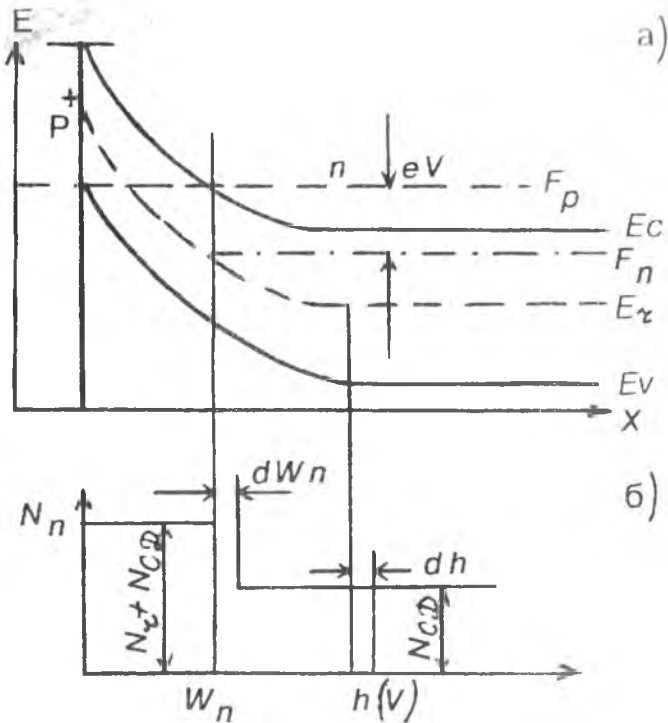
### 5.3 §. Чуқур марказли диодларнинг барьер сифими

Чуқур марказ (ЧМ)ли диодларнинг сифими хоссалари ни  $p-n$  — ўтиш мисолида қўрайлик.  $P^+$ - $n$  диод базаси (асосида) концентрацияси  $N_{eD}$  бўлган саёз сатқли донордан ташқари, энергиявий сатқи  $E_r$ , концентрацияси  $N_{rD}$  бўлган



5.3-расм. Кескин  $p$ - $n$  ўтишда энергетик зоналарнинг жойланиши ва чуқур сатхларни күчланиш күйилмаган  $U=0$  да (а), тескари күчланиш күйилган  $U>0$  да электрон билан тўлиши (б).

чуқур донор марказ бўлсин (5.3-расм). Бу чуқур сатҳда  $e \gg e_r$  тенгсизлик бажарилсин ва кейинчалик  $N_{CD}$  ва  $N_{rD}$  ларни махсус қайд қилинмаса координатага боғлиқ эмас деб қабул қиласиз.  $\chi_3C$ дан ташқаридаги электр нейтраллик (ЭНС) соҳасида  $F_n - E_r > 4 \text{ кГ}$  ва ионлашган чуқур донор концентрацияси



5.4-расм.  $p^+$ - $n$  ўтишга тескари кучланиш қўйилган ҳолатда энергетик зоналарнинг жойланиши (а) ва ионлашган киришма атомларининг тақсимоти (б)

$$N_{rDU} = N_{rD} \exp\left[-\frac{F_n - E_r}{kT}\right] \ll N_{CD}$$

бўлсин. У вақтда  $p^+$ - $n$  ўтишга қўйилган тескари кучланишда ҲЗС нинг  $0 < x < w_n$  қисмида ЧС ферми сатҳидан юқорида бўлиб, тўла ионлашган ҳолатда бўлади. Бу соҳада ионлашган марказлар концентрацияси  $N_{CD}$  ва  $N_{rD}$  лар йиғиндисига  $N_u = N_{CD} + N_{rD}$  ҲЗС нинг  $w_n < x$  қисмида эса  $N_u = N_{CD}$  га тенг бўлади.  $t=0$  да диодда тескари кучланиш  $dV$  га сакраб (кескин) ошсин. У вақтда ҲЗС нинг кенглигини  $dh$  га,  $W_n$  — қатlam қалинлигини  $dW_n$  га ошишига олиб келади. (5.4-расм)  $dh$  қатlamдан электронни кетиш

ламда ҳамма саёз донорлар кучланиш оңтүнчя ионланишиб булган. Чуқур донорларнинг  $dW_n$  қатламида ионланиши оса кучланиш ошгандан сўнг содир бўлади. Шунинг учун бу қатламда электронни кетиш вақти сатҳнинг тўлдириш релаксация вақти билан аниқланади.  $dW_n$  қатламда чуқур донорларнинг иёнланиши туфайли ҳажмий заряди ортади ва баръер сифимининг ўзгаришига олиб келади. Одатда баръер сифимини ўлчашда  $p^+ - n$  ўтишга доимий тескари кучланишдан ташқари синусоидал кичик кучланиш қўйилган бўлади.  $p^+ - n$  ўтиш ва шоттки диодлар баръер сифимининг ифодаларини ҳисоблаш устида тўхталмасдан чуқур марказ параметрларини аниқлашга керак бўладиган баръер сифимининг формулаларининг баъзи бир хоссаларини таҳлил қиласлил. Синусоидал кичик кучланишнинг паст частоталари  $\omega t \ll 1$  да сатҳни тўлдириш релаксацияси вақтини ҳисобга олмаслик мумкин ва баръер сифимини стационар заряддан кучланиш бўйича олинган ҳосила орқали ҳисобланиши мумкин. Назарий ҳисоблашларнинг кўрсатишича, паст частотада баръер сифими

$$C_{Hr} = \frac{d\theta_c}{dU} = S \sqrt{\frac{\epsilon_a e (N_{CD} + N_{rD})}{2(U + U_k - \Delta U_k)}} \quad (5.23)$$

формула билан аниқланади. Бу ерда  $\epsilon_a = \epsilon_0$  яримутказгичнинг абсолют диэлектрик сингдирувчанлиги,  $U_k$  — контракт потенциаллар айирмаси

$$\Delta U_k = \frac{N_{rD} (F_n - E_r) h}{e (N_{CD} + N_{rD})} \quad (5.24)$$

$(F_n - E_r)_h$  — катталик  $F_n - E_r$  нинг  $x=h$  даги қиймати (5.21) дан кўринадики, паст частотали сифимининг кучланиш билан боғланиши худди базасида фақат саёз донор сатҳлар мавжуд бўлган ҳолдаги  $C^{-2}(U)$  каби, лекин бу ерда  $C^{-2}(U)$  тўғри чизиқнинг оғиш бурчаги тангенси киришмалар концентрациялари йиғиндиси  $N_{CD} + N_{rD}$  га тескари пропорционал. Бундан ташқари, сифим формуласидаги  $U_k$  ни ўрнига  $(U_k - \Delta U_k)$  кирган. Юқори частота  $\omega t \gg 1$  да чуқур донорларнинг  $X = W_n$  текислиги яқинида зарядининг

ўзгаришини ҳисобга олмаслик мумкин, чунки улар кучланиш ўзгариши билан қайта зарядланиб улгурмайдилар.  $X=h$  текислиги яқинида фақат саёз сатҳли донорларнинг заряди ўзгаради. Юқори частотали сифим қиймати

$$C_{Br} = \frac{\epsilon_a S}{h(V)} \quad (5.25)$$

формула билан ҳисобланади. Бу ерда  $S$   $p$ -н ўтиш юзаси,  $h$  — ҳажмий заряд соҳасининг кенглиги. Назарий ҳисоблашларнинг кўрсатишича,

$$h(V) = \frac{N_{CD}(h - w_n)}{N_{CD} + N_{rD}} + \sqrt{\frac{2\epsilon_a(U + U_k - \Delta U_k)}{e(N_{CD} + N_{rD})}} \quad (5.26)$$

формула билан аниқланади.  
 $(h - w_n)$  — қатлам қалинлиги

$$h - W_n = \left( \frac{2\epsilon_a(F_n - E_r)_h}{e^2 \cdot N_{CD}} \right)^{\frac{1}{2}}$$

ифода билан ҳисобланади. (5.27) дан кўринадики,  $(h - w_n)$  қатлам қалинлиги кучланишга боғлиқ эмас. (5.25) формула саёз киришма мавжуд бўлган  $p$ -н ўтишнинг баръер сифимига ўхшаш. Чуқур донорларнинг заряди ўзгарувчан кучланиш ўзгариши орқасидан кетма-кет улгуролмаса ҳам XZСнинг кенглиги ва юқори частотали сифим  $C_{Br}$  га таъсир кўрсатади.  $C_{Hr}$  ва  $C_{Br}$  формулаларнинг бир-бирига солиштиришдан кўринадики, юқори частотали сифим  $C_{Br}$ , паст частотали сифим  $C_{Hr}$  га нисбатан кичик  $C_{Br} < C_{Hr}$  бўлиб, у кучланишга  $C_{Hr}$  га нисбатан кучсизроқ боғланган, бунинг устига  $C^{-2}(U)$  тўғри чизиқли боғланишда эмас. Тескари кучланишнинг ортиши билан  $C_{Br}/C_{Hr}$  нисбат ўса бориб бирга интилади. Яъни  $C_{Br}^{-2}(U)$  га яқинлашади. Шу пайтгача чуқур сатҳни стационар тўлдиришдаги баръер сифимини кўрдик, энди кучланиш сакраб ўзгаргандаги баръер сифимини таҳлил қиласайлик. Агар кучланиш сакраб ошганда, ўлчаш асбобларининг вақт доимийси  $\tau_{y_{lpc}}$  сатҳни тўлдириш релаксация вақти  $\tau$  дан катта ( $\tau_{y_{lpc}} > \tau$ )

бұлса, чуқур марказларни стационар түлдиришдеги сифимнинг (паст ёки юқори частотадаги) қиймати үлчана ди.  $\tau_{\text{тлн}} \ll \tau$  тенгсизлик бажарылған ҳолда, чуқур сатхни түлдирилғанлигининг вақт бүйича үзгаришига мос үзгәрүвчан юқори частотали сифимнинг қандайдыр үткінчи қиймаги  $C(t)$  үлчанади. Паст частотали сифим қиймати маъносига кўра ҳамма вақт чуқур марказни стационар түлдиришда үлчанади. Ҳақиқатда агар ЧС нинг түлдирилғанлиги үзгәрүвчан кучланиш үзгариши орқасидан улгурса, у вақтда шак-шубҳасиз у үзгармас кучланиш үзгариши орқасидан ҳам улгуради.  $U = 0$  да чуқур сатх стационар түлатилган бўлсин. Тескари кучланиш улангандан  $(0 \rightarrow -U)$  сўнг бошланғич вақт  $t = 0$  да сатхни түлдирилиши, қайта улангунча бўлган ҳолатдаги қийматига тенг бўлади. Яъни  $t = 0$  да  $\chi_{\text{ЗС}}$  нинг  $0 < x < w_0$  қисмида  $N_u = N_{CD} + N_{rD}$  ва  $W_0 < x < h_\delta$  қатламида  $N_u = N_{CD}$   $\chi_{\text{ЗС}}$  нинг бошланғич кенглиги ва юқори частотали сифимнинг бошланғич қийматлари қуйидаги формулалар билан аниқланади:

$$h_\delta = \sqrt{\frac{2\varepsilon_a(U + U_k - \Delta U_k)}{eN_{CD}}} \quad (5.28)$$

$$C_{\delta Br} = \frac{S\varepsilon_a}{h_\delta} = S \left[ \frac{\varepsilon_a e \cdot N_{CD}}{(U + U_k - \Delta U_k)_\delta} \right]^{\frac{1}{2}} \quad (5.29)$$

Бу ерда

$$\Delta U_{k\delta} = eN_{rD}W_0^2/2\varepsilon_a \quad (5.30)$$

(5.29) формулани таҳлилидан  $C_{\delta Br}$  нинг  $U$  билан боғланиши диод базасида фақат саёз донор бўлгандаги каби эканлигини кўрамиз.  $C_{\delta Br}^{-2}(U)$  тўғри чизиқ оғиш бурчагининг тангенси  $N_{CD}^{-1}$  га пропорционал. Бундай боғланиш бошланғич пайтда кучланишнинг үзгариши билан чуқур киришма заряди үзгармаганлиги билан тушунтирилади. Стационар ҳолатда чуқур донор  $\chi_{\text{ЗС}}$  нинг  $x > w_0$  қисмида тўлатилган бўлади. Шунинг учун тескари кучланиш уланиши  $(0 \rightarrow U)$  билан  $\Delta X$  қатламдаги сатҳдан электрон кета бошлиайди ва натижада бу қатламда ҳажмий заряд зичлиги-

нинг ошишига олиб келади. Демак, ҲЗС нинг қалинлигини ва сифимини вақт бўйича камайишига олиб келади ( $\Delta x$  қатлам қалинлиги ҳам камаяди). (5.25) ва (5.26) формуалар билан аниқланган юқори частотали сифимнинг стационар қиймати  $C_{CBr}$  ни  $C_{\delta Br}$  қиймати билан солиширишдан  $C_{CBr} > C_{\delta Br}$  бўлишилигини кўрамиз.

Чуқур сатҳли киришмаларнинг стационар сифимга ва ЭНС даги ўтказувчанлигига таъсирини кўрайлик. Катта тескари кучланишда, стационар юқори частотали сифим тахминан паст частотали сифимга тенг  $C_{CBr} = C_{Hr}$ . ҲЗС нинг ҳамма қисмида чуқур донорлар деярли ионлашган бўлади, шунинг учун бу ҳолда сифим саёз донорлар бўлган ҳолдагидан катта бўлади. Лекин электронейтраллик соҳаси  $X > h$  да чуқур донорлар батамом электрон билан тўлатилган ва ЭНС нинг ўтказувчанлигига таъсир кўрсатмайди. Чуқур донорлар учун  $e_p \gg e_n$  тенгсизлик бажарилган ҳолда чуқур донорлар ҲЗС нинг ҳамма қисмида электрон билан батамом тўлатилган ( $N_u + N_{CD}$ ), шунинг учун чуқур донорлар сифимга деярли таъсир кўрсатмайди,  $C^{-2}(U)$  тўғри чизиқ оғиш бурчагининг тангенси  $N_{CD}^{-1}$  га пропорционал бўлади. Чуқур донорларнинг бўлишилиги ЭНС нинг ўтказувчанлигига ҳам таъсир кўрсатмайди, чунки ЭНС да улар батамом электрон билан тўлатилган бўлади.

Диод базасида саёз донордан ташқари, концентрацияси  $N_{nA}$  бўлган чуқур акцептор марказ бўлган ҳолни кўрайлик.

1) Чуқур акцепторлар учун  $e_n \gg e_p$  тенгсизлик ўринли бўлсин. ҲЗС нинг деярли ҳамма қисмида чуқур акцептор сатҳ электрон билан тўлатилмаган, яъни ионлашмаган ( $N_u = N_{CD}$ ), шунинг учун чуқур сатҳнинг мавжудлиги сифим қийматига деярли таъсир кўрсатмайди.  $C^{-2}(U)$  тўғри чизиқ оғиш бурчагининг тангенси  $N_{CD}^{-1}$  га пропорционал бўлади. Лекин ЭНС да чуқур акцептор бор бўлиши ЭНС нинг ўтказувчанлигини камайтиради (компенсациялайди).

2) Чуқур акцептор сатҳ учун  $e_p \gg e_n$  бўлган ҳолда эса ҲЗС нинг ҳамма қисмида чуқур акцептор сатҳ электрон билан тўлатилган, яъни ионлашган ( $N_u = N_{CD} - N_{nA}$ ) бўлади. Шунинг учун бундай сатҳни диод базасида мавжуд бўлиши сифим ҳамда ЭНС ўтказувчанлигининг камайишига олиб келади.

## 5.4 §. Яримұтқазгичлар чуқур марказларн параметрларини аниқлашыннинг сифим спектроскопия усуллари

Чуқур сатхли марказ (ЧСМ)лар параметрларини үлчашнинг сифим спектроскопия усули асосида  $p$ - $n$  үтиш (ёки шоттки барьери)нинг ұжмий заряд соңаси (ХЗС)даги чуқур сатх (ЧС) ларни электрон билан тұлдирилғанлик дарражасига, барьер сифиміга, құйилған тескари кучланиш, үлчаш кучланиш частотаси, ёруғлик, ҳароратларнинг таъсиридан юзага келган қонуниятларни қайд қилиш (үлчаш) ётади. Ҳозирги пайтда бир-биридан ЧСни электрон билан тұлдириш, камбағаллаштириш шароитлари билан фарқ қиласынан сифим спектроскопия усулининг бир қанча турлари мавжуд. Уларга сифимнинг изотермик релаксация усулини, иссиқлик билан рағбатлантирилған сифим релаксация усулини, фотосифим, частотавий усулни күрсатиш мүмкін. Бу усуллардан бирини құллаб юқорида күрілған ташқы омиллар таъсиридан содир бүлған сифим ўзгаришининг умумий қонуниятлари асосида чуқур марказга тутилиш кесимларини, термик, фотоионланиш коэффициентларини үлчаш мүмкін. Бу усулларнинг асосий камчилиги үлчаш учун маҳсус структуралар, масалан,  $p$ - $n$  үтишли диод: Шоттки барьери ёки металл-диэлектрик яримұтқазгичли структуралардан бирини тайёрлашни күрсатиш мүмкін.

Яримұтқазгичларда чуқур сатх параметрларини аниқлашыннинг сифим спектроскопия усуллари, физик параметрларни сифим орқали аниқлаш усулининг бир күриниши бүлгани учун уларга харakterli бүлған ҳамма хатолик манбалари юқоридаги усулларга ҳам тааллуқлады. Үлчашдаги хатоликни баҳолаш шуни құрсатады, ЧС нинг тақиқланған зонадаги энергиявий ҳолатини, концентрациясини аниқлашдаги хатолик 10% дан ошмайды, киришма ионланиш кесимининг ўз кattалиги тартибидағи хатолик билан үлчаш мүмкін.

### a. Сифимнинг изотермик релаксацияси усули

Бу усул билан ЧСМ параметрларини үлчашыннинг физик асосини кескин  $p^+$ - $n$  үтиш ёки металл- $n$  тип яримұтқазгич структурали (шоттки барьери) мисолида құрайлық. Бу таҳдил тескари типдаги диод базаси учун ҳам үхшаш

бұлади. Аниқлик киритиш учун кескин  $P^+$ -н үтишли диод  $n$ -типдаги яримұтқазгич намуна асосида олинган. Яримұтқазгичда концентрацияси  $N_{CD}$  бұлған саёз сатхли донор билан бир қаторда, энергиявий сатхи  $E_r$ , концентрацияси  $N_{rD}$  бұлған чуқур сатхли донор бўлиб, у тақиқланган зона ярмининг юқори қисмидә жойлашган ва  $e_n > e_p$  тенгсизлик, диоднинг электр нейтраллик соҳаси (ЭНС)да  $E_F - E_r > 4 \text{ кТ}$  тенгсизлик бажарилади. Диодга V тескари кучланиш улангандан сұнг стационар ҳолатда заряд ташувчилар билан камбағаллашган (соҳа) қатлам (ХЗС нинг кенглиги) чегараси  $h_c$  нүқтага мос келиб, у кескинлашади. Ферми сатхи чуқур сатхни  $W_c$  нүқтада кесади. Стационар ҳолатда чуқур донорлар  $0 < X < W_c$  соҳада ферми сатхидан юқорида бўлгани учун улар тұла ионлашган ҳолатда бўлади. Бу соҳадаги ионлашган марказ концентрацияси

$$N_U = N_{CD} + N_{rD} \quad (5.31)$$

бўлади.  $W_c < x < h_c$  соҳада чуқур сатх тұлатилган, шунинг учун бу соҳада ионлашган марказ концентрацияси ионлашган саёз донор концентрацияси билан аниқланади:

$$N_U = N_{CD} \quad (5.32)$$

ва  $X = W_c$  текисликда киришмалар концентрацияси кескин (сакраб) үзгариади. Энди структурага тескари кучланиш уланган ( $0 \rightarrow -V$ ) да юзага келган ностационар жараёнда чуқур сатх тұлдирилғанligини, барьер сифимининг вақт бўйича үзгаришини, яъни улар кинетикасини кўрайлик. Структурага тескари кучланиш қўйилғандан сұнг  $t = 0$  да ҳажмий заряд соҳаси кенгайиб,  $h(0)$  га етади. Чуқур сатхни электрон билан қашшоқланиш тезлиги унча катта бўлмагани сабабли, бошланғич вақт  $t = 0$  да тескари кучланиш улангандан сұнг ҳажмий заряд фақат саёз донор киришма иони  $N_{CD}$  билан юзага келган бўлади. Вақт үтиши билан чуқур сатхни  $e_n = \tau_n^{-1}$  тезлик билан қашшоқланиши ҳажмий зарядни үзгаришига олиб келади.

Чуқур сатхнинг ионлашиб боришидан үтказувчан зонасига чиқарылған электронни электр майдони ХЗС дан ташқарига тез чиқарыб ташлайди. Бу эса электроннинг чуқур сатхга қайта тутилиш тезлигини камайтиради. На-

тижада вақт үтиши билан ҳажмий заряднинг стационар тақсимоти ўрнатилади. Тескари кучланиш уланганда ҳажмий заряд соҳаси  $W(t)$  нинг кенгайиши ҳам содир бўлади, у ҳам вақт үтиши билан ўзининг стационар  $W_c$  қийматига интилади. Ностационар жараёнда ҲЗС ни уч қисмга бўлиб қуриш мумкин.

1.  $t = 0$  да структурага 0 дан  $V$  гача бўлган тескари кучланиш улаймиз у кейинчалик ўзгармайди. ҲЗС нинг бошланғич қалинлиги  $h_0$  базанинг қалинлиги  $l$  дан кичик бўлсин деб қабул қиласиз. Бу шарт

$$N_{\omega} > \frac{2\varepsilon_a(V + V_k)}{eZ^2} \quad (5.33)$$

тенгсизлик ўринли бўлса бажарилади. Бу ерда  $N_{\omega}$  – ҲЗС даги ионланиш марказнинг бошланғич концентрацияси, юқорида кўрганимиздек,  $t>0$  да ҲЗС нинг  $0 < X < W_c$  қисмидаги ионлашган марказ концентрацияси

$$N_{\omega} = N_{CD} + N_{rD} \quad (5.34a)$$

бўлади, чунки бу соҳада чуқур донор сатҳи ферми сатҳидан юқорида бўлгани учун у тўла ионлашган ҳолатда бўлади.

2.  $W < X < Wh(t)$  соҳада ҳажмий заряд вақт үтиши билан чуқур донорнинг ионланиши туфайли ортиб боради. ҲЗС даги тўла ионлашган марказ концентрациясининг вақт бўйича ўзариши

$$N_a = (N_{CD} + N_{rD}) \left[ 1 - a \exp\left(-\frac{t}{\tau}\right) \right] \quad (5.34b)$$

орқали ифодаланади. Бу ерда  $a = N_{rD}/(N_{rD} + N_{CD})$ .

3.  $Wh(t) < x < h(t)$  соҳасида, чуқур донор сатҳи ферми сатҳидан пастда жойлашган бўлиб, у электрон билан тўлатилган. Шунинг учун ҳажмий заряд зичлиги ионлашган саёз донор концентрацияси  $N_{CD}$  билан аниқланади.

$$N_u = N_{CD} \quad (5.35)$$

Булардан кўринадики, структура барьер сифимининг вақт бўйича ўзгариши ҲЗС нинг  $W_c < X < W_n(t)$  қисмидаги чукур сатҳли донорларнинг ионланиши туфайли содир бўлади. Бу уч соҳани ўз ичига олган ҲЗС нинг чегарасида Пуассон тенгламасини интеграллаб, аниқланган кескин  $p^+ - n$  ўтиш потенциаллар айирмаси

$$U + U_k = \frac{e}{\varepsilon_a} \int_0^{h(t)} x N_u(x, t) dx \quad (5.36)$$

ҲЗС нинг кенглиги  $h(t)$  ни топишга имкон беради ва уни билган ҳолда (5.25) дан вақт бўйича ўзгарувчан барьер сифимининг формуласи топилади. Ҳисоблашларнинг кўрсатишича,  $\left(\frac{C(t)}{S}\right)^2$  нинг умумий ифодаси орқали тажриба натижаларидан ЧС параметрларини аниқлаш анча мураккаб. Шунинг учун барьер сифимининг ифодасини соддалаштирувчи баъзи бир хусусий ҳолларни таҳдил қиласлий.

а)  $P^+ - n$  ўтиш ёки шоттки барьерига қўйилган тескари кучланиш катта  $U > U_k$  ва чукур, саёз донорлар концентрация  $N_{CD}$ ,  $N_{rD}$  лари катталиги бир тартибда бўлсин, у вақтда  $w_c \ll h$ ;  $h - w_n \ll h$  ва  $w_n = h$  бўлади, яъни (5.34 б) муносабат ҲЗС нинг ҳамма қисмида ўринли бўлади. Бу ҳолда (5.36) ни интеграллаб ва (5.25) ни қўллаб, структура барьер сифими

$$\left(\frac{C(t)}{S}\right)^2 = \frac{\varepsilon_a (N_{CD} + N_{rD})}{2(V + V_k)} [1 - ae^{-\frac{t}{\tau}}] \quad (5.37)$$

билин аниқланишини кўрамиз (5.37) га  $t \rightarrow \infty$  қўйиб, сифимининг стационар қиймати  $C_c$  ҳисобланади. Уни ва (5.37) ни қўллаб сифимнинг

$$\frac{C_c^2 - C^2(t)}{C_c^2} = a \exp\left(-\frac{t}{\tau}\right) \quad (5.38)$$

кўринишдаги формула билан аниқланишини кўрамиз. Бу ифодани қўллаб тажрибада аниқланган  $C_c^2 - C^2(t)$  нинг вақтга боғланишидан  $\tau$  — қийматини аниқлаш мумкин-

лигини кўрамиз (5.38) га  $t=0$  ни қўйиб концентрациялар нисбатининг

$$\frac{N_{rD}}{N_{CD}} = \left( \frac{C_c}{C_\delta} \right)^2 - 1 \quad (5.39)$$

билин аниқлананишини кўрамиз. Бу ерда  $C_\delta$  — юқори частотали сифимнинг бошланғич  $V=0$  даги қиймати  $C_\delta$ ,  $C_c$  ларни тажрибадан аниқланган қийматларини билган ҳолда (5.39) дан концентрация  $N_{rD}$  ни ўлчаш мумкин.  $N_{CD}$  ни эса  $C^2 (V)$  боғланишдан топилади:

б) чуқур сатҳли донор концентрацияси кичик  $N_{rD} \ll N_{CD}$  ҳамда тескари кучланиш катта бўлсин  $V \gg V_k$ . У вақтда (5.38) ва (5.39) ифодалар

$$\frac{C_c - C(t)}{C_c} = \frac{N_{rD}}{2N_{CD}} \exp\left(-\frac{t}{\tau}\right) \quad (5.40)$$

$$\frac{N_{rD}}{N_{CD}} = \frac{2\Delta C}{C_c} \quad (5.41)$$

кўринишни оладилар. Энди структуранинг  $n$ -тип базасида чуқур сатҳли акцептор бўлган ҳолни кўрайлик. Унинг концентрацияси  $N_{rA}$  саёз донор концентрацияси  $N_{CD}$  дан кичик  $N_{rA} < N_{CD}$ . Бу ҳолда ҳам (5.34) (5.35) муносабатлар ўринли бўлиб,  $N_{\delta c}$  ва  $a$  лар

$$\begin{aligned} N_{\delta c} &= N_{CD}; & a &= N_{rA}/N_{CD} \\ N_{\delta c}(1-a) &= N_{CD} - N_{rA} \end{aligned} \quad (5.42)$$

ифодалар орқали аниқланади. Структурага қўйилган тескарий кучланиш катта  $V \gg V_k$  ва  $N_{CD}, N_{rA}$  бир тартибда бўлган ҳолда,  $N_{rA}$  ни қиймати

$$\frac{N_{rA}}{N_{CD} - N_{rA}} = \left( \frac{C_c}{C_\delta} \right)^2 - 1 \quad (5.43)$$

билин аниқланади.  $N_{CD} - N_{rA}$  нинг қиймати  $C^{-2}(V)$  боғланишдан топилади.  $V \gg V_k$  ва  $N_{rA} \ll N_{CD}$  бўлган ҳолда эса,  $\tau, N_{rA}$  қийматлари

$$\frac{C_c - C(t)}{C_c} = \frac{N_{rA}}{2N_{CD}} \exp\left(-\frac{t}{\tau}\right) \quad (5.44a)$$

$$\frac{N_{rA}}{N_{CD}} = \frac{2\Delta C}{C_c} \quad (5.446)$$

ифодадан топилади;

в) ЧС учун  $e_n \ll e_p$  бўлган ҳолни кўрайлик. Структурага тескари кучланиш уланган ( $0 \rightarrow -V$ ) дан сўнг сатҳнинг тўлатилганлик даражаси деярли ўзгармайди, ҲЗС нинг  $\Delta X_0$  — юпқа қатлами электрон билан тўла бошлайди, у деярли сифимга таъсир кўрсатмайди. Сатҳларни қайта зарядланишини кузатиш учун сатҳни (электрон билан тўлдириш масаласи тўғри ток ўтказиш билан) уйфотиш тўхтатилгандан сўнг сатҳ (5.21) орқали аниқланувчи вақт доимийси  $\tau$  билан тўла бошлайди. Бунда ҳажмий заряд зичлиги камаяди. У ўз навбатида чуқур марказ донор, акцептор бўлишидан қатъи назар сифимнинг камайишига олиб келади.  $V \gg V_k$  бўлган ҳолда сифим релаксациясини кўрайлик. У вақтда ҲЗСнинг ҳамма қисмида уйфотиш тўхтагандан сўнг, ионлашган марказ концентрациясининг вақт бўйича ўзгариши

$$N_u(t) = N_{6c} \left[ 1 + d \cdot b \exp\left(-\frac{t}{\tau}\right) \right] \quad (5.45)$$

билин аниқланади. Агар чуқур марказ донор бўлса, у ҳолда

$$N_{6c} = N_{CD}, \quad b = N_{rD}/N_{CD}$$

Агар чуқур марказ акцептор бўлса, у ҳолда  $N_{6c} = N_{CD} - N_{rA}$ ,  $b = N_{rA}/(N_{CD} - N_{rA})$ .  $d$  — коэффициент асосий бўлмаган заряд ташувчилар билан сатҳни тўлдирилганлик даражаси бўлиб, у  $d = 1 - f_{np}$  орқали ифодаланади. Бу ерда заряд ташувчилар кучли инжекциялашда,  $f_{np} = \frac{\gamma_n}{\gamma_n + \gamma_p}$  тўғри ток ўтганда сатҳни тўлдирилганлик даражаси, транзистор структурани қўллашда ёки оптик усул билан уйфотишка  $d = \frac{P_c}{P_c + P_l}$  билан ифодаланади.  $P_c$  — ковакнинг стационар концентрацияси. Хусусий ҳолда  $\tau_{3\theta} \ll \tau$  бўлганда  $d = 1$  бўлади. (5.37) ва (5.45) ларни қўллаб

$$\frac{C^2(t) - C_e^2}{C_c^2} = b d \exp\left(-\frac{t}{\tau}\right) \quad (5.46)$$

(5.46) дан чуқур марказ агар донор бўлса,

$$\left(\frac{C_6}{C_c}\right)^2 - 1 = d \frac{N_{rD}}{N_{CD}}, \quad (5.47)$$

чуқур марказ агар акцептор бўлса,

$$\left(\frac{C_6}{C_c}\right)^2 - 1 = d \frac{N_{rA}}{N_{CD} - N_{CA}} \quad (5.48)$$

бўлишлигини кўрамиз. Баръер сифимининг релаксацияси оптик уйғотиш (ёруғлик) орқали ҳам кузатилиши мумкин.  $P^+$ -н ўтишда саёз донор ҳамда чуқур донор бўлган ҳолни кўрайлик. Аниқлик киритиш учун  $e_n \gg e_p$  ва  $V \gg V_n$  бўлсин деб олайлик. Шундай температура олинадики, сатҳнинг бошланғич тўлатилганлиги узоқ муддатда сақлансин. Бошланғич вақтда сатҳ стационар тўлдирилганликка эга бўлсин, яъни  $\chi_3C$  нинг ҳамма қисмида электрон билан деярли тўлатилмаган бўлсин,  $t=0$  да диодни фотон энергияси  $hw \geq E_g$  бўлган ёруғлик орқали  $P^+$  томонидан ёритамиз. Бу вақт доимийси  $\tau_{3n}$  билан сатҳни электрон билан тўлишига ва натижада сифимнинг камайишига олиб келади.  $\chi_3C$  да электроннинг дрейф тезлиги тўйиннишига эришгани учун  $\tau_{3n}$  координатага боғлиқ бўлмайди деб қараш мумкин. У вақтда  $N_u(t)$  қўйидаги ифода

$$N_u(t) = N_{CD} + N_{rD} \exp\left(-\frac{t}{\tau}\right) \quad (5.49)$$

билин аниқланади. (5.49) ни  $\left(\frac{C(t)}{S}\right)^2 = \frac{e \epsilon_a N_u(t)}{2(V + V_k)}$  га қўйиб сифимнинг вақт бўйича боғланиши

$$\frac{C^2(t) - C_e^2}{C_c^2} = \frac{N_{rD}}{N_{CD}} \exp\left(-\frac{t}{\tau_{3n}}\right) \quad (5.50)$$

билин аниқланишини күрамиз. Тажрибадан аниқланган  $f(t) = c^2(t) - C_c^2$  бөгланишдан  $\tau_{\text{зп}}$  ни топиш мүмкін ва

$$\tau_{\text{зп}} = \frac{eV_{\text{др}}}{j\gamma_n} = \frac{eV_{\text{др}}}{jS_n U_m}$$

орқали  $\gamma_n$  аниқланади. Бу ерда  $j$  — ток зичлиги,  $V_{\text{др}}$  — дрейф тезлиги  $N_{rD} \ll N_{CD}$  бўлган ҳолда сифим релаксацияси

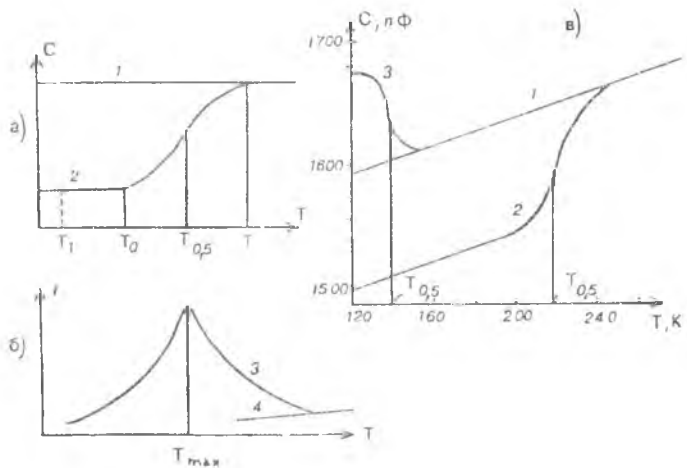
$$\frac{C(t) - C_c}{C_c} = \frac{N_{rD}}{2N_{CD}} \exp\left(-\frac{t}{\tau_{\text{зп}}}\right) \quad (5.51)$$

билин ифодаланади. Энди  $x > w_6$  соҳа электрон билан тўла-тилган бўлсин.  $t=0$  да диодни  $n$ -соҳасидан фотон энергияси  $hw \geq E_g$  бўлган ёруғлик билан ёритилса, сатҳни ковак  $\tau_{\text{зп}}$  вақт доимийси билан тўлдира бошлайди ва натижада сифимнинг ошишига олиб келади. Бу ҳолда ковак дрейф тезлигининг майдонга боғлиқлигини, яъни  $\tau_{\text{зп}}$  нинг масофага боғлиқлигини инобатга олиш керак.

### *б. Термик рағбатлантирилган сифимнинг релаксация усули*

Чуқур марказ параметрларини ўлчашнинг бу усули шоттки барьер (тусик)ли ёки кескин  $P^+ - n$  ўтишли структура (диод) ҳароратининг ошиши билан барьер сифимнинг ўзгаришини қайд қилишга асосланган. Барьер сифимнинг бу ўзгариши иссиқлик таъсирида чуқур сатҳни қайта зарядланишидан содир бўлади. Бу усулнинг моҳиятини ёритища ҳам яримётказгичда концентрацияси  $N_{CD}$  бўлган саёз сатҳли донордан ташқари, тақиқланган зонада энергиявий сатҳи  $E_r$ , концентрацияси  $N_{rD}$  бўлган чуқур сатҳли донор бўлсин ва бу чуқур сатҳ учун  $e_n \gg e_p$  тенгсизлик бажарилади деб қабул қиласиз. Диодни иситиш, со вутиш жараёнларида ундаги чуқур сатҳнинг тўлдирилганлигини ва у билан боғлиқ сифимнинг ўзгаришини кўрайлик. Дастрраб структурани шундай температура  $T > T_c$  да ушлаймизки, унда чуқур сатҳнинг электрон билан стационар тўлдирилганлиги тез ўрнатилсин ( $\tau \ll \tau_{\text{зп}}$ ) ва  $\omega\tau \gg 1$  тенгсизлик бажарилсин. Бунда ўлчанганди сифим юқори частотали барьер сифимнинг стационар  $C_c$  қийматини беради. Кейин диодни тескари  $V$  кучланиш уланган ҳолда

чуқур сатхнинг бошланғич ҳолатдаги тұлдирилғанлиги узоқ сақланадиган  $T_1$  температурагача совутамиз. Бу жараёнда сатхнинг тұлдирилғанлик даражаси деярли үзгартмайды. Шунинг учун сифимнинг температурага күксиз боғланиши күзатылади (5.5а-расм, боғланиш). Бу боғланиш чуқур сатхнинг стационар тұлдирилғанлиги  $n_{rc}$  ва стационар тұлдирилғанликка мос келган стационар барьер сифими  $C$  ни аңглатади. Энди тескари  $V$  кучланиш қўйилған ҳолда диодни  $T_1$  дан бошлаб қиздирамиз. Бу жараёндаги сифимнинг температурага боғланиши ҳам 1-боғланиш каби бўлади. Сўнг диодни, яна қайтадан тескари кучланиш қўйилмаган  $V=0$  ҳолда,  $T_1$  температурагача совутамиз, сўнгра тескари кучланиш улаймиз. Бу температурада сатхнинг бошланғич тұлдирилғанлиги  $n_{rb}$  ва унга мос си-



5.5-расм. Бир зарядли чуқур мәркази булған  $p-n$  утишда сифим (а), тескари токнинг (б) температурага боғланиши. 1,4 — термик рағбатлантирилмаган; 2,3 — термик рағбатлантирилган чуқур сатх разряди бўлган ҳол учун. Тилла билан легирланган  $p^+-n$  ўтишли кремний диоди сифимининг температурага боғланиши (б).

$N_c = 1,5 \cdot 10^{14} \text{ см}^{-3}$ ,  $N_a = 1,6 \cdot 10^{13} \text{ см}^{-3}$ ,  $S = 2,2 \text{ см}^2$ ,  $U = 20 \text{ В}$ ,  $b = 1 \text{ К/с}$

1 — термик рағбатлантириш булмаганда чуқур сатх разряди;

2 — акцептор сатхи рағбатлантирилганда чуқур сатх разряди;

3 — гермик рағбатлантирилганда донор сатхини электрон билан тўлиши ( $DE_c = E_c - E_i = 0,5 \text{ eV}$ ,  $DE_d = E_d - E_v = 0,36 \text{ eV}$ ,  $e_h \ll e_p$ )

ғимнинг бошланғич қиймати  $C_b$  узоқ сақланади.  $C_b$ нинг қиймати  $C_c$  га нисбатан кичик. Энди диодга тескари  $V$  кучланиш уланган ҳолда унинг температурасини күтара борамиз. Температуранинг  $T_1$  дан  $T_0$  оралиғида сатҳнинг бошланғич тұлдирилғанлиги сақланиши туфайли сифимнинг температурага күксиз боғланиши содир бұлади. Температуранинг  $T_0$  дан  $T_c$  гача бўлган оралиғида эса структура сифимининг тез ўсиши кузатилади. Бу температура оралиғида сатҳнинг тұлдирилғанлик релаксация вақти камаяди ва сатҳнинг термик рағбатлантирилған разряди (сатҳдан электроннинг иссиқлик таъсирида чиқиши) кузатилади. Бу ўз навбатида сифимнинг тез ўсишига олиб келади. Сатҳнинг термик рағбатлантирилған разряди тугагандан сўнг, ( $T > T_c$  да) 1- ва 2-боғланишар бир-бираға мос тушади. Сатҳнинг термик рағбатлантирилған разряди тескари ток релаксациясини ҳам юзага келтиради, яъни диода тескари ток импульсининг оқшишига олиб келади (5.5, б-расм). Температура ошиши билан тескари  $V$  кучланиш кўйилған диодда ток күтарилади ва маълум бир температурада максимумга эришиб, камая бошлайди. Сатҳнинг термик рағбатлантирилған разряди тугаши билан ток одатдаги диод стационар тескари токигача камаяди. Энди диоднинг термик рағбатлантирилған сифим ва ток релаксациялари орқали чуқур сатҳ параметрларини аниқлашни кўрайлик.

Хажмий зарядни ҳосил қилувчи ионлар концентрацияси ҲЗС нинг ҳамма қисмida бир хил бўлганда, ионлашган марказ концентрацияси

$$N_u(t) = N_{CD}^+ + N_{rD}^+(t) \quad (5.52)$$

билан аниқланади. Шу билан бирга, ионлашган чуқур донорлар концентрацияси

$$N_{rDu}(t) = N_{rD} \left[ 1 - \exp \left( - \int_0^t e_n(t) dt \right) \right] \quad (5.53)$$

қонуният бўйича ошади. Унга мувофиқ нейтрал сатҳлар концентрацияси камаяди

$$n_r(t) = N_{rD} \exp \left[ - \int_0^t e_n(t) dt \right]$$

Маълумки, тескари ток зичлиги чуқур сатҳидан ўтказувчан зонага вақт бирлигига ўтаётган электронлар сонига  $\left( \frac{dn_r}{dt} \right)$  пропорционал

$$J_{\text{тек.ток}} = e \frac{dn_r}{dt} = e \frac{d}{dt} N_{rD} \exp \left[ - \int_0^t e_n(t) dt \right] = -e_n(t) n_r(t) \cdot e \quad (5.55)$$

Термик рағбатлантирилган тескари ток қандайдир температура  $T$  да максимумга эришгани учун (5.53) дан вақт бўйича олинган ҳосила  $T = T_{\max}$  да нольга тенг бўлади.

$$\left( \frac{dj_{\text{тек.ток}}}{dt} \right)_{T=T_{\max}} = -e \frac{d}{dt} (e_n(t) \cdot n_r(t)) = e \frac{de_n}{dt} + e e_n \frac{dn_r}{dt} \Big|_{T_{\max}} = 0 \quad (5.56)$$

Модомики сатҳнинг термик рағбатлантирилган разряди кичик температура оралиғида содир бўлар экан, бу оралықда температуранинг вақт бўйича ошишини

$$T = T_0 + \beta t$$

куринишдаги чизиқли қонуният бўйича боради деб ҳисоблаш мумкин. Бу ерда  $\beta$  — температуранинг ўсиш тезлигини аниқловчи коэффициент  $\text{K} \text{с}^{-1}$

$$dT = \beta dt \quad (5.58)$$

бўлишлигини назарда тутиб ва (5.18) ифодани қўллаб, (5.56) дан чуқур сатҳ ионланиш энергиясининг

$$\ln \left( \frac{T_{\max}^4}{\beta} \right) = \frac{\Delta E_r}{KT_{\max}} + \ln \left( \frac{\Delta E_r}{kbV_n} \right) + \ln \left( 1 + \frac{2\kappa T_{\max}}{\Delta E_r} \right) \quad (5.59)$$

ифода билан аниқланишини кўрамиз.

Амалиётда кўп ҳолларда  $2 KT_{\max} < \Delta E_r$  бўлади. У вақтда (5.59) ифода

$$\ln \left( \frac{T_{\max}^4}{\beta} \right) = \frac{\Delta E_r}{KT_{\max}} + \ln \left( \frac{\Delta E_r}{k b V} \right) \quad (5.60)$$

күринишга келади. Бу формулани қўллаб, тажрибадан чуқур сатҳнинг ионланиш энергиясини аниқлаш учун структуранинг ҳар хил иситиш тезликлари  $\beta$  да термик рағбатлантирилган тескари токлари қайд қилинади ва токнинг максимумга эришган температуралари орқали  $\ln \left( \frac{T_{\max}^4}{\beta} \right)$  ни  $\frac{1}{T_{\max}}$  га боғланиши чизилади. Унинг оғиш бурчаги тангенсидан  $\left( \frac{\Delta E_r}{k} \right)$ , абсцисса ўқи  $\left( \frac{1}{T_{\max}} \right)$  нинг кесишиш нуқтаси орқали  $V_b$  топилади. Энди термик рағбатлантирилган сифимнинг релаксациясидан чуқур сатҳ ионланиш энергиясининг аниқланишини кўрайлик. Бунинг учун диод температураси чизиқли қонуният билан ўсиб бораётганида чуқур сатҳнинг ярмигача разрядланиши учун кетган вақт ҳисобланади, яъни  $N_{rD}(t_{0.5})=0.5N_{CD}$  ни (5.53) ифодага қўйиб ва  $e_n=\tau_n^{-1}$  лигини назарда тутиб, (5.18) ни қўллаган ҳолда чуқур сатҳ ионланиш энергиясининг

$$\frac{\Delta E_r}{KT_{0.5}} = \ln \left( \frac{\gamma_n N_c T_{0.5}}{\beta \ln 2} \right) - \ln \left( \frac{\Delta E_r}{KT_{0.5}} \right) \quad (5.61)$$

кўринишдаги такрибий ифодасини оламиз.

Бу  $T_{0.5}=T_0+\beta t_{0.5}$  ни  $t=0.5$  вақтдаги диод температураси иккинчи томондан  $t=t_{0.5}$  даги сифими

$$\frac{C^2(t) - C_6^2}{C_c - C_6} = 0.5 \quad (5.62)$$

муносабат билан аниқланади.  $T_{0.5}$  температура  $C(t)$ ,  $C_6$ ,  $C_c$  лар тажриба натижаларидан топилади.

$N_{CD} \ll N_{rD}$  тенгсизлик бажарилганда (5.62) ифода

$$\frac{\Delta C(t_{0.5})}{\Delta C} = 0.5 \quad (5.63)$$

қўринишини олади. Бу срда  $\Delta C(t_{0.5}) = C(t_{0.5}) - C_0$ ,  $\Delta C = C - C_0$ ,  $\Delta C(t)$  сифимнинг 1- ва 2-боғланишлари айирмасини ифодалайди. Назарий ҳисоблашларниң кўрсатишича, чуқур сатҳ ионланиш энергиясини термик рағбатлантирилган ток максимуми бўйича аниқлашда (5.61) формуладан фойдаланиш ҳам мумкин, унда  $T_{0.5}$  ни  $T_{\max}$  га ўзгартирилди, холос.

Юқоридаги мулоҳазалардан кўринадики, термик рағбатлантирилган ток, сифим релаксациялари бўйича чуқур сатҳ параметрларини аниқлашда  $T(t)$  нинг чизиқли боғланишда бўлишлик шарти бажарилиши керак.  $T(t)$  нинг чизиқли боғланишига кенг температура оралиғида автоматик қурилмалар билан эришиш мумкин. Одатда, сатҳнинг термик рағбатлантирилган разряди кичик температура оралиғида содир бўлгани учун, бу соҳада  $T(t)$  нинг ноҳизифий боғланишини (5.58) муносабат орқали апроксимациялаш мумкин.

Энди чуқур сатҳ концентрацияси  $N_{cd}$  ни аниқлашни кўрайлик. Структуранинг бошланғич ҳолатдаги температураси  $T_b = T_c$  ва унга тескари  $V$  кучланиш қўйилган бўлсин. Бу ҳолда ҳажмий заряд соҳасининг кенглиги  $h(V, T)$ , сифими  $C(V, T)$  бўлсин. Тескари кучланиш  $V$  ни сақлаган ҳолда структурани  $T_1$  температурагача совутсак, унинг ҲЗС нинг кенглиги  $h(V, T_1)$  ва сифими  $C(U, T_1)$  бўлади. Бунда ҲЗС нинг ҳажмий заряд зичлиги  $\rho = e(N_{cd} + N_d)$  сақлана-ди.  $T_1$  температурада структура тескари  $V$  кучланишини  $V_1$  гача камайтирсак, ҲЗС нинг кенглиги  $h(V_1, T_1)$  ва сифими  $C(V_1, T_1)$  бўлади. Бунда ҳажмий заряд соҳасининг кенглиги бир мунча камаяди. Шу билан бирга, бу соҳада чуқур сатҳ заряди ўтказувчан зонадаги электрон билан компенсацияланади.  $T_1$  температурада тескари  $V$  кучланишини  $V$  гача қайтадан тикласак, бу соҳа янгитдан асосий заряд ташувчилар билан камбағаллашади, лекин чуқур сатҳ ҳажмий заряд зичлигига таъсир кўрсатмайди, ҲЗС нинг ҳажмий заряд зичлиги  $\rho = eN_{cd}$  билан аниқланади. Тескари  $V$  кучланиш қўйилган ҳолда  $T_1$  температурадан бошланғич ҳолатдаги температура  $T_c$  гача кўтарсак, у ҳолда сатҳнинг термик рағбатланган разряди туфайли, структура сифими ҳамда ҲЗС нинг кенглиги ўзларининг бошланғич қийматлари  $h(V, T)$  ва  $C(V, T)$  га қайтадилар. Ҳисоблашларниң кўрсатишича, юқорида курсатилган шароит-

ларда ўлчанган  $C(V, T)$ ,  $C(V, T_1)$ ,  $C(V_1, T_1)$  сифимлар орқали чуқур сатҳ концентрацияси

$$N_{rD} = -N_{CD} \frac{C^2(V_1, T_1)[C^2(V, T_1) - C^2(V, T)]}{C^2(V, T_1)[C^2(V_1, T_1) - C^2(V, T)]}$$

формула билан аниқданиши мумкин. Агар  $V_1=0$ ,  $h(V_1, T_1)=0$  ва структура сигимлари  $C(V, T)$  ва  $C(V, T_1)$  нинг қийматлари бир-биридан кам фарқ қилса, у ҳолда  $N_{rD}$

$$N_{rD} = 2N_{CD} \frac{C(V, T) - C(V, T_1)}{C(V, T_1)}$$

билин аниқланади. Шуни таъкидлаш керакки, чуқур сатҳ параметрларини аниқлашнинг термик рағбатлантирилган сифим, ток усулларининг ЧС параметрларини тез ва тақрибий баҳолашга қўллаш мақсадга мувофиқдир. Бу усуллар билан ўлчашнинг хатолигини камайтириш учун сифимнинг  $C(t)$  ва токнинг  $I(t)$  боғланишларини структура температурасининг ҳар хил ўсиш тезлиги ( $\beta$ ) да ўлчаш зарур, лекин бу билан усулнинг асосий ютуғи, яъни усулнинг соддалиги ўз маъносини йўқотади.

#### *в. Фотосигим усули*

Бу усулда текшириладиган намуна металл-яримутказгич,  $p-n$  ўтишли (структуря) оптик криостатга жойлаштирилади ва кучланиш қўйилмаган  $U=0$  ҳолатда совитилади, сўнгра тескари кучланиш қўйиб киришмавий ютилиш соҳасига мос келадиган ҳар хил тўлқин узунликдаги монохроматик ёруғлик билан ёритилиб, структура сифими ўлчанади. Куйида ўлчанган сифимнинг спектрал боғланишидан ЧС параметрларини аниқлашнинг назарий асосини ва баъзи бир ифодаларини қисқача таҳлил қиласлик. Одатда паст температура (77К) да чуқур донор сатҳ  $E_{rD}$  дан электроннинг ўтказувчан зонаси  $E_C$  га, валент зонаси  $E_V$  дан чуқур акцептор сатҳ  $E_A$  га иссиқлик таъсирида ўтиши, яъни термик генерация тезлигини кичик деб қаралади. Шунинг учун биз кўраётган ҳолда структура сифимининг ўзгариши ҲЗС даги ЧС нинг фотоионланиши туфайли содир бўлади. Бундай ҳолат температураси 77К бўлан германий, кремний-арсенид-галлий намуна-

ларида ионланинг энергияси  $\Delta E = 0,18$  эВ бўлган ЧС лар учун кузатилади. Матъумки, диоднинг ХЗС да эркин заряд ташувчилар концентрациялари Больцман тақсимоти билан аниқланади. ХЗС даги электр майдони эркин заряд ташувчиларни бу соҳадан ташқарига сиқиб чиқаргани учун уларнинг концентрацияси жуда кичик бўлади. Тескари қўйилган кучланиш  $V > \frac{KT}{e}$  бўлганда, паст температураларда ХЗС да  $p=0$  ва  $n=0$  деб олиниши билан катта хатоликка йўл қўйилмайди Шунинг учун (5.9a) тенгламадаги эркин заряд ташувчиларни ЧС га тутилиши билан боғлиқ ҳадларни инобатга олмаслик мумкин. У ҳолда ЧС даги электроннинг концентрациясини вақт бўйича ўзгариши фақат фотоионланиш туфайли содир бўлади ва у (5.9a) дан

$$\frac{dn_r}{dt} = [\chi_p \cdot (N_r - n_r) - \chi_n n_r] I_v \quad (5.66)$$

кўринишдаги тенглама билан аниқланишини кўрамиз. Стационар ҳолат  $\frac{dn_r}{dt} = 0$  да (5.66) дан ЧС нинг электрон билан тўлдирилганлик даражаси

$$\frac{n_{rc}}{N_r} = \frac{\chi_p(h_\nu)}{\chi_p(h_\nu) + \chi_n(h_\nu)} \quad (5.67)$$

билан аниқланади. (5.66) тенгламанинг  $t=0$  да  $n_r = N_r$  бошлангич шартни қаноатлантирувчи ечими, яъни чуқур донон сатҳнинг ностационар жараёнда электрон билан тўлдирилганлик даражаси

$$\frac{n_{rc}}{N_r} = \frac{\chi_p(h_\nu)}{\chi_n(h_\nu) + \chi_p(h_\nu)} + \frac{\chi_n(h_\nu)}{\chi_n(h_\nu) + \chi_p(h_\nu)} \exp\left(\frac{t}{\tau}\right) \quad (5.68)$$

билан аниқланади. (5.66) тенгламанинг  $t=0$  да  $n_r = 0$  бошлангич шартни қаноатлантирувчи ечими, яъни чуқур акцептор сатҳнинг электрон билан тўлдирилганлик даражаси

$$\frac{n_r}{N_r} = \frac{\chi_p(h_\nu)}{\chi_n(h_\nu) + \chi_p(h_\nu)} \left[ 1 - \exp\left(-\frac{t}{\tau}\right) \right] \quad (5.69)$$

билин аниқланади. Бу ерда

$$\tau^{-1} = [\chi_n(h\nu) + \chi_p(h\nu)] I_\nu \quad (5.70)$$

(5.68) ва (5.69) ифодалардан күриналики, ЧС ларни оптик қайта зарядлаш экспонента қонунияти бўйича бир хил вақт доимийси  $t$  билан содир бўлади. Фотосифимнинг фотон энергиясига боғланишини учта соҳага ажратиш мумкин.

1. Фотон энергиясининг ЧС ионланиш энергиясидан кичик бўлган  $h\nu < \Delta E$ , соҳаси. Бу соҳада сатҳни қайтадан оптик ўтишлар билан зарядлашнинг иложи бўлмайди ва натижада сатҳнинг тўлдирилганлик даражаси ўзгармайди.

2. Фотон энергиясининг  $\Delta E < h\nu < E_g - \Delta E$ , соҳаси. Бу соҳада сатҳнинг тақиқланган зона ярмидан юқори ёки паст қисмида жойланишига қараб,  $\chi_n(h\nu) > 0$ ,  $\chi_p(h\nu) = 0$  ёки  $\chi_p(h\nu) > 0$ ,  $\chi_n(h\nu) = 0$  бўлади. Донор чукур сатҳнинг тўлдирилганлик даражаси бу соҳада  $\chi_n \neq 0$ ,  $\chi_p = 0$  бўлишилигини назарда тутсак, (5.68) дан

$$\frac{n_r}{N_r} = \exp\left(-\frac{t}{\tau}\right) \quad (5.71)$$

билин аниқланишини кўрамиз. Чукур акцептор сатҳининг тўлдирилганлик даражаси  $\frac{n_r}{N_r}$  (5.69) дан бу соҳада  $\chi_p > 0$ ,  $\chi_n = 0$  бўлишини назарда тутсак,

$$\frac{n_r}{N_r} = 1 - \exp\left(-\frac{t}{\tau}\right) \quad (5.72)$$

келиб чиқади. Шундай қилиб, фотон энергиясининг электронни  $E_{rD}$  дан  $E_c$  га  $E_\nu$  дан  $E_{rA}$  га чиқаришнинг етарли соҳасида структурани узоқ муддатли ёритишдан чукур донор сатҳининг электрон билан тўла қашшоқланиши, чукур акцептор сатҳининг тулиши содир бўлади.

3. Фотон энергиясининг  $E_g - \Delta E < h\nu \leq E_g$  соҳаси. Бу спектрал соҳада иккита оптик ўтиш, яъни электронни ёруғлик таъсирида  $E_{rD}$  дан  $E_c$  га ва  $E_\nu$  дан  $E_{rA}$  га ўтиши кузатилади. Узоқ муддатли ёритишндан сўнг, яъни  $t \rightarrow \infty$  да

$t \gg \tau$  бўлади. (5.68) ва (5.69) ларга кўра сатҳнинг тўлдирилганлик даражаси

$$\frac{n_r}{N_r} = \frac{\chi_p(h\nu)}{\chi_n(h\nu) + \chi_p(h\nu)} \quad (5.73)$$

билин аниқланади. Бундан кўринадики, сатҳнинг тўлдирилганлик даражаси фақат электронни, ковакни фотонланиш кесимлари  $\chi_n(h\nu)$  ва  $\chi_p(h\nu)$  нинг спектрал боғланиши билан аниқланиб, у на ёруғлик интенсивлигига, на сатҳнинг бошлангич ҳолатда қандай тўлдирилганлигига боғлиқ эмас. Агар диоднинг  $p$ -тип базасида ЧС тақиқланган зона ярмининг юқори қисмида ёки  $n$ -тип базасида тақиқланган зона ярмининг қуий қисмида жойлашган бўлса, фотосифимни ўлчашда уни қайта зарядлаш фақат иккита  $E \rightarrow E_g$ ,  $E_g \rightarrow E$ , оптик ўтишлар фотон энергиясининг  $h\nu > (E - \Delta E_g)$  соҳасида мумкин бўлади. Бундай сатҳларни текширишдан олдин улар асосий бўлмаган заряд ташувчилар билан қайта зарядланади ва сўнг  $N_u = f(t)$  боғланиш ўлчанади. Бундай усул билан ЧС параметрларини ўлчаш индукцияланган фотосифим усули деб юритилади.

Фотосифимни ўлчашда ЧС ни қайта зарядлаш одатда диод сирти энергияси  $h\nu \geq E_g$  бўлган ёруғлик билан ёритиш орқали амалга оширилади. Бу соҳада ютилиш коэффициенти  $\alpha \gg d^{-1}$  ( $d$  — диод сиртидан  $p-n$  ўтиш чегарасигача бўлган масофа) бўлади. Структурани ёритишдан ҳосил бўлган электрон ковак жуфтлари  $p-n$  ўтиш чегараси томон диффузияланадилар ва ҲЗС да ажralадилар. ҲЗС дан фақат асосий бўлмаган заряд ташувчилар ўтади. Хусусий ютилиш соҳасида ЧС нинг қайта зарядланишидан юзага келган диод сифимини ўзгаришига олиб келади:

$$N_u(t) = N_{CD} + N_{rD} \exp\left(-\frac{t}{\tau_{3n}}\right) \quad (5.74)$$

экспоненциал қонуният бўйича ўзгаради. ЧС ни тўлдириш жараёнининг вақт доимийси  $\tau_{3n}$  ни ўлчаб,

$$\tau_{3n} = \frac{e \cdot V_{ap}}{f \cdot \gamma_n} \quad (5.75)$$

ифодасидан заряд ташувчиларнинг марказга тутилиш кесими  $\gamma$  ни аниқлаш мумкин. Диффузион диодларда эса битта чукур сатҳ узун электроннинг ҳам ковакни тутилиш кесимларини аниқлаш мумкин. Фотосифим усули билан ЧС энг кичик концентрациясини қайд қилиш, ўлчаш қурилмасининг сезгириллиги диоднинг тұла сифимига, сатҳнинг фотоионланиш кесимига боғлиқ бўлиб, у изотермик сифим релаксацияси усули каби

$$N_r = N_u \cdot \frac{2\Delta C}{C} \quad (5.76)$$

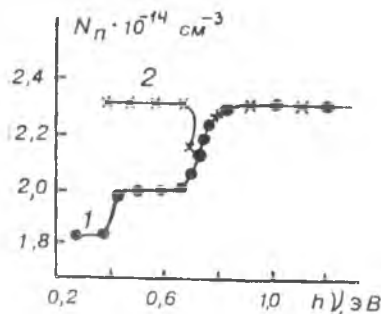
билин аниқланади. Тажрибаларнинг күрсатишича, сифимни ўлчашда ўзгарувчан ток кўприги қўлланилганда  $\frac{\Delta C}{C}$  нинг кичик қиймати  $10^{-2}\text{-}10^3$  тартибида бўлади. Модомики, намунада киришмалар умумий концентрацияси  $10^{13} \text{ см}^{-3}$  бўлганда, чукур сатҳнинг концентрацияси  $10^{10}\text{-}10^{11} \text{ см}^{-3}$  бўлсангина кузатиш мумкин. Бошқача айтганда, юзаси  $0,1 \text{ см}^2$  ХЗС кенглиги  $30 \text{ мкм}$  бўлган диодда  $3 \cdot 10^8\text{-}3 \cdot 10^7$  тагача киришма атомини қайд қилиш мумкин. Бу усулнинг камчилиги сифатида ЧС нинг фотоионланиш кесими билан чекланганлигини ва киришмавий ютилишни ёруғлик интенсивлигига боғлиқлигини күрсатиш мумкин. Ўзлуксиз монохроматик ёруғлик спектрлари одатда иссиқлик манбаларини (глобар, Нернст штифт) қўллаш орқали олинади. Уларнинг интенсивлиги нисбатан кичик бўлади. Диод сиртига тушаётган монохроматик ёруғлик интенсивлиги  $10^{15}\div10^{16} \text{ квант/см}^2\cdot\text{с}$  дан ошмайди. Агар  $x < 10^{20} \text{ см}^2$  бўлса, ЧС ни оптик ўтишлар билан қайта зарядлашнинг вақт доимийси  $\tau \geq 10^{-1} \text{ с}$  бўлади. Сифимнинг бундай секин релексациясини фақат ЧС нинг катта концентрациясида, қурилма гурғун ишлагандан ўлчаш мумкин. ЧС энергия ионизацияси фотосифим спектридан унинг ўзгариши кузатиладиган энг кичик фотон энергияси орқали топилиши мумкин. Унинг аниқ қиймати кўрилаётган сатҳда ёруғликнинг ютилиш назарияси билан аниқланган боғланишдан топилади. Яримутқазгичларда баъзи бир киришмалар кўп зарядли ҳолатда бўлган тутқич марказларни ҳосил қиласи. Улар кристалл панжара-да ҳар хил ҳолатда бўлиши ва комплекслар, атомлар комп-

лекси ҳосил қилиши мүмкін. Бу ҳолатда диоднинг тұла фотосифим спектри қаралып сатылған, фотосифим спектри йиғиндиңдан иборат болады. Фотосигимнинг ўзгариш табиатига қаралған, саты энергиясы ўзгаруучан зона туғиға ёки валент зона шиниге нисбатан үлчашни анықлады. Биринчи ҳолда чуқур сатхнинг камбағаллашыдан ҳажмий заряд зичлиги ортиши туфайли, структура сифими үседі (сифим ўзгариши мусбат), иккінчи ҳолда чуқур сатхдан көвакни валент зонага чиқарылу туфайли, сифим камайды. (Сифим ўзгариши манфий.)

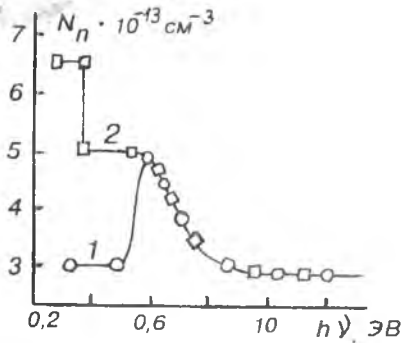
Фотосифим усулы билан тұтқыч асосий бұлмаган заряд ташувчилар унинг марказ параметрларининг анықланиши унинг асосий ютуғидір.

Тилла киришмали кескін  $n^+ - p$  ўтишнинг фотосифим индукцилашган фотосифим спектрлари 5.6-расмда көлтирилген. Фотосифим, яғни  $\chi_3C$  да ионлашган марказ концентрацияси  $N_u$  нинг биринчи поғонаси фотон энергиясининг  $h\nu = 0,34$  эВ дан бошлаб күзатылады. У бошқа усуулар билан анықланған тилла киришмасининг қуий сатхи ионланиш энергиясига мос келади.

$N_u$  нинг бу энергияда кескін ўзгариши күрилаётган сатхнинг муайян фотоионланиш энергиясига эга экан-лигидан далолат беради. Фотон энергиясини  $h\nu \geq 0,7$  эВ соҳасыда  $N_u$  нинг янгитдан ортиши күзатылады. Бу спектрал соҳада тилла юқори сатхи орқали иккита оптик ўтишлар бўлиши мүмкін. ( $E_r \rightarrow E_c$  ва  $E_v \rightarrow E_r$ ).  $N_u(t)$  боғланиш бу сатх учун  $\frac{\chi_p}{\chi_n} = f(h\nu)$  боғланишга мос тушади. Фотон энергиясининг  $h\nu > 0,8$  эВ соҳасыда  $N_u$  түйинишга инти-



5.6-расм. Тилла киришмали  $n^+ - p$  диоднинг фотосифим спектри (1) индукуцияланган фотосифим спектри (2).



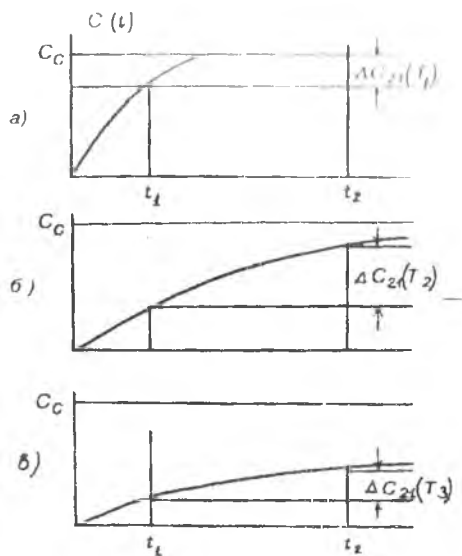
5.7-расм. Тилла киришмали  $n^+ - p$  диоднинг 77 К даги фотосигим (1), индукцияланган фотосигим (2) спектрлари.

лади ва хусусий ёруғлик  $h\nu > E_g$  билан қайта зарядлашдан ўзгармайди. Бу спектрал соҳада тилла юқори сатҳи учун  $\chi_p \gg \chi_n$  бўлади. Фотон энергиясини  $h\nu > 0,8$  эВ дан бошлаб кучсиз ўзгариши, тилла қуйи сатҳи орқали иккита оптик ўтиш мумкин бўлганда шуни кўрсатадики, бу сатҳ учун ҳам  $\chi_p \gg \chi_n$  муносабат ўринли бўлади. Текширилаётган диоднинг индукцияланган фотосигим спектри 5.6-расмда 2-боғланиш орқали ифодаланган. Унинг таҳлили кўрсатишича, фотон энергиясини  $h\nu = 0,56$  эВ бўлган қийматда  $\dot{X}_3C$  да ионлашган марказ концентрациясининг кескин камайиши хусусий ёруғлик таъсирида электрон билан тўлатилган юқори тилла сатҳининг камбағаллашиши туфайли содир бўлган деб тушунтирилади.

$n^+ - p$  диоднинг фотосигим спектри (5.7-расм)  $n^+ - p$  — диоднинг фотосигим спектри билан яхши мос келади. Бу ҳолда  $N_n$  нинг кескин ортиши фотон энергиясининг  $h\nu = 0,56$  эВ соҳасида содир бўлади. Фотон энергияси ортиши билан  $\chi_n / \chi_p$ , нисбатнинг камайиши туфайли,  $N_n$  камая бошлайди. Индукцияланган фотосигим спектри (2-боғланиш)да тилла қуйи сатҳининг электрон билан тўлиши туфайли содир бўлган поғона кузатилади.

#### в. DLTS — сигимнинг автоматлашган релаксация усули

Сигимнинг изотермик релаксация усули диодга қўйилган кучланишни, уйғотувчи ёруғликни қўлда бир каррали (марта) қайта ўлчашдан даврий қайта улашга ўтиш орқали такомиллаштирилиб борилади. Бунда диодга тескари йўналишда уланган кучланиш устига чуқур сатҳни тўлдирувчи тескари қутбли даврий частотаси  $f$  — бўлган кучла-

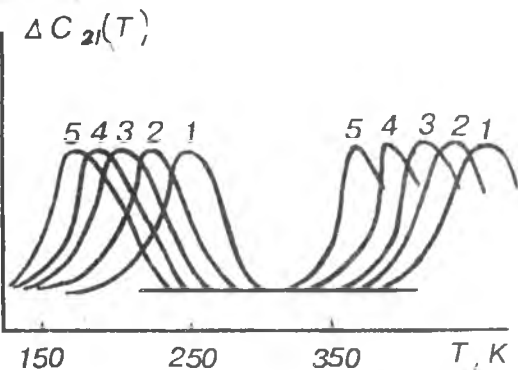


5.8-расм. Кучланишни қайта улаш  $O \rightarrow U$  дан сўнг ҳар хил температуralарда сигимнинг вақтга боғланиши  
 $a-T=T_1$ ,  $b-T=T_2$ ,  $c-T=T_3$ ,  $T_1 > T_2 > T_3$ .

ниш импульси берилади. Ланг томонидан даврий қайта улаш усули ривожлантирилди ва автоматлаштирилган усулнинг назарий ва амалий асоси яратилди. Бу усул ЧС ни спектроскопик тадқиқ қилишнинг даврий қайта улаш усули *DLTS* деб юритила бошланди. Шундай қилиб, *DLTS* автоматлаштирилган изотермик сифим релаксация усулидир. Бу усулга кўра намуна температурасининг секин ўзгариш жараёнида тўлдирувчи кучланиш ҳар бир қайта улашишидан сўнг сифим релаксациясидан берилган  $t=t_1$  ва  $t=t_2$  вақтлардаги  $C(t_1)$  ва  $C(t_2)$  сифимларни (5.8-расм), улар фарқини

$$\Delta C_{21} = C(t_1) - C(t_2)$$

ҳамда температурани (масалан, термопара ишлатилганда термо ЭЮКни) автоматик тарзда ўлчаб боради ва  $\Delta C$  нинг температурага боғланиши  $\Delta C(T)$  топилади.  $t_1$  ва  $t_2$  ларни ўзgartириб,  $\Delta C_2(T)$  нинг “оиласи” (5.9-расм) чизилади



5.9-расм.  $P-n$  типдаги GaAs диодда  $U_{np} \rightarrow U$  га қайта улашдан сүнг  $C_{21}(T)$  нинг температурага боғланиши.

1.  $t_1=0,02$  мс;  $t_2=0,2$  мс;
2.  $t_1=0,05$  мс;  $t_2=0,5$  мс;
3.  $t_1=0,1$  мс;  $t_2=1,0$  мс;
4.  $t_1=0,2$  мс;  $t_2=2,0$  мс;
5.  $t_1=0,5$  мс,  $t_2=5,0$  мс.

ва улар ёрдамида релаксация вақтининг температурага боғланиши  $\tau(T)$  аниқланади. Бу ўлчанган боғланишлар орқали ЧС параметрларини топишни таҳлил қиласайлик.

Чукур сатҳ (ЧС) учун  $e_n \gg e_p$  ҳамда  $U \gg V$  ва  $N_{CD} \gg N_r$ , тенгсизликлар бажарилсин деб қарайлик. Бу ҳолда симимнинг вақт бўйича ўзгариши  $0 \rightarrow U$  қайта улашдан кейин (5.40) ифода билан аниқланади. Бу ифодадан  $C(t)$  ни  $t=t_1$  ва  $t=t_2$  даги қиймати ҳамда уларнинг фарқи  $\Delta C_{21}(t)=C(t_2)-C(t_1)$  ни ўлчаш орқали

$$\frac{\Delta C_{21}}{C} = \frac{N_r}{2N_{CD}} \left[ \exp\left(-\frac{t_1}{\tau}\right) - \exp\left(-\frac{t_2}{\tau}\right) \right] \quad (5.76)$$

аниқланишини кўриш қийин эмас.  $\Delta C_{21}/C$  нисбат берилган  $t_1$  ва  $t_2$  ларни қийматида намуна температурасига боғлиқ ва у қандайдир температура  $T_{max}$  да максимумга эришади. (5.76) ифодани температура бўйича дифференциаллаб, ҳосиласини нольга тенглаштириб, бироз соддалаштиришдан сүнг

$$\tau_{max} = \frac{t_2 - t_1}{\ln(t_2/t_1)} \quad (5.77)$$

билин ифодаланишини күрамиз.

Берилган  $t_1$  ва  $t_2$  вақтлардаги  $\frac{\Delta C_{21}}{C} = f(T)$  боғланиш, унинг  $T=T_{\max}$  даги қиймати,  $T_{\max}$  температуранинг ўзи эса тажрибадан аниқланади. Сўнг  $t_{\max}$ ,  $t_1$  ва  $t_2$  лар ҳамда  $(\Delta C_{21}/C)_{\max}$  берилган ҳолда ЧС концентрацияси (5.76) га кўра

$$N_{rD} = 2N_{CD} \left( \frac{\Delta C_{21}}{C} \right)_{\max} \left[ \exp \left( -\frac{t_1}{\tau_{\max}} \right) - \exp \left( -\frac{t_2}{\tau_{\max}} \right) \right] \quad (5.78)$$

ифодадан ҳисобланади.

Одатда  $e_n \ll e_p$  бўлган ҳолда сатҳни тўлдиришда тўғри токдан тескари кучланишга ( $I_{np} \rightarrow U$ ) тез қайта улаш қўлланилади. Бу ҳолда ЧС учун  $\gamma_n \gg \gamma_p$  бўлса, сатҳнинг бошлангич тўлдириш даражаси

$$f = \frac{\gamma_n}{\gamma_n + \gamma_p}$$

учун  $f=1$  тенгсизлик бажарилмайди. Шунинг учун  $I_{np} \rightarrow U$  қайта улаш сатҳни тўлдирилганлик даражасини ва у билан боғлиқ структура сифимини ўзгартирмайди, бошқача айтганда, сифим релаксацияси кузатилмайди. Демак,  $e_n \gg e_p$  бўлган чуқур сатҳ параметрларини  $DLTS$  билан аниқлаш учун  $f \neq 1$  тенгсизлик бажарилиши керак экан. Бу  $p^+ - n$  ўтишли GaAs диодида яхши намоён бўлган.

Диод концентрацияси  $N_{CD} = S \cdot 10^{15} \text{ см}^{-3}$  бўлган  $n$ -типдаги арсенид галлийдан ясалган. Диодда кучланишни  $0 \rightarrow I$  қайта улашдан сифим релаксацияси кузатилмаган.

$I_{np} \rightarrow U$  қайта улашдан сўнг эса иккита чуқур сатҳни тўлдириш релаксациясига боғлиқ икки хил температура оралиғида сифим релаксацияси (сифимнинг камайиши) кузатилган. Демак, бундан кўринадики, икки сатҳ учун  $e_n \ll e_p$  тенгсизлик бажарилади.  $\Delta C_{21}$  нинг температурага боғланиши  $t_1$  ва  $t_2$  ларнинг бешта қийматида олинган ҳар бир боғланишидан  $T_{\max}, \tau_{\max}$  (5.77) билан аниқланиб,  $\tau_{\max} = f(T_{\max})$  боғланишдан сатҳларнинг энергетик ҳолати  $E_1 = E_v + 0,44$  ЭВ,  $E_2 = E_v + 0,77$  ЭВ билан аниқланишини кўрсатади.  $DZTS$  нинг кўп чизмаларида  $N_r/N_{caes}$  нисбат билан аниқланадиган сезирлиги  $10^{-4}$  тартибда бўлади. Корреляция усула-

рини құллаш билан унинг сезгирилгінини  $N_r/N_{\text{сәз}} \sim 10^{-7}$  гача етказиш мүмкінлегі күрсатылған.

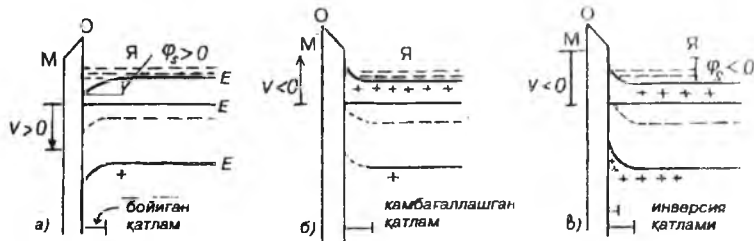
D LTS усули билан ЧС лар тұғрысында күп маълумотлар олиш имконига эга бўлгани учун қейинги йилларда уларнинг кўпдан кўп чизмалари яратилиб, илмий лабораторияларда қўлланиб келинмоқда.

### 5.5-§. Металл-диэлектрик — яримұтказгич структура параметрларини ўлчашнинг С—V усули

a. Идеал металл-диэлектрик -яримұтказгич структура С—V тавсифи

Яримұтказгичлар сиртида, аниқтоги, диэлектрик-яримұтказгич чегарасида сирт ҳолатлари, яъни яримұтказгичнинг тақиқланган зонасида ғұхсат этилган энергия сатҳлари бўлмаган, диэлектрик (масалан, оксид, шиша) қатламида қўзғалувчан (K, Na, Cs ионлари) ва қўзғалмас тутқич марказ зарядлари, бошқача айтганда, сирқиши токи бўлмаган, яримұтказгич билан меъданинчи чиқиши ишларининг ал) структура дейилади. Идеал МДЯ структурасида яримұтказгичнинг сирт потенциали ҳажмидаги потенциалига тенг бўлади ва структурага ташки кучланиш қўйилмаганда яримұтказгичда энергияви ўй зоналари ясси (текис) бўлади. n-тип яримұтказгич асосида олинган МДЯ структурага ташки кучланиш уланганда кечадиган жараёнларни қисқача таҳлил қиласылар.

Структурага мусбат силжиш кучланиши (металл томонига ўзгармас ток манбанинг мусбат кутби) уланса, яримұтказгич ҳажмидан электронларни сирт (диэлектрик-пайдо бўлади ва яримұтказгичнинг сирт соҳасида асосий заряд ташувчилар (электрон) билан бойиши кузатилади. Бу соҳада электр нейтраллик шартни бузилади ва ҳажмий заряд соҳаси (ХЗС) содир бўлади. ХЗС нинг ҳажмий заряди яримұтказгич-диэлектрик чегарасида сирт потенциалининг ортишига, энергиявий зоналарининг эгриланишига олиб келади (5.10-расм). ХЗСнинг кенглиги заряд ташувчилар билан бойиш режимида етарлича кичик 100A° бўлади, шунинг учун кучли бойиш режимида сиртий за-



5.10-расм. Нуқсонсиз (идеал) МОЯ структуранинг бойиш (а), камбағаллашиш (б), инверсия (в) режимдаги энергетик диаграммаси.

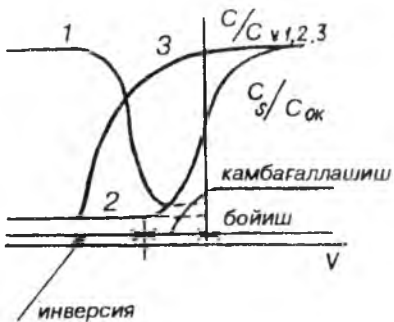
ряд сифими шундай катта бүладики, МДЯ структура сифими диэлектрик (масалан, оксид) сифимига тенг бүлади. Агар кучланишни  $V=0$  гача камайтирсақ, асосий заряд ташувчилар туфайли юзага келган сифим камаяди. Ярим-үтказгич киришма атомларининг концентрацияси  $10^{14}$ – $10^{15} \text{ см}^{-3}$  тартибида, диэлектрик қатламинынг қалинлиги 0,1:1 мкм чамасида бүлганда, структура сифими ( $0,6\div0,9$ )  $C_D$  ни ташкил этади. Мутлақ МДЯ структуранинг  $V=0$  даги сифими ясси (текис) зоналар сифими  $C_{\infty}$  деб юритилади. Структурага нисбатан катта бүлмаган манфий силжиш кучланиши уланганда ярим-үтказгичнинг сирт соҳаси асосий заряд ташувчилар (электрон) билан камбағаллашади, компенсацияланмаган қўзғалмас мусбат зарядланган киришма донор ионидан ташкил топган X3C пайдо бүлади ва оқибатда энергия зоналарининг эгриланиши кузатилади (5.10 б-расм). Бу ердаги X3C *p-n* утишга тескари йўналишда қўйилган кучланишдан ҳосил бўлган X3Cга ўхшаш бўлади. X3C нинг сифими заряд ташувчилар билан камбағаллашган қатлам кенглиги  $W_{X3C}$  билан аниқланади.  $W_{X3C}$  қўйилган кучланишга, ярим-үтказгичнинг легирловчи киришма атом концентрациясига боғлиқ бўлиб, у сиртда потенциалнинг ортиши билан катталашади. Сирт соҳасининг камбағаллашиш режимида кучланишнинг ортиши X3C сигимининг камайишига олиб келади. Кўрилаётган ҳолда асосий заряд ташувчилар (электронлар)ни ярим-үтказгич сиртида ҳам, ҳажмида ҳам ўтказувчанлик зонасида ҳаракатланишини назарда тутсак, улар диффузион-дрейф мувозанати ўрнатилиши (максвелл) вақт доимийси  $10^{-12} \text{ С}$  билан силжиш кучланиши изидан

боради. Шунинг учун сиртнинг заряд ташувчилар билан камбағаллашиши, бойишидан юзага келган структуранинг юқори, паст частотали С—V характеристикалари бир-бираға мос тушадилар. (5.11-расм, 1,2 чизиқлар). Манфий силжиш кучланишини катталаштириб, яримұтказгичнинг энергия зоналарыда шундай әгріланишга эришиш мүмкінки, унинг сирт соҳасида хусусий яримұтказгич ҳосил қилиш мүмкін. Бунда яримұтказгичнинг сирт соҳасида ҳаракатчан асосий ва асосий бұлмаган заряд ташувчилар концентрацияси биргаликда минимумға эришади. Бу ҳолатдаги сирт потенциалига мос равища МДЯ структуранинг паст частотали С—V характеристикаси минимумға эришади. Маълумки, манфий силжиш кучланиши ортиши билан ҲЗС нинг кенгайишидан ташқари, ҲЗС нинг кенглигидан анча кичик бұлган соҳада асосий бұлмаган заряд ташувчилар концентрацияси орта боради.

Асосий бұлмаган заряд ташувчилар концентрацияси асосий заряд ташувчиларницидан ортиши билан сирт соҳасида үтказувчанлик типи үзгаради, яъни үтказувчанлик-нинг инверсияси кузатилади (5.10 в-расм). Инверсион қатлам кенглиги ҲЗСнинг кенглигидан анча кичик бұлғани учун, бұл қатламнинг сифими жуда катта бұлади ва натижада үтказувчанликнинг инверсия соҳасида паст частотали С—V характеристика диэлектрик (оксид) сифими-гача тез түйинади (5.11 расм—1-чизиқ). Инверсион қатламда ковак үтказувчанлиги мавжуд бұлғанлиги туфайли, ковакни күчишидан ёки ҲЗС да генерацион-рекомбинацион жараёнлар туфайли, қатлам заряди үзгариши мүмкін. Бу жараёнлар нисбатан секин кечадиган жараёнлар, шунинг учун частотанинг үсиши билан асосий бұлмаган заряд ташувчилардан пайдо бұлған сифим нолға интилади.

Кузатишларнинг күрсатишича, генерация жараёнлари критик частотани аниқлайды. Бу частота шундай частотаки, ундан катта частотада С—V характеристика юқори частотали характеристика (2) нинг күринишини олади. Яримұтказгичнинг сиртий сифими, камбағаллашган қатлам сифимидан иборат бұлади. Инверсион қатлам пайдо бұлғандан сүнг ҲЗС нинг кенгайиши тұхтайди. Асосий бұлмаган заряд ташувчилар МДЯ (МОЯ) структура сифимига ҳисса құшмаса ҳам, юқори частотали сифимни ин-

5.11-расм. Нуқсонсиз МОЯ структуранинг С—V характеристикаси. 1,2 чизиқлар ва ҳақиқий МОЯ структура характеристикаси (3 чизиқ). Паст (1), юқори (2) частотали С—V характеристикалар, (3) — оксиддаги күзғалмас зарядни, чиқиш ишлари фарқининг таъсирини ҳисобга олгандағы МОЯ нинг С—V характеристикаси.



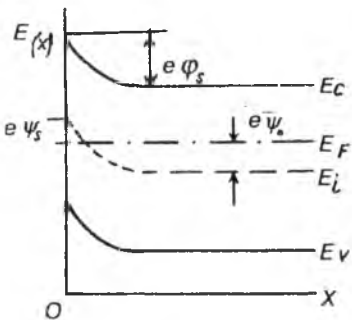
версия режимидеги сифим  $C_{\text{инв}}$  сатқыда түйинишига олиб келади. Критик частота  $\sim 1\text{кГц}$  тартибида, баъзи бир ҳолда, ундан кичик  $0,1\text{ кГц}$  бўлган қийматларни қабул қилади. Оралиқ частоталарда С—V характеристика инверсия режимида шубҳасиз 1- ва 2-ҳолатлар орасини эгаллайди. Шуни эслатиш жоизки, биз юқорида муҳокама қилган идеал МДЯ структура, С—V характеристикаси юқори паст частотали ўлчаш сигналидан силжиш кучланиши доимий ёки секин (квазистатик) ўзгариш кузатиладиган ҳолга (тадалуқлидир) тегишлидир.

#### б. Идеал МДЯ структуранинг С—V характеристикаси ни назарий ҳисоблаша

Кўп ҳолларда МДЯ структурада диэлектрик яримўтказгич чегарасининг параметрларини тажриба натижалари бўйича аниқлашда идеал МДЯ структуранинг С—V характеристикасидан фойдаланилади. Идеал МДЯ структура С—V характеристикасини ҳисоблаш структурага диэлектрик қатлам орқали ташқи электр майдон қўйилгандан, яримўтказгич сирти яқинида содир бўладиган ХЗС нинг назариясига асосланган. ХЗС нинг зарядини ҳамда у билан боғлиқ сифимни аниқлаш учун  $n$  - тип яримўтказгич сирт соҳаси энергия зоналари диаграммасидан фойдаланамиш ва

$$e\psi = E_i - E_F \quad (5.79)$$

ифода билан аниқланадиган электр потенциали тушунчаси киритилади (5.12-расм). Бу ерда  $E_i$  — яримўтказгичда ферми сатқи  $E_F$  — берилган температурадаги хусусий



5.12-расм. Яримұтказгич сирт соҳасининг энергетик диаграммаси.

түшади. Потенциал  $\psi(x)$  ни  $x$  координатага бөлік бағытта бүлмаган иккі ҳаддан иборат деб қараш мүмкін:

$$\psi(x) = \psi_0 + \varphi(x) \quad (5.80)$$

$\psi_0$  — энергия зоналарида әгриланиш бүлмаган яримұтказгич ұжымдаги потенциал. Яримұтказгич сирти ( $x=0$ ) да потенциал

$$\psi(0) = \psi_s$$

бүлади.

Энергия зоналарининг әгриланиши сирт соҳаси яқинидеги ұжмий заряд туфайли юзага келген бүлиб, у ихтиёрий  $x$  — нүктада ұжмий заряд электр майдони билан бөлік электростатик потенциал  $\varphi(x)$  билан аниқланади. Яримұтказгич сиртида потенциал

$$\varphi(0) = \varphi_s$$

бүлиб, сиртнинг электростатик потенциалига мос келади.

$e\varphi_s$  катталик сирт соҳасининг энергия зоналари әгриланишига тенг бүлиб, сиртда электрон энергиясини аниқлади. Сиртдан ичкарида электростатик потенциал  $\varphi_s = 0$  бүледи. Агар сиртда электростатик потенциал нолға тенг, яғни  $\varphi_s = 0$  бүлса, у ҳолда энергия зоналарида әгриланиш бүлмайди, бу ясси зона шарти деб юритилади. Агар  $\psi(0) = \psi_s = 0$  бүлса, яримұтказгич сиртида хусусий яримұт-

яримұтказгичнинг ферми сатқига мос келадиган сатқ. Сирт соҳаси яқинида энергия зоналарида әгриланиши мавжуд бүлса,  $E_c$  ва  $E_v$  сатқлар  $x$  — координатанинг функциялари бүледи.  $E(t)$  сатқ ва потенциал  $\psi(x)$  ҳам  $x$  — координатага бөлік.

Яримұтказгич сиртидан узоқда, энергия зоналарида әгриланиш бүлмаганда,  $E_i$  сатқ хусусий яримұтказгичнинг ферми сатқи билан мос

казгичлик шарти амалга ошади ва сиртда ферми сатҳи  $E_i$  билан мос тушади.

Айнимаган яримүтказгичда электрон, ковак концентрацияларининг  $x$  га боғланиши  $\psi(x)$  ва  $\varphi(x)$  потенциаллар орқали

$$\begin{aligned} n(x) &= N_c \exp\left(-\frac{E_c(x) - E_F}{\kappa T}\right) = n_i \exp\left(\frac{e\psi(x)}{\kappa T}\right) = n_0 \exp\left(\frac{e\psi(x)}{\kappa T}\right) \\ p(x) &= N_v \exp\left(-\frac{E_F - E_V(x)}{\kappa T}\right) = p_i \exp\left(-\frac{e\psi(x)}{\kappa T}\right) = p_0 \exp\left(\frac{e\psi(x)}{\kappa T}\right) \end{aligned} \quad (5.81)$$

ифодалардан аниқланади. Бу ифодалар таҳлилидан кўринаники,  $\psi_s$  ва  $\psi_0$  бир хил ишорада бўлса, ҲЗС эса бойиган, ҳар хил ишорада бўлса, камбағаллашган ва инверсион қатламлар ҳосил бўлиши мумкин. Маълумки, сирт соҳасидаги ҳажмий заряднинг, ҳажмий заряд соҳасининг сифимини Пуассон тенгламаси

$$\operatorname{div} \mathbf{E} = \frac{d\epsilon}{dx} = \frac{1}{\epsilon_0 \epsilon_1} \rho(x) \quad (5.82)$$

ечими асосида топилади. Бу ерда  $\zeta$  — яримүтказгичнинг диэлектрик сингдирувчанлиги,  $\epsilon_0$  — вакуумнинг диэлектрик сингдирувчанлиги,  $\epsilon$  — ҳажмий заряд соҳасининг электр майдони,  $\rho(x)$  — ҳажмий заряд зичлиги.

Донор концентрацияси  $N_D$ , акцептор концентрацияси  $N_A$  бўлган  $n$ -тип яримүтказгич сиртидан узоқда (ҳажмиди) электр нейтраллик шарти

$$n_0 - p_0 = N_D - N_A \quad (5.83)$$

билин ифодаланади. Сирт соҳасида бу шарт бузилади ва ҳажмий заряд зичлиги  $\rho(x)$

$$\rho(x) = -e(n(x) + N_A) + e(p(x) + N_D) \quad (5.84a)$$

ёки (5.83) шартни ҳисобга олганда,

$$\rho(x) = e(p(x) - p_0) - e(n(x) - n_0) \quad (5.84b)$$

билин ифодаланади,  $n_0$ ,  $p_0$  — мос равишида мувозанатдаги электрон, ковак концентрацияси  $\psi(x)$  ва  $\varphi(x)$  потенциалларни ўлчамсиз потенциаллар

$$u(x) = \frac{e\psi(x)}{kT}, \quad v(x) = \frac{e\varphi(x)}{kT} \quad (5.85)$$

орқали ифодаланса, Пуассон тенгламаси (5.82)

$$\frac{d^2 u}{dx^2} = -\frac{e^2 n_i}{KT \epsilon_1 \epsilon_0} [\lambda(e^{-u} - 1) - \lambda^{-1}(e^u - 1)] \quad (5.86)$$

куринишга келади. Бу ерда  $\lambda$  — катталик

$$\lambda = \frac{p_0}{n_i} = \frac{n_i}{p_0} = \left( \frac{p_0}{n_0} \right)^{\frac{1}{2}}$$

орқали топилади.

(5.86) тенгламани  $x \rightarrow \infty$  да  $\frac{du}{dx} = 0$  бўлган чегаравий шартни қаноатлантирувчи биринчи интегрални

$$\frac{du(x)}{dx} = \pm 2l F(\lambda, u) \quad (5.87)$$

бўлади. Бу ерда  $F(\lambda, u)$  функция, у

$$F(\lambda, u) = [\lambda^{-1}(e^u - u - 1) + \lambda(e^{-u} + u - 1)] \quad (5.88)$$

орқали ифодаланади (5.87) тенглама  $u > 0$  да мусбат ишора билан  $u < 0$  да манфий ишора билан олинади. Энергия зоналари эгриланиши пастга бўлса, у нинг ишораси мусбат ҳисобланади.

$l$  — узунлик бирлигидаги катталик бўлиб,

$$l_i = \left( \frac{\epsilon_1 \epsilon_0 K T}{2 e^2 n_i} \right)^{\frac{1}{2}} \quad (5.89)$$

билин аниқланади, у хусусий яримутказгичда электр майдонининг Дебай экранлаш узунлиги деб юритилади. Ярим-

үтказгич кристалли сиртида электр майдон кучланганлиги (5.87) га кўра

$$\varepsilon_s = - \frac{d\varphi(x)}{dx} \Big|_{x=0} = \pm 2 \frac{KT}{e} l_i^{-1} F(\lambda, u_s) \quad (5.90)$$

кўринишни олади.

Остроградский-Гаус теоремасига мувофиқ сиртга яқин соҳадаги юза бирлигига келтирилган сирт заряди  $Q_s$  электр майдон кучланганлиги  $E$  орқали

$$Q_s = -\varepsilon_1 \varepsilon_0 E = \pm 2 \frac{KT}{e} \varepsilon_0 \varepsilon_1 l_i^{-1} F(\lambda, u_s) \quad (5.91)$$

муносабат билан топилади.

Потенциалнинг координатага боғланиши (5.87) ни интеграллаш орқали топилади

$$x(u) = \pm \frac{l_i}{2} \int_{u_s}^u \frac{du}{F(\lambda, u)} \quad (5.92)$$

ҳисоблашларнинг кўрсатишича (5.92) tenglama баъзи бир хусусий ҳоллардагина аналитик ечимга эга.

Таърифга кўра структура сирт соҳаси ҳажмий зарядининг дифференциал сифими

$$C = \frac{dQ_s}{dV} \quad (5.93)$$

орқали ифодаланиши мумкин. Структурага кўйилган ташқи силжиш кучланиши диэлектрикка тушган кучланиш  $V_D$  ва сирт электростатик потенциали  $\varphi_s$  йиғиндисига тенг бўлади:

$$V = V_D + \varphi_s = \frac{Q_s}{C_D} + \varphi_s \quad (5.94)$$

МОЯ структура сифими С (5.93) ва (5.94) ларга кўра

$$\frac{1}{C} = \left( \frac{dV}{dQ_s} \right) = \frac{dV_D}{dQ_s} + \frac{d\varphi_s}{dQ_s} = \frac{1}{C_D} + \frac{1}{C_s} \quad (5.95)$$

орқали аниқланади. Бу ерда

$C_D = \frac{dQ_s}{dV_D}$  — диэлектрикнинг геометрик сифими бўлиб, у иккита металл пластина (контакт) орасига олинган диэлектрик ҳосил қилган конденсатор сифимига тенг,  $C_s = \frac{dQ_s}{dV_s}$  — сирт электростатик потенциалининг ўзгаришидан ҳосил бўлган сирт сифими.  $\nabla$  мутлак МДЯ структура учун сирт яқинидаги ҳажмий заряд  $Q_s = Q_{x_3}$  дан юзага келган сифим  $C_{x_3}$  тенг бўлиб, у

$$C_{x_3} = \frac{dQ_{x_3}}{d\varphi_s} = \frac{\varepsilon_1 \varepsilon_0}{2l_i} \frac{[\lambda(1 - e^{-u_s}) + \lambda^{-1}(1 - e^{u_s})]}{[\lambda(e^{-u_s} - 1) + \lambda^{-1}(e^{u_s} - 1) + (\lambda - \lambda^{-1})u_s]^{1/2}} \quad (5.96)$$

билиан топилади.

Шундай қилиб мутлақ МДЯ структурага кўйилган силжиш кучланиши (5.94) нинг электростатик потенциалга боғланишини (5.91) ва (5.85) дан

$$V = \pm \frac{l_i^{-1} \varepsilon_0 \varepsilon_1 [\lambda^{-1}(e^{u_s} - u_s - 1) + \lambda(e^{-u_s} + u_s - 1)]^{1/2}}{e C_D} + \frac{kT}{e} u_s \quad (5.97)$$

билиан аниқланишини кўрамиз. Юкорида айтилганидек, биринчи ҳади  $u_s > 0$  бўлганда мусбат,  $u_s < 0$  бўлганда манфий ишора билан олинади. Диэлектрикнинг юза бирлигига келтирилган геометрик сифими формуладан ҳисобланади.

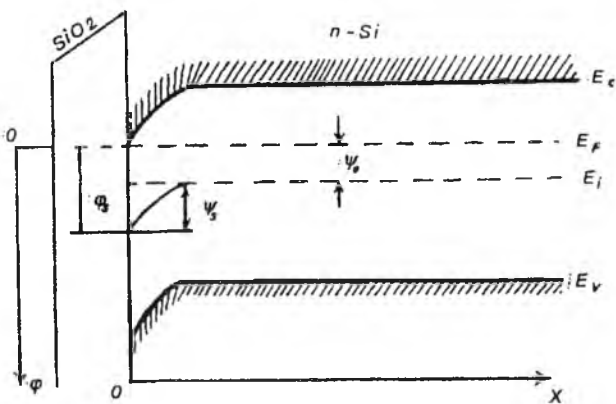
$$C_D = \frac{\varepsilon_0 \varepsilon_D}{w_D}$$

Бу ерда:

$\varepsilon_D$  — диэлектрикнинг диэлектрик сингдирувчанлиги;

$w_D$  — диэлектрик қатлам қалинлиги.

Тошду нинг яримутказгичлар ва диэлектриклар физикиси кафедрасининг илмий ходимлари, ўчитувчилари МДЯ структура хоссаларини ўрганиш борасида ўзларига



5.13-расм. *n*-типдаги кремний МДЯ структурасининг энергетик зоналар диаграммаси модели.

нинг муносиб ҳиссаларини қўшиб келмоқдалар. Улар МДЯ структура С—V характеристикасининг ҳисоблаш ифодаларини бирмунча соддалаштирганлар. Соддалаштириш асосида юқорида изоҳланган мутлақ. МДЯ структура учун қабул қилинган фаразлар ҳамда *n*-тип яримүтказгичда  $N_A \ll N_D$  ва юқори частотада асосий бўлмаган заряд ташувчиларнинг ҳажмий зарядга камбағаллашган, бойиган режимларда қўшадиган ҳиссаси жуда кичик, инобатга олмаса бўлади, деган фараз ётади. Шунинг учун Пуассон тенгламаси (5.82) даги ҳажмий заряд зичлиги

$$\rho(x) = -e(n(x) - n_0) = -e(n(x) - N_D)$$

кўринишда олинган бўлиб, Пуассон тенгламаси ечилган. Ҳисоблашни соддалаштириш учун энергиянинг ноль қиймати қилиб ферми сатҳига мос режимдаги энергетик сатҳ қабул қилинган ва ҳисоб паст томонга қараб олиб борилади (5.13-расм). Потенциал эса

$$\varphi(x) = \psi(x) + \varphi_0 \quad (5.99)$$

кўринишда олинган. Бу ерда  $e\varphi$  — электрон энергияси,  $e\varphi_0$  — яримүтказгич ҳажмидаги электрон энергияси,  $e\varphi_s$  — диэлектрик яримүтказгич чегарасидаги электрон энергия-

си. Сиртда  $X=0$  да сирт потенциали  $j = \psi_x + \varphi_0$  га тенг, бўлишликни назарда тутсак ва  $u_s = e\psi_s / kT$  ўлчамсиз сирт потенциали киритганда ҳисоблашларнинг кўрсатишича, юза бирлигидаги сирт сифими  $C_s$  ни, яъни ҳажмий заряд сифими

$$C(u_s) = \frac{e(N_D - n_0 \exp u_s)}{(2n_0 \kappa T / \epsilon_1 \epsilon_0)^{1/2} [e^{u_s} - u_s - 1]^{1/2}} \quad (5.100)$$

орқали аниқланади.

$u_s$  — мусбат (зоналарнинг бошланғич эгриланиши пастга қараган бўлса) ҳамда манфий (зоналар эгриланиши юқорига бўлса) қийматлар қабул қилиши мумкин. Ҳажмий заряд сифимини (5.100) ифодадан мураккаб бўлмаган алмаштиришдан сўнг  $u_s > 0$  да сиртни заряд ташувчилар билан бойиш соҳасида

$$C(u_s) = \frac{e n_0 (\exp u_s - 1)}{(2n_0 \kappa T / \epsilon_1 \epsilon_0)^{1/2} (\exp u_s - u_s - 1)^{1/2}} \quad (5.101)$$

$u_s < 0$  да заряд ташувчилар билан камбағаллашиш соҳасида

$$C(u_s) = \frac{e n_0 (1 - \exp(-u_s))}{(2n_0 \kappa T / \epsilon_1 \epsilon_0)^{1/2} [u_s + \exp(-u_s) - 1]^{1/2}} \quad (5.102)$$

билин аниқлашишини кўрамиз. МДЯ структурага қўйилган тўла қучланишнинг сирт потенциалига боғланиши  $u_s > 0$  да

$$V = \left( \frac{2n_0 KT}{\epsilon_1 \epsilon_0} \right)^{1/2} [e^{-u_s} + u_s - 1]^{1/2} \frac{\epsilon_1 \epsilon_0}{C_D} S + \frac{KT}{e} u_s \quad (5.103)$$

$u_s < 0$  да

$$V = \left( \frac{2n_0 KT}{\epsilon_1 \epsilon_0} \right)^{1/2} [e^{-u_s} + u_s - 1]^{1/2} \epsilon_1 \epsilon_0 \frac{S}{C_D} - \frac{KT}{e} u_s \quad (5.104)$$

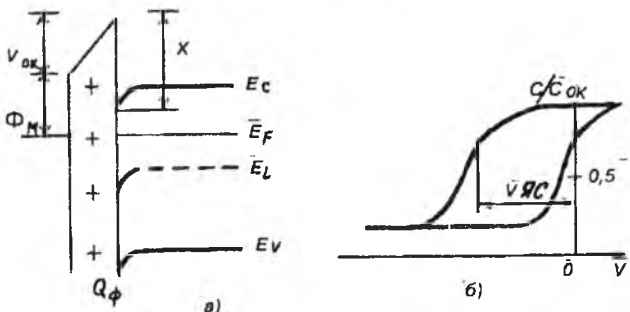
аниқланади. Бу ерда:  $S$  — контакт юзаси;  $C_D$  — диэлектрик (ёки оксид) сифими.

## 8. Ҳақиқий (реал) МДЯ структуранинг С—V характеристикаси

Маълумки, МДЯ структурада металл-яримүтказгич чиқиш ишларининг фарқи нолдан фарқ қилганда унинг ишорасига қараб, структурага ташқи кучланиш қўйилманганда, яримүтказгич сирт соҳасида манфий ёки мусбат ишорали ҳажмий заряд пайдо бўлиши мумкин. Металл-яримүтказгич потенциаллар фарқидан ҳажмий заряддан юзага келган электр майдони структурага қўйилган ташқи силжиш кучланишини ҳосил қилган электр майдонига қўшилади ва натижада С—V характеристикани кучланиш ўқи бўйича силжишига олиб келади (5.14-расм). Диэлектрик қатламда қўзгалмас (муайян ҳолатдаги заряднинг бўлиши ҳам характеристикани шундай силжишига олиб келади.

Шуни таъкидлаш керакки, бу зарядни металл-яримүтказгич чегарасидан қандай масофада жойлашгани маълум эмас. Шунинг учун эффектив заряд тушунчасидан фойдаланилади, у шундай зарядки, диэлектрик (оксид) — яримүтказгич чегарасига жойлаштирилганда кузатилган ҳодисани ҳосил қила олади. Ясси зоналар таърифига кўра, сирт потенциали  $\varphi > 0$  да ясси зоналар кучланиши

$$V_{ac} = \frac{E_{im}}{e} + \frac{Q_{\text{ок}}}{C_D} \quad (5.105)$$



5.14-расм. Металл-яримүтказгич чиқиш ишлари фарқини, оксиддаги қўзгалмас зарядни МОЯ структура энергетик диаграммасига (а), С—V характеристикасига (б) таъсири  $\Phi_M$  — металл чиқиш иши,  $\chi$  — яримүтказгич электронига яқинлик,  $\Phi_{ok}$  — оксиддаги кучланиш тушуви,  $E_{im} = \Phi_M - (x + E_F - E_c)$  металл-яримүтказгич чиқиш ишларининг фарқи,  $Q_{\text{ок}}$  — оксид (диэлектрик)даги қўзгалмас заряд.

бўлади. Бу ерда  $E_{\text{ям}}$  — яримўтказгич — металл чиқиш ишларининг фарқи,  $Q_{\text{эф}}$  — эффектив майян ҳолатдаги (кўзғалмас) заряд,  $C_D$  — диэлектрик (оксид) сифими. Диэлектрик қатламдаги майян ҳолатдаги заряд мусбат ҳам, манфий ҳам бўлиши мумкин. Энди сирт ҳолатларнинг таъсирини кўрамиз. Юқорида изоҳланганлардан кўрина-дик, ҳақиқий (реал) сирт бенуқсон (идеал) сиртдан сирт ҳолатлари деб номланувчи энергия сатҳлари мавжудлиги билан фарқланадилар. Уларнинг табиати ҳар хил бўлиб, кристаллнинг ажралиш (диэлектрик-яримўтказгич) чега-расида кристалл тузилишининг бузилиши туфайли юзага келадилар.

Сирт ҳолатлари асосан яримўтказгичлар билан боғланган, чунки уларнинг зарядлар билан тўлиши сирт потенциалига боғлиқ бўлиб силжиш кучланиши ўзгариши билан қайта зарядланадилар. Сирт ҳолатларини ҳосил қилган дифференциал сифими  $C_{ss}$  олдин кўрилган ҳажмий заряд сифими  $C_{x_3}$  га қўшилади. Сирт ҳолатларининг мавжудлиги сирт сифимини  $C_{ss}$  га ортишидан ташқари, сирт потенциалини МДЯ структурага қўйилган силжиш кучланишга боғланишини ўзгартиради, чунки сирт ҳолатларидаги зарядни ҳосил қилган электр майдони силжиш кучланишининг ҳосил қилган электр майдони билан диэлектрикнинг майян ҳолатдаги заряд майдони каби қўшилади. Лекин майян ҳолатдаги заряддан фарқли ўла-рок, сирт ҳолатларидаги заряд сирти потенциалининг ўзга-риши билан у ҳам ўзгариши мумкин. Шунинг учун сирт ҳолатлари мавжуд бўлганда, уларнинг экранлаш таъсири манфий  $C-V$  характеристикани маълум соҳаларидагина назарий  $C-V$  характеристикасига нисбатан

$$\Delta V = Q_{ss}/C_D$$

катталик қадар силжишига олиб келади.

Ажралиш чегарасидан  $10A^\circ$  дан ошмаган масофада диэлектрикда бўлган сирт ҳолатлари яримўтказгич билан яхши боғланган (диэлектрик яримўтказгич ажралиш чегарасидаги потенциал тўсиқдан заряд ташувчиларнинг туннель ўтишлари туфайли) улар қайта зарядланишлари мумкин, лекин ажралиш чегарасидан масофанинг ортиши билан шундай алмашув эҳтимоллиги кескин камаяди

ва сирт ҳолатлари зарядларни құзғалмас зарядға үхшаш тұплашга қодир бұлади. Бундай сирт ҳолатлари одатда тутқич марказлар деб юритилади. Сирт ҳолатларини тутқич (марказларга) муайян ҳолатдаги, зарядларға бўлиниши жуда шартлидир. МДЯ структурада диэлектрик (оксид)да тутқич марказни қайта зарядланиши, қўзғалувчан заряднинг кўчиши, диэлектрик (оксид) нинг қутбланиши туфайли силжиш кучланишининг ҳар хил ўзгариши йўналишида олинган C—V характеристикалар бир-бирига мос тушмайди. Бу ҳодиса гистерезис деб юритилади, одатда бу оксиднинг турғун эмаслигидан далолат беради. Ҳодиса юқори температурада ва юқори электр майдонида кучаяди.

*г. Юқори частотали C—V усул билан диэлектрик (оксид) — яримўтказгич чегараси параметрларини аниқлаш*

1) Сирт ҳолатлар концентрацияси ва спектрини аниқлаш.

Бу катталиклар тажрибада олинган ва назарий ҳисобланган C—V характеристикаларини бир-бирига нисбатан кучланиш ўқи бўйича силжиши  $\Delta V(C)$  дан топилади. Диэлектрик (оксид) қатламидаги қўзғалмас заряди  $Q_\phi$  дан ва сирт ҳолатлари заряди  $Q_s$  дан содир бўлган кучланишнинг силжиши қўйидагича ифодаланади:

$$\Delta V(C) = \frac{1}{C_D} (Q_\phi + Q_s) \quad (5.106)$$

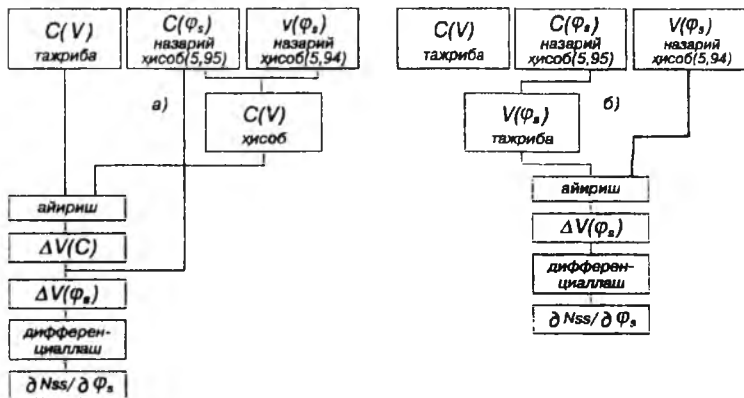
Сирт ҳолатлари концентрацияси

$$N_s(\Delta V) = \frac{\Delta V \cdot C_D}{eS} \quad (5.107)$$

билин ҳисобланади. Бу ерда:  $S$  — метал контакт юзаси. (5.107) ифода сирт потенциали бўйича дифференциали

$$\frac{\partial N_s}{\partial \varphi_s} = \frac{C_D}{eS} \frac{d(\Delta V)}{d\varphi_s} \quad (5.108)$$

сирт ҳолатлар спектрини беради. Сирт ҳолатлар спектрини (5.108) ифода орқали чизиш қўйидаги тартибда амалга оширилади (5.15-расм):



5.15-расм. Юқори частотали С—V усул билан С—V характеристикани чизиш ва чизмадан сирт ҳолати тақсимотини аниқлаш тартиби (кетма-кетлиги).

а) (5.96 ва 5.97) ёки (5.101 : 5.104) ифодалар орқали назарий ҳисобланган С—V характеристика чизилади;

б) тажрибада олинган ва назарий ҳисобланган С—V характеристикаларни солишириб,  $\Delta V(\varphi_s)$  боғланиш топилади;

в) назарий ҳисобланган  $C(\varphi_s)$  ёрдамида  $\Delta V(C)$  боғланишдан  $\Delta V(\varphi_s)$  боғланишга ўтилади;

г)  $\Delta V(\varphi_s)$  ни дифференциаллаб, (5.108) ифода орқали сирт ҳолатлар спектри чизилади.  $\frac{\partial N_{ss}}{\partial \varphi_s}$  ни С—V характеристикани назарий ҳисобламасдан ҳам чизиш мумкин. Бу усулни ҳисоблаш тартиби 5.15-расмда келтирилган.

2. Сирт потенциали ва оксидда муайян ҳолатдаги (фиксированный) зарядни аниқлаш.

Назарий ҳисобланган  $C(\varphi_s)$  характеристика билан тажрибада олинган  $C(V)$  ни солишириб, исталган силжиш кучланишидаги сирт потенциали

$$\varphi_s = \varphi_s(v)$$

олинади. Равшанки, сиртнинг инверсия ва бойиш соҳалирида сирт потенциалининг ўлчашдаги аниқлик кескин камаяди. Шунинг учун ташқи кучланиш қўйилмаганда сирт потенциали муҳим аҳамият касб этади, чунки у ташқи

электр майдони қўйилмаганда ажралиш чегарасининг ҳолатини белгилайди. У оксиддаги қўзғалмас заряд ҳамда сирт ҳолатларида бошланғич зарядлари билан аниқланади. Одатда сиртий зарядларни аниқлашда ясси зоналар кучланиши  $V_{ss}$  қўлланилади. Структурага ясси зоналар кучланишига тенг бўлган ташқи кучланиш уланганда яrimутказгич сиртида X3C зарядининг сирт ҳолатларидағи зарядининг ўзгаришини (5.106) га кўра,

$$V_{ss} C_D = V_{ss} C_D = Q_{ox3} + \Delta Q_{ss} \quad (5.109)$$

куринища ифодалаш мумкин.

$Q_{ox3}$  — кучланиш уланмагандаги X3C нинг заряди, яъни бошланғич сирт потенциал  $\varphi_{os}$  даги заряд,  $\Delta Q_{ss}$  — структурага  $V_{ss}$  кучланишга тенг кучланиш улангандан сўнг сирт ҳолатлари зарядининг ўзгариши.

(5.108) ифода 0 дан  $\varphi_s$  гача бўлган оралиқда интеграллаб топилади.  $V_{ss} C_D$  ҳамда  $\Delta Q_{ss}$  ни билган ҳолда (5.109) дан  $Q_{ox3}$  топилади.  $Q_{ox3}(\varphi_s)$  ни ҳисоблаш орқали бошланғич сирт потенциали  $\varphi_{os}$  топилади.  $Q_{ox3}$  дан диэлектрикдаги қўзғалмас зарядни ажратиб олиш учун сирт ҳолатлари нинг тақиқланган зона бўйича тақсимотини билиш керак. Шунинг учун юқори частотали C—V характеристика билан тақиқланган зона бўйича тақсимланган сирт ҳолатлари зарядини, диэлектрикдаги қўзғалмас зарядларни ажратиб бўлмайди. Лекин, агар C—V характеристиканинг шакли назарий ҳисобланганга яқин, яъни  $V_{ss}$  яқинида етарлича тик ва  $V_{ss}$  нисбатан катта бўлса, сирт ҳолатлар зарядининг ўзгаришини инобатга олмаслик мумкин. У ҳолда  $V_{ss}$  қўзғалмас зарядлар билан аниқланади. Аксинча, агар C—V характеристика қия бўлса,  $V_{ss}$  потенциал  $\varphi_{os}$  дан 0 гача ўзгарганда, сирт ҳолатлар зарядининг ўзгаришини аниқлайди. У ҳолда  $0 < \varphi_s < \varphi_{os}$  оралиқда  $N_{ss} = \text{const}$  бўлсин деб фараз қилиб, бошланғич сирт потенциали  $\varphi_{os}$  ни

$$\varphi_{os} = \varphi_s + \frac{V_{ss} C_D}{e^2 N_{ss}} \quad (5.110)$$

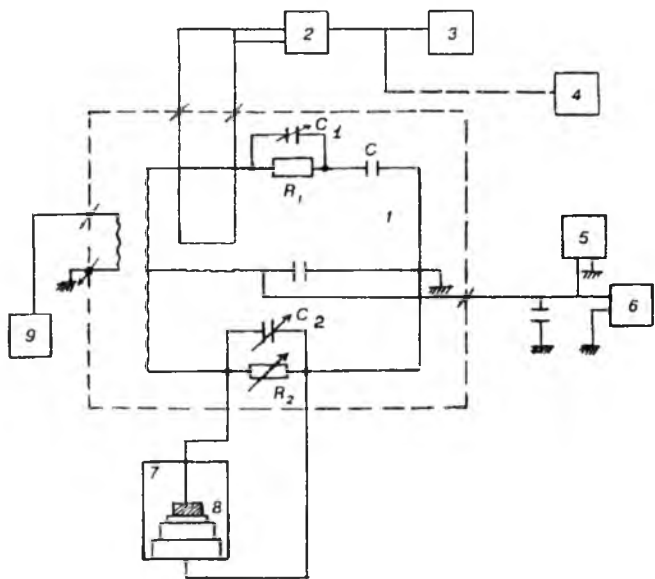
билиш ҳисоблаш мумкин. Бу ерда  $N_{ss} \neq 0$  ( $V_1 = V_{ss}$  да аниқланган) сирт ҳолатлари концентрацияси.

Юқорида келтирилган параметрлардан ташқари, юқори частотали C—V характеристика орқали яrimutказгичнинг

легирловчи киришма концентрациясини, қалинлик бүйича тақсимотини, яримүтказгич типини, оксид қатлам (диэлектрикни) диэлектрик сингдирувчанлигини, қалинлигини ва бошқа параметрларини аниқлаш мумкин.

## 5.6-§. Сифим спектроскопия усуллари билан чукур сатҳ парметрларини ўлчаш қурилмаси

Чукур сатҳли марказ параметрларини сифим спектроскопия усуллари билан аниқлашда намуна билан ўлчаш қурилмасини туташтирувчи кабел (симлар) сифими ҳамда намуна бошланғич түсиғи сифими катта бўлган ҳолатда  $P^+-n$  ўтишли диод ёки шоттки диоди түсиғи сифимининг кичик ўзгаришини ўлчаш лозим бўлади. Одатда бунга трансформаторли юқори частотали ўзгарувчан ток кўприги (МП-300) дан фойдаланиш орқали эришилади. Юқорида кўрганларимиздан кўринадики, структура түсиғи сифими кўп омилларга, масалан, температурага, қўйилган кучланишга, ўлчаш кучланиш частотасига, намуна ёритилса, ёруғликнинг тўлқин узунылиги, ностационар жараёнларда вақтга боғлиқ. Бу боғланишларни сифим спектроскопия усуллари билан ўлчаш қурилмаларидан бири 5.16-расмда келтирилган. Илмий текшириш лабораторияларида кўп ҳолларда трансформаторли юқори частотали ўзгарувчан ток кўпригини тўла ўтказувчанликнинг ўлчаш кўприги МП-300 га ўхшатиб йигилади. Ўтказувчан ток кўпригини тузилиши ҳар хил бўлиб, улар юқори частотали импульсли кичик ўлчамли трансформаторлар (МИТ-8, МИТ-4) асосида йигилиши мумкин. Юқори частотада диод барьер сифимини ёки унинг ҳар хил омиллар таъсирида ўзгариши параллел алмаштириш чизмаси бўйича ўлчанади. Бошқача айтганда, диод параллел уланган сифим ва қаршиликдан иборат (тузилиш структура) деб қаралади. Шунинг учун ўзгарувчан ток кўпригининг бир елкасига ўзгарувчан этalon сифим ва ўзгарувчан этalon қаршилик уланади ва улар орқали структура барьер сифими ёки унинг ўзгариши аниқланади. Кўприкнинг иккинчи елкасига юқори аниқликдаги ўзгарувчан  $C_2$  конденсатор ўзгарувчан  $R_2$  қаршилик ва уларга параллел текширилаётган диод уланади. Улар маҳсус даражаланган бўлиб, бўлиниш да-



5.16-расм. Диод ва МДЯ структуралар С—V характеристикаларини ўлчаш қурилмасининг схемаси.

ражаси 0,01 пф га tengdir.  $R_1$ ,  $R_2$  — қаршиликлар бир қанча қаршиликлар асосида йигилиши ёки уларга ўзгарувчан ток кўпригининг қаршилик блоки қўлланиши мумкин.

Маълумки, биронта ташқи таъсир остида структура қаршилиги сифими ўзгарса, кўпrik мувозанатини бузилишига олиб келади. Кўпrik мувозанати бузилишидан ҳосил бўлган кучайтирилган ўзгарувчан сигнал катталиги ўзгараётган сифимга пропорционал бўлади. Бу сигнални ўлчаш кучланиши частотасининг 150 : 500 КГц оралиғида В-61 типидаги селектив вольтметри билан, частотанинг 10 : 150 КГц оралиғида эса Ф-582 типидаги ноль индикатор ёрдамида кучайтириб, у С1—68, С1—76 типидаги осциллограф билан ёки детекторланганидан сўнг икки координатали Н—306 типидаги ўзи ёзгич билан қайд қилинади. Ўзгарувчан ток кўпригига юқори частотали Г—4—94, Г 3—112 типидаги генератордан частотаси  $f=10 \div 500$  КГц, бўлган намунага амплитудаси 10 : 50 мВ дан ошмаган куч-

ланиш берилади. Бу қурилма диод барьер сифимининг кинетикасини қайд қилиш имконини беради ва у орқали чуқур сатҳнинг электрон билан тўлиш релаксация вақти  $\tau$  ни аниқлаш мумкин. Агар  $\tau > 5c$  бўлса, кўприк мувозанати бузилгандан ҳосил бўлган сифим ўзгаришига пропорционал кучланиш (сигнал) икки координатали ўзи ёзгич ёрдамида, агар  $\tau < 5c$  бўлса,  $\tau$  — метр чизмасини кўллаш орқали осциллографда қайд қилинади. Бунда сатҳнинг электрон билан тўлдириш релаксация вақтини тўғридан-тўғри аниқлаш керак бўлади.  $\tau$  метр зарядланган конденсатор С ни  $R_3$  ва  $R_4$  қаршиликлар орқали разрядланиши  $R_4$  қаршиликда вақт доимийси  $\tau_{RC} = C(R_3 + R_4)$  бўлган экспоненциал қонуният бўйича ўзгарувчан кучланиш ҳосил бўлади, бу кучланиш осциллографнинг горизонтал ўқ бўйича ёйиш кучайтиргич киришига берилади. Агар сатҳнинг электрон билан тўлдириш релексация вақти, сифимнинг  $(R_3 + R_4)$  қаршилик орқали разрядланиш вақт доимийсига teng бўлса, осциллограф экранида кўприк мувозанати бузилишидан содир бўлган кучланишининг вақт бўйича ўзгариши чизиқли бўлади. Демак, ҳар бир сатҳнинг берилган температурадаги  $\tau$  ни аниқлаш учун  $R_3$  ва С шундай танланадики, осциллограф экранида сифим релаксация кучланишининг вақт бўйича ўзгариши чизиқли бўлсин. Шуни эслатиб ўтиш керакки,  $\tau$  — метрнинг сифими ( $C$ ) чуқур сатҳни тўлдириш ( $V=0$ ) ёки тўғри кучланиш пайтида зарядланади. Структура барьер сифимини ўлчашда тескари кучланиши улангандан бошлаб,  $\tau$  метрни конденсатори  $(R_3 + R_4)$  орқали разрядланиб, у сифим релаксация кучланиши  $u(t)$  ни осциллограф горизонтал ўқи бўйича ёяди. Чуқур сатҳ параметрлари аниқланадиган структура криостатга жойлаштирилади ва у керакли температурагча совитилади. Намунани белгиланган температурада турғун тутиб туриш ҳар хил тезликда чизиқли қонуният бўйича иситиш, совитиш автоматик равища бошқариладиган қурилма ёрдамида амалга оширилади. Тошкент Давлат университети қошидаги амалий физика институти ходимлари томонидан бир қанча кулайликларга эга бўлган азот буғида совитиладиган криостат ҳамда намунани ҳар хил тезликда совитиш, иситиш температура-

нинг берилган қийматида  $0,01^{\circ}\text{C}$  аниқликда турғун тутадиган температура стабилизатори яратилган. Бу қурилмада температурани ўлчаш ва бошқариш датчиғи сифатида диод (КД 105Б), иситгич элементи сифатида транзистор (КТ-808) құлланилған. Иситгич массаси кичик бўлгани учун температуранинг бошқарилиши тез содир бўлади. Намуна температурасининг ҳар хил тезликда чизиқли қонуният бўйича ортиши, пасайиши термик рафбатлантирилган сифим ток усуллари билан чуқур сатҳнинг параметрларини тез ва етарли аниқликда ўлчаш имконини беради.

## ФОЙДАЛАНИЛГАН АДАБИЁТЛАР

1. Н. Ф. Ковтанюк, Ю. А. Концевой. Измерения параметров полупроводниковых материалов. Изд. "Металлургия". М. 1970 г.
2. Л. П. Павлов. Методы определения основных параметров полупроводниковых материалов. М. "Высшая школа", 1975 г.
3. В. В. Батавин, Ю. А. Концевой, Ю. В. Федорович. Измерение параметров полупроводниковых материалов и структур. М. "Радио и связь", 1985 г.
4. Л. П. Павлов. Методы измерения параметров полупроводниковых материалов. М. "Высшая школа", 1987 г.
5. Ю. В. Воробьев, В. Н. Добровольский, В. И. Стриха. Методы исследования полупроводников. Киев "Высшая школа", 1988 г.
6. В. М. Колешко, Т. Д. Каплон. С—V методы измерения параметров МОП структуры. Обзоры по электронной технике. Сер. З-микроэлектроника. Вып. 2/456/М. ЦНИИ, Электроника, 1977 г.
7. И. Н. Каримов. "Влияние внешних воздействий на свойства границы разделе полупроводник-диэлектрик МДП — структур". Канд. дис. Ташкент — 1986 г.
8. Л. С. Берман, А. А. Лебедев "Емкостная спектроскопия глубоких центров в полупроводниках". Изд. "Наука" 1981 г.
9. Terman Z. M. Solid State Electronics 1952, 5, 285.

## МУНДАРИЖА

Кириш .....	3
-------------	---

### **1-боб. ЯРИМҮТКАЗГИЧЛАРДА СОЛИШТИРМА ҚАРШИЛИКНИ ҮЛЧАШ УСУЛЛАРИ**

1.1-§. Яримүтказгичли намунанинг солиширма қаршилигини унинг тўла қаршилиги бўйича аниқлаш .....	5
1.2-§. Солиширма қаршиликни үлчашнинг бир ва икки зондли усуллари .....	11
1.3-§. Тўрт зондли усул .....	20
1.4-§. Юпқа қатламларда солиширма қаршиликни тўрт зондли усул билан аниқлаш .....	34
1.5-§. Эпитаксиал, диффузион қатламларнинг солиширма қаршилигини тўрт зондли усул билан аниқлаш .....	41
1.6-§. Солиширма қаршиликни тўрт зондли усул билан үлчашдаги хатоликлар .....	42
1.7-§. Ван-дер-Пау усули билан солиширма қаршиликни үлчаш ....	49
1.8-§. Солиширма қаршиликни нуқтавий контактнинг тарқалган (ёйилган) қаршилик усули билан аниқлаш .....	59
1.9-§. Солиширма қаршиликни металл-яримүтказгич нуқтавий контактининг тешилиш кучланиши бўйича үлчаш усули .....	67

### **2-боб. ЗАРЯД ТАШУВЧИЛАР КОНЦЕНТРАЦИЯСИ ВА ҲАРАКАТЧАНЛИГИНИ ҮЛЧАШ УСУЛЛАРИ**

2.1-§. Холл эффиқти ёрдамида заряд ташувчиларнинг концентрацияси ва ҳаракатчанлигини үлчаш усуллари .....	73
2.2-§. Холл ЭЮКини үлчаш усуллари .....	81
2.3-§. Холл токи .....	91
2.4-§. Холл токларини үлчаш ва у орқали яримүтказгич намуналарда заряд ташувчиларнинг концентрацияси ва ҳаракатчанлигини үлчаш .....	95

2.5-§. Ван-дер-Пау ва түрт зондли усул билан яримутказгич намуналарда заряд ташувчилар концентрацияси ва ҳаракатчанлигини үлчаш .....	100
2.6-§. Холл эффектини үлчашдаги мунтазам (систематик) хатоликларга таъсир этувчи омиллар .....	105
2.7-§. Яримүтказгичларда заряд ташувчилар концентрацияси ва ҳаракатчанлигини намунанинг магнитоқаршилиги бўйича аниқлаш .....	109
2.8-§. Яримүтказгичларда тақиқланган зона кенглигини, донор ва акцептор киришма атомларининг концентрацияси ва ионланиш энергиясини аниқлаш .....	115

### **3-боб. ЯРИМҮТКАЗГИЧЛАР ПАРАМЕТРЛАРИНИ ОПТИК УСУЛЛАР БИЛАН ҮЛЧАШ**

3.1-§. Яримүтказгичларнинг оптик параметрлари .....	128
3.2-§. Оптик параметрларни (константаларни) тажрибада аниқлаш усуллари .....	134
3.3-§. Заряд ташувчилар концентрацияси ва ҳаракатчанлигини үлчашнинг оптик усуллари .....	140
3.4-§. Эллипсометрия усули .....	156

### **4-боб. НОМУВОЗАНАТ ЗАРЯД ТАШУВЧИЛАР ПАРАМЕТРЛАРИНИ ҮЛЧАШ УСУЛЛАРИ**

4.1-§. Номувозанат заряд ташувчилар параметрлари .....	166
4.2-§. Номувозанат заряд ташувчилар билан инжекцияланган намунанинг ўтказувчанлиги .....	173
4.3-§. Номувозанат заряд ташувчилар параметрларини үлчашнинг ностационар усуллари .....	176
4.4-§. Ток импульси инжекциясига асосланган номувозанат заряд ташувчилар яшаш вақтини аниқлаш усуллари .....	202
4.5-§. Номувозанат заряд ташувчилар параметрларини үлчашнинг стационар усуллари .....	213
4.6-§. Номувозанат заряд ташувчилар параметрларини фотоэлектромагнитик ҳодисаси (Кикоин-Носков эффекти)дан фойдаланиб аниқлаш усули .....	225
4.7-§. Яримүтказгич параметрларини номувозанат заряд ташувчилар тақсимотидан (тўғридан-тўғри) фойдаланиб аниқлаш усуллари .....	234

## 5-боб. ЧУҚУР САТХЛИ МАРКАЛАР НАРАМЕТРЛАРИНИН ҮЛЧАШ УСУЛЛАРИ

5.1-§. Чуқур сатхли марказларнини параметрлари	245
5.2-§. <i>P</i> - <i>n</i> үтишда чуқур сатхларнини электронлар билан түлдирилгандылыгы .....	260
5.3-§. Чуқур марказли диодларнинг баръер сигими	266
5.4-§. Яримутказгичлар чуқур марказлари параметрларнин аниқлашнинг сигим спектроскопия усуллари .....	273
5.5-§. Металл-диэлектрик-яримутказгич структура параметрларини үлчашнинг С—V усули .....	296
5.6-§. Сигим спектроскопия усуллари билан чуқур сатх параметрларнини үлчаш қурилмаси .....	312
Фойдаланилган адабиётлар .....	316

*Зайнобиддинов Сирожиддин, Акрамов Хидои*  
**ЯРИМЎТКАЗГИЧЛАР ПАРАМЕТРЛАРИНИ  
АНИКЛАШ УСУЛЛАРИ**

*Ўзбек тилида*

Бадиий муҳаррир *T. Қаноатов*  
Техник муҳаррир *У. Ким*  
Мусаҳҳих *M. Йўлдошева*  
Компьютерда тайёрловчи *E. Гильмутдинова*

Теришга берилди 6.11.2000. Босишга рухсат этилди 6.06.2001  
Бичими  $84 \times 108^{1/32}$ . Офсет босма усулида босилди. Шартли босма  
табоби 16,8. Нашр т. 17,24. Нусхаси 2 000. Буюртмā № 55  
Баҳоси шартнома асосида.

“Ўзбекистон” нашриёти, 700129, Тошкент шаҳри, Навоий кӯниси, 10  
Нашр № 61-2000.

Ўзбекистон Республикаси Давлат Матбуот қўмитасининг  
1-босмахонасида босилди. Тошкент ш. 700002,  
Сағбон кўчаси 1-берк кўча, 2-уй.

